

東海第二発電所 審査資料	
資料番号	SA 設-C-2 改 69
提出年月日	平成 29 年 12 月 26 日

東海第二発電所

重大事故等対処設備について

(補足説明資料)

平成 29 年 12 月
日本原子力発電株式会社

本資料のうち、は商業機密又は核物質防護上の観点から公開できません。

目 次

39 条

39-1 重大事故等対処設備の分類

39-2 設計用地震力

39-3 重大事故等対処施設の基本構造等に基づく既往の耐震評価手法の適用性と評価方針について

39-4 重大事故等対処施設の耐震設計における重大事故と地震の組合せについて

添付資料－1 重大事故等対処施設の網羅的な整理について

41 条

41-1 重大事故等対処施設における火災防護に係る基準規則等への適合性について

41-2 火災による損傷の防止を行う重大事故等対処施設の分類について

41-3 火災による損傷の防止を行う重大事故等対処施設に係る火災区域の設定について

41-4 重大事故等対処施設が設置される火災区域又は火災区画の火災感知設備について

41-5 重大事故等対処施設が設置される火災区域又は火災区画の消火設備について

41-6 重大事故等対処施設が設置される火災区域・火災区画の火災防護対策について

共通

共-1 重大事故等対処設備の設備分類及び選定について

共-2 類型化区分及び適合内容

共-3 重大事故等対処設備の環境条件について

共-4 可搬型重大事故等対処設備の必要数、予備数及び保有数について

共-5 可搬型重大事故等対処設備の常設設備との接続性に関する補足説明資料

共-6 重大事故等対処設備の外部事象に対する防護方針について

共-7 重大事故等対処設備の内部火災に対する防護方針について

共-8 重大事故等対処設備の内部溢水に対する防護方針について

共-9 自主対策設備の悪影響防止について

共-10 設計基準事故対処設備に対する多様性及び独立性並びに位置的分散の整理について

44 条

44-1 SA 設備基準適合性 一覧表

44-2 単線結線図

44-3 配置図

44-4 系統図

44-5 試験検査

44-6 容量設定根拠

44-7 その他設備

44-8 A T W S 緩和設備について

44-9 A T W S 緩和設備に関する健全性について

44-10 S A バウンダリ系統図（参考図）

45 条

45-1 SA 設備基準適合性一覧表

45-2 電源構成図

45-3 配置図

45-4 系統図

45-5 試験検査

45-6 容量設定根拠

45-7 その他の原子炉冷却材圧力バウンダリ高圧時に発電用原子炉を冷却するための設備について

45-8 原子炉隔離時冷却系蒸気加減弁（H0 弁）に関する説明書

45-9 E C C S 系ポンプの高温耐性評価について

45-10 S A バウンダリ系統図（参考図）

46 条

46-1 SA 設備基準適合性 一覧表

46-2 単線結線図

46-3 配置図

46-4 系統図

46-5 試験検査

46-6 容量設定根拠

46-7 接続図

46-8 保管場所図

46-9 アクセスルート図

46-10 その他設備

46-11 過渡時自動減圧機能について

46-12 過渡時自動減圧機能に関する健全性について

45-13 S Aバウンダリ系統図（参考図）

47 条

47-1 SA 設備基準適合性 一覧表

47-2 電源構成図

47-3 配置図

47-4 系統図

47-5 試験検査

47-6 容量設定根拠

47-7 接続図

47-8 保管場所図

47-9 アクセスルート図

47-10 その他設備

47-11 S Aバウンダリ系統図（参考図）

48 条

48-1 SA 設備基準適合性一覧表

48-2 電源構成図

48-3 計測制御系統図

48-4 配置図

48-5 系統図

48-6 試験検査

48-7 容量設定根拠

48-8 その他の最終ヒートシンクへ熱を輸送する設備について

48-9 S Aバウンダリ系統図（参考図）

49 条

49-1 SA 設備基準適合性一覧表

49-2 電源構成図

49-3 配置図

49-4 系統図

49-5 試験及び検査

49-6 容量設定根拠

49-7 接続図

49-8 保管場所図

49-9 アクセスルート図

49-10 その他設備

49-11 S Aバウンダリ系統図（参考図）

50 条

50-1 SA 設備基準適合性 一覧表

50-2 電源構成図

50-3 配置図

50-4 系統図

50-5 試験検査

50-6 容量設定根拠

50-7 接続図

50-8 保管場所図

50-9 アクセスルート図

50-10 その他設備

50-11 原子炉格納容器の過圧破損を防止するための設備（格納容器圧力逃がし装置）について

50-12 代替循環冷却系の成立性について

50-13 S Aバウンダリ系統図（参考図）

51 条

51-1 SA 設備基準適合性 一覧表

51-2 単線結線図

51-3 配置図

51-4 系統図

51-5 試験検査

51-6 容量設定根拠

51-7 接続図

51-8 保管場所図

51-9 アクセスルート図

51-10 ペDESTAL（ドライウェル部）底部の構造変更について

51-11 原子炉圧力容器の破損判断について

51-12 ペDESTAL内に設置する計器について

51-13 その他設備

51-14 S Aバウンダリ系統図（参考図）

52 条

52-1 SA 設備基準適合性 一覧表

52-2 単線結線図

52-3 配置図

52-4 系統図

52-5 試験検査

52-6 容量設定根拠

52-7 接続図

52-8 保管場所図

52-9 アクセスルート図

52-10 計装設備の測定原理

52-11 水素及び酸素発生時の対応について

52-12 S Aバウンダリ系統図（参考図）

53 条

53-1 SA 設備基準適合性 一覧表

53-2 単線結線図

53-3 配置図

53-4 系統図

53-5 試験検査

53-6 容量設定根拠

53-7 水素爆発による原子炉建屋等の損傷を防止するための設備について

53-8 その他設備

53-9 S Aバウンダリ系統図（参考図）

54 条

54-1 SA 設備基準適合性 一覧表

54-2 単線結線図

- 54-3 配置図
- 54-4 系統図
- 54-5 試験検査
- 54-6 容量設定根拠
- 54-7 接続図
- 54-8 保管場所図
- 54-9 アクセスルート図
- 54-10 その他の燃料プール代替注水設備について
- 54-11 使用済燃料プール監視設備
- 54-12 使用済燃料プールサイフォンブレーカの健全性について
- 54-13 使用済燃料プール水沸騰・喪失時の未臨界性評価
- 54-14 その他
- 54-15 S Aバウンダリ系統図（参考図）

55 条

- 55-1 SA 設備基準適合性一覧表
- 55-2 配置図
- 55-3 系統図
- 55-4 試験検査
- 55-5 容量設定根拠
- 55-6 接続図
- 55-7 保管場所
- 55-8 アクセスルート図
- 55-9 その他設備

56 条

56-1 SA 設備基準適合性 一覧表

56-2 配置図

56-3 系統図

56-4 試験検査

56-5 容量設定根拠

56-6 接続図

56-7 保管場所図

56-8 アクセスルート図

56-9 その他設備

57 条

57-1 SA設備基準適合性一覧表

57-2 配置図

57-3 系統図

57-4 試験及び検査

57-5 容量設定根拠

57-6 アクセスルート図

57-7 設計基準事故対処設備と重大事故等対処設備のバウンダリ系統図

57-8 可搬型代替低圧電源車接続に関する説明書

57-9 代替電源設備について

57-10 全交流動力電源喪失対策設備について（直流電源設備について）

57-11 その他資料

58 条

- 58-1 SA 設備基準適合性 一覧表
- 58-2 単線結線図
- 58-3 配置図
- 58-4 系統図
- 58-5 試験検査
- 58-6 容量設定根拠
- 58-7 主要パラメータの代替パラメータによる推定方法について
- 58-8 可搬型計測器について
- 58-9 主要パラメータの耐環境性について
- 58-10 パラメータの抽出について

59 条

- 59-1 SA 設備基準適合性一覧
- 59-2 単線結線図
- 59-3 配置図
- 59-4 系統図
- 59-5 試験検査性
- 59-6 容量設定根拠
- 59-7 保管場所図
- 59-8 アクセスルート図
- 59-9 原子炉制御室について（被ばく評価除く）
- 59-10 原子炉制御室の居住性に係る被ばく評価について
- 59-11 S A バウンダリ系統図（参考図）

60 条

60-1 SA 設備基準適合性一覧表

60-2 単線結線図

60-3 配置図

60-4 試験及び検査

60-5 容量設定根拠

60-6 保管場所図

60-7 アクセスルート図

60-8 監視測定設備について

61 条

61-1 SA 設備基準適合性 一覧表

61-2 単線結線図

61-3 配置図

61-4 系統図

61-5 試験及び検査性

61-6 容量設定根拠

61-7 保管場所図

61-8 アクセスルート図

61-9 緊急時対策所について（被ばく評価除く）

61-10 緊急時対策所の居住性に係る被ばく評価について

62 条

62-1 SA 設備基準適合性 一覧表

62-2 単線結線図

62-3 配置図

62-4 系統図

62-5 試験検査

62-6 容量設定根拠

62-7 アクセスルート図

62-8 設備操作及び切替に関する説明書

59-10

原子炉制御室の居住性（炉心の著しい損傷）
に係る被ばく評価について

目 次

中央制御室の居住性（炉心の著しい損傷）に係る被ばく評価について	59-10-1
1. 評価事象	59-10-1
2. 大気中への放出量の評価	59-10-2
3. 大気拡散の評価	59-10-2
4. 原子炉建屋内の放射性物質からのガンマ線の評価	59-10-2
5. 中央制御室の居住性に係る被ばく評価	59-10-3
5.1 中央制御室内での被ばく	59-10-3
5.1.1 原子炉建屋からのガンマ線による被ばく（経路①）	59-10-3
5.1.2 大気中へ放出された放射性物質のガンマ線による被ばく（経路②）	59-10-4
5.1.3 室内に外気から取り込まれた放射性物質からのガンマ線による被ばく（経路③）	59-10-4
5.2 入退域時の被ばく	59-10-6
5.2.1 建屋内からのガンマ線による被ばく（経路④）	59-10-6
5.2.2 大気中へ放出された放射性物質による被ばく（経路⑤）	59-10-6
6. 評価結果のまとめ	59-10-10
添付資料 中央制御室の居住性（炉心の著しい損傷）に係る被ばく評価について	
1 中央制御室の居住性（炉心の著しい損傷）に係る被ばく評価条件	59-10-添 1-1
2 事象の選定の考え方について	59-10-添 2-1
3 格納容器漏えい率の設定について	59-10-添 3-1
4 格納容器内での除去効果について	59-10-添 4-1
5 格納容器内における無機よう素の自然沈着効果について	59-10-添 5-1
6 サプレッション・プールでのスクラビングによる除去効果（無機よう素）について	59-10-添 6-1
7 格納容器外への核分裂生成物の放出割合の設定について	59-10-添 7-1
8 炉心の著しい損傷が発生した場合の居住性評価（被ばく評価）に用いる大気拡散の評価について	59-10-添 8-1
9 フィルタの除去性能について	59-10-添 9-1
10 中央制御室換気系フィルタ内放射性物質からの被ばくについて	59-10-添 10-1
11 空気流入率試験結果について	59-10-添 11-1
12 全面マスクによる防護係数について	59-10-添 12-1
13 運転員の勤務体系について	59-10-添 13-1
14 グランドシャイン線評価モデルについて	59-10-添 14-1

15 エアロゾルの乾性沈着速度について	59-10-添 15-1
16 地表面への沈着速度の設定について	59-10-添 16-1
17 有機よう素の乾性沈着速度について	59-10-添 17-1
18 実効放出継続時間の設定について	59-10-添 18-1
19 待避時間の設定根拠について	59-10-添 19-1
20 審査ガイド※ ¹ への適合状況	59-10-添 20-1

※1 実用発電用原子炉に係る重大事故時の制御室及び緊急時対策所の居住性に
係る被ばく評価に関する審査ガイド

中央制御室の居住性（炉心の著しい損傷）に係る被ばく評価について

炉心の著しい損傷が発生した場合の中央制御室の居住性に係る被ばく評価に当たっては、「実用発電用原子炉に係る重大事故時の制御室及び緊急時対策所の居住性に係る被ばく評価に関する審査ガイド」（以下「審査ガイド」という。）に基づき、評価を行った。

（実用発電用原子炉及びその附属施設の位置、構造及び設備の基準に関する規則の解釈第 59 条より抜粋）

【実用発電用原子炉及びその附属施設の位置、構造及び設備の基準に関する規則の解釈】第 59 条（原子炉制御室）第 1 項

b) 炉心の著しい損傷が発生した場合の原子炉制御室の居住性について、次の要件を満たすものであること。

- ① 本規程第 37 条の想定する格納容器破損モードのうち、原子炉制御室の運転員の被ばくの観点から結果が最も厳しくなる事故収束に成功した事故シーケンス（例えば、炉心の著しい損傷の後、格納容器圧力逃がし装置等の格納容器破損防止対策が有効に機能した場合）を想定すること。
- ② 運転員はマスクの着用を考慮してもよい。ただし、その場合は実施のための体制を整備すること。
- ③ 交代要員体制を考慮してもよい。ただし、その場合は実施のための体制を整備すること。
- ④ 判断基準は、運転員の実効線量が 7 日間で 100mSv を超えないこと。

1. 評価事象

東海第二発電所においては、「想定する格納容器破損モードのうち、中央制御室の運転員の被ばく低減の観点から結果が最も厳しくなる事故収束に成功した事故シーケンス」である「雰囲気圧力・温度による静的負荷（格納容器

過圧・過温破損)」で想定される事故シーケンスにおいても、格納容器ベントの回避若しくは格納容器ベントの実施時期を遅延させることができる代替循環冷却系を整備する。しかし、被ばく評価においては、中央制御室の居住性評価を厳しくする観点から、代替循環冷却系を使用できず、早期の格納容器圧力逃がし装置による格納容器ベントを実施した場合を想定する。

2. 大気中への放出量の評価

放射性物質については、上記 2.1 で示した事故シーケンスを想定し、格納容器から格納容器圧力逃がし装置への流入量及び格納容器から原子炉建屋原子炉棟への漏えい量をMAAP解析及びNUREG-1465 の知見を用いて評価した。ただし、MAAPコードでは、よう素の化学組成は考慮されないため、粒子状よう素、無機よう素及び有機よう素については、R.G.1.195 の知見を用いて評価した。

3. 大気拡散の評価

被ばく評価に用いる相対濃度と相対線量は、大気拡散の評価に従い実効放出継続時間を基に計算した結果を年間について小さい方から順に並べた累積出現頻度 97%に当たる値を用いた。評価においては、2005 年 4 月～2006 年 3 月の 1 年間における気象データを使用した。なお、当該データの使用に当たっては、当該 1 年間の気象データが長期間の気象状態を代表しているかどうかの検討を F 分布検定により実施し、特に異常でないことを確認している。

4. 原子炉建屋内の放射性物質からのガンマ線の評価

原子炉建屋原子炉棟内の放射性物質からの直接ガンマ線及びスカイシャインガンマ線による運転員の実効線量は、施設の位置、建屋の配置、形状等から

評価した。直接ガンマ線についてはQAD-CGGP2Rコード，スカイシャインガンマ線についてはANISNコード及びG33-GP2Rコードを用いて評価した。

5. 中央制御室の居住性に係る被ばく評価

被ばく評価に当たって考慮している被ばく経路（①～⑤）は第5-1図に示すとおりである。それぞれの経路における評価方法及び評価条件は以下に示すとおりである。

中央制御室等の運転員に係る被ばく評価期間は事象発生後7日間とした。

運転員の勤務体系（5直2交替）に基づき，中央制御室の滞在期間及び入退域の時間を考慮して評価する。想定する勤務体系を第5-1表に示す。

第5-1表 想定する勤務体系

	中央制御室の滞在時間
1直	8:00～21:45
2直	21:30～8:15
日勤業務	—

	1日目	2日目	3日目	4日目	5日目	6日目	7日目
A班※	1直						
B班			1直	1直		2直	2直
C班	2直				1直	1直	
D班		2直	2直				1直
E班※		1直		2直	2直		

※被ばくの平準化のため，事故直後に中央制御室に滞在している班（A班）の代わり，2日目以降は日勤業務の班（E班）が滞在するものとする。

5.1 中央制御室内での被ばく

5.1.1 原子炉建屋からのガンマ線による被ばく（経路①）

事故期間中に原子炉建屋原子炉棟内に存在する放射性物質からの直接ガンマ線及びスカイシャインガンマ線による中央制御室内での運転員の外部被ばくは、前述 4. の方法で実効線量を評価した。

5.1.2 大気中へ放出された放射性物質のガンマ線による被ばく（経路②）

大気中へ放出された放射性物質からのガンマ線による中央制御室内での外部被ばくは、事故期間中の大気中への放射性物質の放出量を基に大気拡散効果と中央制御室の壁によるガンマ線の遮蔽効果を踏まえて運転員の実効線量を評価した。

また、地表面に沈着した放射性物質からのガンマ線についても考慮して評価した。

5.1.3 室内に外気から取り込まれた放射性物質からのガンマ線による被ばく（経路③）

事故期間中に大気中へ放出された放射性物質の一部は外気から中央制御室内に取り込まれる。中央制御室内に取り込まれた放射性物質のガンマ線による外部被ばく及び放射性物質の吸入摂取による内部被ばくの和として実効線量を評価した。なお、内部被ばくの評価に当たってはマスクの着用による防護係数を考慮した。

評価に当たっては、(1) ～ (4) に示す中央制御室換気系の効果及び中央制御室に設置する待避室の効果等を考慮した。なお、中央制御室換気系の起動時間については、全交流動力電源喪失を想定した起動時間を考慮した評価とした。また、待避室の遮蔽効果は、待避室に待避する期間のみに

ついて考慮した評価とした。中央制御室内での対応のタイムチャートを第 5.1.3-1 図に示す。

(1) 中央制御室換気運転モード

中央制御室換気系の運転モードを以下に示す。具体的な系統構成は第 5.1.3-2 図に示すとおりである。

1) 通常時運転時

通常時は、中央制御室空気調和機ファン及び中央制御室排気用ファンにより、一部外気を取り入れる閉回路循環方式によって中央制御室の空気調節を行う。

2) 事故時

事故時は、外気取入口を遮断して、中央制御室フィルタ系ファンによりフィルタユニット（高性能粒子フィルタ及びチャコールフィルタ）を通した閉回路循環運転とし、運転員を放射線被ばくから防護する。

なお、外気の遮断が長期にわたり、室内環境が悪化した場合には、チャコールフィルタにより外気を浄化して取り入れることもできる。

(2) フィルタを通らない空気流入量

中央制御室へのもろ素除去フィルタを通らない空気の流入量は、空気流入率測定試験結果を踏まえて保守的に換気率換算で 1.0 回/h と仮定して評価した。

(3) 待避室

中央制御室内に設置する待避室には、格納容器ベント開始から 5 時間待避すると想定する。待避中は待避室内を空気ポンベにより加圧し室内を正圧にするものとし、外部からの空気の流入はないものとして評価した。待避室の概要図及び設置場所を第 5.1.3-3 図に示す。

(4) マスクの考慮

事象発生から3時間後まではマスクを着用（DF50）すると想定した。

5.2 入退域時の被ばく

5.2.1 建屋内からのガンマ線による被ばく（経路④）

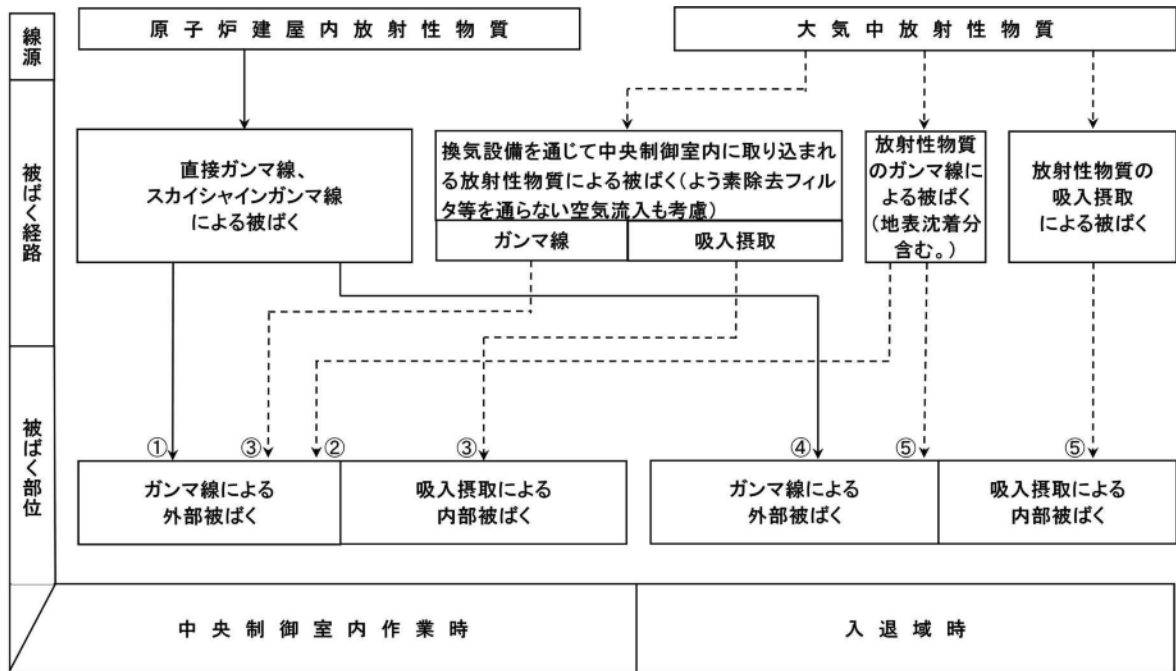
事故期間中に原子炉建屋原子炉棟内に存在する放射性物質からの直接ガンマ線及びスカイシャインガンマ線による入退域時の運転員の外部被ばくは、中央制御室の壁等によるガンマ線の遮へい効果を期待しないこと以外は、「5.1.1 原子炉建屋からのガンマ線による被ばく（経路①）」と同様な手法で実効線量を評価した。

入退域時の運転員の実効線量の評価に当たっては、周辺監視区域境界から中央制御室出入口までの運転員の移動経路を対象とし、代表評価点は、建屋入口とした。

5.2.2 大気中へ放出された放射性物質による被ばく（経路⑤）

大気中へ放出された放射性物質からのガンマ線による入退域時の外部被ばくは、中央制御室の壁によるガンマ線の遮蔽効果を期待しないこと以外は「5.1.2 大気中へ放出された放射性物質のガンマ線による被ばく（経路②）」と同様な手法で、吸入摂取による内部被ばくは中央制御室の換気系に期待しないこと以外は「5.1.3 室内に外気から取り込まれた放射性物質による被ばく（経路③）」と同様な方法で放射性物質からのガンマ線による外部被ばく及び吸入摂取による内部被ばくの和として運転員の実効線量を評価した。内部被ばくの評価に当たってはマスクの着用による防護係数を考慮した。また、地表面に沈着した放射性物質からのガンマ線についても考慮して評価した。

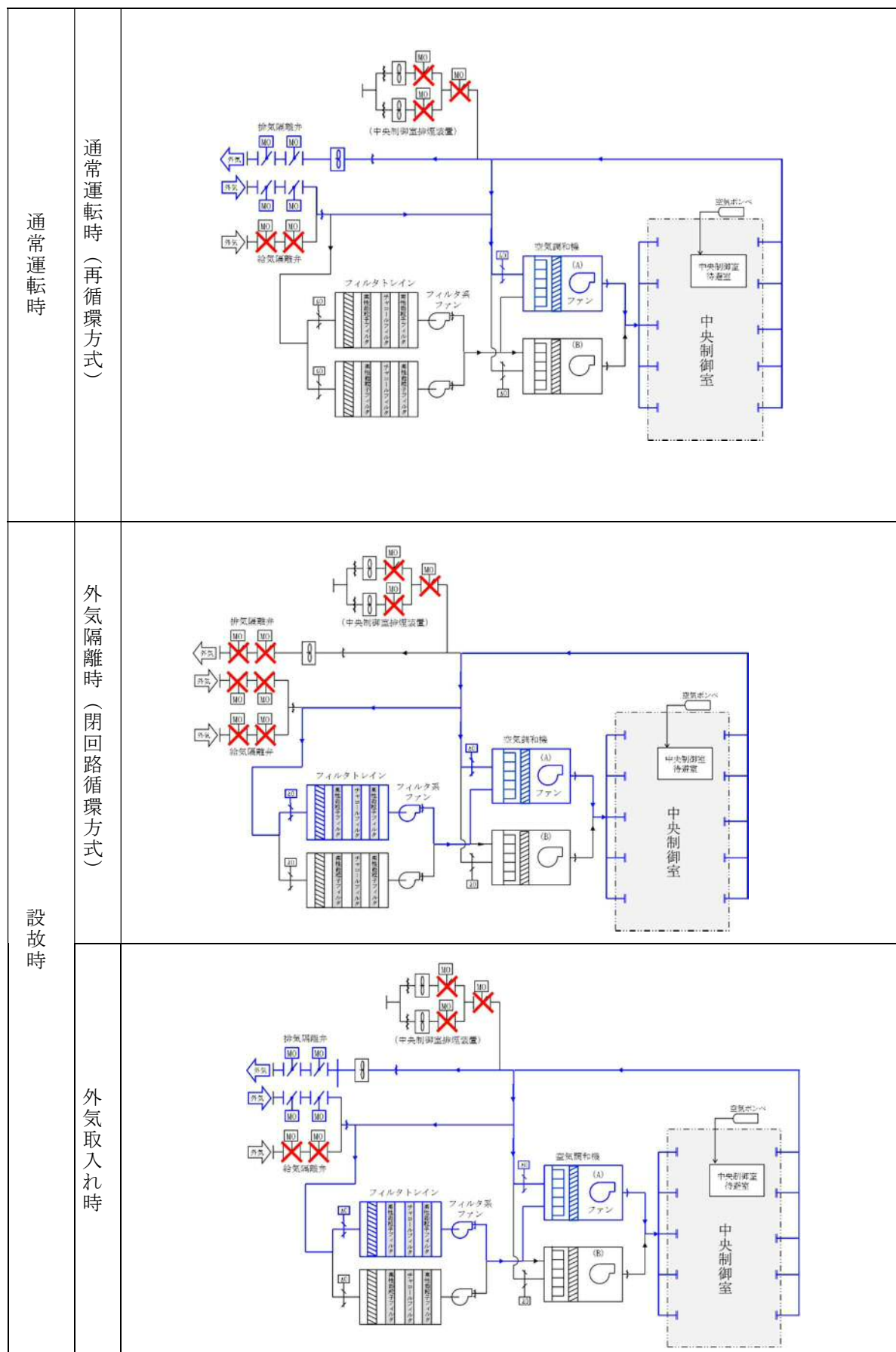
入退域時の運転員の実効線量の評価に当たっては、上記 5.2.1 の仮定と同じである。



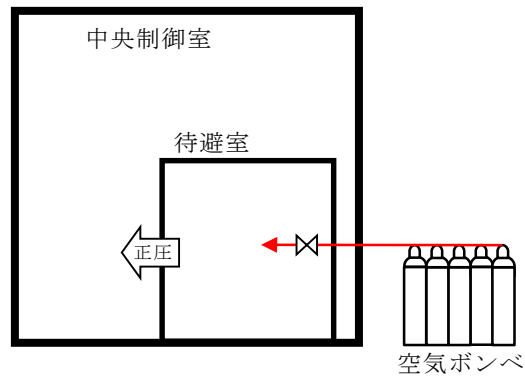
第 5-1 図 炉心の著しい損傷が発生した場合の中央制御室居住性評価における想定被ばく経路

タイムチャート	0h	2h	3h	19h	24h	168h
ベント放出				▽		
MCR 空調						
全交流動力電源喪失時に代替交流電源からの供給を期待できる事象発生から約 2 時間を起動時間として設定						
待避室への滞在						
ベント放出から 5 時間を退避時間として設定						
マスクの着用						
事象発生から 3 時間 (MCR 空調復旧後 1 時間) までをマスク着用時間として設定						

第 5.1.3-1 図 中央制御室内での対応のタイムチャート

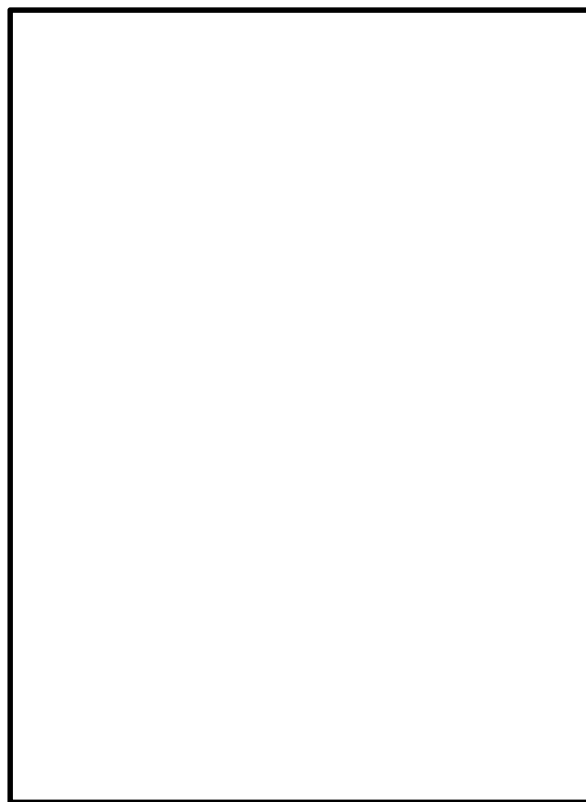


第5. 1. 3-2図 中央制御室換気系系統構成



炉心の著しい損傷が発生した場合【格納容器ベント実施中】
(空気ポンベ加圧)

- ※ 格納容器ベント実施後，中央制御室内の線量が下がるまでは，中央制御室内の待避室に滞在するものとし，待避室内を空気ポンベにより加圧する。



第 5. 1. 3-3 図 待避室の概要図及び設置場所

6. 評価結果のまとめ

1. に示したとおり，東海第二発電所において炉心の著しい損傷が発生した

場合、第一に代替循環冷却系を用いて事象を収束するが、被ばく評価においては、中央制御室の居住性評価を厳しくする観点から、代替循環冷却系を使用できず、格納容器圧力逃がし装置を用いた格納容器ベントを実施した場合を想定した。この想定に基づく、7日間の各班の中央制御室の居住性（炉心の著しい損傷）に係る被ばく評価結果は、第 6-1 表に示すとおりである。また、最大の線量となる班（A 班）の内訳は第 6-2 表に示す通りであり、実効線量は約 60mSv である。

したがって、評価結果は、「判断基準は、運転員の実効線量が 7 日間で 100mSv を超えないこと」を満足している。なお、マスクを着用しない場合の 7 日間の各班の実効線量は第 6-3 表に示すとおりである。また、最大の線量となる班（A 班）の内訳は第 6-4 表に示す通りである。

この評価に係る被ばく経路イメージを第 6-5 表に、被ばく評価の主要条件を第 6-6 表に示す。

第 6-1 表 各班の中央制御室の居住性（炉心の著しい損傷）に係る被ばく評

価結果（マスクを考慮する場合）

（単位：mSv）

	1 日 目	2 日 目	3 日 目	4 日 目	5 日 目	6 日 目	7 日 目	合 計
A 班	約 6.0×10^1							約 6.0×10^1
B 班			約 1.2×10^1	約 9.3×10^0		約 5.5×10^0	約 2.7×10^0	約 3.0×10^1
C 班	約 4.0×10^1				約 7.5×10^0	約 6.2×10^0		約 5.4×10^1
D 班		約 1.4×10^1	約 1.0×10^1				約 5.2×10^0	約 2.9×10^1
E 班		約 2.4×10^1		約 8.0×10^0	約 6.6×10^0			約 3.9×10^1

第 6-2 表 最大の線量となる班（A 班）の被ばく評価結果の内訳

（マスクを考慮する場合）

（単位：mSv）

被ばく経路		実効線量
中央制御室内作業時	①建屋からのガンマ線による被ばく	約 7.8×10^{-1}
	②大気中へ放出された放射性物質のガンマ線による被ばく	約 9.6×10^{-1}
	③室内に外気から取り込まれた放射性物質による被ばく	約 4.6×10^1
	（内訳） 内部被ばく 外部被ばく	約 4.0×10^1 約 5.3×10^0
	②大気中へ放出され、地表面に沈着した放射性物質のガンマ線による被ばく	約 4.7×10^0
	小 計 （①+②+③）	約 5.2×10^1
入退域時	④建屋からのガンマ線による被ばく	約 2.6×10^{-1}
	⑤大気中へ放出された放射性物質による被ばく	約 6.9×10^{-3}
	（内訳） 内部被ばく 外部被ばく	約 1.3×10^{-3} 約 5.6×10^{-3}
	⑤大気中へ放出され、地表面に沈着した放射性物質のガンマ線による被ばく	約 8.0×10^0
	小 計 （④+⑤）	約 8.3×10^0
合 計 （①+②+③+④+⑤）		約 6.0×10^1

第 6-3 表 各班の中央制御室の居住性（炉心の著しい損傷）に係る被ばく評

価結果（マスクを考慮しない場合）

（単位：mSv）

	1 日 目	2 日 目	3 日 目	4 日 目	5 日 目	6 日 目	7 日 目	合 計
A 班	約 1.0×10^3							約 1.0×10^3
B 班			約 1.2×10^1	約 9.3×10^0		約 5.5×10^0	約 2.7×10^0	約 3.0×10^1
C 班	約 4.0×10^1				約 7.6×10^0	約 6.2×10^0		約 5.4×10^1
D 班		約 1.4×10^1	約 1.0×10^1				約 5.2×10^0	約 2.9×10^1
E 班		約 2.4×10^1		約 8.0×10^0	約 6.6×10^0			約 3.9×10^1

第 6-4 表 最大の線量となる班（A 班）の被ばく評価結果の内訳

（マスクを考慮しない場合）

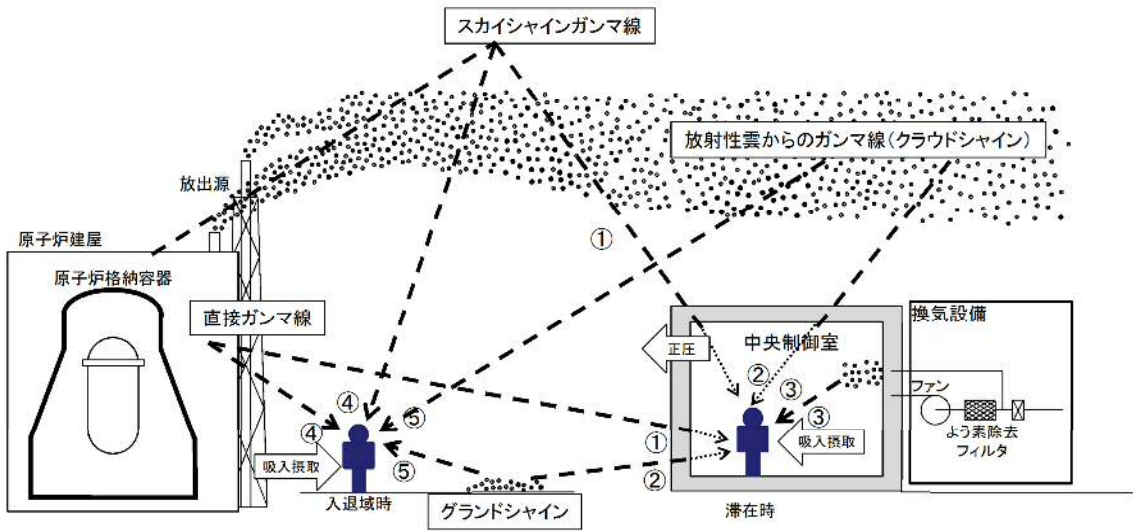
（単位：mSv）

被ばく経路		実効線量
中央制御室内作業時	①建屋からのガンマ線による被ばく	約 7.8×10^{-1}
	②大気中へ放出された放射性物質のガンマ線による被ばく	約 9.6×10^{-1}
	③室内に外気から取り込まれた放射性物質による被ばく	約 1.0×10^3
	（内訳） 内部被ばく 外部被ばく	約 1.0×10^3 約 5.3×10^0
	②大気中へ放出され、地表面に沈着した放射性物質のガンマ線による被ばく	約 4.7×10^{-1}
	小 計 （①+②+③）	約 1.0×10^3
入退域時	④建屋からのガンマ線による被ばく	約 2.6×10^{-1}
	⑤大気中へ放出された放射性物質による被ばく	約 6.8×10^{-2}
	（内訳） 内部被ばく 外部被ばく	約 6.3×10^{-2} 約 5.6×10^{-3}
	⑤大気中へ放出され、地表面に沈着した放射性物質のガンマ線による被ばく	約 8.0×10^0
	小 計 （④+⑤）	約 8.3×10^0
合 計 （①+②+③+④+⑤）		約 1.0×10^3

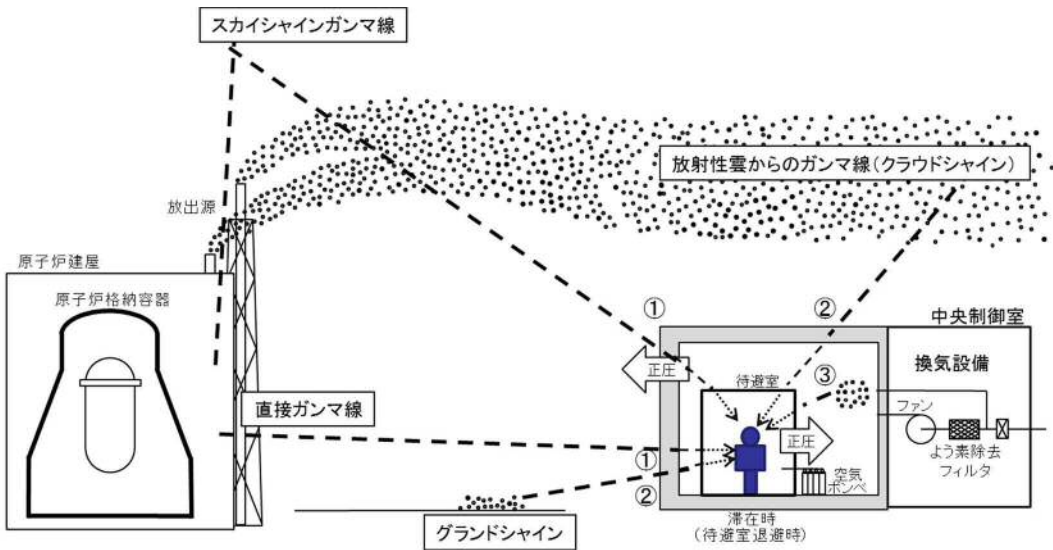
第 6-5 表 中央制御室の居住性（炉心の著しい損傷）に係る
被ばく経路イメージ

中央制御室内での被ばく	①原子炉建屋内の放射性物質からのガンマ線による被ばく （直接及びスカイシャインガンマ線による外部被ばく）
	②大気中へ放出された放射性物質からのガンマ線による被ばく （クラウドシャイン及びグランドシャインによる外部被ばく）
	③外気から中央制御室内へ取り込まれた放射性物質による被ばく （吸入摂取による内部被ばく、室内に浮遊している放射性物質による外部被ばく）
入退域での被ばく	④原子炉建屋内の放射性物質からのガンマ線による被ばく （直接及びスカイシャインガンマ線による外部被ばく）
	⑤大気中へ放出された放射性物質による被ばく （クラウドシャイン、グランドシャイン及びよう素フィルタからのガンマ線による外部被ばく、吸入摂取による内部被ばく）

(1) 閉回路循環運転時



(2) 待避室待避時



第 6-6 表 中央制御室の居住性（炉心の著しい損傷）に係る被ばく評価の

主要評価条件

項目		評価条件	選定理由
放出放射能 量評価条件	評価事象	「大破断 L O C A + 高圧炉心冷却失敗 + 低圧炉心冷却失敗」（代替循環冷却系を使用できない場合）（全交流動力電源喪失の重量を考慮）	審査ガイドに示されたとおり設定（添付 2 参照）
	放出開始時間	格納容器漏えい：事象発生直後 格納容器ベント：事象発生から約 19 時間後	M A A P 解析結果
	非常用ガス処理系及び非常用ガス再循環系の起動時間	事象発生から 2 時間後	起動操作時間（115 分）＋負圧達成時間（5 分）（起動に伴い原子炉建屋内は負圧になるが、保守的に負圧達成時間として 5 分を想定）
	事故の評価期間	7 日間	審査ガイドに示す 7 日間における運転員の実効線量を評価する観点から設定
大気拡散条件	放出源及び放出源高さ	放出源：原子炉建屋からの放出（地上高 0m）、格納容器圧力逃がし装置排気口放出（地上高 57m）及び非常用ガス処理系出口（地上高 140m）	原子炉建屋放出時の高さは地上放出として地上高 0m で設定 格納容器圧力逃がし装置排気口放出時の高さは地上高 57m に設定 非常用ガス処理系からの放出時は排気筒高さとして地上 140m に設定
被ばく評価条件	中央制御室非常用循環設備よう素フィルタによる除去効率	95%	フィルタユニットの設計値（チャコールフィルタ効率：97%）を保守的に設定（添付 9, 10 参照）
	中央制御室非常用換気系微粒子フィルタによる除去効率	99.9%	フィルタユニットの設計値（高性能粒子フィルタ：99.97%）を保守的に設定（添付 9, 10 参照）
	中央制御室非常用換気系の起動時間	事象発生から 2 時間	全交流動力電源喪失を考慮し、代替電源からの電源供給開始時間から保守的に設定
	空気流入率	1 回/h	非常用換気系作動時の空気流入率測定試験結果の結果である 0.45 回/h に対して保守的に 1 回/h と設定（添付 11 参照）
	マスクによる防護係数	マスク着用を考慮する場合は事象発生から 3 時間及び入退域時：50 （その他の期間及びマスク着用を考慮しない場合は評価期間中常時マスク着用なし）	中央制御室非常用換気系作動前及び中央制御室内の放射性物質濃度が下がるまでの時間についてマスクの着用を考慮。（添付 12 参照）
	待避室加圧開始時間	事象発生から約 19 時間後（ベント開始時）	格納容器圧力逃がし装置により放出される放射性物質からの被ばくを防護するために待避室に待避すると想定
	待避室加圧時間	ベント開始から 5 時間	中央制御室内に流入した放射性物質からの影響を十分に防護できる時間として設定

詳細な評価条件は添付 1 参照

添付資料 中央制御室の居住性（炉心の著しい損傷）に係る被ばく評価について

1 中央制御室の居住性（炉心の著しい損傷）に係る被ばく評価条件
炉心の著しい損傷が発生した場合における中央制御室の居住性に
係る被ばく評価条件について、第 1-1 表～第 1-10 表に示す。

第 1-1 表 大気中への放出放射エネルギー評価条件

第 1-2 表 大気中への放出放射エネルギー評価結果（7 日積算）

第 1-1 図 放射性物質の大気放出過程

第 1-3 表 大気拡散条件

第 1-4 表 相対濃度及び相対線量

第 1-5 表 直接ガンマ線及びスカイシャインガンマ線の評価条件

第 1-6 表 直接ガンマ線及びスカイシャインガンマ線の評価に用いる
エネルギー群別ガンマ線積算線源強度

第 1-2 図 直接ガンマ線及びスカイシャインガンマ線の計算モデル

第 1-7 表 中央制御室換気設備条件

第 1-8 表 中央制御室内待避室設備条件

第 1-9 表 運転員交替考慮条件

第 1-10 表 線量換算係数，呼吸率及び地表への沈着速度の条件

第 1-1 表 大気中への放出放射エネルギー評価条件 (1/6)

項目	評価条件	選定理由	審査ガイドでの記載
評価事象	「大破断 L O C A + 高圧炉心冷却失敗 + 低圧炉心冷却失敗」(代替循環冷却系を使用できない場合)(全交流動力電源喪失の重畳を考慮)	審査ガイドに示されたとおり設定 (添付 2 参照)	4.1(2)a. 原子炉制御室の居住性に係る被ばく評価では、格納容器破損防止対策の有効性評価で想定する格納容器破損モードのうち、原子炉制御室の運転員又は対策要員の被ばくの観点から結果が最も厳しくなる事故収束に成功した事故シーケンス(この場合、格納容器破損防止対策が有効に働くため、格納容器は健全である)のソースターム解析を基に、大気中への放射性物質放出量及び原子炉施設内の放射性物質存在量分布を設定する。
炉心熱出力	3,293MW	定格熱出力	—
運転時間	1 サイクル当たり 10,000 時間(約 416 日)	1 サイクル 13 ヶ月(395 日)を考慮して設定	—
取替炉心の装荷割合	1 サイクル : 0.229 2 サイクル : 0.229 3 サイクル : 0.229 4 サイクル : 0.229 5 サイクル : 0.084	取替燃料炉心の燃料装荷割合に基づき設定	—

第 1-1 表 大気中への放出放射能量評価条件 (2/6)

項目	評価条件	選定理由	審査ガイドでの記載
炉心内蔵量	希ガス類 : 約 2.2×10^{19} Bq CsI 類 : 約 2.9×10^{19} Bq CsOH 類 : 約 1.2×10^{18} Bq Sb 類 : 約 1.3×10^{18} Bq TeO ₂ 類 : 約 6.8×10^{18} Bq SrO 類 : 約 1.3×10^{19} Bq BaO 類 : 約 1.2×10^{19} Bq MoO ₂ 類 : 約 2.5×10^{19} Bq CeO ₂ 類 : 約 7.5×10^{19} Bq La ₂ O ₃ 類 : 約 5.5×10^{19} Bq (核種毎の炉心内蔵量を核種グループ毎に集約して記載)	「単位熱出力当たりの炉心内蔵量 (Bq/MW)」×「3,293MW (定格熱出力)」 (単位熱出力当たりの炉心内蔵量 (Bq/MW) は、BWR 共通条件として、東海第二と同じ装荷燃料 (9×9 燃料 (A 型))、運転時間 (10,000 時間) で算出した ABWR のサイクル末期の値を使用)	4.3. (1)a. 希ガス類, ヨウ素類, Cs 類, Te 類, Ba 類, Ru 類, Ce 類及び La 類を考慮する。
放出開始時間	格納容器漏えい : 事象発生直後 格納容器ベント : 事象発生から約 19 時間後	MAAP 解析結果	4.3. (4)a. 放射性物質の大気中への放出開始時刻及び放出継続時間は、4.1(2)a で選定した事故シーケンスのソースターム解析結果を基に設定する。
格納容器内 pH 制御の効果	考慮しない	格納容器内 pH 制御設備は、重大事故等対処設備と位置付けていないため、保守的に設定	—
よう素の形態	粒子状よう素 : 5% 無機よう素 : 91% 有機よう素 : 4%	R. G. 1. 195 ^{*1} に基づき設定	4.3(1) a. 原子炉格納容器への放出割合の設定に際し、ヨウ素類の性状を適切に考慮する。

第 1-1 表 大気中への放出放射エネルギー評価条件 (3/6)

項目	評価条件	選定理由	審査ガイドでの記載
格納容器から原子炉建屋への漏えい率（希ガス、エアロゾル及び有機よう素）	1Pd 以下：0.9Pd で 0.5%/日 1Pd 超過：2Pd で 1.3%/日	MAAP 解析にて格納容器の開口面積を設定し格納容器圧力に応じ漏えい率が変化するものとし、格納容器の設計漏えい率（0.9Pd で 0.5%/日）及びAECの式等に基づき設定（添付 3 参照）	4.3(3)e. 原子炉格納容器漏えい率は、4.1(2)a で選定した事故シーケンスの事故進展解析結果を基に設定する。
格納容器から原子炉建屋への漏えい率（無機よう素）	1.5h 後～19.5h 後：1.3%/日 上記以外の期間：0.5%/日	格納容器の設計漏えい率及びAECの式等に基づき設定（格納容器圧力が 0.9Pd を超える期間を包絡するように 1.3%/日の漏えい率を設定）（添付 3 参照）	
格納容器内での除去効果（エアロゾル）	MAAP 解析に基づく（沈着、サプレッション・プールでのスクラビング及びドライウェルスプレイ）	MAAP のFP挙動モデル（添付 4 参照）	4.3(3)c. 原子炉格納容器スプレイの作動については、4.1(2)a で選定した事故シーケンスの事故進展解析条件を基に設定する。 4.3(3)d. 原子炉格納容器内の自然沈着率については、実験等から得られた適切なモデルを基に設定する。
格納容器内での除去効果（有機よう素）	考慮しない	保守的に設定	—

第 1-1 表 大気中への放出放射エネルギー評価条件 (4/6)

項目	評価条件	選定理由	審査ガイドでの記載
格納容器内での除去効果（無機元素）	自然沈着率： 9.0×10^{-4} (1/s) (格納容器内の最大存在量から 1/200 まで)	C S E 実験及び Standard Review Plan 6.5.2 ^{※2} に基づき設定（添付 5 参照）	4.3(3)d. 原子炉格納容器内の自然沈着率については、実験等から得られた適切なモデルを基に設定する。
	サプレッション・プールのスクラビングによる除去効果：10	Standard Review Plan 6.5.5 ^{※3} に基づき設定（添付 6 参照）	—
格納容器から原子炉建屋への漏えい割合	希ガス類 : 約 4.3×10^{-3} C s I 類 : 約 6.3×10^{-5} C s O H 類 : 約 3.2×10^{-5} S b 類 : 約 6.8×10^{-6} T e O ₂ 類 : 約 6.8×10^{-6} S r O 類 : 約 2.7×10^{-6} B a O 類 : 約 2.7×10^{-6} M o O ₂ 類 : 約 3.4×10^{-7} C e O ₂ 類 : 約 6.8×10^{-8} L a ₂ O ₃ 類 : 約 2.7×10^{-8}	MAAP 解析結果及び NUREG-1465 ^{※4} の知見に基づき設定（添付 7 参照）	—
原子炉建屋から大気への漏えい率（非常用ガス処理系及びガス再循環系の起動前）	無限大／日（地上放出） (格納容器から原子炉建屋へ漏えいした放射性物質は、即座に大気へ漏えいするものとして評価)	保守的に設定	—

第 1-1 表 大気中への放出放射エネルギー評価条件 (5/6)

項目	評価条件	選定理由	審査ガイドでの記載
原子炉建屋から大気への放出率（非常用ガス処理系及び非常用ガス再循環系の起動後）	1 回／日（排気筒放出）	設計値に基づき設定 （非常用ガス処理系のファン容量）	4.3(3)a. 非常用ガス処理系（BWR）又はアニュラス空気浄化設備（PWR）の作動については、4.1(2)a で選定した事故シーケンスの事故進展解析条件を基に設定する。
非常用ガス処理系及び非常用ガス再循環系の起動時間	事象発生から 2 時間後	起動操作時間（115 分）＋負圧達成時間（5 分）（起動に伴い原子炉建屋内は負圧になるが、保守的に負圧達成時間として 5 分を想定）	
非常用ガス処理系及び非常用ガス再循環系のフィルタ除去効率	考慮しない	保守的に設定	4.3(3)b. ヨウ素類及びエアロゾルのフィルタ効率は、使用条件での設計値を基に設定する。なお、フィルタ効率の設定に際し、ヨウ素類の性状を適切に考慮する。
原子炉建屋外側ブローアウトパネルの開閉状態	閉状態	原子炉建屋の急激な圧力上昇等による原子炉建屋外側ブローアウトパネルの開放がないため	—

第 1-1 表 大気中への放出放射能量評価条件 (6/6)

項目	評価条件	選定理由	審査ガイドでの記載
格納容器圧力逃 がし装置への放 出割合	希ガス類 : 約 9.5×10^{-1} C s I 類 : 約 1.1×10^{-6} C s O H 類 : 約 4.0×10^{-7} S b 類 : 約 9.0×10^{-8} T e O ₂ 類 : 約 9.0×10^{-8} S r O 類 : 約 3.6×10^{-8} B a O 類 : 約 3.6×10^{-8} M o O ₂ 類 : 約 4.5×10^{-9} C e O ₂ 類 : 約 9.0×10^{-10} L a ₂ O ₃ 類 : 約 3.6×10^{-10}	MAAP 解析結果及び NUREG -1465 の知見に基づき設定 (添付 7 参照)	—
格納容器圧力逃 がし装置の除去 係数	希ガス : 1 有機よう素 : 50 無機よう素 : 100 エアロゾル : 1,000	設計値に基づき設定	—
事故の評価期間	7 日間	審査ガイドに示す 7 日間における 運転員の実効線量を評価する観点 から設定	3. (解釈抜粋) 第 74 条 (原子炉制御室) 1 b) ④判断基準は, 運転員の実効線 量が 7 日間で 100mSv を超えないこと。

※1 Regulatory Guide 1.195, “Methods and Assumptions for Evaluating Radiological Consequences of Design Basis Accidents at Light-Water Nuclear Power Reactors”, May 2003

※2 Standard Review Plan 6.5.2, “Containment Spray as a Fission Product Cleanup System”, March 2007

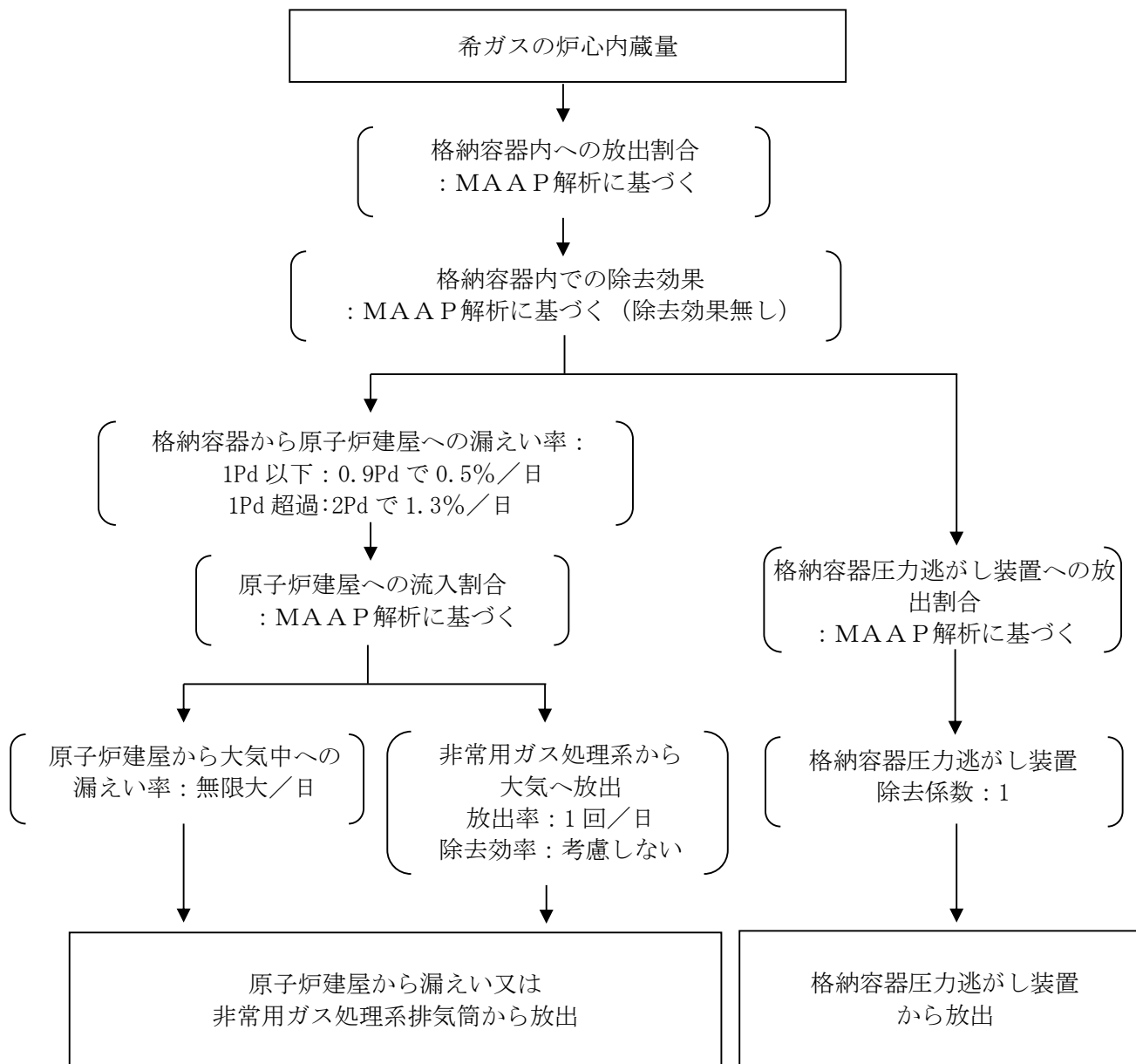
※3 Standard Review Plan 6.5.5, “Pressure Suppression Pool as a Fission Product Cleanup System”, March 2007

※4 NUREG-1465, “Accident Source Terms for Light-Water Nuclear Power Plants”, 1995

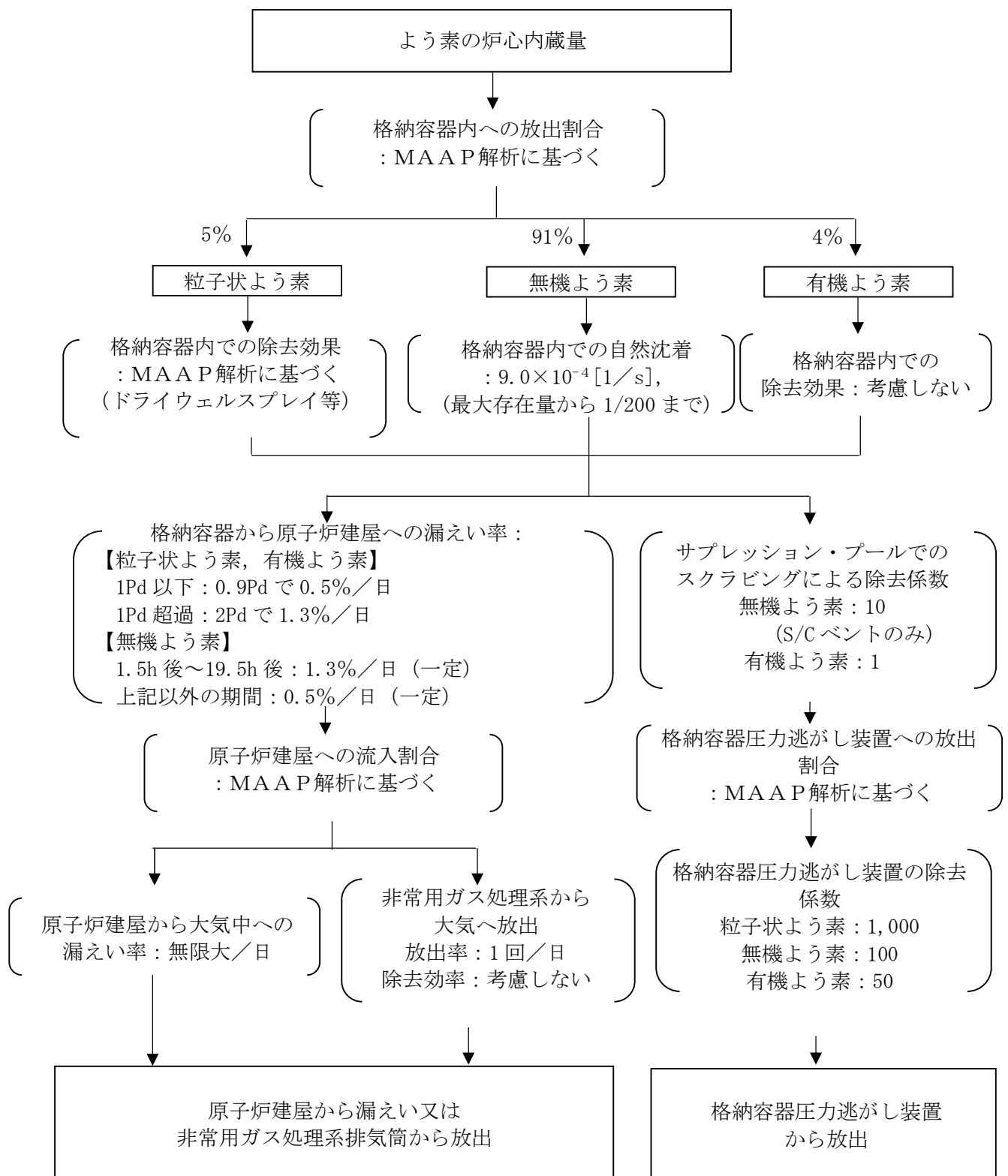
第 1-2 表 大気中への放出放射能評価結果（7 日積算）

核種 グループ	放出放射能[Bq]（gross 値）※		
	原子炉建屋から大気 中へ放出	格納容器圧力逃がし 装置を経由した放出	合計
希ガス類	約 3.6×10^{16}	約 8.9×10^{18}	約 9.0×10^{18}
よう素類	約 2.8×10^{15}	約 7.3×10^{15}	約 1.0×10^{16}
C s O H 類	約 3.8×10^{13}	約 5.0×10^8	約 3.8×10^{13}
S b 類	約 4.5×10^{12}	約 2.6×10^7	約 4.5×10^{12}
T e O ₂ 類	約 3.7×10^{13}	約 4.4×10^8	約 3.7×10^{13}
S r O 類	約 2.0×10^{13}	約 1.7×10^8	約 2.0×10^{13}
B a O 類	約 2.0×10^{13}	約 2.1×10^8	約 2.0×10^{13}
M o O ₂ 類	約 6.9×10^{12}	約 8.4×10^7	約 6.9×10^{12}
C e O ₂ 類	約 4.3×10^{12}	約 5.5×10^7	約 4.3×10^{12}
L a ₂ O ₃ 類	約 1.2×10^{12}	約 1.2×10^7	約 1.2×10^{12}

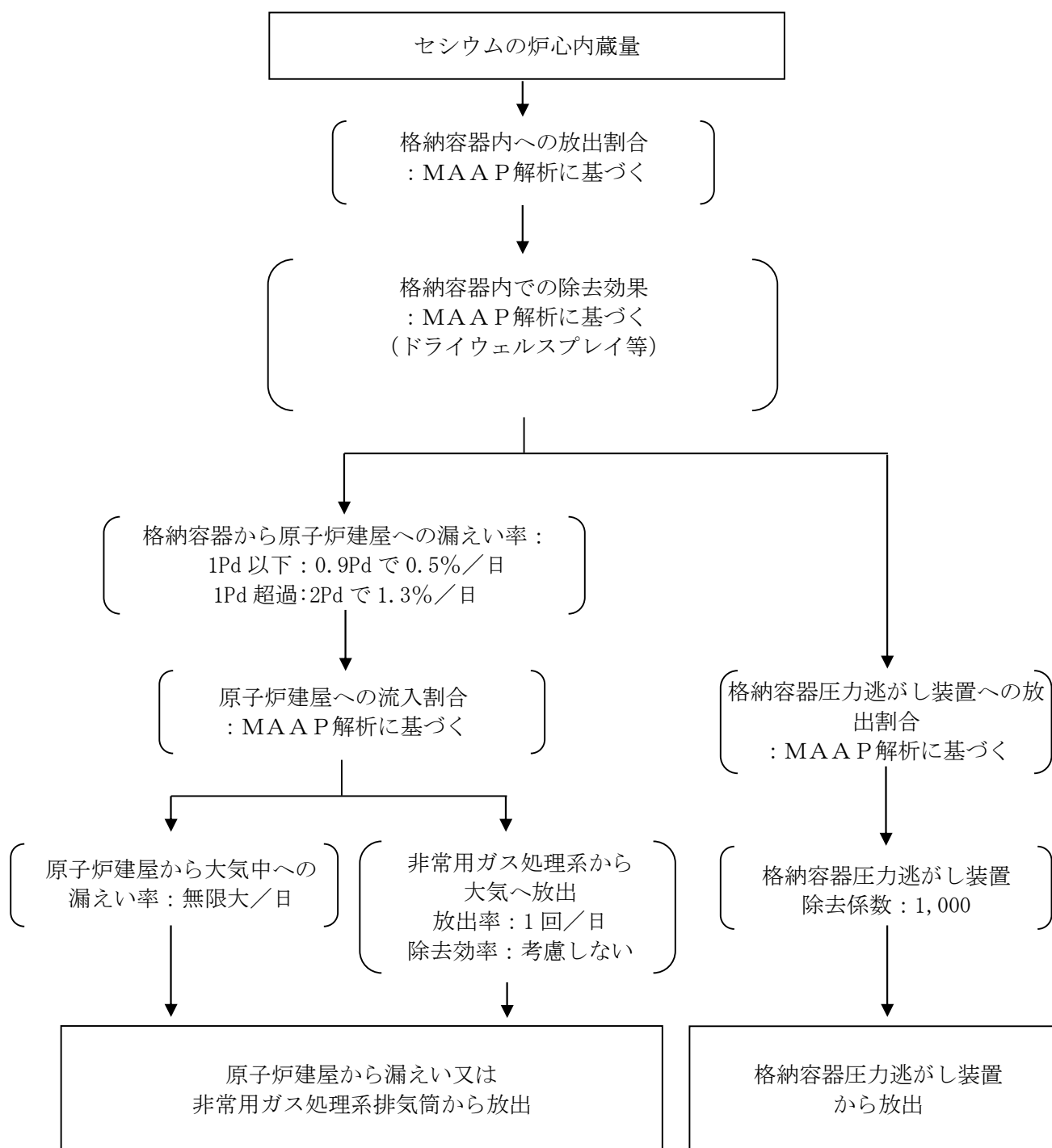
※ 小数点第 2 位以下切上げ



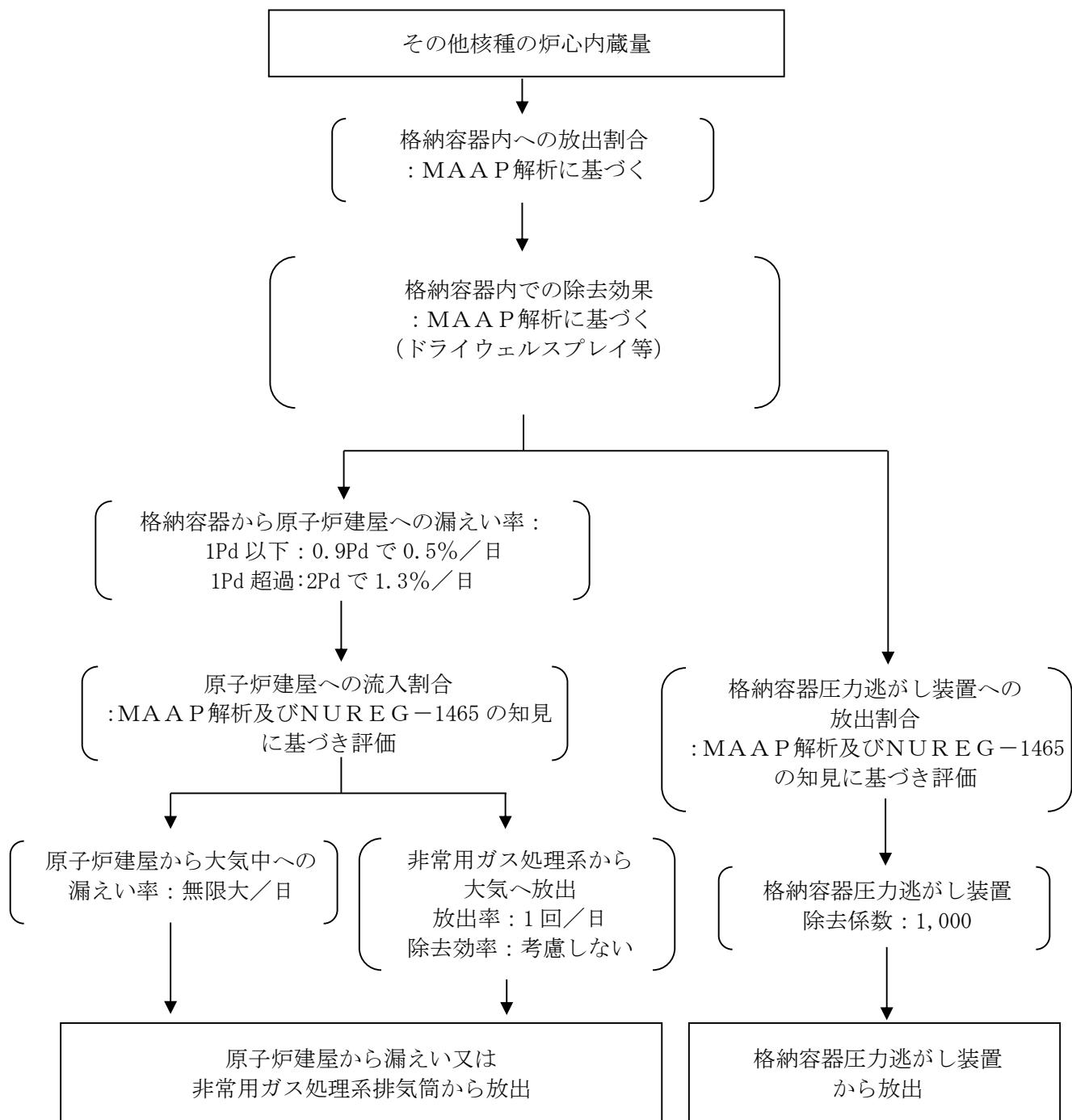
第 1-1 図 放射性物質の大気放出過程 (1/5)
(希ガス)



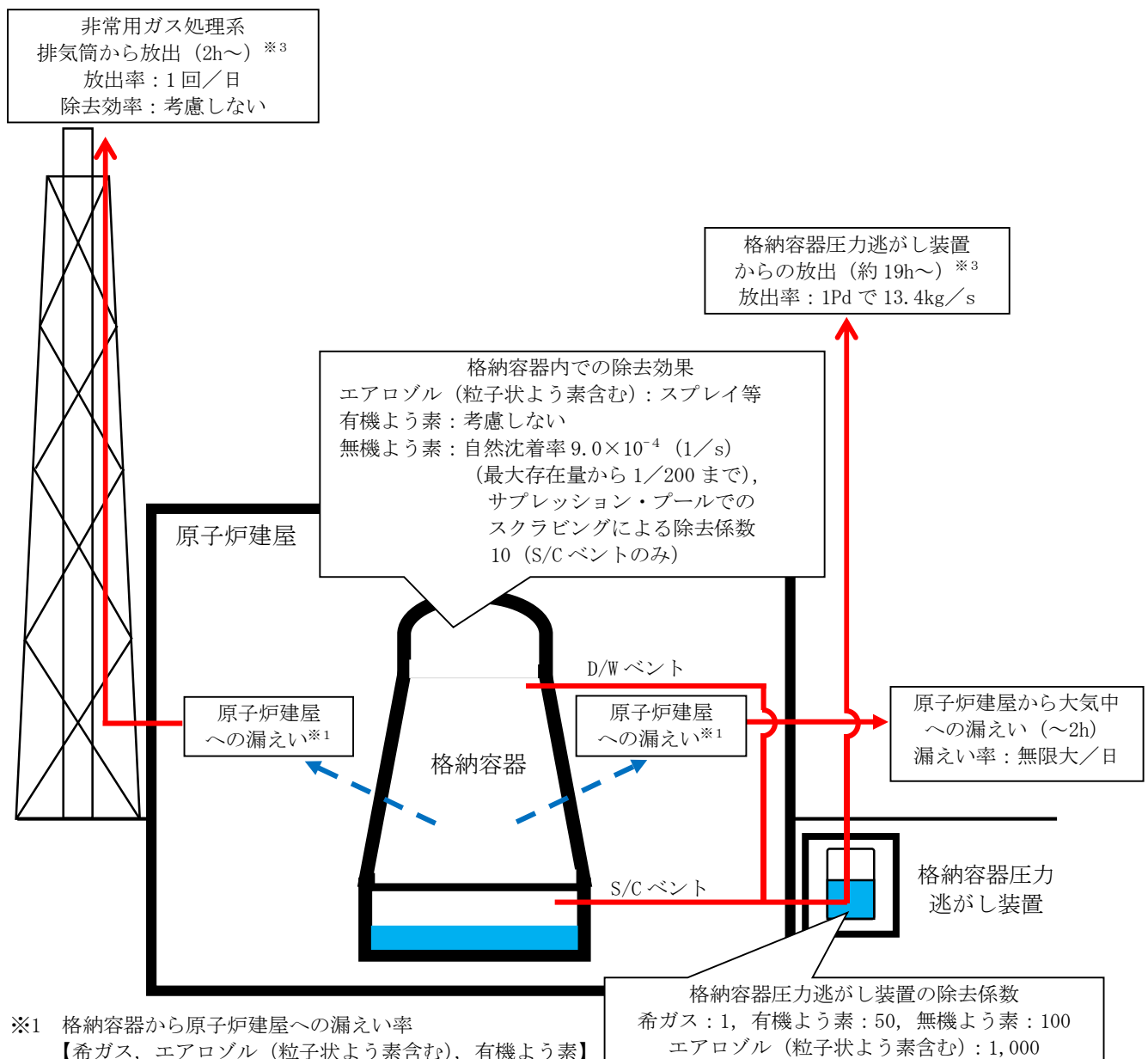
第 1-1 図 放射性物質の大気放出過程 (2/5)
(よう素)



第 1-1 図 放射性物質の大気放出過程 (3/5)
(セシウム)



第 1-1 図 放射性物質の大気放出過程 (4/5)
(その他各種)



※¹ 格納容器から原子炉建屋への漏えい率

【希ガス, エアロゾル (粒子状よう素含む), 有機よう素】

1Pd 以下：0.9Pd で 0.5%/日, 1Pd 超過:2Pd で 1.3%/日

【無機よう素】

1.5h 後～19.5h 後：1.3%/日 (一定), 左記以外の期間：0.5%/日 (一定)

大気への放出経路	0h	▼2h※ ²	▼19h※ ³	168h▼
原子炉建屋から大気中への漏えい				
非常用ガス処理系排気筒から放出				
格納容器圧力逃がし装置からの放出				

※² 非常用ガス処理系の起動により原子炉建屋内は負圧となるため, 事象発生 2h 以降は原子炉建屋から大気中への漏えいは無くなる。

※³ 事象発生後 19h 以降は, 「非常用ガス処理系排気筒から放出」及び「格納容器圧力逃がし装置からの放出」の両経路から放射性物質を放出する。

第 1-1 図 放射性物質の大気放出過程 (5/5) (イメージ)

第 1-3 表 大気拡散条件 (1/5)

項目	評価条件	選定理由	審査ガイドでの記載
大気拡散評価モデル	ガウスプルームモデル	審査ガイド及び被ばく評価手法（内規）に示されたとおり設定	4.2(2)a. 放射性物質の空气中濃度は、放出源高さ及び気象条件に応じて、空間濃度分布が水平方向及び鉛直方向ともに正規分布になると仮定したガウスプルームモデルを適用して計算する。
気象データ	東海第二発電所における 1 年間の気象資料（2005 年 4 月～2006 年 3 月） （地上風を代表する観測点（地上高 10m）の気象データ）	建屋影響を受ける大気拡散評価を行うため保守的に地上風（地上高 10m）の気象データを審査ガイドに示されたとおり発電所において観測された 1 年間の気象資料を使用	4.2. (2)a. 風向，風速，大気安定度及び降雨の観測項目を，現地において少なくとも 1 年間観測して得られた気象資料を大気拡散式に用いる。
実効放出継続時間	全核種：1 時間	保守的に最も短い実効放出継続時間を設定（添付 18 参照）	4.2. (2)c. 相対濃度は、短時間放出又は長時間放出に応じて、毎時刻の気象項目と実効的な放出継続時間を基に評価点ごとに計算する。

第 1-3 表 大気拡散条件 (2/5)

項目	評価条件	選定理由	審査ガイドでの記載
放出源及び放出源高さ	放出源：原子炉建屋からの放出（地上高 0m）、格納容器圧力逃がし装置排気口放出（地上高 57m）及び非常用ガス処理系出口（地上高 140m）	原子炉建屋放出時の高さは地上放出として地上高 0m で設定 格納容器圧力逃がし装置排気口放出時の高さは地上高 57m に設定 非常用ガス処理系からの放出時は排気筒高さとして地上 140m に設定	4. 3. (4)b. 放出源高さは、4. 1 (2) a で選定した事故シーケンスに応じた放出口からの放出を仮定する。4. 1 (2) a で選定した事故シーケンスのソースターム解析結果を基に、放出エネルギーを考慮してもよい。
累積出現頻度	小さい方から 97%	審査ガイドに示されたとおり設定	4. 2. (2)c. 評価点の相対濃度又は相対線量は、毎時刻の相対濃度又は相対線量を年間について小さい方から累積した場合、その累積出現頻度が 97% に当たる値とする。
建屋巻き込み	考慮する	原子炉建屋放出及び格納容器圧力逃がし装置排気口放出は放出源から近距離の建屋（原子炉建屋）の影響を受けるため、建屋による巻き込み現象を考慮	4. 2. (2)a. 原子炉制御室／緊急時制御室／緊急時対策所の居住性評価で特徴的な放出点から近距離の建屋の影響を受ける場合には、建屋による巻き込み現象を考慮した大気拡散による拡散パラメータを用いる。

第 1-3 表 大気拡散条件 (3/5)

項目	評価条件	選定理由	審査ガイドでの記載
巻き込みを生じる代表建屋	原子炉建屋	放出源から最も近く、巻き込みの影響が最も大きい建屋として選定	4. 2. (2)b. 巻き込みを生じる建屋として、原子炉格納容器、原子炉建屋、原子炉補助建屋、タービン建屋、コントロール建屋及び燃料取り扱い建屋等、原則として放出源の近隣に存在するすべての建屋が対象となるが、巻き込みの影響が最も大きいと考えられる一つの建屋を代表建屋とすることは、保守的な結果を与える。
放射性物質濃度の評価点	【中央制御室内】 中央制御室中心 【入退域時】 建屋出入口	【中央制御室内】 審査ガイドに示されたとおり設定 【入退域時】 被ばく評価手法（内規）に示された方法に基づき設定	【中央制御室内】 4. 2. (2)b. 屋上面を代表とする場合、例えば原子炉制御室/緊急時制御室/緊急時対策所の中心点を評価点とするのは妥当である。 【入退域時】 7. 5. 1 (5) a) 管理区域の入口を代表評価とし、入退域ごとに評価点に、15 分間滞在するとする。（被ばく評価手法（内規）） なお、審査ガイドには入退域時の評価点について、記載なし。

第 1-3 表 大気拡散条件(4/5)

項目	評価条件		選定理由	審査ガイドでの記載
着目方位	中央制御室内滞在時	9 方位 建屋放出： S, SSW, SW, WSW, W, WNW, NW, NNW, N 格納容器圧力逃がし装置排気口放出： SW, WSW, WNW, NW, NNW, N, NNE, NE 1 方位 非常用ガス処理系排気筒放出：W	審査ガイドに示された評価方法に基づき設定(添付 8 参照)	4. 2. (2) a. 原子炉制御室の居住性に係る被ばく評価では、建屋の風下後流側での広範囲に及ぶ乱流混合域が顕著であることから、放射性物質濃度を計算する当該着目方位としては、放出源と評価点とを結ぶラインが含まれる 1 方位のみを対象とするのではなく、図 5 に示すように、建屋の後流側の拡がりの影響が評価点に及ぶ可能性のある複数の方位を対象とする。
	入退域時	9 方位 建屋放出： S, SSW, SW, WSW, W, WNW, NW, NNW, N 格納容器圧力逃がし装置排気口放出： SSW, SW, WSW, W, WNW, NW, NNW, N, NNE 1 方位 非常用ガス処理系排気筒放出：W		

第 1-3 表 大気拡散条件 (5/5)

項目	評価条件	選定理由	審査ガイドでの記載
建屋投影面積	原子炉建屋の投影断面積： 3,000m ²	原子炉建屋の投影断面積	4.2.(2)b. 風向に垂直な代表建屋の投影面積を求め、放射性物質の濃度を求めるために大気拡散式の入力とする。
形状係数	1/2	審査ガイドに示された評価方法に基づき設定	5.1.1(2)形状係数の値は、特に根拠が示されるもののほかは原則として 1/2 を用いる（被ばく評価手法（内規）） なお、審査ガイドには形状係数について、記載なし。

第 1-4 表 相対濃度及び相対線量

評価対象	評価点		相対濃度 χ / Q (s/m ³)	相対線量 D / Q (Gy/Bq)
室内作業時	中央制御室 中心	建屋放出	8.3×10^{-4}	2.9×10^{-18}
		非常用ガス 処理系放出	3.0×10^{-6}	8.8×10^{-20}
		格納容器圧 力逃がし装 置放出	3.7×10^{-4}	8.8×10^{-19}
入退域時	建屋 出入口	建屋放出	8.2×10^{-4}	2.9×10^{-18}
		非常用ガス 処理系放出	3.0×10^{-6}	9.0×10^{-20}
		格納容器圧 力逃がし装 置放出	3.7×10^{-4}	9.4×10^{-19}

(添付 8 参照)

第 1-5 表 直接ガンマ線及びスカイシャインガンマ線の評価条件(1/3)

項目		評価条件	選定理由	審査ガイドでの記載
線源条件	格納容器から原子炉建屋原子炉棟へ放出される放射性物質	「第 1-1 表 大気中への放出放射エネルギー評価条件」を参照	「第 1-1 表 大気中への放出放射エネルギー評価条件」を参照	4.3(5)a. 4.1(2)a で選定した事故シーケンスのソースターム解析結果を基に, 想定事故時に原子炉格納容器から原子炉建屋内に放出された放射性物質を設定する。
	格納容器内線源強度分布	格納容器内に放出された核分裂生成物が均一に分布	審査ガイドに示されたとおり設定	4.3(5)a. 原子炉建屋内の放射性物質は, 自由空間容積に均一に分布するものとして, 事故後 7 日間の積算線源強度を計算する。
	7 日間	審査ガイドに示す 7 日間における運転員の実効線量を評価する観点から設定	3. (解釈抜粋) 第 7 4 条 (原子炉制御室) 1 b) ④判断基準は, 運転員の実効線量が 7 日間で 100mSv を超えないこと。	7 日間
計算モデル条件	遮蔽厚さ	第 1-2 図のとおり	審査ガイドに示された評価方法に基づき設定	4.3(5)a. 原子炉建屋内の放射性物質からのスカイシャインガンマ線及び直接ガンマ線による外部被ばく線量は, 積算線源強度, 施設の位置, 遮へい構造及び地形条件から計算する。

第 1-5 表 直接ガンマ線及びスカイシャインガンマ線の評価条件 (2/3)

項目	評価条件	選定理由	審査ガイドでの記載
直接線・スカイシャイン線評価コード	<p>直接線評価： QAD-CGGP2R</p> <p>スカイシャイン線評価： ANISN G33-GP2R</p>	<p>直接ガンマ線の線量評価に用いる QAD-CGGP2R は三次元形状を, スカイシャインガンマ線の線量評価に用いる ANISN 及び G33-GP2R はそれぞれ二次元及び三次元形状を扱う遮蔽解析コードであり, ガンマ線量を計算することができる。計算に必要な主な条件は, 線源条件, 遮蔽体条件であり, これらの条件が与えられれば線量評価は可能である。したがって, 設計基準事故を超える事故における線量評価に適用可能である。</p> <p>QAD-CGGP2R, ANISN 及び G33-GP2R はそれぞれ許認可での使用実績がある。</p>	<p>4. 1②実験等を基に検証され, 適用範囲が適切なモデルを用いる。</p>

第 1-5 表 直接ガンマ線及びスカイシャインガンマ線の評価条件 (3/3)

項目	評価条件	選定理由	審査ガイドでの記載
評価点	第 1-2 図のとおり	中央制御室内滞在時の評価は線量が最大となる位置とする。 入退域時の評価は建屋入口の高さ 2m を選定。	—

第 1-6 表 直接ガンマ線及びスカイシャインガンマ線の評価に用いる
エネルギー群別ガンマ線積算線源強度(1/4)
(格納容器ベント実施前)

群	エネルギー (MeV)	ガンマ線積算線源強度 (-)	群	エネルギー (MeV)	ガンマ線積算線源強度 (-)
1	0.01	7.8×10^{18}	22	1.5	2.4×10^{18}
2	0.02	8.7×10^{18}	23	1.66	7.5×10^{17}
3	0.03	1.0×10^{19}	24	2.0	1.6×10^{18}
4	0.045	1.4×10^{20}	25	2.5	4.6×10^{18}
5	0.06	5.3×10^{17}	26	3.0	1.3×10^{17}
6	0.07	3.6×10^{17}	27	3.5	1.5×10^{15}
7	0.075	2.0×10^{19}	28	4.0	1.5×10^{15}
8	0.1	9.9×10^{19}	29	4.5	5.0×10^5
9	0.15	4.6×10^{17}	30	5.0	5.0×10^5
10	0.2	5.6×10^{19}	31	5.5	5.0×10^5
11	0.3	1.1×10^{20}	32	6.0	5.0×10^5
12	0.4	6.6×10^{18}	33	6.5	5.7×10^4
13	0.45	3.3×10^{18}	34	7.0	5.7×10^4
14	0.51	1.1×10^{19}	35	7.5	5.7×10^4
15	0.512	3.7×10^{17}	36	8.0	5.7×10^4
16	0.6	1.6×10^{19}	37	10.0	1.8×10^4
17	0.7	1.8×10^{19}	38	12.0	8.8×10^3
18	0.8	5.4×10^{18}	39	14.0	0.0
19	1.0	1.1×10^{19}	40	20.0	0.0
20	1.33	5.0×10^{18}	41	30.0	0.0
21	1.34	1.5×10^{17}	42	50.0	0.0

第 1-6 表 直接ガンマ線及びスカイシャインガンマ線の評価に用いる
エネルギー群別ガンマ線積算線源強度 (2/4)
(格納容器ベント実施時)

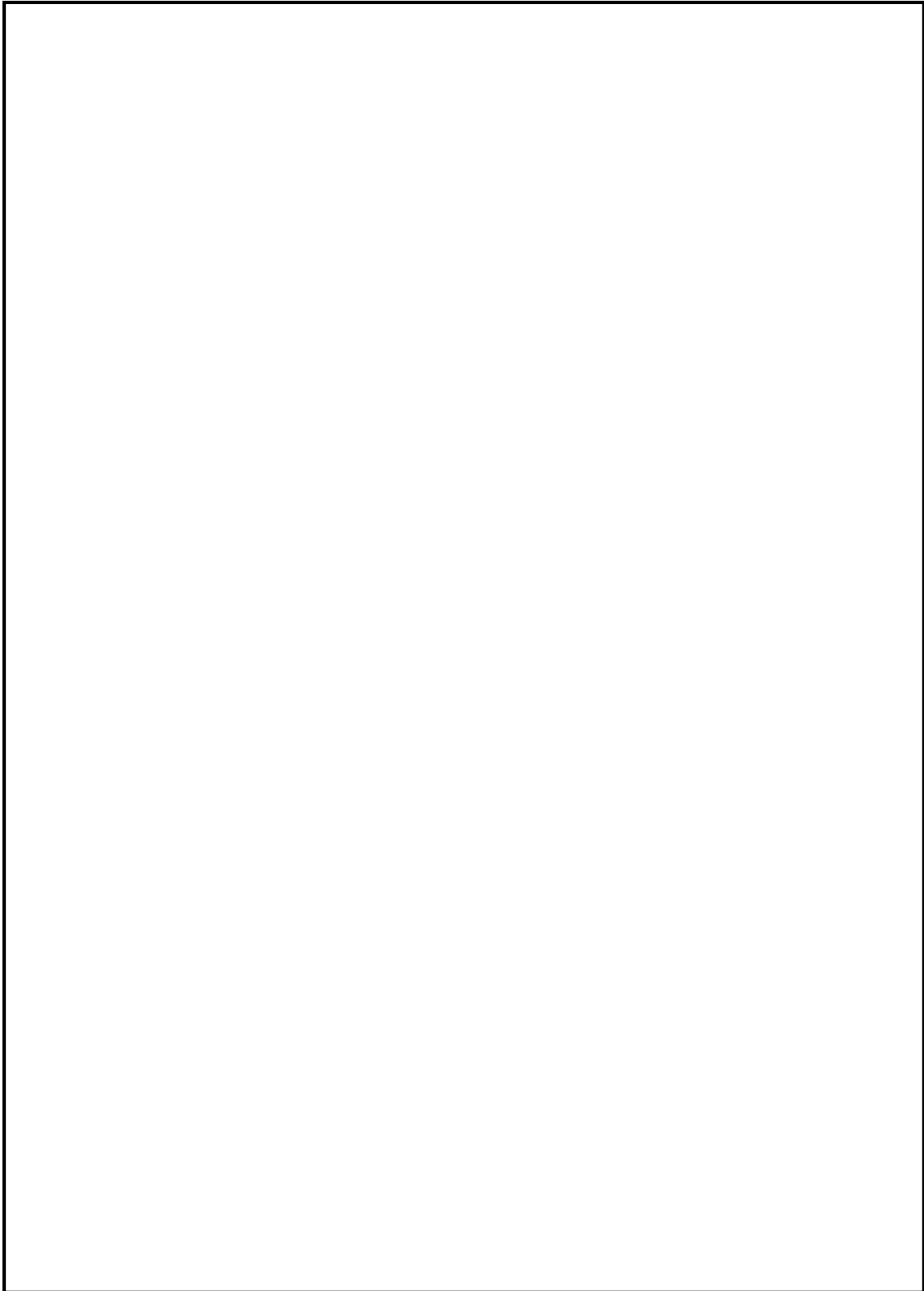
群	エネルギー (MeV)	ガンマ線積算線源強度 (-)	群	エネルギー (MeV)	ガンマ線積算線源強度 (-)
1	0.01	1.3×10^{19}	22	1.5	2.2×10^{18}
2	0.02	1.5×10^{19}	23	1.66	3.7×10^{17}
3	0.03	1.7×10^{19}	24	2.0	8.0×10^{17}
4	0.045	2.9×10^{20}	25	2.5	1.1×10^{18}
5	0.06	7.4×10^{17}	26	3.0	1.7×10^{16}
6	0.07	4.9×10^{17}	27	3.5	4.8×10^{12}
7	0.075	4.2×10^{19}	28	4.0	4.8×10^{12}
8	0.1	2.1×10^{20}	29	4.5	2.2×10^5
9	0.15	4.7×10^{17}	30	5.0	2.2×10^5
10	0.2	8.0×10^{19}	31	5.5	2.2×10^5
11	0.3	1.6×10^{20}	32	6.0	2.2×10^5
12	0.4	9.3×10^{18}	33	6.5	2.6×10^4
13	0.45	4.6×10^{18}	34	7.0	2.6×10^4
14	0.51	1.4×10^{19}	35	7.5	2.6×10^4
15	0.512	4.7×10^{17}	36	8.0	2.6×10^4
16	0.6	2.1×10^{19}	37	10.0	7.9×10^3
17	0.7	2.3×10^{19}	38	12.0	4.0×10^3
18	0.8	7.2×10^{18}	39	14.0	0.0
19	1.0	1.4×10^{19}	40	20.0	0.0
20	1.33	4.6×10^{18}	41	30.0	0.0
21	1.34	1.4×10^{17}	42	50.0	0.0

第 1-6 表 直接ガンマ線及びスカイシャインガンマ線の評価に用いる
エネルギー群別ガンマ線積算線源強度 (3/4)
(格納容器ベント実施後)

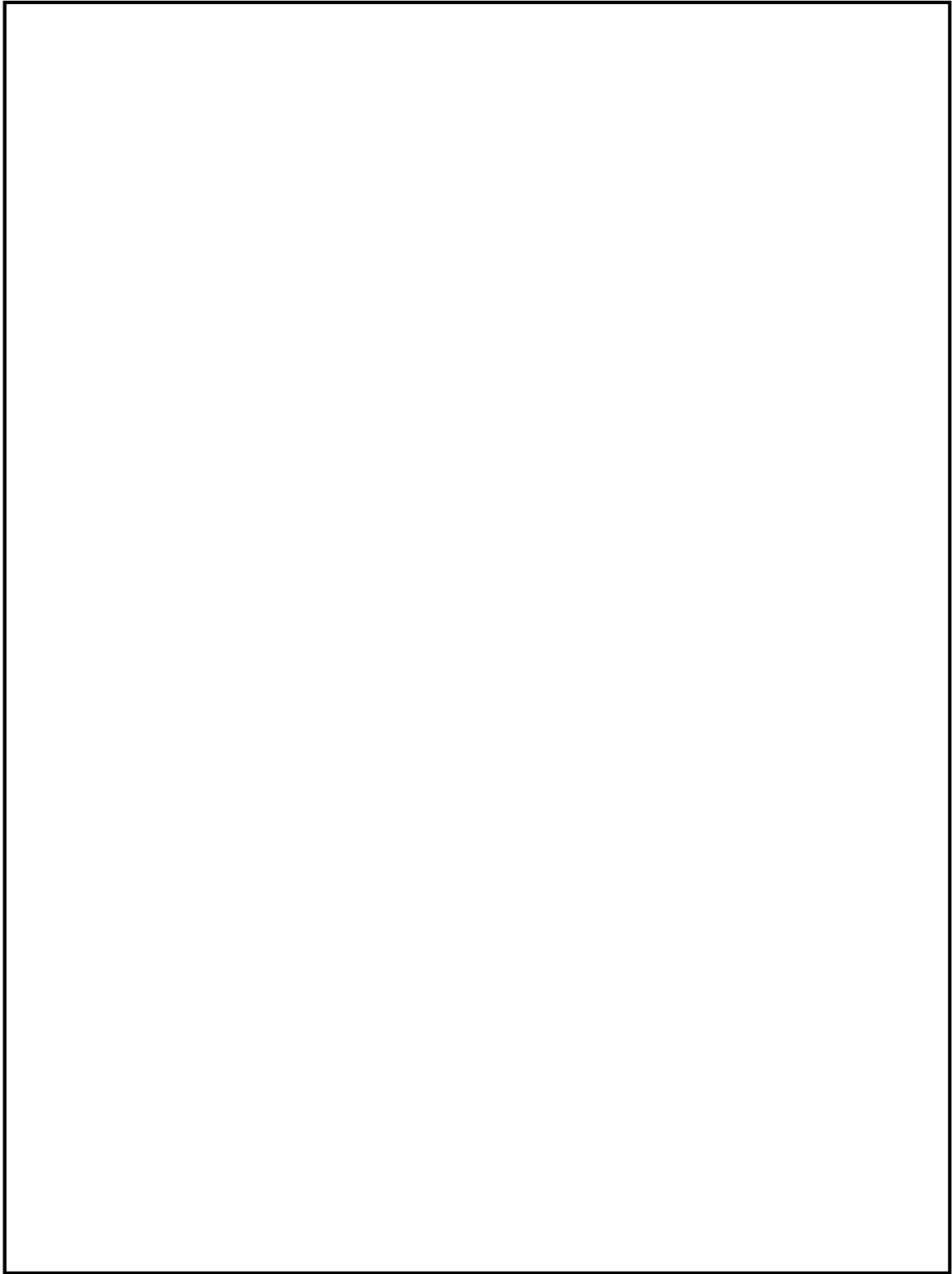
群	エネルギー (MeV)	ガンマ線積算線源強度 (-)	群	エネルギー (MeV)	ガンマ線積算線源強度 (-)
1	0.01	1.6×10^{19}	22	1.5	1.9×10^{18}
2	0.02	1.8×10^{19}	23	1.66	1.9×10^{17}
3	0.03	2.0×10^{19}	24	2.0	4.1×10^{17}
4	0.045	4.0×10^{20}	25	2.5	4.1×10^{17}
5	0.06	6.1×10^{17}	26	3.0	9.4×10^{15}
6	0.07	4.1×10^{17}	27	3.5	3.5×10^{11}
7	0.075	5.9×10^{19}	28	4.0	3.5×10^{11}
8	0.1	2.9×10^{20}	29	4.5	3.6×10^5
9	0.15	3.8×10^{17}	30	5.0	3.6×10^5
10	0.2	3.5×10^{19}	31	5.5	3.6×10^5
11	0.3	7.1×10^{19}	32	6.0	3.6×10^5
12	0.4	1.1×10^{19}	33	6.5	4.1×10^4
13	0.45	5.7×10^{18}	34	7.0	4.1×10^4
14	0.51	1.2×10^{19}	35	7.5	4.1×10^4
15	0.512	4.1×10^{17}	36	8.0	4.1×10^4
16	0.6	1.8×10^{19}	37	10.0	1.3×10^4
17	0.7	2.1×10^{19}	38	12.0	6.3×10^3
18	0.8	8.3×10^{18}	39	14.0	0.0
19	1.0	1.7×10^{19}	40	20.0	0.0
20	1.33	3.9×10^{18}	41	30.0	0.0
21	1.34	1.2×10^{17}	42	50.0	0.0

第 1-6 表 直接ガンマ線及びスカイシャインガンマ線の評価に用いる
エネルギー群別ガンマ線積算線源強度 (4/4)
(合計)

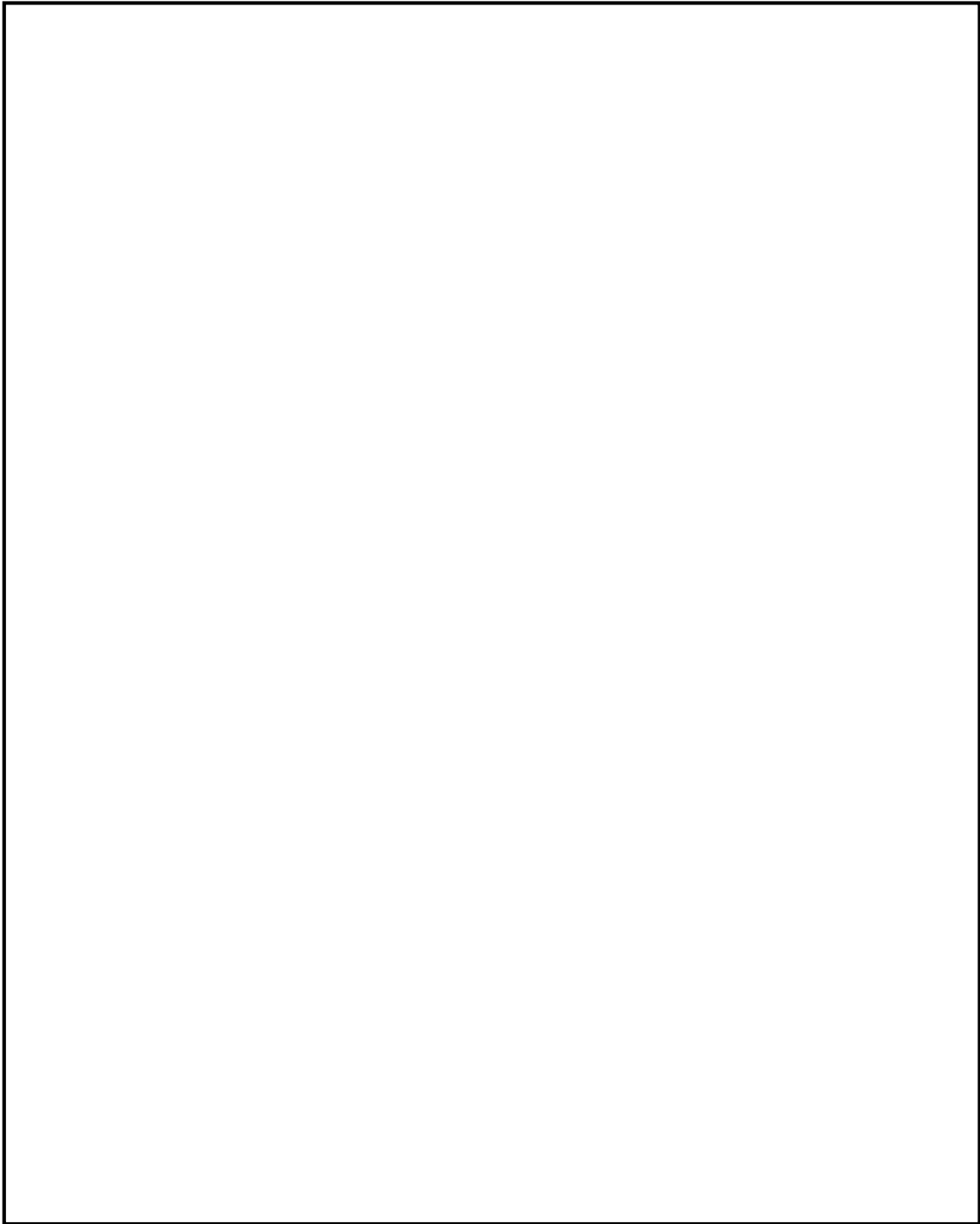
群	エネルギー (MeV)	ガンマ線積算線源強度 (-)	群	エネルギー (MeV)	ガンマ線積算線源強度 (-)
1	0.01	3.7×10^{19}	22	1.5	6.5×10^{18}
2	0.02	4.1×10^{19}	23	1.66	1.3×10^{18}
3	0.03	4.8×10^{19}	24	2.0	2.8×10^{18}
4	0.045	8.3×10^{20}	25	2.5	6.2×10^{18}
5	0.06	1.9×10^{18}	26	3.0	1.6×10^{17}
6	0.07	1.3×10^{18}	27	3.5	1.5×10^{15}
7	0.075	1.2×10^{20}	28	4.0	1.5×10^{15}
8	0.1	6.0×10^{20}	29	4.5	1.1×10^6
9	0.15	1.3×10^{18}	30	5.0	1.1×10^6
10	0.2	1.7×10^{20}	31	5.5	1.1×10^6
11	0.3	3.4×10^{20}	32	6.0	1.1×10^6
12	0.4	2.7×10^{19}	33	6.5	1.2×10^5
13	0.45	1.4×10^{19}	34	7.0	1.2×10^5
14	0.51	3.7×10^{19}	35	7.5	1.2×10^5
15	0.512	1.2×10^{18}	36	8.0	1.2×10^5
16	0.6	5.5×10^{19}	37	10.0	3.8×10^4
17	0.7	6.2×10^{19}	38	12.0	1.9×10^4
18	0.8	2.1×10^{19}	39	14.0	0.0
19	1.0	4.2×10^{19}	40	20.0	0.0
20	1.33	1.3×10^{19}	41	30.0	0.0
21	1.34	4.1×10^{17}	42	50.0	0.0



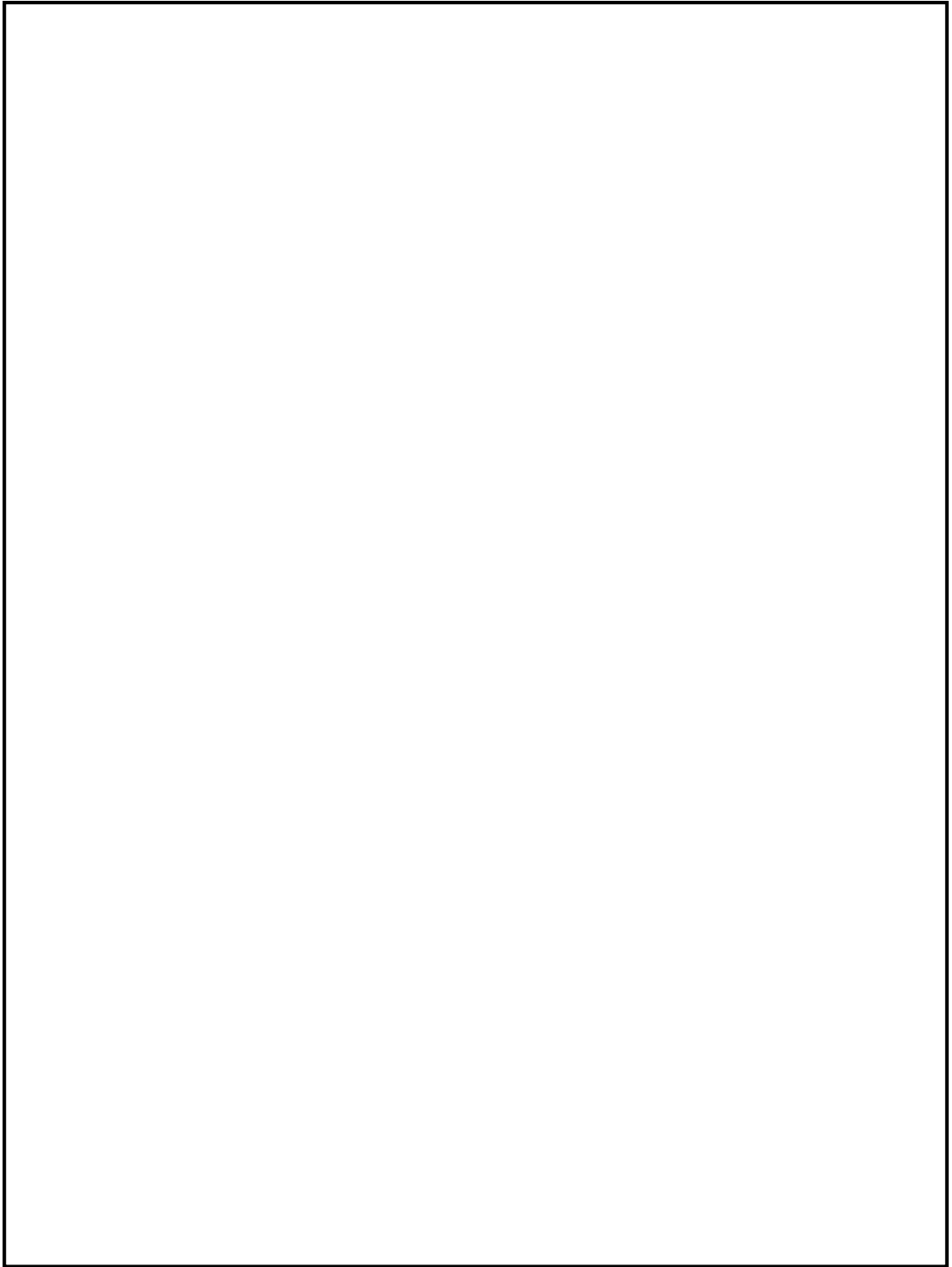
第 1-2 図 原子炉建屋の計算モデル(1/5)



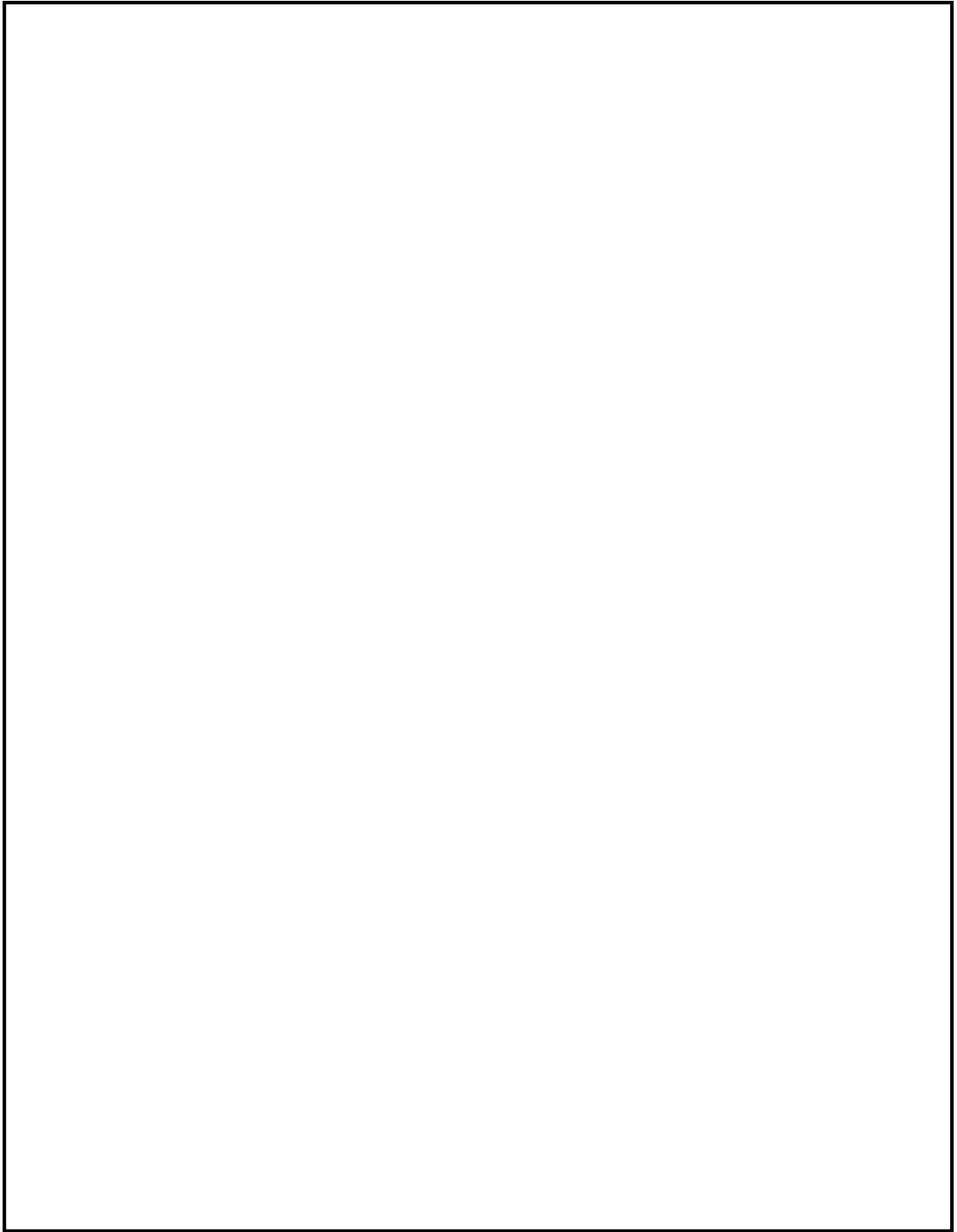
第 1-2 図 原子炉建屋の計算モデル(2/5)



第 1-2 図 原子炉建屋の計算モデル(3/5)



第 1-2 図 原子炉建屋の計算モデル(4/5)



第 1-2 図 原子炉建屋の計算モデル(5/5)

第 1-7 表 中央制御室換気設備条件 (1/2)

項目	評価条件	選定理由	審査ガイドでの記載
中央制御室非常用循環設備よう素フィルタによる除去効率	95%	フィルタユニットの設計値（チャコールフィルタ効率：97%）を保守的に設定（添付 9, 10 参照）	4. 2 (1) a. ヨウ素及びエアロゾルのフィルタ効率は、使用条件での設計値を基に設定する。なお、フィルタ効率の設定に際し、ヨウ素類の性状を適切に考慮する。
中央制御室非常用換気系微粒子フィルタによる除去効率	99%	フィルタユニットの設計値（高性能粒子フィルタ：99. 97%）を保守的に設定（添付 9, 10 参照）	同上
中央制御室非常用換気系の起動時間	事象発生から 2 時間	全交流動力電源喪失を考慮し、代替電源からの電源供給開始時間から保守的に設定	4. 3 (3) f. 原子炉制御室の非常用換気空調設備の作動については、非常用電源の作動状態を基に設定する。
空気流入率	1 回/h	非常用換気系作動時の空気流入率測定試験結果の結果である 0. 45 回/h に対して保守的に 1 回/h と設定（添付 11 参照）	4. 2 (1) b. 既設の場合では、空気流入率は、空気流入率測定試験結果を基に設定する。

第 1-7 表 中央制御室換気設備条件 (2/2)

項目	評価条件	選定理由	審査ガイドでの記載
外気取り込み量	閉回路循環運転：27 時間 外気取り入れ運転：3 時間	閉回路循環運転が長期にわたり室内環境が悪化して外気取り入れる際に必要な運転時間として設定	—
マスクによる防護係数	事象発生から 3 時間及び入退域時：50 (その他の期間及びマスク着用を考慮しない場合は評価期間中常時マスク着用なし)	中央制御室非常用換気系作動前及び中央制御室内の放射性物質濃度が下がるまでの時間についてマスクの着用を考慮。(添付 12 参照)	4.2(3)c. 原子炉制御室／緊急時制御室／緊急時対策所内でマスク着用を考慮する。その場合は、マスク着用を考慮しない場合の評価結果も提出を求める。

第 1-8 表 中央制御室内待避室設備条件

項目	評価条件	選定理由	審査ガイドでの記載
待避室遮蔽	遮蔽厚：コンクリート 40cm (公称値) 相当	中央制御室内に流入した放射性物質からのガンマ線による被ばくを十分に低減できる設計。	—
待避室加圧開始時間	事象発生から約 19 時間後 (ベント開始時)	格納容器圧力逃がし装置により放出される放射性物質からの被ばくを防護するために待避室に待避すると想定	—
待避室加圧時間	ベント開始から 5 時間	中央制御室内に流入した放射性物質からの影響を十分に防護できる時間として設定	—
空気流入率	ボンベ加圧時：0 回/h	待避室への待避時は待避室内を空気ボンベにより加圧し，外部からの空気流入がないと想定	—

第 1-9 表 運転員交替考慮条件

項目	評価条件	選定理由	審査ガイドでの記載
中央制御室 滞在時	運転員の直交替（5 直 2 交 替）に基づき、班ごとの中 央制御室の滞在時間で評 価（日勤業務の班ごとの交 替も考慮）	運転員の勤務形態（5 直 2 交替）に基づき、 班ごとに中央制御室滞在中の被ばくを評価。 なお、一班当たり線量が高くなる場合には、 被ばく平準化のために日勤業務に当たって いる班に交替する。（添付 13 参照）	3.74 条 1. b) ③交代要員体制を考慮してもよ い。ただしその場合は実施のための体制を整備 する事。
入退域時	運転員の直交替（5 直 2 交 替）に基づき、班ごとの入 退域時間で評価	運転員の勤務形態（5 直 2 交替）に基づき、 班ごとに入退域に必要な時間を 15 分（片道） として被ばくを評価。（添付 13 参照）	—

第 1-10 表 線量換算係数, 呼吸率及び地表への沈着速度の条件

項目	評価条件	選定理由	審査ガイドでの記載
線量換算係数	成人実効線量換算係数を使用 (主な核種を以下に示す) I-131 : 2.0×10^{-8} Sv/Bq I-132 : 3.1×10^{-10} Sv/Bq I-133 : 4.0×10^{-9} Sv/Bq I-134 : 1.5×10^{-10} Sv/Bq I-135 : 9.2×10^{-10} Sv/Bq Cs-134 : 2.0×10^{-8} Sv/Bq Cs-136 : 2.8×10^{-9} Sv/Bq Cs-137 : 3.9×10^{-8} Sv/Bq 上記以外の核種は ICRP Pub. 71 等に基づく	ICRP Publication 71 等に基づく	—
呼吸率	$1.2 \text{ m}^3/\text{h}$	成人活動時の呼吸率を設定。 ICRP Publication 71 に基づく	—
地表面への沈着 速度	エアロゾル : $1.2 \text{ cm}/\text{s}$ 無機よう素 : $1.2 \text{ cm}/\text{s}$ 有機よう素 : $4 \times 10^{-3} \text{ cm}/\text{s}$ 希ガス : 沈着無し	線量目標値評価指針を参考に, 湿性沈着を考慮して乾性 沈着速度 ($0.3 \text{ cm}/\text{s}$) の 4 倍を設定。 エアロゾル及び無機よう素の乾性沈着速度は NUREG/CR-4551Vol. 2 ^{※1} より設定 有機よう素の乾性沈着速度は NRPB-R322 ^{※2} より設定 (添付 14, 15, 16 参照)	4. 2. (2) d 放射性物質の地表 面への沈着評価では, 地表 面への乾性沈着及び降雨に よる湿性沈着を考慮して地 表面沈着濃度を計算する。

※1 米国 NUREG/CR-4551 Vol. 2 “Evaluation of Severe Accident Risks : Quantification of Major Input Parameters”

※2 英国 NRPB-R322-Atomosphere Dispersion Modelling Liaison Committee Annual Report

2 事象の選定の考え方について

炉心の著しい損傷が発生した場合の中央制御室の居住性に係る被ばく線量は、中央制御室内に取り込まれた放射性物質による被ばく及び地表面に沈着した放射性物質による被ばくが支配的であることから、放射性物質の放出量が多くなる事象が被ばく評価の観点から厳しくなる。さらに、格納容器圧力が高く維持される事象や炉心損傷時間が早い事象は中央制御室の被ばく評価の観点から厳しくなる。

炉心の著しい損傷が発生した場合における対応として、代替循環冷却系を使用できず、格納容器ベントを実施する場合は、格納容器圧力の抑制のため格納容器ベント実施までは代替格納容器スプレイ冷却系（常設）による格納容器スプレイを実施する。格納容器スプレイによる圧力抑制効果を高くする観点で、格納容器圧力を比較的高い領域で維持するため、代替循環冷却系を使用する場合と比較して格納容器貫通部等からの漏えい率が大きくなり、大気への放射性物質の放出量が多くなる。さらに、サプレッション・プール水位が通常水位＋6.5mに到達した時点で、格納容器ベントを実施するため、放射性物質の放出量が多くなる。

また、原子炉建屋ガス処理系の起動により、原子炉建屋から大気への放射性物質の放出率低減効果に期待できることから、事象進展が早く原子炉建屋ガス処理系の起動前の格納容器貫通部等からの漏えい量が多いほど、大気への放出量が多くなる。さらに、炉心損傷時間が早いほど、早期に格納容器内に放出される放射性物質は多くなるため、格納容器貫通部からの漏えい量も多くなる。

以上より、代替循環冷却系を使用せず格納容器ベントを実施する場

合、かつ炉心損傷の時間が早く評価上想定している原子炉建屋ガス処理系の起動までの時間が長い場合には、放射性物質の放出量が多くなる。

第 2-1 表に炉心の著しい損傷が発生した場合に想定する事象の中央制御室の居住性に係る被ばく評価への影響を示す。第 2-1 表に示すとおり、格納容器破損防止対策の有効性評価で想定している炉心損傷を前提とした事象のうち、炉心損傷時間が早く、格納容器ベントを実施する「大破断 L O C A + 高圧炉心冷却失敗 + 低圧炉心冷却失敗」の代替循環冷却系を使用できない場合が最も放射性物質の放出量が多くなるため、この事象を中央制御室の居住性に係る被ばく評価で想定する事象として選定する。

第 2-1 表 炉心の著しい損傷が発生した場合に想定する事象の中央制御室の居住性に係る被ばく評価への影響

事象	静的負荷シナリオ※ ¹		D C H シナリオ※ ²	中央制御室被ばく評価への影響
	代替循環冷却系を使用する	代替循環冷却系を使用できない	代替循環冷却系を使用する	
格納容器ベント	実施しない	実施する	実施しない	格納容器圧力が高い状態で推移すると、格納容器からの漏えい率が大きくなり、放出量が多くなる。 格納容器ベントを実施すると、放射性物質が大気へ放出されるため、放出量が多くなる。
	代替循環冷却系の使用により格納容器内圧力は低い状態で推移する。	格納容器圧力が高い状態で推移する。また、格納容器ベント実施に伴い放射性物質を大気へ放出する。	代替循環冷却系の使用により格納容器内圧力は低い状態で推移する。	
炉心損傷時間（燃料被覆管温度 1,000K 到達時間を想定）	約 4 分		約 39 分	大気への放出率低減効果に期待できる原子炉建屋ガス処理系の起動（事象発生 2 時間後）までに、炉心損傷時間が早いほど放出量が多くなる。
	大破断 L O C A を想定しており、早期（原子炉建屋ガス処理系起動前）に炉心損傷に至る。		静的負荷シナリオよりは遅いが、原子炉建屋ガス処理系起動前に炉心損傷に至る。	

※1 格納容器破損モード「雰囲気圧力・温度による静的負荷（格納容器過圧・過温破損）」及び「水素燃焼」の事故シーケンス「大破断 L O C A + 高圧炉心冷却失敗 + 低圧炉心冷却失敗」（全交流動力電源喪失の重畳を考慮）

※2 格納容器破損モード「高圧熔融物放出／格納容器雰囲気直接加熱」，「原子炉圧力容器外の熔融燃料－冷却材相互作用」及び「熔融炉心・コンクリート相互作用」の事故シーケンス「過渡事象 + 高圧炉心冷却失敗 + 手動減圧失敗 + 炉心損傷後の手動減圧失敗 + D C H」（全交流動力電源喪失の重畳を考慮），「過渡事象 + 高圧炉心冷却失敗 + 低圧炉心冷却失敗 + 損傷炉心冷却失敗 + F C I（ペデスタル），デブリ冷却失敗（ペデスタル）」（全交流動力電源喪失の重畳を考慮）を想定

3 格納容器漏えい率の設定について

格納容器からの原子炉建屋への漏えい率は，M A A P 内で模擬した漏えい孔の等価漏えい面積及び格納容器の圧力に応じて設定している。

模擬する漏えい孔の等価漏えい面積は，以下に示す格納容器圧力が最高使用圧力（310kPa[gage]（1Pd））以下の場合と最高使用圧力を超過した後の場合の2種類を設定する。

ただし，M A A P 解析においては，よう素の化学組成について考慮されておらず，全て粒子状よう素として扱われることから，無機よう素及び有機よう素の格納容器漏えい率は別途設定する。

1. 格納容器圧力が最高使用圧力以下の場合

格納容器圧力が最高使用圧力以下の場合，設計漏えい率（0.9Pd で0.5%/日）を基に算出した等価漏えい面積（約 $3 \times 10^{-6} \text{ m}^2$ ）を設定し，M A A P 内で圧力に応じた漏えい量を評価している。

2. 格納容器圧力が最高使用圧力を超過した場合

格納容器圧力が最高使用圧力を超過した場合，2Pd で漏えい率 1.3%/日となる等価漏えい面積（約 $7 \times 10^{-6} \text{ m}^2$ ）を設定し，1.と同様にM A A P 内で圧力に応じた漏えい量を評価している。

2Pd における漏えい率 1.3%/日は，以下のA E Cの評価式，G Eの評価式及び定常流の式によって評価した漏えい率の結果を包絡する値として設定した。これらの式は，設計基準事故の原子炉冷却材喪失事象において格納容器漏えい率の評価に用いている理論式^{*1}である。格納容器内圧力（2Pd）及び温度（200℃）までは，事故後7日間

に渡り，格納容器本体並びに開口部及び貫通部の健全性が確保されていることを確認していることから，これらの理論式を用いて格納容器内圧力（2Pd）及び温度（200℃）における漏えい率を設定することは可能と判断した。

○A E C の評価式

$$L = L_0 \sqrt{\frac{(P_t - P_a) \times R_t \times T_t}{(P_d - P_a) \times R_d \times T_d}}$$

L	： 事故時の格納容器漏えい率（2Pd）	【1.28％／日】
L ₀	： 設計漏えい率（0.9Pd）	【0.5％／日】
P _t	： 事故時の格納容器内圧力（2Pd）	【721kPa[abs]】
P _d	： 設計圧力（0.9Pd）	【380kPa[abs]】
P _a	： 格納容器外の圧力（大気圧）	【101.325kPa[abs]】
R _t	： 事故時の気体定数 ^{※2}	【523.7J／Kg・K】
R _d	： 空気の気体定数	【287J／Kg・K】
T _t	： 事故時の格納容器内温度（200℃）	【473.15K】
T _d	： 設計格納容器内温度（20℃）	【293.15K】

○GE の評価式 (General Electric 社の漏えいモデル式)

$$L = L_0 \sqrt{\frac{1 - \left(\frac{P_a}{P_t}\right)^2}{1 - \left(\frac{P_a}{P_d}\right)^2}}$$

L	: 事故時の格納容器漏えい率 (2Pd)	【0.51% / 日】
L_0	: 設計漏えい率 (0.9Pd)	【0.5% / 日】
P_t	: 事故時の格納容器内圧力 (2Pd)	【721kPa[abs]】
P_d	: 設計圧力 (0.9Pd)	【380kPa[abs]】
P_a	: 格納容器外の圧力 (大気圧)	【101.325kPa[abs]】

○定常流の式

$$L = L_0 \sqrt{\frac{\rho_d(P_t - P_a)}{\rho_t(P_d - P_a)}}$$

L	: 事故時の格納容器漏えい率 (2Pd)	【0.93% / 日】
L_0	: 設計漏えい率 (0.9Pd)	【0.5% / 日】
ρ_t	: 事故時の格納容器内気体の平均密度※ ³	【2.9kg / m ³ 】
ρ_d	: 設計温度・圧力における格納容器内気体の平均密度※ ⁴	【4.5kg / m ³ 】
P_t	: 事故時の格納容器内圧力 (2Pd)	【721kPa[abs]】
P_d	: 設計圧力 (0.9Pd)	【380kPa[abs]】
P_a	: 格納容器外の圧力 (大気圧)	【101.325kPa[abs]】

※1 「沸騰水型原子力発電所 事故時の被ばく評価手法について (平成 16 年 1 月)」(株式会社 日立製作所)

※2 事故時の気体定数 R_t は、以下の式により算出した。

$$R_t [\text{J} / \text{kg} \cdot \text{K}] = \text{モル気体定数 } 8.314 [\text{J} / \text{K} \cdot \text{mol}] / \text{平均分子量 } M$$

[kg/mol]

A E C の評価式より，事故時の気体定数が大きくなるほど漏えい率は高くなる。また，上記計算式より，事故時の気体定数は，平均分子量が小さくなるほど大きくなる。事故時の格納容器内は水素，窒素及び水蒸気で構成されるため，分子量の小さい水素の割合が増加するほど平均分子量は小さくなり，結果として事故時の気体定数は大きくなる。平均分子量の設定に当たり，水素，窒素及び水蒸気のガス組成を 34%:33%:33% とし，水素の割合(34%)は，有効性評価（「雰囲気圧力・温度による静的負荷（格納容器過圧・過温破損）」）における水素発生量（約 700kg（内訳：ジルコニウム－水反応 約 324kg，アルミニウム／亜鉛の反応 約 246kg，水の放射線分解 約 115kg））を包含した値であることから，保守的な設定であると考える。

- ※3 事故時の格納容器内気体の平均密度 ρ_t は，以下の式により算出した。

$$\rho_t [\text{kg}/\text{m}^3] = \text{平均分子量 } M [\text{kg}/\text{mol}] \times \text{物質質量 } n [\text{mol}] / \text{格納容器体積 } V [\text{m}^3]$$

定常流の式より，事故時の格納容器内気体の平均密度が小さくなるほど漏えい率は大きくなる。また，上記計算式より，事故時の格納容器内気体の平均密度は，平均分子量が小さくなるほど小さくなる。平均分子量は※2 と同じであり，保守的な設定であると考える。

- ※4 格納容器内気体の平均密度 ρ_d は，以下の式により算出した。

$$\rho_d [\text{kg}/\text{m}^3] = 1.205 [\text{kg}/\text{m}^3] \times (P_d [\text{Pa}] / P_a [\text{Pa}])$$

1.205[kg/m³]：乾燥空気密度（20℃）

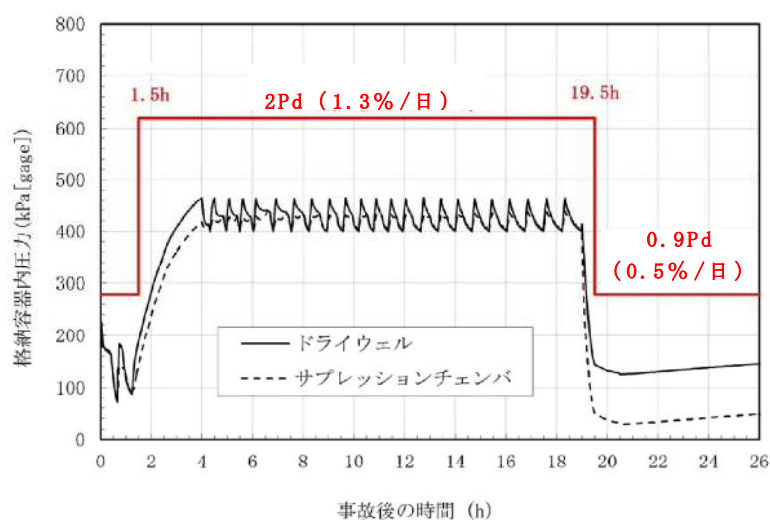
3. 無機よう素及び有機よう素の格納容器漏えい率

(1) 無機よう素

他の核種と同様に格納容器圧力に応じて漏えい率が変動すると考えるが、M A A P 解析において無機よう素を模擬していないため、M A A P 解析結果による格納容器圧力を基に漏えい率を設定する。

漏えい率の設定に当たっては、第 3-1 図のとおり M A A P 解析結果による格納容器圧力を包絡した格納容器圧力を設定し、その格納容器圧力に対する漏えい率を設定している。

このように設定した漏えい率は、0.9Pd 以下で 0.5%/日、0.9Pd 超過で 1.3%/日を一律に与えるものであり、M A A P 解析における漏えい率を包絡した保守的な設定であると考ええる。



第 3-1 図 格納容器圧力と漏えい率の時間変化
(無機よう素の格納容器漏えい率の設定)

(2) 有機よう素

有機よう素についても、無機よう素と同様の漏えい率の設定が可能であるが、有機よう素がガス状として振る舞うこと及び格納容器

内での除去効果を受けない点で希ガスに類似していることから，M
A A P 解析における希ガスと同じ挙動を示すものとし，1. 及び 2.
に基づき漏えい率を設定する。

4 格納容器内での除去効果について

MAAPにおけるエアロゾルに対する格納容器内の除去効果として、沈着、サプレッション・プールでのスクラビング及びドライウェルスプレイを考慮している。また、沈着については、重力沈降、拡散泳動、熱泳動、慣性衝突、核分裂生成物（FP）ガス凝縮/再蒸発で構成される。（「重大事故等対策の有効性評価に係るシビアアクシデント解析コードについて」の「第5部 MAAP」（抜粋）参照）

「重大事故等対策の有効性評価に係るシビアアクシデント解析コードについて」の「第5部 MAAP」（抜粋）

(2) FPの状態変化・輸送モデル

高温燃料から出た希ガス以外のFPは雰囲気温度に依存して凝固し、エアロゾルへ変化する。気相及び液相中のFPの輸送においては、熱水力計算から求まる体積流量からFP輸送量を計算する。FPがガス状とエアロゾル状の場合は、気体の流れに乗って、原子炉圧力容器内と原子炉格納容器内の各部に輸送される。水プール上に沈着したFPの場合は、区画内の水の領域間の移動に伴って輸送される。また、炉心あるいは溶融炉心中のFPの場合は、溶融炉心の移動量に基づいて輸送される。

FPの輸送モデルは上述の仮定に基づいており、炉心燃料から放出されてから原子炉格納容器に到達する経路としては、次のとおりである。燃料から原子炉圧力容器内に放出されたFPは、原子炉圧力容器破損前にはLOCA破損口あるいは逃がし安全弁から原子炉格納容器へ放出される。また、原子炉圧力容器破損後には原子炉圧

力容器破損口もしくは格納容器下部に落下した熔融炉心から FP が原子炉格納容器へ放出される。逃がし安全弁を通じて放出された FP はスクラビングによってサブレーション・チェンバ液相部へ移行する。原子炉格納容器の気相部へ放出された FP は、気体の流れに伴って原子炉格納容器内を移行する。

原子炉圧力容器及び原子炉格納容器内での気体、エアロゾル及び構造物表面上（沈着）の状態間の遷移を模擬している。原子炉格納容器内の FP 輸送モデル概要を図 3.3-15 に示す。

エアロゾルの沈着の種類としては、重力沈降、拡散泳動、熱泳動、慣性衝突、FP ガス凝縮、FP ガス再蒸発を模擬している。なお、沈着したエアロゾルの再浮遊は考慮していない。

重力沈降は、Stokes の重力沈降式と Smoluchowski 方程式（エアロゾルの粒径分布に対する保存式）の解から得られる無次元相関式を用いて、浮遊するエアロゾル質量濃度から沈着率を求める。なお、Smoluchowski 方程式を無次元相関式としているのは解析時間短縮のためであり、この相関式を使用した MAAP のモデルは様々な実験データと比較して検証が行われている。

拡散泳動による沈着は、水蒸気凝縮により生じる Stefan 流（壁面へ向かう流体力学的気流）のみを考慮して沈着率を求める。

熱泳動による沈着は、Epstein のモデルを用い、沈着面での温度勾配による沈着速度及び沈着率を求める。

慣性衝突による沈着は、原子炉格納容器内でのみ考慮され、流れの中にある構造物に、流線から外れたエアロゾルが衝突するものと仮定し、沈着率は重力沈降の場合と同様に Smoluchowski 方程式の解から得られる無次元相関式を用いて求める。

FP ガスの凝縮は、FP ガスの構造物表面への凝縮であり、雰囲気中の気体状 FP 圧力が FP 飽和蒸気圧を超えると構造物表面への凝縮を計算する。

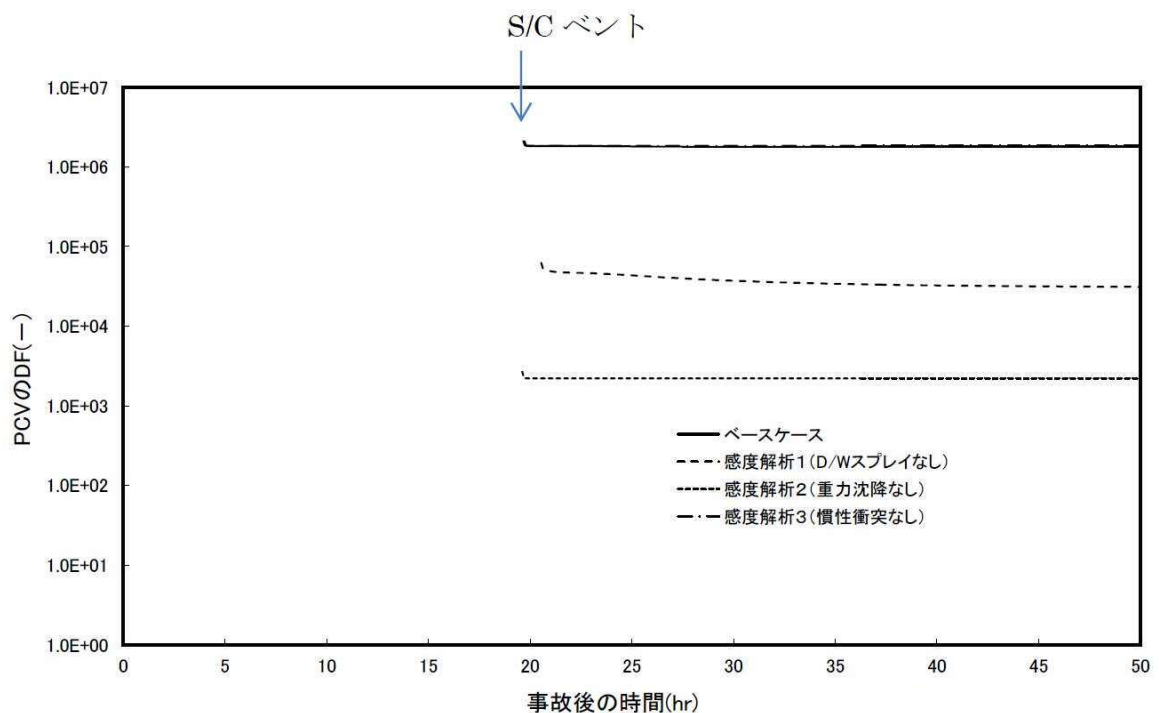
FP ガスの再蒸発は、凝縮と逆であり、気体状 FP の圧力が FP の飽和蒸気圧を下回ると、蒸発が起これと仮定している。

エアロゾルのプール水によるスクラビング現象による除去効果の取り扱いに関しては、スクラビングによる除染係数(DF)を設定し、エアロゾル除去効果が計算される。DF の値は、クエンチャ、垂直ベント、水平ベントの 3 つの種類のスクラビング機器に対し、詳細コード SUPRA[®]を用いて、圧力、プール水深、キャリアガス中の水蒸気質量割合、プール水のサブクール度及びエアロゾル粒子径をパラメータとして評価した結果を内蔵しており、これらのデータから求める。

また、格納容器スプレイによる FP 除去も模擬しており、スプレイ液滴とエアロゾルとの衝突による除去率を衝突効率、スプレイの液滴径、流量及び落下高さから計算する。

1. 沈着及びドライウェルスプレイによる除去効果

沈着及びドライウェルスプレイによる除去効果を確認するため、感度解析を行った。解析結果を第 4-1 図に示す。なお、感度解析では、以下の式により格納容器内の除去効果を算出している。

$$\text{格納容器内 D F} = \text{格納容器内への C s I 放出割合} / \text{ベントラインから大気への C s I 放出割合}$$


第 4-1 図 エアロゾルに対する格納容器内の除去効果(感度解析結果)

第 4-1 図より、全除去効果を考慮したベースケースにおける D F (10⁶ オーダー) との比較から、重力沈降の D F は 10³ 程度、ドライウェルスプレイの D F は 10~10² 程度であることがわかる。これより、重力沈降及びドライウェルスプレイ両方による D F は 10⁴~10⁵ 程度となるため、エアロゾルに対する格納容器内の除去効果は重力沈降及びドライウェルスプレイの影響が大きいと考える。

2. サプレッション・プールでのスクラビングによる除去効果

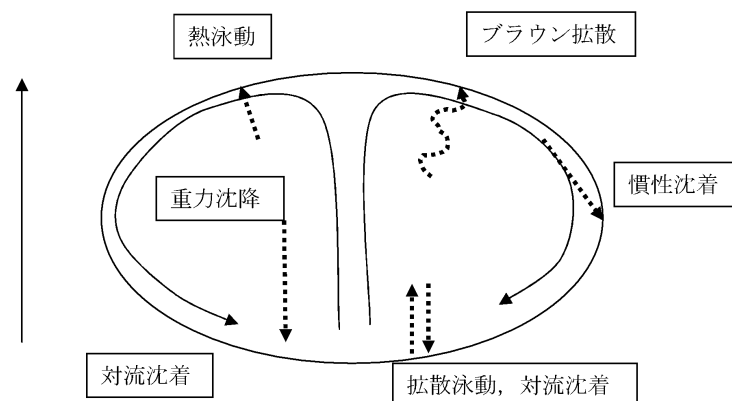
(1) スクラビング効果について

スクラビングは、エアロゾルを含む気体がプール内に移行する場合、気泡が分裂しながら上昇していく過程においてエアロゾルが気泡界面に到達した時点で水に溶解して気体から除去される現象である。スクラビングにおけるエアロゾル除去のメカニズムは、プールへの注入時の水との衝突や気泡がプール水中を上昇していく過程における慣性衝突等が考えられる。

(2) M A A P 解析上の扱いについて

スクラビングによる除去効果について、M A A P 解析ではスクラビング計算プログラム（S U P R Aコード）により計算されたD F 値のデータテーブルに、プール水深、エアロゾルの粒子径、キャリアガス中の水蒸気割合、格納容器圧力及びサプレッション・プールのサブクール度の条件を補間して求めている。

S U P R Aコードでは、スクラビングに伴う初期気泡生成時及び気泡上昇時のエアロゾルの除去効果をモデル化しており、気泡挙動（気泡サイズ及び気泡上昇速度）、初期気泡生成時のD F、気泡上昇時のD Fを評価式により与えている。第 4-2 図に、気泡中のエアロゾルが気泡界面に到達するまでの過程を示す。気泡上昇時における各過程の除去速度を評価することでエアロゾルのD Fを与えている。



第 4-2 図 スクラビングによるエアロゾル捕集効果

(3) S U P R Aコードによる計算結果と実験結果の比較について

S U P R Aコードによる計算結果については，電力共同研究^{※1}にて実験結果との比較検討が行われている。試験条件及び試験装置の概要を第 4-1 表及び第 4-3 図に示す。また，試験結果を第 4-4 図から第 4-10 図に示す。

試験結果より，S U P R Aコードによる計算結果と実験結果について，キャリアガス流量等のパラメータ値の増減による D F 値の傾向は概ね一致していることを確認した。

また，粒径 μm までの粒子について，S U P R Aコードによる計算結果が実験結果より小さい D F 値を示しており，保守的な評価であることを確認した。

一方，粒径 μm の粒子について，S U P R Aコードによる計算結果が実験結果より大きい D F 値を示しているが，これは実験と S U P R Aコードで用いている粒子の違い（実験：L A T E X 粒子（密度 g/cm^3 ），S U P R Aコード：C s O H（密度 g/cm^3 ））が影響しているためである。S U P R Aコードの計算結果を密度補正^{※2}した第 4-7 図及び第 4-9 図では，S U P R A

コードによる計算結果は実験結果より概ね小さいD F 値を示すことが確認できる。

以上より，S U P R Aコードにより計算されたD F 値を用いることは妥当と考える。

※1 共同研究報告書「放射能放出低減装置に関する開発研究」(P H A S E 2) 最終報告書 平成5年3月

※2 実験ではL A T E X粒子を用いているため，その粒径は

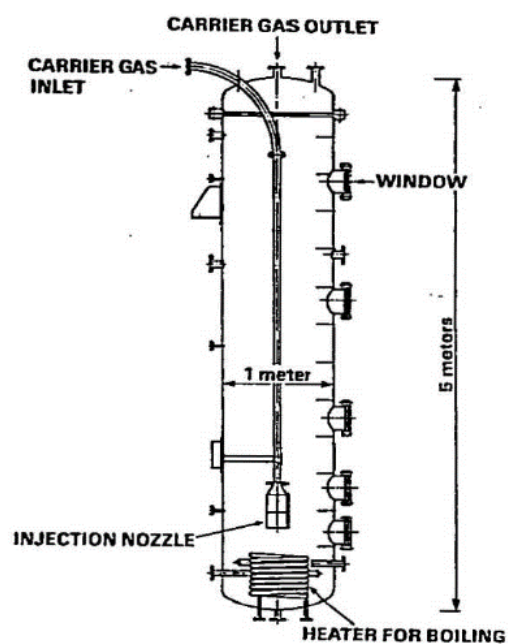
となる。一方，S U P R AコードではC
s O Hの粒径を基にしているため，下記の計算式により
に換算する。

$$d_{ae} = \sqrt{\frac{6 \rho_p \alpha_e}{\pi \rho_0 K_R}} d_e$$

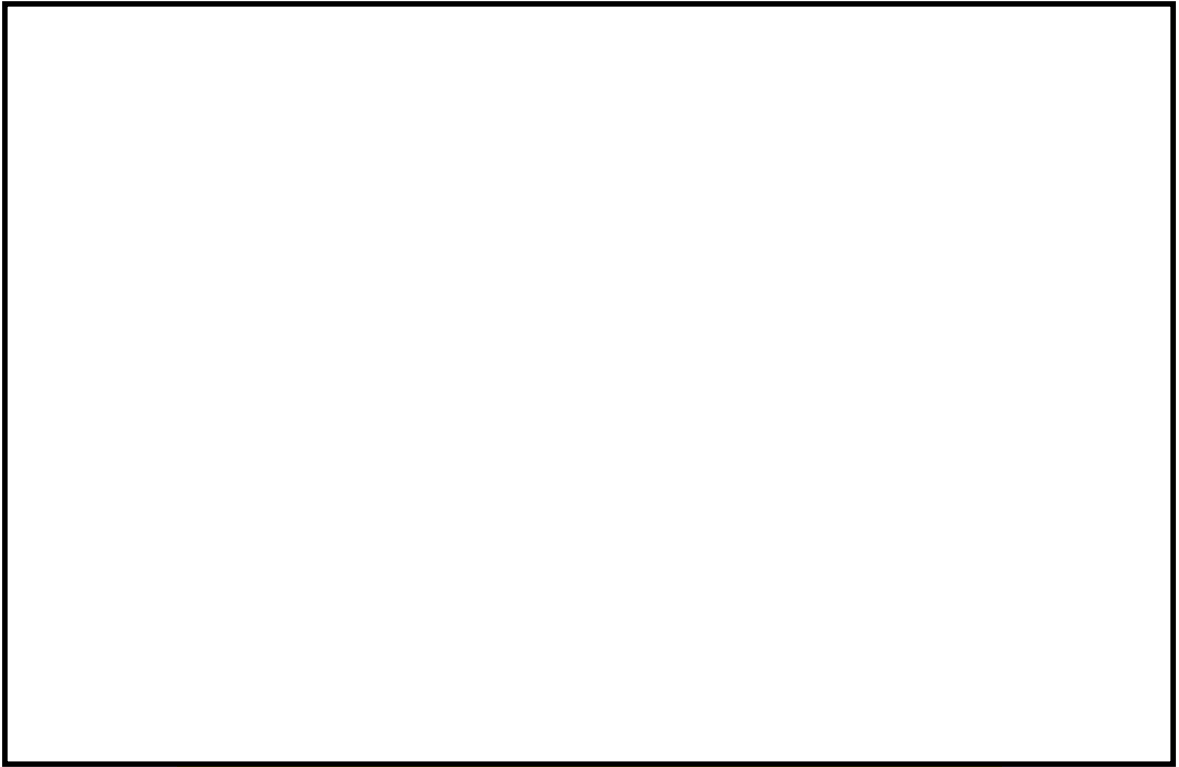
d _{ae} :	
ρ _p :	
ρ ₀ :	
α _e :	
K _R :	
d _e :	

第 4-1 表 試験条件

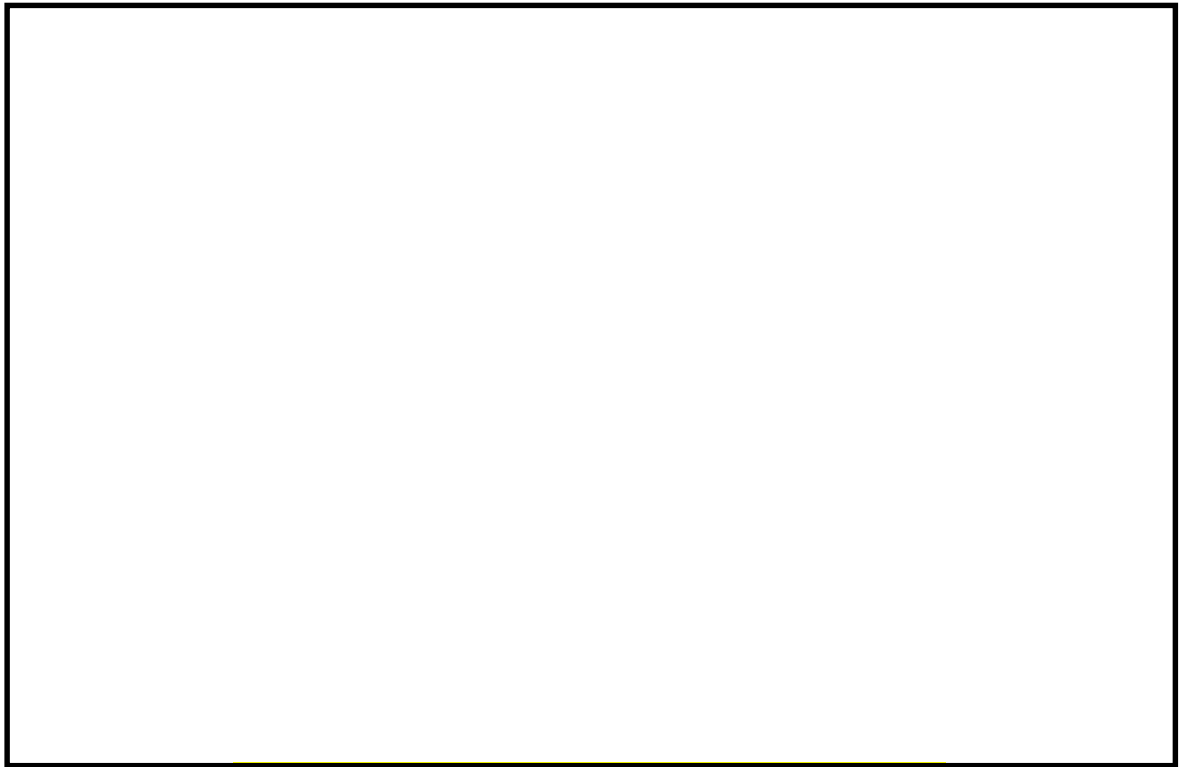
Parameter		Standard Value	Range
Geometric property	injection nozzle diameter (cm)	15	1~15
	scrubbing depth (meters)	2.7	0~3.8
Hydraulic property	pool water temperature (°C)	80	20~110
	carrier gas temperature (°C)	150	20~300
	steam fraction (vol.%)	50	0~80
	carrier gas flow rate (L/min)	500	300~2000
Aerosol property	particle diameter (μm)	0.21~1.1	0.1~1.9
	material	LATEX	LATEX, CsI



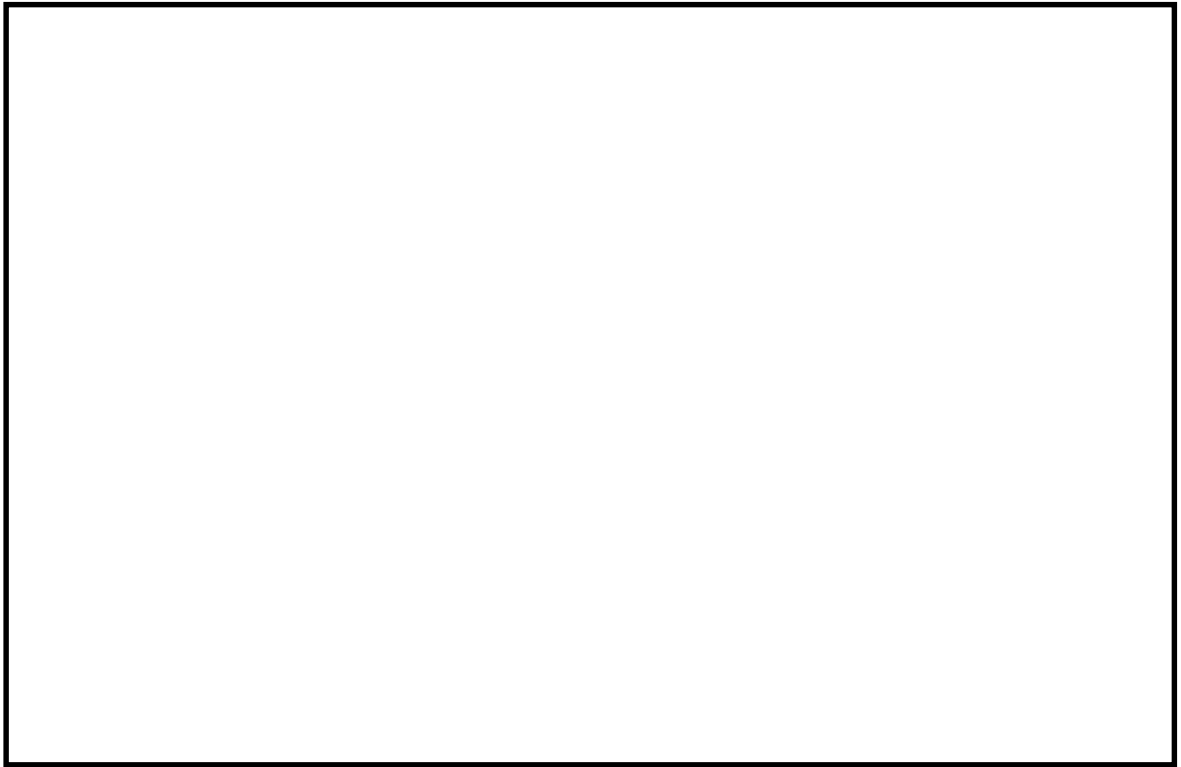
第 4-3 図 試験装置の概要



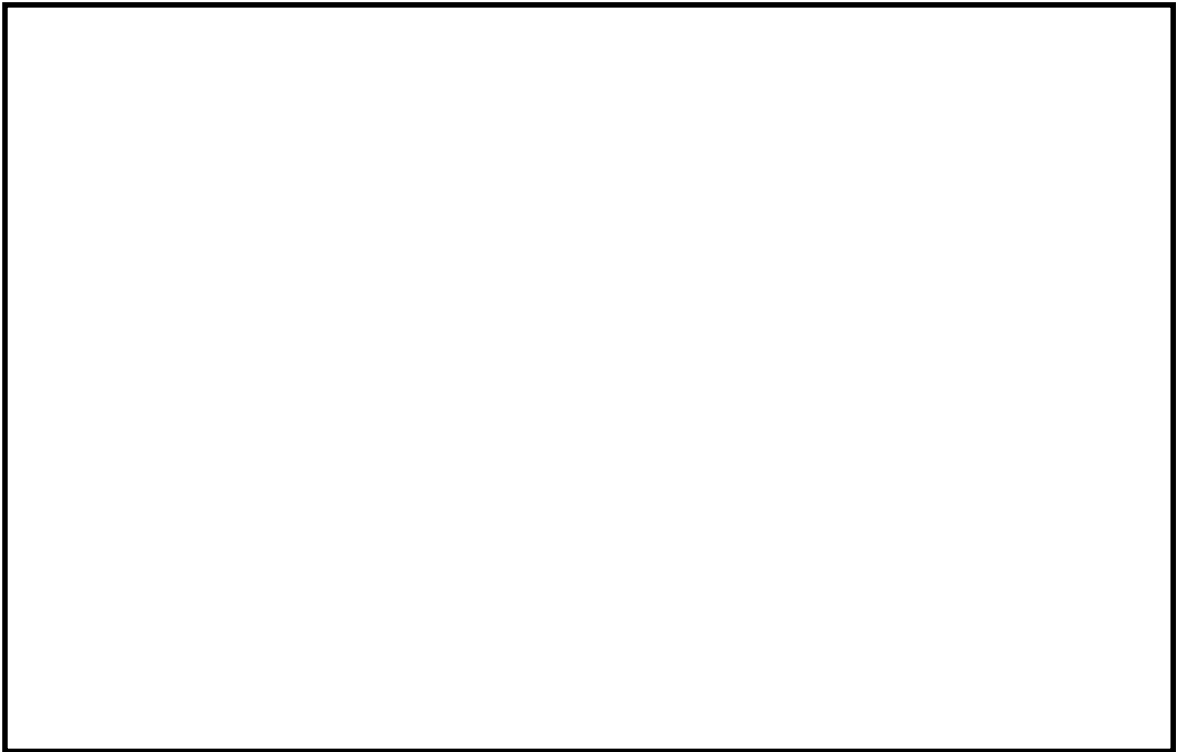
第 4-4 図 キャリアガス流量に対する D/F の比較



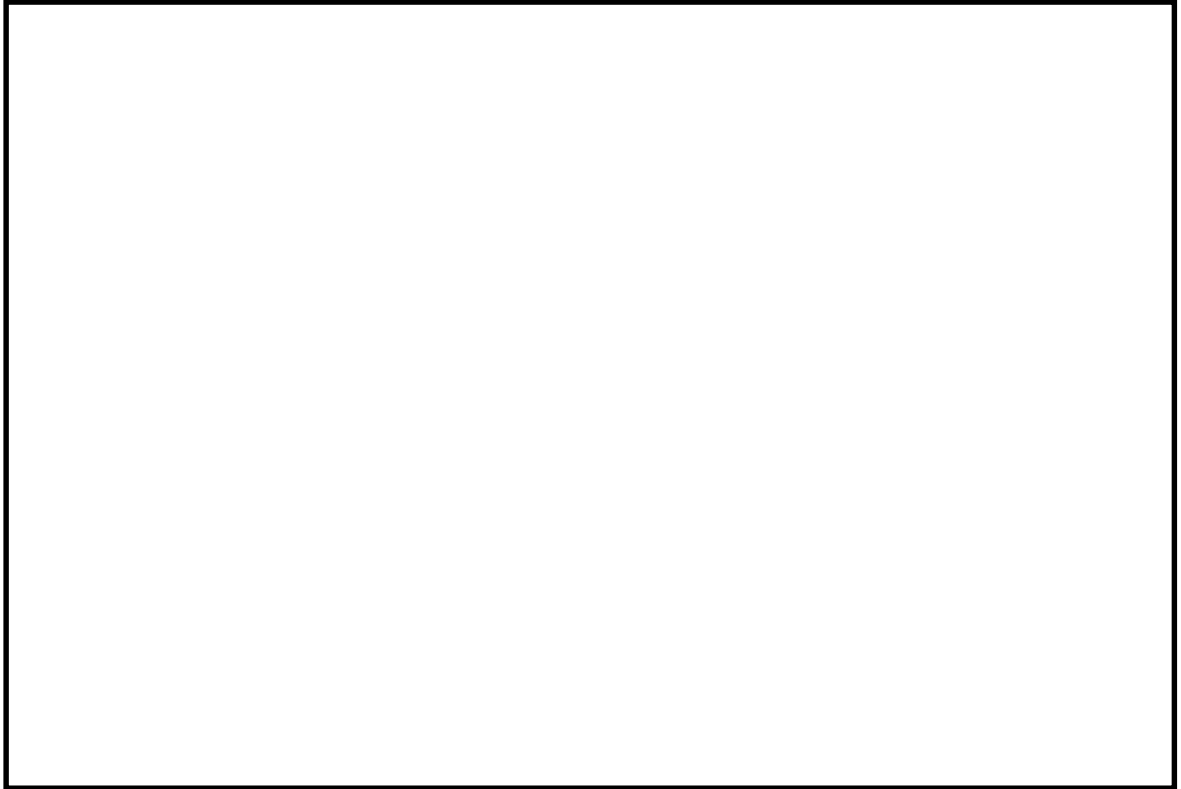
第 4-5 図 プール水温に対する D/F の比較



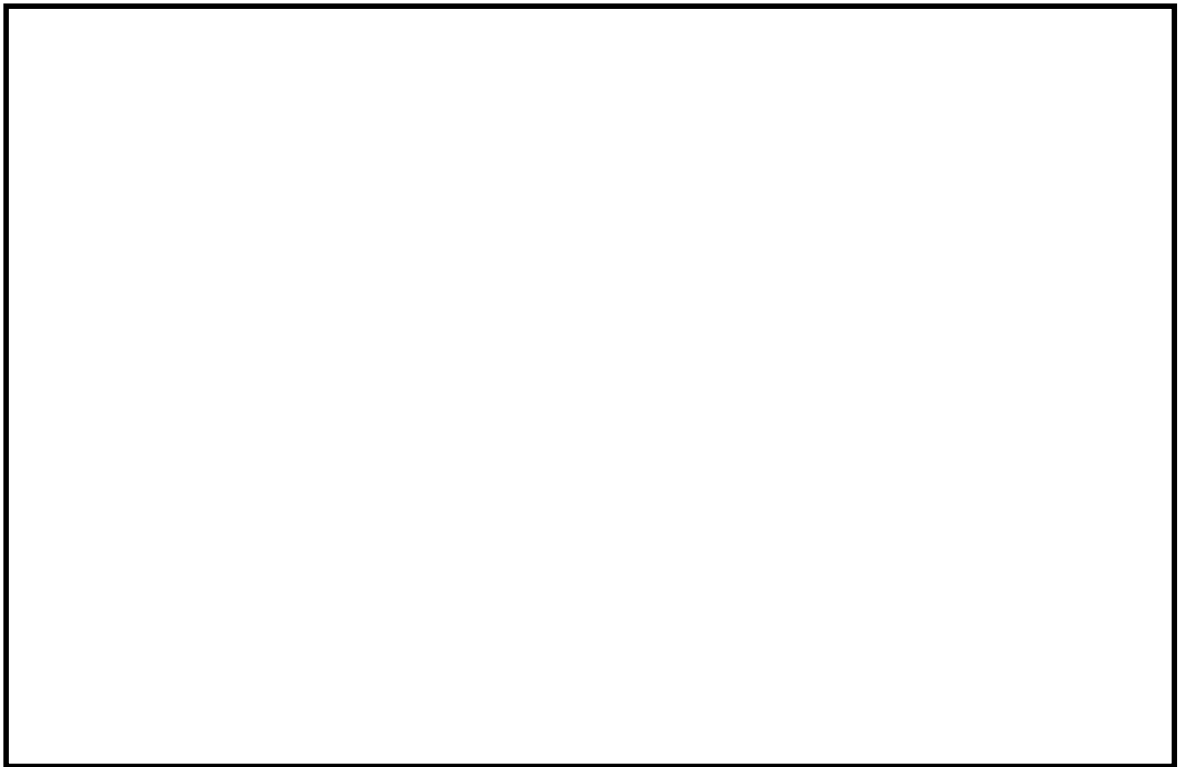
第 4-6 図 水蒸気割合に対する D F の比較



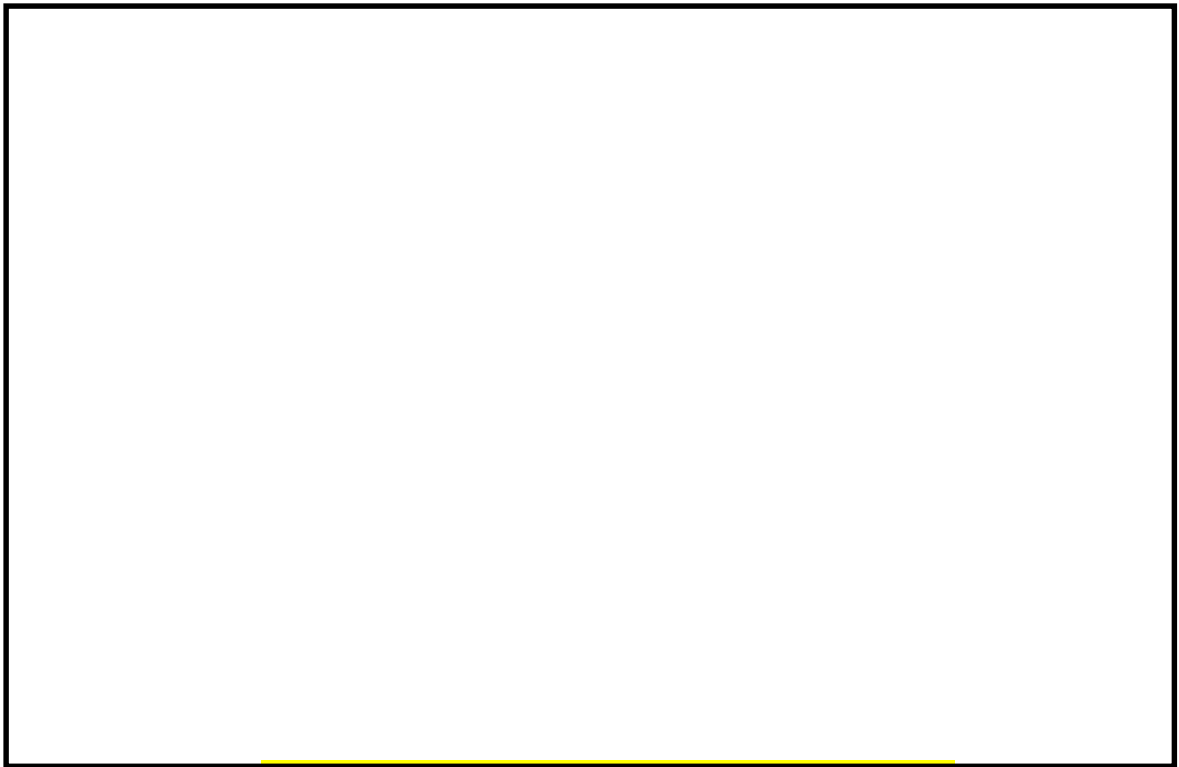
第 4-7 図 水蒸気割合に対する D F の比較（密度補正）



第 4-8 図 スクラビング水深に対する D F の比較



第 4-9 図 スクラビング水深に対する D F の比較（密度補正）



第 4-10 図 ガス温度に対する D F の比較

(4) 沸騰による除去効果への影響について

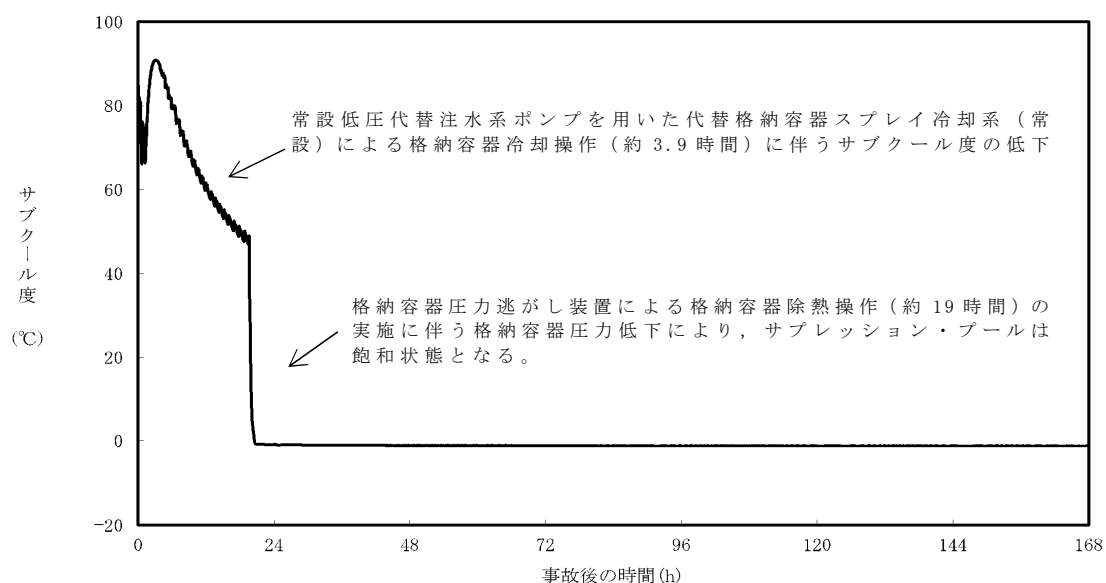
「雰囲気圧力・温度による静的負荷（格納容器過圧・過温破損）」の代替循環冷却系を使用できない場合における事故シーケンスでは、第 4-11 図のとおり、格納容器ベントの実施に伴いサプレッション・プールは飽和状態（沸騰状態）になるため、サプレッション・プールの沸騰による除去効果への影響を確認した。M A A P 解析条件及び評価結果を第 4-2 表及び第 4-3 表に示す。なお、エアロゾルの粒径については、スクラビング前後でそれぞれ最も割合の多い粒径について除去効果への影響を確認した。その結果、第 4-3 表のとおり沸騰時の除去効果は非沸騰時に比べて小さいことを確認した。

ただし、「雰囲気圧力・温度による静的負荷（格納容器過圧・過

温破損)」の代替循環冷却系を使用できない場合における事故シナリオでは、第 4-12 図のとおり、原子炉圧力容器内の Cs-137 は、大破断 LOCA により生じた破断口より格納容器内気相部へ移行し、その後重力沈降等により、事象発生 5 時間程度で大部分が格納容器内液相部へ移行するため、本評価においてサプレッション・プールの沸騰による除去効果の減少の影響はほとんどないと考える。

なお、CsI、CsOH の沸点はそれぞれ $1,280^{\circ}\text{C}$ 、 272.3°C ^{※2} であり、シビアアクシデント時に格納容器内で CsI、CsOH が揮発することは考えにくい。サプレッション・プールの沸騰に伴い液相部中の CsI、CsOH の一部が気相部へ移行する可能性がある。ただし、その場合でも、ドライウェルから格納容器圧力逃がし装置を介した場合の Cs-137 放出量（事象発生 7 日間で約 18TBq）に包絡され则认为される。

※2 化合物の辞典 高本 進・稲本直樹・中原勝儼・山崎 昶[編集] 1997 年 11 月 20 日



第 4-11 図 サプレッション・プールのサブクール度の推移

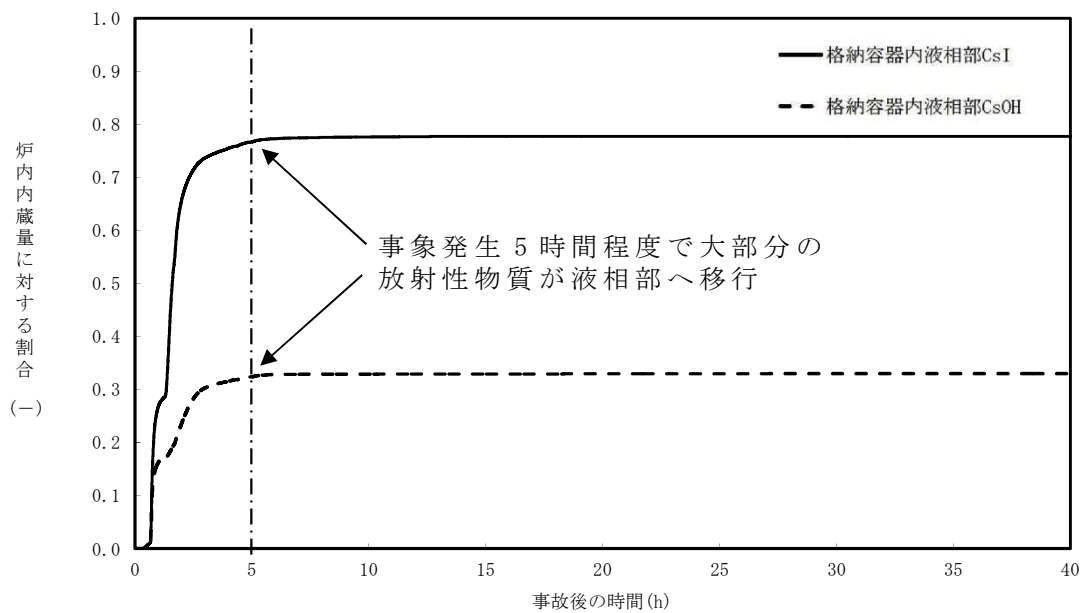
第 4-2 表 評価条件

項目	評価条件※	選定理由
蒸気割合	<input type="text"/> %	格納容器ベント実施前のドライウエルにおける蒸気割合（約 55%）相当
格納容器圧力	<input type="text"/> kPa[gage]	格納容器ベント実施前の格納容器圧力（400～465kPa[gage]）相当
サブプレッション・プール水深	<input type="text"/> m	実機では水深 3m 以上のため，設定上限値を採用
サブクール度	<input type="text"/> °C	未飽和状態として設定（設定上限値）
	<input type="text"/> °C	飽和状態として設定（設定下限値）
エアロゾルの粒径（半径）	<input type="text"/> μm	スクラビング前において，最も割合が多い粒径
	<input type="text"/> μm	スクラビング後において，最も割合が多い粒径

※ S U P R A コードにより計算されたデータテーブルの設定値を採用

第 4-3 表 評価結果

粒径（半径）	D F	
	未飽和状態 （サブクール度 <input type="text"/> °C）	飽和状態 （サブクール度 <input type="text"/> °C）
<input type="text"/> μm	<input type="text"/>	
<input type="text"/> μm		



第 4-12 図 格納容器内液相部中の存在割合

5 格納容器内における無機よう素の自然沈着効果について

1. 無機よう素の自然沈着率の設定

格納容器内での無機よう素の除去効果として、自然沈着率 $9.0 \times 10^{-4} (1/s)$ (格納容器内の最大存在量から $1/200$ まで) を用いている。以下に、自然沈着率の算出に関する概要を示す。

格納容器内における無機よう素の自然沈着について、財団法人原子力発電技術機構（以下「NUPEC」という。）による検討「平成9年度NUREG-1465のソースタームを用いた放射性物質放出量の評価に関する報告書（平成10年3月）」において、CSE (Containment Systems Experiment) A6実験に基づく値が示されている。

格納容器内での無機よう素の自然沈着率を $\lambda_d (\mu g/m^3)$ とすると、格納容器内における無機よう素濃度 ρ の濃度変化 ($1/s$) は式1で表され、自然沈着率 λ_d は時刻 t_0 における無機よう素濃度 ρ_0 と時刻 t_1 における無機よう素濃度 ρ_1 を用いて式2のとおりとなる。

$$\frac{d\rho}{dt} = -\lambda_d \rho \quad (\text{式1})$$

$$\lambda_d = -\frac{1}{t_1 - t_0} \log \left(\frac{\rho_1}{\rho_0} \right) \quad (\text{式2})$$

なお、NUPECの報告書では、Nuclear Technology “Removal of Iodine and Particles by Sprays in the Containment Systems Experiment” の記載（CSE A6実験）より、時刻0分における無機よう素の気相濃度 $10^5 \mu g/m^3$ 及び時刻30分における無機よう素の気相濃度 $1.995 \times 10^4 \mu g/m^3$ を上式に代入することで、式3のとおり、

無機よう素の自然沈着率 9.0×10^{-4} (1/s) を算出したとしている。

$$\lambda_d = -\frac{1}{30 \times 60 - 0} \log \left(\frac{1.995 \times 10^4}{10^5} \right) \approx 9.0 \times 10^{-4} \quad (\text{式 3})$$

この自然沈着率は，BNWL-1244，“Removal of Iodine and Particles from Containment Atmospheres by Spray-Containment Systems Experiment Interim Report” の C S E A 6 実験による無機よう素の気相部濃度の時間変化を表す図に基づくものである。時刻 0 分から 30 分の濃度変化は，よう素の浮遊量が多く，格納容器スプレイを考慮していない事故初期の状態を模擬していると考えられる。(第 5-1 図参照)

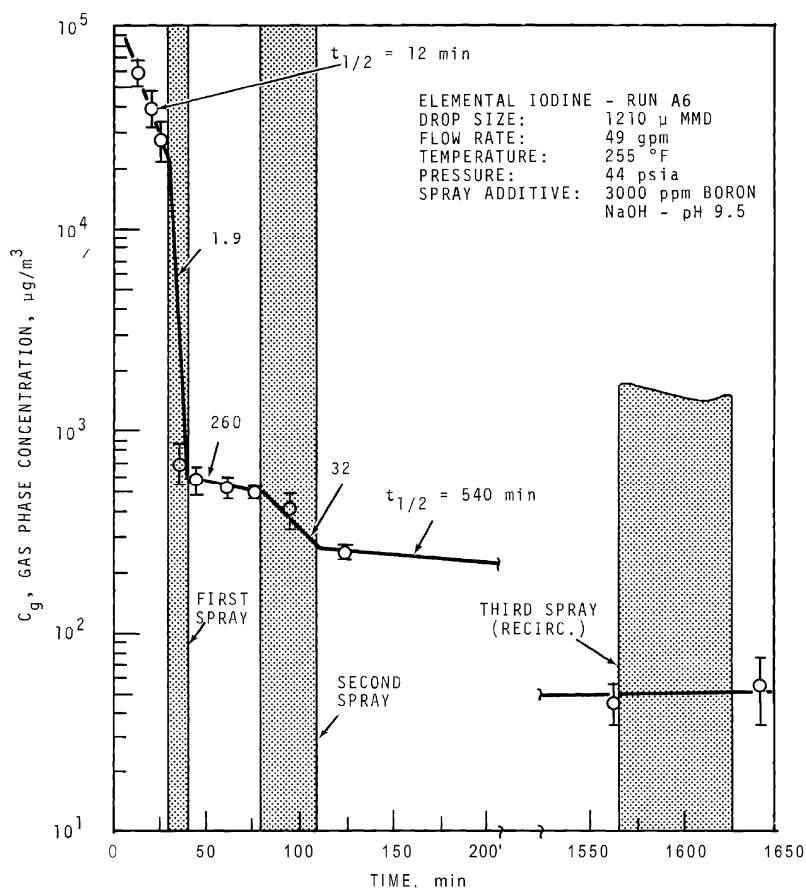


FIGURE 9. Concentration of Elemental Iodine in the Main Room, Run A6

第 5-1 図 CSE A6 実験による無機よう素の濃度変化図

2. C S E 実験の適用について

C S E 実験条件と東海第二発電所の評価条件の比較を第 5-1 表に示す。

第 5-1 表 C S E 実験条件と東海第二発電所の評価条件の比較

	C S E 実験の Run No.			東海第二発電所
	A 6 ※ 1, ※ 2	A 5 ※ 3	A 1 1 ※ 3	
雰囲気	蒸気 + 空気	同左	同左	同左
雰囲気圧力 (MPa[gage])	約 0.20	約 0.22	約 0.24	約 0.47 以下 ※ 4
雰囲気温度 (℃)	約 120	約 120	約 120	約 200 以下 ※ 4
格納容器 スプレイ	間欠 ※ 5	なし	なし	間欠 ※ 6

- ※1 R.K.Hilliard et.al, “Removal of iodine and particles by sprays in the containment systems experiment”, Nucl. Technol. Vol 10 pp499-519, 1971
- ※2 R.K.Hilliard et.al, “Removal of iodine and particles from containment atmospheres by sprays”, BNWL-1244
- ※3 R.K.Hilliard and L.F.Coleman, “Natural transport effects on fission product behavior in the containment systems experiment”, BNWL-1457
- ※4 評価事故シーケンスにおける格納容器内の雰囲気圧力及び温度の M A A P 解析結果より記載
- ※5 A6 実験はスプレイを伴う実験だが、自然沈着率の算出には 1 回目のスプレイ実施前における格納容器内の濃度変化より設定している
- ※6 格納容器スプレイを実施するが、評価上は無機よう素の除去効果に対しては自然沈着のみ考慮し、格納容器スプレイによる除去効果は考慮しない

スプレイを使用していない C S E A 5 及び A 1 1 実験における無機よう素の格納容器内気相部濃度の時間変化を第 5-2 図に示す。初期の沈着については A 6 と同様の傾向を示すとともに、初期濃度より数百分の 1 程度まで低下した後は緩やかとなる傾向が見られる。また、米国 SRP6.5.2 では、格納容器内の無機よう素濃度が 1/200 になるまでは無機よう素の除去が見込まれるとしている。

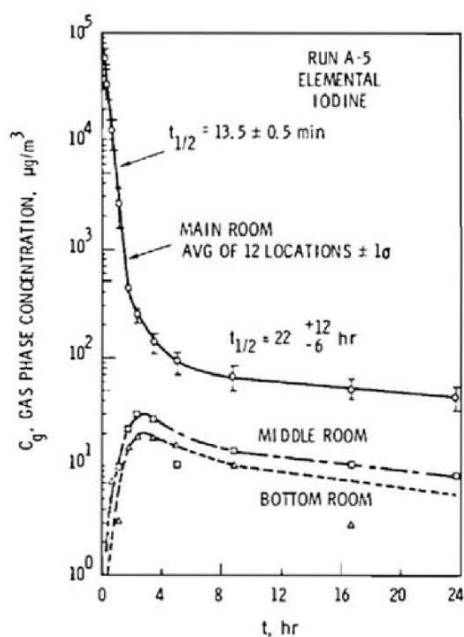


FIGURE B-5.
Concentration of Elemental
Iodine in Gas Space, Run A-5

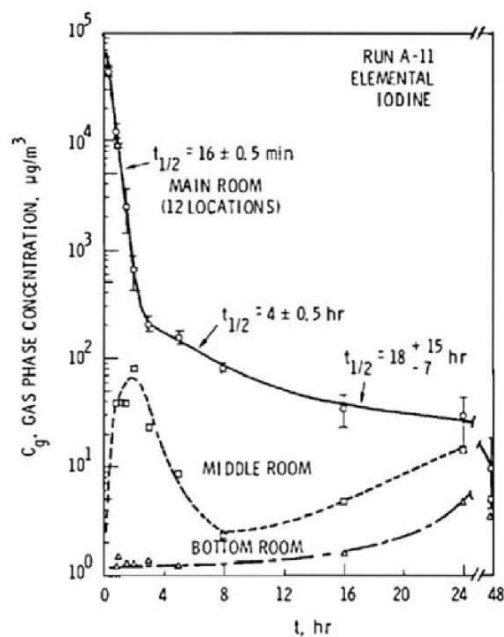


FIGURE B-6.
Concentration of Elemental
Iodine in Gas Space, Run A-11

第 5-2 図 C S E A 5 及び A 1 1 実験における無機よう素の格納容器
内気相部濃度の時間変化

自然沈着率は、評価する体系の体積と内表面積の比である比表面積の影響を受け、比表面積が大きいほど自然沈着率は大きくなると考えられるため、C S E 実験と東海第二発電所の比表面積の比較を第 5-2 表に示す。表から C S E 実験と東海第二発電所の比表面積は同程度となっていることが確認できる。

第 5-2 表 C S E 実験と東海第二発電所の比表面積の比較

	C S E 実験体系	東海第二発電所
体積 (m³)	約 600	約 5,700
表面積 (m²)	約 570	約 5,900
比表面積 (1/m)	約 0.96	約 1.04

6 サプレッション・プールでのスクラビングによる除去効果（無機よう素）について

サプレッション・プールでのスクラビングによる無機よう素の除去効果（以下「D F」という。）として、Standard Review Plan 6.5.5に基づきD F 10を設定している。これはStandard Review Plan 6.5.5において、「無機よう素のスクラビングによる除去効果として、M a r k－Ⅱ及びM a r k－Ⅲに対してD F 10以下、M a r k－Ⅰに対してD F 5以下を主張する場合は、特に計算を必要とせず容認しても良い」との記載（抜粋参照）に基づくものであり、東海第二発電所はM a r k－Ⅱ型原子炉格納容器を採用していることから、サプレッション・プールの沸騰の有無に関わらず、D F 10を適用することとしている。

なお、有機よう素についてはガス状の性質であることから、本D Fの効果には期待していない。粒子状よう素のD Fについては、M A A P解析のスクラビング計算プログラム（S U P R Aコード）にて評価している。

「Standard Review Plan 6.5.5」（抜粋）

1. Pool Decontamination Factor. The decontamination factor (DF) of the pool is defined as the ratio of the amount of a contaminant entering the pool to the amount leaving. Decontamination factors for each fission product form as functions of time can be calculated by the SPARC code. An applicant may use the SPARC code or other methods to calculate the retention of fission products within the pool, provided that these methods are described in the SAR adequately to permit review. If the time-integrated DF values claimed by the applicant for removal of particulates and elemental iodine are 10 or less for a Mark II or a Mark III containment, or are 5 or less for a Mark I containment, the applicant's values may be accepted without any need to perform calculations. A DF value of one (no retention) should be used for noble gases and for organic iodides. The applicant should provide justification for any DF values greater than those given above.

The reviewer has an option to perform an independent confirmatory calculation of the DF. If the SPARC code is used for a confirmatory calculation of fission product decontamination, the review should take care in proper establishment of the input parameters for the calculations.

サプレッション・プールでのスクラビングによる 無機よう素の除去効果に関する他の知見について

サプレッション・プールでのスクラビングによる無機よう素の除去効果に関する他の知見として，S P A R Cコードによる計算結果並びにU K A E A及びP O S E I D O Nにて行われた実験がある。

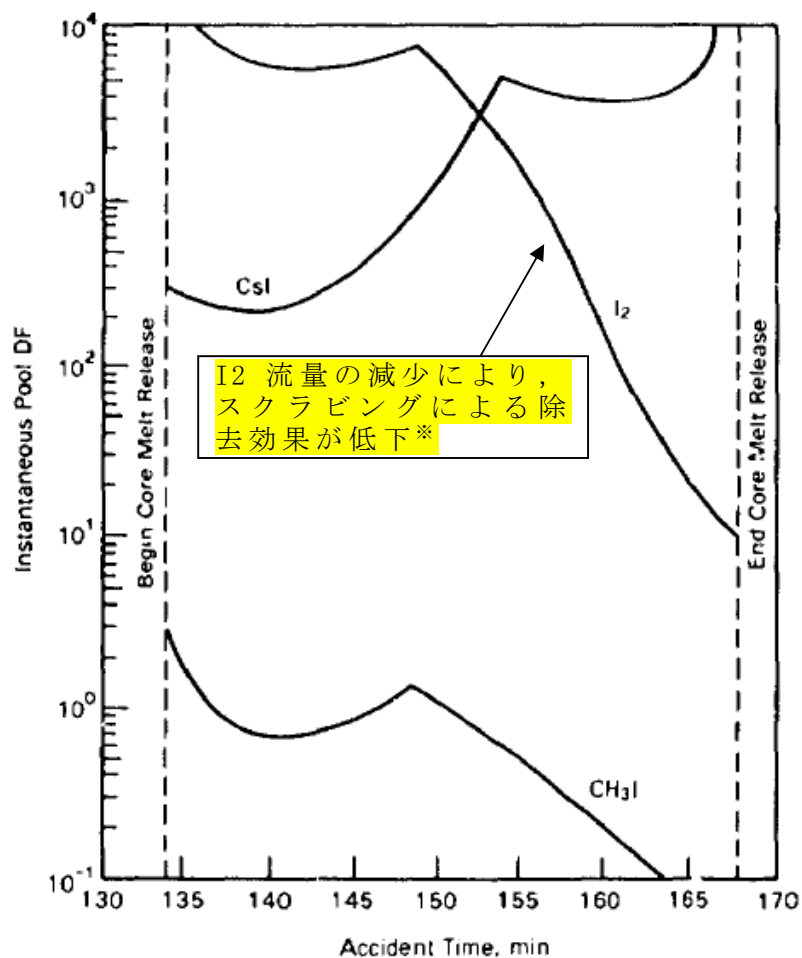
1. S P A R Cコードによる計算結果

Standard Review Plan 6.5.5 の引用文献※¹において，S P A R Cコードを用いたよう素のスクラビングによる除去効果を計算している。当該文献では，M a r k - I 型原子炉格納容器を対象として無機よう素（ I_2 ），粒子状よう素（C s I）及び有機よう素（C H₃ I）に対するスクラビングによる除去効果を計算している。計算結果は第 1 図のとおりであり，無機よう素に対する D F は最小で 10 程度である。

なお，選定した事故シーケンスは，原子炉停止機能喪失であり，以下の事故進展を想定している。

- ・ 過渡時において制御棒の挿入不良が発生
- ・ 緊急炉心冷却システムは作動するが，原子炉出力レベルはサプレッション・プールの冷却能力を超過
- ・ 原子炉圧力容器の過圧破損の発生により冷却材が喪失した結果，炉心損傷が発生

※1 : P.C.Owczarski and W.K.Winegarder, “Capture of Iodine in Suppression Pools” ,19th DOE/NRC Nuclear Air Cleaning Conference.



第 1 図 S P A R C 計算結果（瞬時値 D F）

※文献中の記載（抜粋）

“Here the I_2 flow rate is fairly high until 148.5min, then the rate (and incoming I_2 concentration) decreases. These decreases cause the pool scrubbing to become less effective at the iodine concentrations of pool. ”

2. UKAEA 及びPOSEIDONにて行われた実験

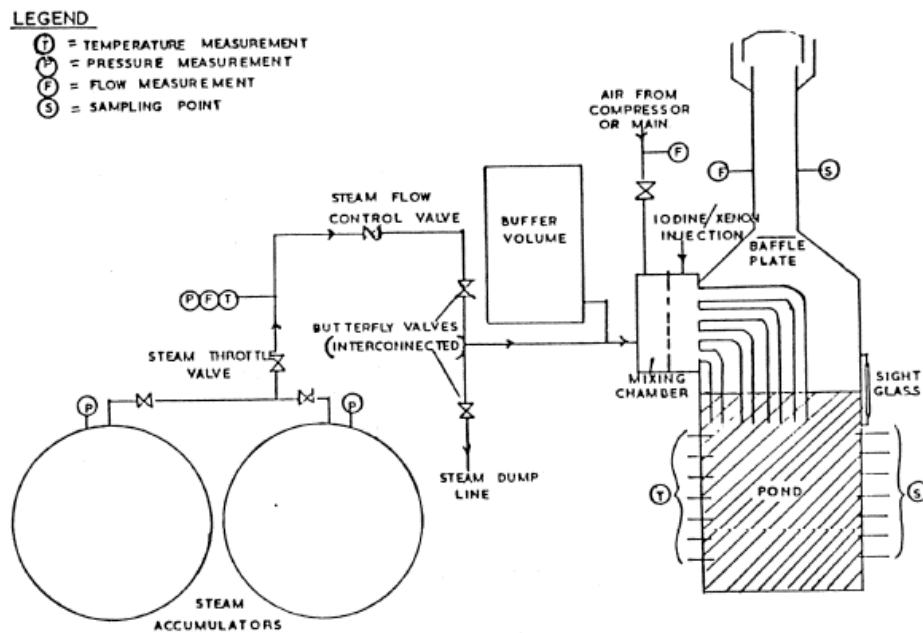
無機よう素に対するスクラビングによる除去効果について，UKAEA^{※2} 及びPOSEIDON^{※3} において実験が行われている。実験体系を第 2 図及び第 3 図，実験条件及び実験結果を第 1 表及び第 2

表に示す※⁴。第2表のとおり,無機よう素のD Fは最小で14である。

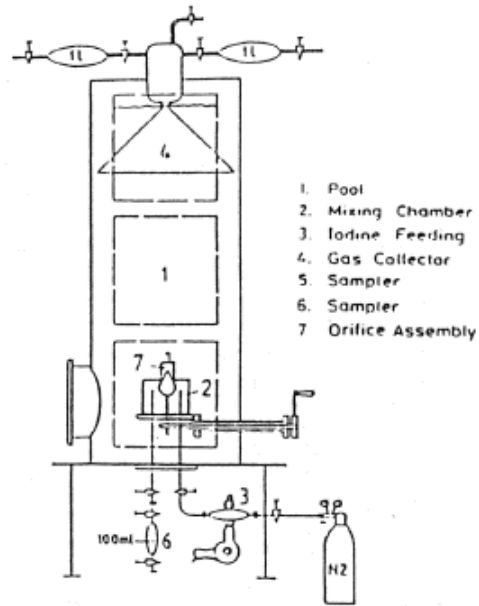
※2: イギリスのウィンフリス (重水減速沸騰軽水冷却炉 (SGHWR)) の蒸気抑制システムにおける核分裂生成物の保持を調べるための実験

※3: スイスのポール・シェラー研究所で行われた水中へのガス状よう素のスクラビングに関する実験

※4: “State-of-the-art review on fission products aerosol pool scrubbing under severe accident conditions”, 1995



第2図 UKAEA実験体系



第 3 図 POSEIDON 実験体系

第 1 表 実験条件

Program	Aerosol	Aerosol size, μm	Carrier fluid	Steam mass fraction	Water temp., $^{\circ}\text{C}$	Pool pressure	Injector
ACE	CsI CsOH MnO	1.7 - 2.7 1.6 - 2.8 1.7 - 2.3	N_2 + steam	0.008 - 0.31	25 83	ambient	sparger
EPRI	CsI TeO_2 Sn	0.2 - 3.0 0.4 - 2.7 2.7	air, N_2 or He + steam	0 - 0.95	- ambient - near saturated	ambient	single orifice
EPSI	CsI CsOH	~ 4.5 (radius)	steam	1	273 (initially)	1.1 MPa 3.1 MPa 6.1 MPa	single orifice
GE	Eu_2O_3 CsI	0.1 - 40.0 < 0.3	air	0	ambient	ambient	single orifice
JAERI	DOP	0.3 - 10.0	air	0	ambient	ambient	single orifice
LACE - España	CsI	1.7 - 7.2	N_2 + steam	0.07 - 0.85	110	3 bar (abs.)	-single orifice -multior.
SPARTA	CsI	0.7	air + N_2	0	close to saturation	ambient	2 orifices
UKAEA	Cr/Ni	0.06	air + steam	0.25 - 0.96	ambient	ambient	4 orifices (downcomers)
UKAEA	I_2 vapour	-	air and/or steam	0 - 1	ambient	ambient	4 orifices (downcomers)
POSEIDON	I_2 vapour	-	N_2	0	ambient	ambient	-single orifice - multior.

第 2 表 実験結果

Experiments	Species tested	DF range
ACE	Cs Mn I DOP	145 - 3000 11 - 260 47 - 1500 6 - 12
EPRI	CsI, TeO ₂ Sn	1.4 - 1600 110 - 6800
EPSI	CsI	2100 - 3300
GE	Eu ₂ O ₃ CsI	68 - 2900 7 - 10
JAERI	DOP	10 - 150
LACE-España	CsI	16 - 3000
SPARTA	CsI	7 *
UKAEA	Ni/Cr I ₂	15 - 1680 14 - 240
POSEIDON	I ₂	20 - 300 000

* Only one test performed.

7 格納容器外への核分裂生成物の放出割合の設定について

大気への放出量は，炉心内蔵量に格納容器外への放出割合を乗じることで算出する。（参考 1 参照）

格納容器外への放出割合の評価に当たっては，想定事故シナリオ「大破断 L O C A + 高圧炉心冷却失敗 + 低圧炉心冷却失敗」（全交流動力電源喪失の重畳を考慮）において原子炉圧力容器が健全な状態で事故収束するため，そのプラント状態を模擬可能な M A A P コードを用いることとするが，以下の考察から，N U R E G - 1 4 6 5 の知見を用いて一部補正する。M A A P 解析結果を第 7-1 表に，N U R E G - 1 4 6 5 の知見を用いて一部補正した結果を第 7-2 表に示す。

第 7-1 表 放出割合の評価結果（M A A P 解析）

核種 グループ	格納容器から原子炉建屋への漏えい割合	格納容器圧力逃がし装置への放出割合
希ガス類	約 4.3×10^{-3}	約 9.5×10^{-1}
CsI 類	約 6.3×10^{-5}	約 1.1×10^{-6}
CsOH 類	約 3.2×10^{-5}	約 4.0×10^{-7}
Sb 類	約 7.6×10^{-5}	約 2.7×10^{-6}
TeO ₂ 類	約 4.5×10^{-5}	約 3.9×10^{-7}
SrO 類	約 8.6×10^{-5}	約 2.6×10^{-5}
BaO 類	約 9.2×10^{-5}	約 1.6×10^{-5}
MoO ₂ 類	約 9.2×10^{-5}	約 3.5×10^{-6}
CeO ₂ 類	約 1.6×10^{-5}	約 1.1×10^{-5}
La ₂ O ₃ 類	約 1.6×10^{-5}	約 1.1×10^{-5}

※ 小数点第 2 位以下切上げ

第 7-2 表 放出割合の評価結果
(中・低揮発性の核種グループに対する補正後)

核種 グループ	格納容器から原子炉建屋へ の漏えい割合※ ¹	格納容器圧力逃がし装置への 放出割合※ ¹
希ガス類	約 4.3×10^{-3}	約 9.5×10^{-1}
CsI 類	約 6.3×10^{-5}	約 1.1×10^{-6}
CsOH 類	約 3.2×10^{-5}	約 4.0×10^{-7}
Cs 類※ ²	約 3.4×10^{-5}	約 4.5×10^{-7}
Sb 類	約 6.8×10^{-6}	約 9.0×10^{-8}
TeO ₂ 類	約 6.8×10^{-6}	約 9.0×10^{-8}
SrO 類	約 2.7×10^{-6}	約 3.6×10^{-8}
BaO 類	約 2.7×10^{-6}	約 3.6×10^{-8}
MoO ₂ 類	約 3.4×10^{-7}	約 4.5×10^{-9}
CeO ₂ 類	約 6.8×10^{-8}	約 9.0×10^{-10}
La ₂ O ₃ 類	約 2.7×10^{-8}	約 3.6×10^{-10}

※¹ 小数点第 2 位以下切上げ

※² CsI 類及び CsOH 類の値から評価（評価式は式 1）

① T M I や福島第一原子力発電所事故での観測事実について

第 7-1 表によると，高揮発性核種（C s I ， C s O H ）のベントラインからの放出割合（ $10^{-6} \sim 10^{-7}$ オーダー）と比べ，中・低揮発性核種の放出割合が大きい（ 10^{-5} オーダー）という結果になっている。

一方，T M I や福島第一原子力発電所事故での観測事実から，事故が発生した場合に最も多く放出される粒子状物質は，よう素やセシウム等の高揮発性の物質であり，中・低揮発性の物質の放出量は高揮発性の物質と比べて少量であることがわかっている。

第 7-3 表は，T M I 事故後に評価された放射性核種の場所毎の存在量であるが，希ガスや高揮発性核種（セシウムやよう素）が原子炉圧力容器外に炉心内蔵量の半分程度放出される一方で，中・低揮発性核種はほぼ全量が原子炉圧力容器に保持されているという評価となっている。

第 7-3 表 T M I 事故後に評価された放射性核種の場所毎の存在量

(単位: %)

核種	低揮発性			中揮発性			高揮発性		
	¹⁴⁴ Ce	¹⁵⁴ Eu	¹⁵⁵ Eu	⁹⁰ Sr	¹⁰⁶ Ru	¹²⁵ Sb	¹³⁷ Cs	¹²⁹ I	⁸⁵ Kr
原子炉建屋									
原子炉容器	105.4	122.7	109.5	89.7	93.2	117.2	40.1	42	30
原子炉冷却系	-	-	-	1	-	0.2	3	1	-
地階水、気相タンク類	0.01	-	-	2.1	0.5	0.7	47	(47) [†]	54
補助建屋	-	-	-	0.1	-	0.7	5	7	-
合計	105	122	110	93	94	119	95	97	85

† 広範囲のI濃度測定値と多量のデブリ(おもに地下水沈殿物)のため、ここでの保持量は炉心インベントリーを大きく上回る分析結果となってしまう。したがって、ここに保持されたIのインベントリーはCsと同等であると考える。

※ 存在割合 = サンプル試料の分析結果 / O R I G E N 2 コード解析結果

出典: 「T M I - 2 号機の調査研究成果 (渡会 慎祐, 井上 康, 梶田 藤夫 日本原子力学会誌 Vol. 32, No. 4 (1990))」

また、第 7-4 表は、福島第一原子力発電所事故後に実施された発電所敷地内の土壤中放射性核種のサンプリング結果であるが、最も多く検出されているのは高揮発性核種（セシウムやヨウ素）であり、多くの中・低揮発性核種は不検出（ND）という結果となっている。

第 7-4 表 福島第一原子力発電所事故後に検出された

土壤中の放射性核種

(単位: Bq/kg・乾土)

試料採取場所	【定点①】*1 グランド (西北西約500m)*2			【定点②】*1 野島の森 (西約500m)*2			【定点③】*1 産業処分場近傍 (南南西約500m)*2			④5.6号機リベ ル前 (北約1,000m)*2	⑤固体廃棄物貯 蔵庫1.2棟近傍 (北約500m)*2	⑥南南西 約500m*2	⑦南南西 約750m*2	⑧南南西 約1,000m*2
	3/21	3/25	3/28	3/25	3/28	3/25	3/28	3/25	3/28	3/25	3/22	3/22	3/22	3/22
試料採取日	3/21	3/25	3/28	3/25	3/28	3/25	3/28	3/25	3/28	3/25	3/22	3/22	3/22	3/22
分析機関	JAEA	JAEA	日本分析 センター *3	JAEA	日本分析 センター *3	JAEA	日本分析 センター *3	JAEA	日本分析 センター *3	JAEA	JAEA	JAEA	JAEA	JAEA
測定日	3/24	3/28	3/30	3/28	3/30	3/28	3/30	3/28	3/30	3/28	3/25	3/25	3/24	3/25
核種														
I-131(約8日)	5.8E+06	5.7E+06	3.8E+06	3.0E+06	3.9E+04	1.2E+07	2.8E+06	4.6E+05	3.1E+06	7.9E+05	2.2E+06	5.4E+06		
I-132(約2時間)	*4	*4	2.3E+05	*4	1.3E+02	*4	1.5E+05	*4		*4	*4	*4	*4	*4
Cs-134(約2年)	3.4E+05	4.9E+05	5.3E+05	7.7E+04	3.2E+02	3.5E+06	9.7E+05	6.8E+04	9.5E+05	8.7E+03	1.7E+04	1.6E+05		
Cs-136(約13日)	7.2E+04	6.1E+04	3.3E+04	1.0E+04	2.8E+01	4.6E+05	6.9E+04	8.6E+03	1.1E+05	1.9E+03	2.2E+03	2.5E+04		
Cs-137(約30年)	3.4E+05	4.8E+05	5.1E+05	7.6E+04	3.2E+02	3.5E+06	9.3E+05	6.7E+04	1.0E+06	2.0E+04	1.6E+04	1.6E+05		
Te-129m(約34日)	2.5E+05	2.9E+05	8.5E+05	5.3E+04	ND	2.7E+06	6.0E+05	2.8E+04	8.9E+05	9.5E+03	1.9E+04	1.7E+05		
Te-132(約3日)	6.1E+05	3.4E+05	3.0E+05	6.5E+04	1.4E+02	3.1E+06	2.0E+05	3.2E+04	1.9E+06	2.1E+04	3.9E+04	3.8E+05		
Ba-140(約13日)	1.3E+04	1.5E+04	ND	2.5E+03	ND	ND	ND	ND	8.0E+04	ND	ND	ND		
Nb-95(約35日)	1.7E+03	2.4E+03	ND	ND	ND	5.3E+03	ND	ND	8.1E+03	ND	ND	7.9E+02		
Ru-106(約370日)	5.3E+04	ND	ND	6.4E+03	ND	2.7E+05	ND	ND	6.8E+04	1.9E+03	ND	3.2E+04		
Mo-99(約66時間)	2.1E+04	ND	ND	ND	ND	6.6E+04	ND	ND	ND	ND	ND	ND		
Tc-99m(約6時間)	2.3E+04	2.0E+04	ND	ND	ND	4.5E+04	ND	1.8E+03	2.3E+04	ND	ND	8.3E+03		
La-140(約2日)	3.3E+04	3.7E+04	ND	2.3E+03	ND	9.7E+04	ND	2.5E+03	2.1E+05	4.2E+02	6.2E+02	7.8E+03		
Be-7(約53日)	ND	ND	ND	ND	ND	ND	ND	ND	3.2E+04	ND	ND	ND		
Ag-110m(約250日)	1.1E+03	2.6E+03	ND	ND	ND	ND	ND	1.7E+02	1.8E+04	ND	ND	ND		

出典: 東京電力(株)HP(<http://www.tepco.co.jp/cc/press/11040609-j.html>)

②各元素の放出挙動について

燃料からの核分裂生成物の放出及び移行挙動に関する研究結果より、各元素の放出挙動は以下のように整理されており※¹、高揮発性核種が高温ではほぼ全量放出されるのに対し、中・低揮発性核種は雰囲気条件に大きく左右される。

希ガス：高温にてほぼ全量放出される。

I, C s：高温にてほぼ全量放出される。放出速度は希ガスと同等。

S b, T e：被覆管と反応した後、被覆管の酸化に伴い放出される。

S r, M o, R u, R h, B a：雰囲気条件（酸化条件 or 還元条件）に大きな影響を受ける。

C e, N p, P u, Y, Z r, N b：高温状態でも放出速度は低い。

※1 「化学形に着目した破損燃料からの核分裂生成物及びアクチニドの放出挙動評価のための研究（JAEA-Review 2013-034, 2013 年 12 月）」

③補正について

①及び②より、第 7-1 表の中・低揮発性核種の放出割合が高揮発性核種よりも大きいという結果は実態に即しておらず、これは、M A A P 解析において、中・低揮発性核種の放出割合が過度に大きく評価されたためと考えられ、要因としては、熔融燃料が再冠水し熔融燃料の外周部が固化した後でも、燃料デブリ表面からの放射性物質の放出評価において熔融燃料の平均温度を参照して放出量を評価していることや、熔融燃料上部の水によるスクラビング効果を考慮していないことが挙げられる。なお、M A A P コードの開発元である E P R I からも、以下の報告がなされている。

- ・炉心が再冠水した場合の低揮発性核種（R u 及びM o）の放出について，低温の熔融燃料表面付近ではなく，熔融燃料の平均温度を基に放出速度を算出しているため，M A A P 解析が保守的な結果を与える場合がある。
- ・M o の放出量評価について，N U R E G -1465 よりもM A A P の方が放出量を多く評価する。

したがって，T M I 事故や福島第一原子力発電所事故の実態により見合った，環境中への放出量を評価するため，中・低揮発性核種の放出割合を補正することとした。補正するに当たり，T M I 事故を契機として行われたシビアアクシデントに係るソースターム研究を踏まえ，被覆管材であるジルコニウムの酸化量の違い等により核分裂生成物の放出量や放出タイミングに相違が生じることを考慮し，B W R 及びP W R それぞれに対して放出割合を設定する等，より現実的なソースタームの設定を目的として制定されたN U R E G -1465 の知見を利用する。事象発生後，炉心損傷が開始し，原子炉圧力容器が破損するまでのM A A P 解析とN U R E G -1465 の想定と比較を第 7-5 表のとおりであり，想定事故シーケンスでは重大事故等対処設備による原子炉注水により原子炉圧力容器破損には至らないが，N U R E G -1465 の想定とM A A P 解析の事象進展に大きな差はなく，本評価においてN U R E G -1465 の知見は利用可能と判断している。

第 7-5 表 M A A P 事象進展と N U R E G - 1465 の想定と比較

	燃料被覆管損傷が開始し，ギャップから放射性物質が放出される期間	炉心溶融が開始し，溶融燃料が原子炉圧力容器破損するまでの期間
M A A P	約 4 分～約 27 分※ ¹	約 27 分～約 3.3 時間※ ²
N U R E G -1465	～30 分	30 分～2 時間

※1 炉心損傷開始（燃料被覆管 1,000K）～燃料溶融開始（燃料温度 2,500K）

※2 原子炉注水をしない場合における原子炉圧力容器破損時間（本評価においては原子炉注水により原子炉圧力容器破損には至らない）

以下，各核種グループにおける放出割合の具体的な評価手法を示す。

(1) 希ガスグループ，C s I グループ，C s O H グループ

希ガスを含めた高揮発性の核種グループについては，M A A P 解析結果から得られた放出割合を採用する。

なお，C s の放出割合については，C s I グループ及び C s O H グループの放出割合，I 元素と C s 元素の原子炉停止直後の炉心内蔵重量より，式 1 を用いて評価する。（式 1 の導出過程は，参考 2 参照）

$$F_{Cs}(T) = F_{CsOH}(T) + \frac{M_I}{M_{Cs}} \times \frac{W_{Cs}}{W_I} \times (F_{CsI}(T) - F_{CsOH}(T)) \quad (\text{式 1})$$

$F_{Cs}(T)$: 時刻 T における C s の放出割合
 $F_{CsOH}(T)$: 時刻 T における C s O H グループの放出割合
 $F_{CsI}(T)$: 時刻 T における C s I グループの放出割合
 M_I : 停止直後の I の炉心内蔵重量
 M_{Cs} : 停止直後の C s の炉心内蔵重量
 W_I : I の分子量
 W_{Cs} : C s の分子量

(2) 中・低揮発性の核種グループ

中低揮発性の核種グループについては、M A A P 解析から得られた放出割合は採用せず、M A A P 解析の結果から得られた C s の放出割合、希ガスグループの放出割合及び N U R E G - 1 4 6 5 の知見を利用して放出割合を評価する。

ここで、中・低揮発性の核種における放出割合の経時的な振る舞いは、格納容器ベントからの放出については希ガス、原子炉建屋への漏えいについては C s と同一になるものとし※²、事象発生から 168 時間経過時点における C s の放出割合に対する当該核種グループの放出割合の比率は N U R E G - 1465 で得られた比率に等しいとして、式 2 及び式 3 に基づき評価する。また、第 7-6 表に、N U R E G - 1465 で評価された格納容器内への放出割合を示す。

【格納容器圧力逃がし装置への放出】

$$Fi(T) = F_{Cs}(168h) \times \frac{\gamma_i}{\gamma_{Cs}} \times \frac{F_{NG}(T)}{F_{NG}(168h)} \quad (\text{式 2})$$

【格納容器から原子炉建屋への漏えい】

$$Fi(T) = F_{Cs}(T) \times \frac{\gamma_i}{\gamma_{Cs}} \quad (\text{式 3})$$

$F_i(T)$: 時刻 T における i 番目の M A A P 核種グループの放出割合

$F_{NG}(T)$: 時刻 T における希ガスグループの放出割合

$F_{Cs}(T)$: 時刻 T における C s の放出割合

γ_i : N U R E G - 1465 における i 番目の M A A P 核種グループに相当する核種グループの格納容器への放出割合

γ_{Cs} : N U R E G - 1465 における C s に相当する核種グループの格納容器への放出割合

※2 格納容器内に放出された中・低揮発性の核種グループは、

粒子状として振る舞い、沈着やドライウェルスプレイ等に

よる除去効果を受けると考えられる。したがって、中・低揮発性の核種グループの原子炉建屋への漏えいについては、沈着等による除去効果を受けるCsの振る舞いに近いと考えられる。

また、中・低揮発性の核種グループは、Csに比べて格納容器内に放出される量が少なく、壁面等への付着量も少ない。したがって、格納容器圧力逃がし装置への放出については、格納容器ベントに伴い大気に放出された後も、壁面等に付着した放射性物質の再浮遊に伴い大気への放出が生じるCsではなく、格納容器気相部に浮遊し、壁面等からの追加放出がない希ガスの放出割合の振る舞いに近いと考えられる。

以上のことから、中・低揮発性の核種グループの「各時刻における放出割合」は、「各時刻における希ガスグループ又はCsの放出割合」に比例するものとする。

第 7-6 表 NUREG-1465 での格納容器内への放出割合

核種グループ	格納容器への放出割合※
Cs	0.25
TeO ₂ , Sb	0.05
SrO, BaO	0.02
MoO ₂	0.0025
CeO ₂	0.0005
La ₂ O ₃	0.0002

※ NUREG-1465 の Table3.12 「Gap Release」及び「Early In-Vessel」の値の和

(NUREG-1465 では、「Gap Release」、「Early In-Vessel」、「Ex-Vessel」及び「Late In-Vessel」の各事象進展フェーズに対して格納容器内への放出割合を与えている。本評価事象は原子炉圧力容器が健全な状態で事故収束するため、原子炉圧力容器損傷前までの炉心からの放出を想定する「Gap Release」及び「Early In-Vessel」の値を用いる。)

参考 1 大気への放出量評価過程について

大気への放出量は、「核種ごとに評価した炉心内蔵量」に「MAAPにより評価した核種グループごとの格納容器外への放出割合」を乗じることによって算出する。本評価において考慮したMAAPにおける核種グループと各グループの核種を第 7-7 表に示す。なお、MAAPにおける核種グループとNUREG-1465における核種グループの比較は第 7-1 図のとおりであり、分類数に違いはあるが、取り扱っている核種は同等である。

第 7-7 表 MAAPにおける核種グループと各グループの核種

核種グループ	核種
希ガス類	K r , X e
C s I 類	I
C s O H 類	C s , R b
S b 類	S b
T e O ₂ 類	T e
S r O 類	S r
B a O 類	B a
M o O ₂ 類	M o , C o , T c , R u , R h
C e O ₂ 類	C e , N p , P u
L a ₂ O ₃ 類	L a , Y , Z r , N b , P r , N d , A m , C m

※本評価において「T e₂ 類」及び「U O₂ 類」の核種グループに対するMAAP解析結果がゼロのため、対象外とした。

[FP の核種グループ]

(NUREG-1465)

グループ	核種
1	希ガス/Xe, Kr
2	ハロゲン/I, Br
3	アルカリ金属/Cs, Rb
4	テルルグループ/ Te, Sb, Se
5	バリウム・ストロンチウム/ Ba, Sr
6	貴金属/ Ru, Rh, Pd, Mo, Tc, Co
7	ランタノイド/ La, Zr, Nd, Eu, Nb, Pm, Pr, Sm, Y, Cm, Am
8	セリウムグループ/ Ce, Pu, Np

(MAAP)

グループ	核種
1	希ガス
2	CsI
3	TeO ₂
4	SrO
5	MoO ₂
6	CsOH
7	BaO
8	La ₂ O ₃
9	CeO ₂
10	Sb
11	Te ₂
12	UO ₂

第 7-1 図 MAAP 及び NUREG-1465 における核種グループの
 (「重大事故等対策の有効性評価に係るシビアアクシデント
 ト解析コードについて」の「第 5 部 MAAP」(抜粋))

参考 2 C s の放出割合の評価式について

C s の放出割合については，C s I グループ及びC s O H グループの放出割合，I 及びC s の原子炉停止直後の炉心内蔵重量並びに I 及びC s の分子量を用いて，下記の式 1 により評価している。ここでは，式 1 の導出過程について示す。

$$F_{Cs}(T) = F_{CsOH}(T) + \frac{M_I}{M_{Cs}} \times \frac{W_{Cs}}{W_I} \times (F_{CsI}(T) - F_{CsOH}(T)) \quad (\text{式 1})$$

$F_{Cs}(T)$: 時刻 T における C s の放出割合
 $F_{CsOH}(T)$: 時刻 T における C s O H グループの放出割合
 $F_{CsI}(T)$: 時刻 T における C s I グループの放出割合
 M_I : 停止直後の I の炉心内蔵重量
 M_{Cs} : 停止直後の C s の炉心内蔵重量
 W_I : I の分子量
 W_{Cs} : C s の分子量

1. C s I に含まれる C s

I は全てC s I として存在しているため，C s I 中に含まれるC s は，C s I 中に含まれる I の重量に I 及びC s の分子量の比を乗ずることで算出する。

$$M_{Cs(CsI)}(T) = M_I \times \frac{W_{Cs}}{W_I} \times F_{CsI}(T)$$

$M_{Cs(CsI)}(T)$: 時刻 T における C s I 中に含まれる C s の放出量

2. C s O Hに含まれるC s

C s はC s I 又はC s O Hのいずれかの形態で存在しているため、C s O H中に含まれるC s は、1. で算出したC s I 中に含まれるC s を差引くことで算出する。

$$M_{Cs(CsOH)}(T) = (M_{Cs} - M_I \times \frac{W_{Cs}}{W_I}) \times F_{CsOH}(T)$$

$M_{Cs(OH)}(T)$ ：時刻 T におけるC s O H中に含まれるC s の放出量

3. C s の放出割合

1. 及び 2. で得られたC s の放出量をC s の炉心内蔵重量で除することで、C s の放出割合を算出する。

$$\begin{aligned} F_{Cs}(T) &= \frac{M_{Cs(CsI)}(T) + M_{Cs(CsOH)}(T)}{M_{Cs}} \\ &= \frac{M_I \times \frac{W_{Cs}}{W_I} \times F_{CsI}(T) + (M_{Cs} - M_{Cs(CsI)}) \times F_{CsOH}(T)}{M_{Cs}} \\ &= \frac{M_I \times \frac{W_{Cs}}{W_I} \times F_{CsI}(T) + (M_{Cs} - M_I \times \frac{W_{Cs}}{W_I}) \times F_{CsOH}(T)}{M_{Cs}} \\ &= F_{CsOH}(T) + \frac{M_I}{M_{Cs}} \times \frac{W_{Cs}}{W_I} \times (F_{CsI}(T) - F_{CsOH}(T)) \end{aligned}$$

参考 3 M A A P 解析結果及びN U R E G -1465 の放出割合について

被ばく評価への寄与が大きい核種に対するM A A P 解析結果及びN U R E G -1465 の放出割合を第 7-8 表に示す。第 7-8 表のとおり，C s 及び I についてはM A A P 解析結果の方が大きい。また，希ガスについては，N U R E G -1465 の放出割合の方が大きい，これは東海第二の想定事故シナリオでは，原子炉注水により炉心が再冠水することで炉心内に健全な状態の燃料が一部存在するためと考える。

第 7-8 表 M A A P 解析結果及びN U R E G -1465 の放出割合

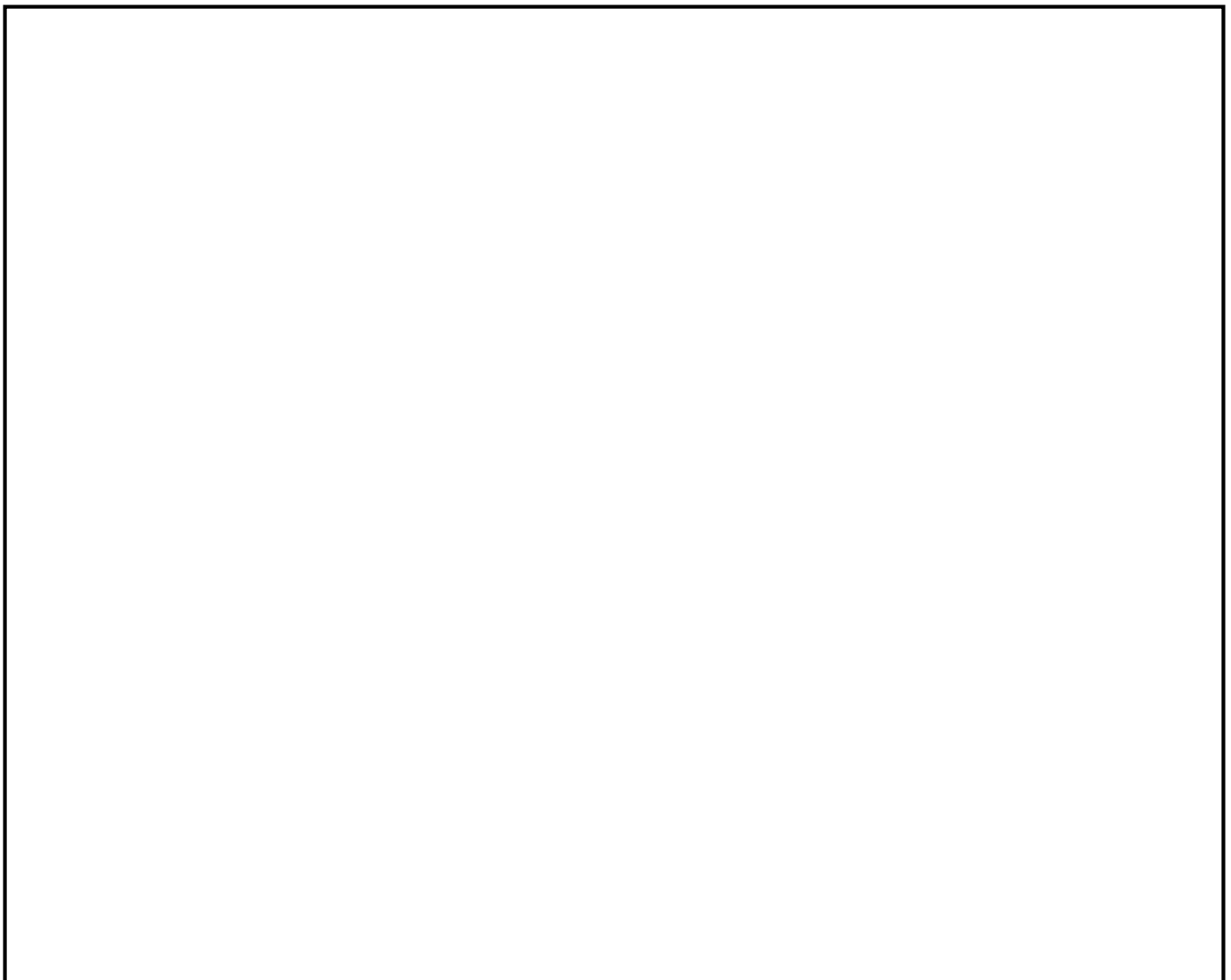
	M A A P	N U R E G -1465※
希ガス	0.95	1
I	0.78	0.30
C s	0.37	0.25

※ N U R E G -1465 の Table3.12 「Gap Release」及び「Early In-Vessel」の値の和

(N U R E G -1465 では，「Gap Release」，「Early In-Vessel」，「Ex-Vessel」及び「Late In-Vessel」の各事象進展フェーズに対して格納容器内への放出割合を与えている。本評価事象は原子炉圧力容器が健全な状態で事故収束するため，原子炉圧力容器損傷前までの炉心からの放出を想定する「Gap Release」及び「Early In-Vessel」の値を用いる。)

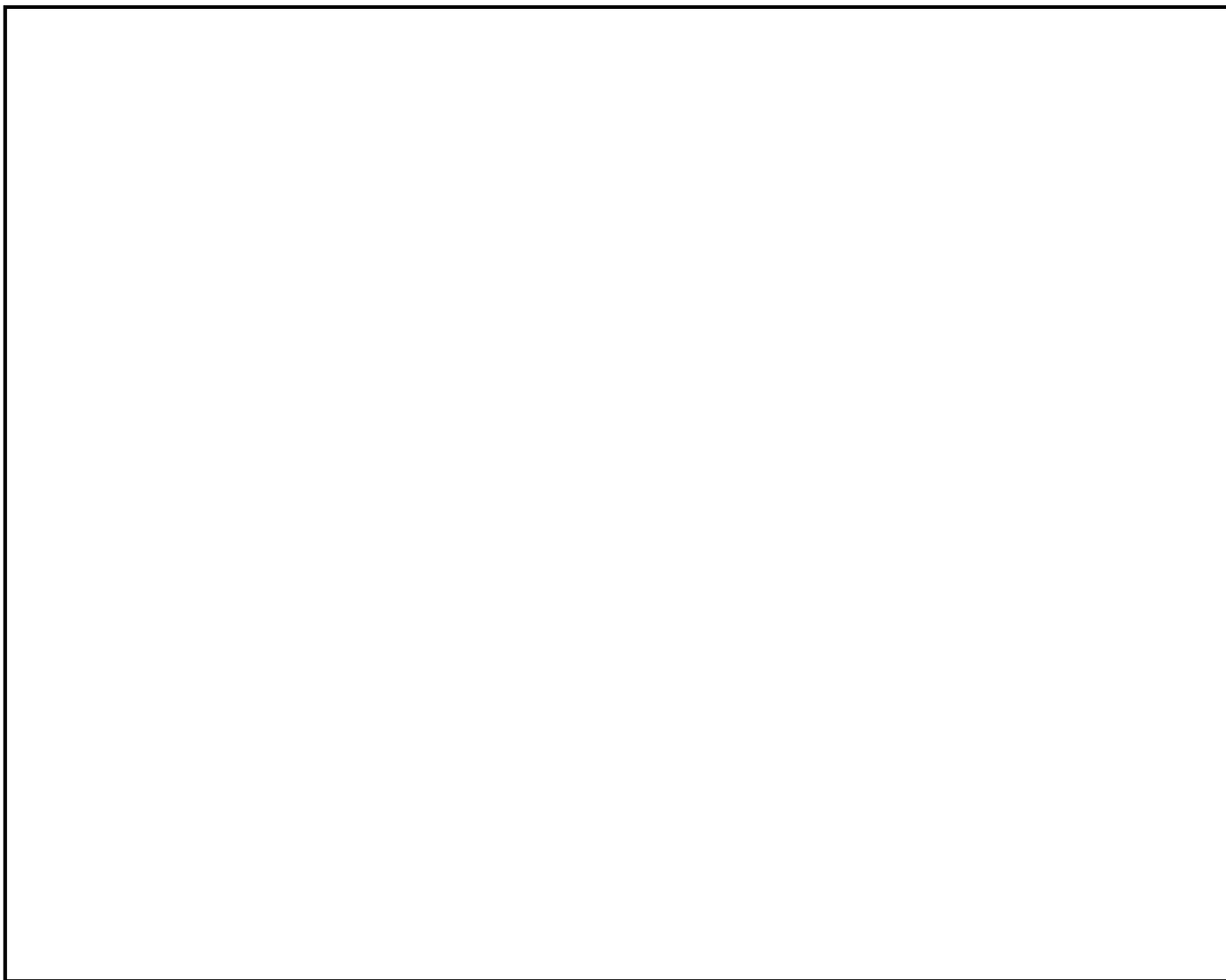
8 炉心の著しい損傷が発生した場合の居住性評価（被ばく評価）に用いる大気
拡散の評価について

中央制御室の居住性評価で用いる相対濃度及び相対線量は、実効放出継続時間を基に計算した値を年間について小さい値から順に並べて整理し、累積出現頻度 97% に当たる値としている。評価対象方位を第 8-1 図から第 8-4 図に、各評価点における相対濃度及び相対線量の評価結果を第 8-1 表に示す。



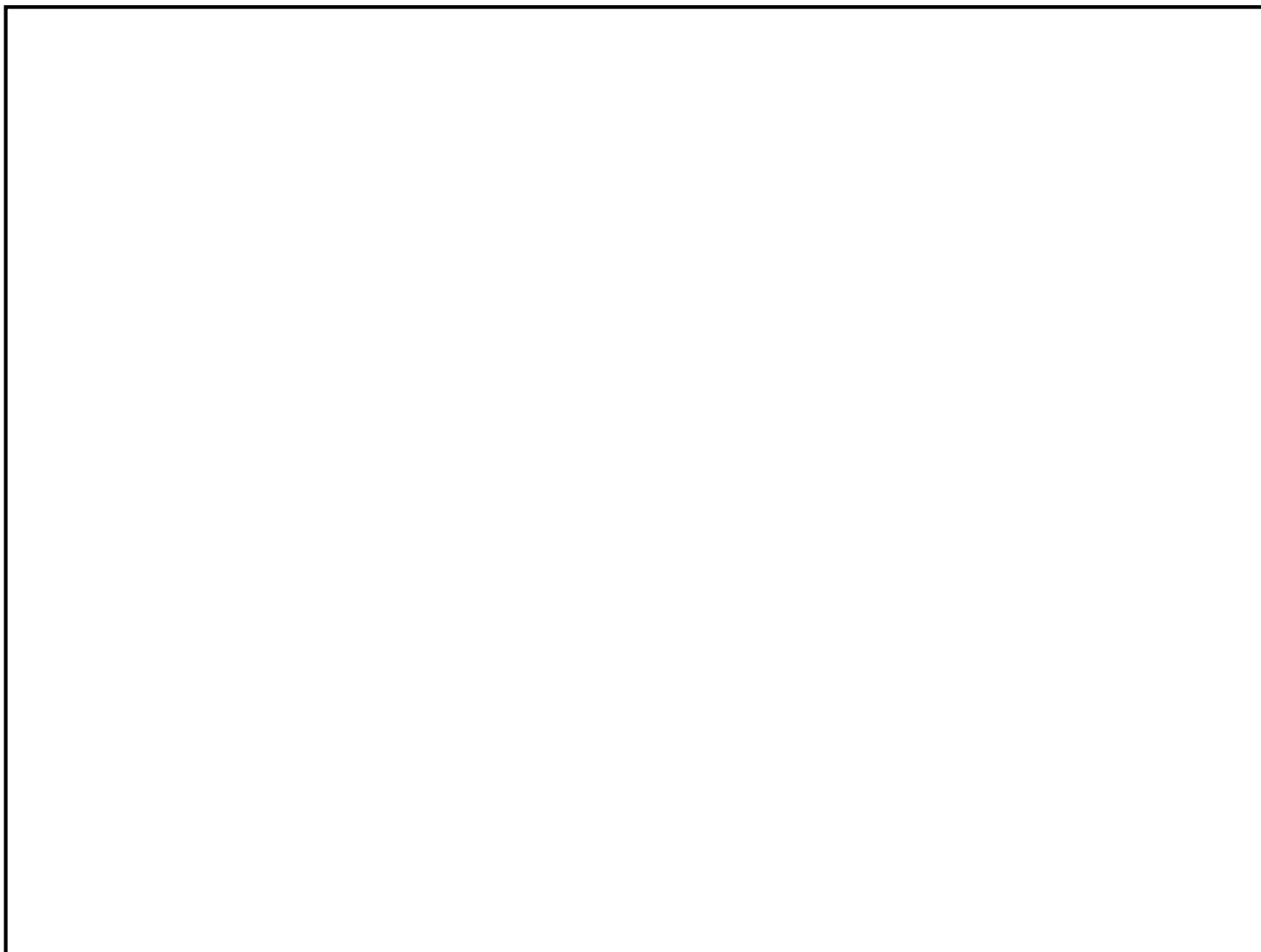
第 8-1 図 中央制御室滞在時の評価対象方位（風向）

（放出源：格納容器圧力逃がし装置排気口，評価点：中央制御室中心）



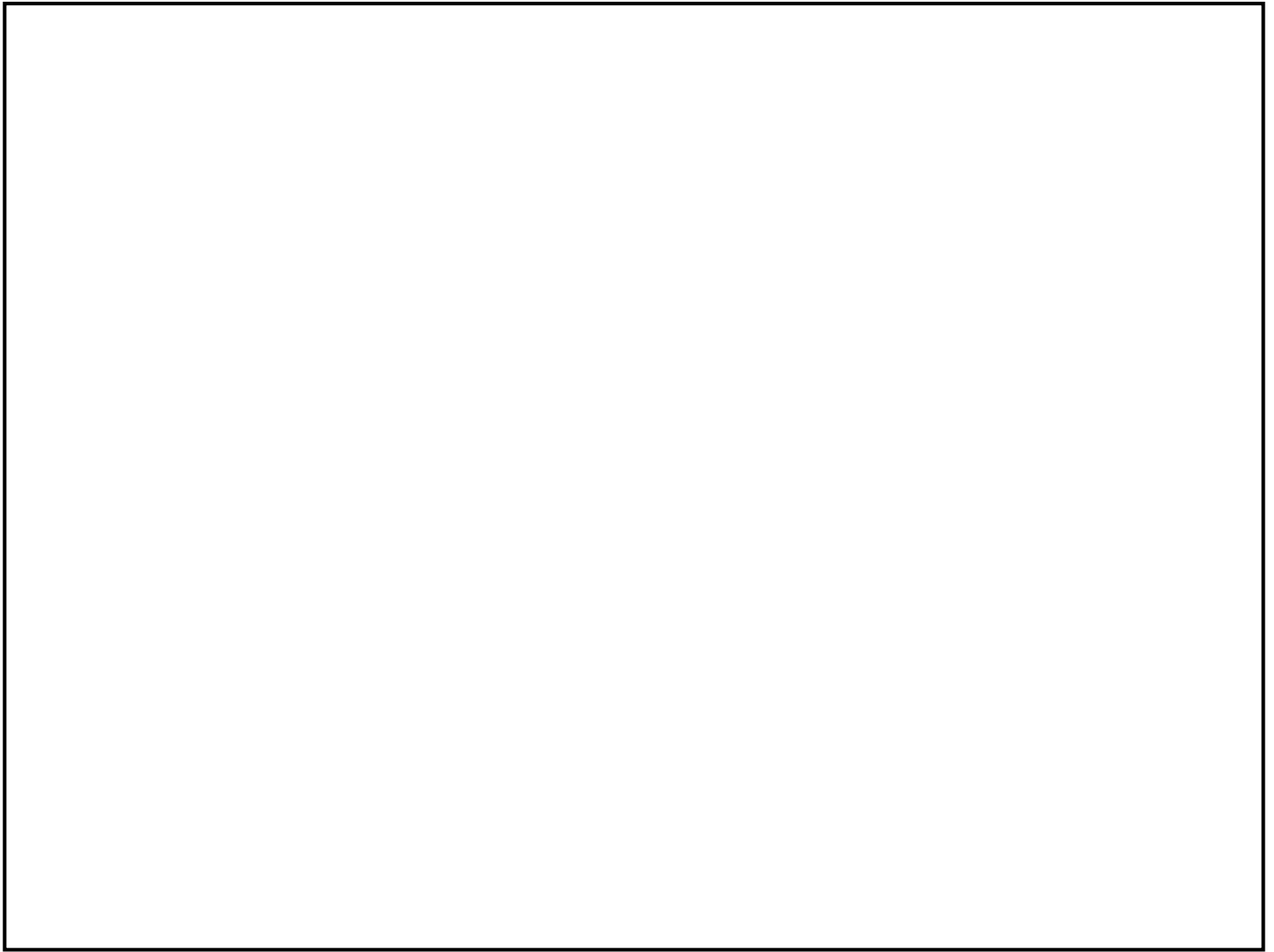
第 8-2 図 入退域時の評価対象方位（風向）

（放出源：格納容器圧力逃がし装置排気口，評価点：建屋出入口）



第 8-3 図 中央制御室滞在時の評価対象方位（風向）

（放出源：原子炉建屋側壁，評価点：中央制御室中心）



第 8-4 図 入退域時の評価対象方位（風向）

（放出源：原子炉建屋側壁，評価点：建屋出入口）

第 8-1 表 各評価点における相対濃度及び相対線量の評価結果

評価対象		評価点 (放出源からの距離)	着目方位	相対濃度 (χ/Q) (s/m^3)	相対線量 (D/Q) (Gy/Bq)
格納容器 圧力逃が し装置出 口配管	室内 作業時	中央制御室中心 (55m)	SW, WSW, W, WNW, NW, NNW, N, NNE, NE (9 方位)	3.7×10^{-4}	8.8×10^{-19}
	入退域時	建屋出入口 (45m)	SSW, SW, WSW, W, WNW, NW, NNW, N, NNE (9 方位)	3.7×10^{-4}	9.4×10^{-19}
建屋放出 (原子炉 建屋側壁)	室内 作業時	中央制御室中心 (10m)	S, SSW, SW, WSW, W, WNW, NW, NNW, N (9 方位)	8.3×10^{-4}	2.9×10^{-18}
	入退域時	建屋出入口 (15m)	S, SSW, SW, WSW, W, WNW, NW, NNW, N (9 方位)	8.2×10^{-4}	2.9×10^{-18}
非 常 用 ガ ス 処 理 系 出口放出	室内 作業時	中央制御室中心 (100m)	W (1 方位)	3.0×10^{-6}	8.8×10^{-20}
	入退域時	建屋出入口 (110m)	W (1 方位)	3.0×10^{-6}	9.0×10^{-20}

相対濃度及び相対線量の評価に当たっては、年間を通じて 1 時間ごとの気象条件に対して相対濃度及び相対線量を算出し、小さい値から順に並べて整理した。評価結果を第 8-2 表に示す。

第 8-2 表 相対濃度及び相対線量の値 (1/3)

(格納容器圧力逃がし装置放出)

	相対濃度		相対線量	
	累積出現頻度 (%)	値 (s/m ³)	累積出現頻度 (%)	値 (Gy/Bq)
室内 作業時
	96.990	約 3.7×10^{-4}	96.990	約 8.8×10^{-19}
	97.001	約 3.7×10^{-4}	97.001	約 8.8×10^{-19}
	97.013	約 3.7×10^{-4}	97.013	約 8.8×10^{-19}

入 退 域時
	96.990	約 3.7×10^{-4}	96.990	約 9.4×10^{-19}
	97.001	約 3.7×10^{-4}	97.001	約 9.4×10^{-19}
	97.013	約 3.7×10^{-4}	97.013	約 9.4×10^{-19}

第 8-2 表 相対濃度及び相対線量の値 (2/3)

(建屋放出)

	相対濃度		相対線量	
	累積出現頻度 (%)	値 (s/m ³)	累積出現頻度 (%)	値 (Gy/Bq)
室内 作業時
	96.990	約 8.3×10^{-4}	96.990	約 2.9×10^{-18}
	97.001	約 8.3×10^{-4}	97.001	約 2.9×10^{-18}
	97.013	約 8.3×10^{-4}	97.013	約 2.9×10^{-18}

入 退 域時
	96.990	約 8.2×10^{-4}	96.990	約 2.9×10^{-18}
	97.001	約 8.2×10^{-4}	97.001	約 2.9×10^{-18}
	97.013	約 8.2×10^{-4}	97.013	約 2.9×10^{-18}

第 8-2 表 相対濃度及び相対線量の値 (3/3)

(非常用ガス処理系出口放出)

	相対濃度		相対線量	
	累積出現頻度 (%)	値 (s/m ³)	累積出現頻度 (%)	値 (Gy/Bq)
室内 作業時
	96.990	約 3.0×10^{-6}	96.990	約 8.8×10^{-20}
	97.001	約 3.0×10^{-6}	97.001	約 8.8×10^{-20}
	97.013	約 3.0×10^{-6}	97.013	約 8.8×10^{-20}

入 退 域時
	96.990	約 3.0×10^{-6}	96.990	約 9.0×10^{-20}
	97.001	約 3.0×10^{-6}	97.001	約 9.0×10^{-20}
	97.013	約 3.0×10^{-6}	97.013	約 9.0×10^{-20}

9 フィルタの除去性能について

中央制御室の居住性評価に係る被ばく評価において、中央制御室換気空調系での放射性物質の除去を前提としているため、そのフィルタ性能に期待している。評価事故シナリオにおけるフィルタのよう素及び粒子状物質の捕集量を評価し、フィルタに捕集できる容量が確保されていることを確認している。以下に、評価方法及び評価結果を示す。

1. フィルタへの捕集量の評価条件

フィルタに捕集されるよう素及び粒子状物質の重量評価の条件を以下のとおり設定する。

- ① よう素重量の評価において、安定核種として I-127 及び I-129 を考慮する。
- ② 第 9-1 表に示す炉心内蔵量を評価に用いる。
- ③ よう素用チャコールフィルタの捕集量評価においては、よう素の化学組成を有機よう素 4%、無機よう素 96%とする。
- ④ 粒子用高効率フィルタの捕集量評価においては、よう素の全量が粒子状よう素として設定する。
- ⑤ 中央制御室換気空調系の再循環フィルタ（よう素用チャコールフィルタ及び粒子用高効率フィルタ）における捕集量評価については、大気放出量評価における格納容器圧力逃がし装置の除染係数は考慮しない。また、フィルタの除去効率は 100%として評価する。（第 9-1 図及び第 9-2 図参照）

第 9-1 表 炉心内蔵量（安定核種含む）

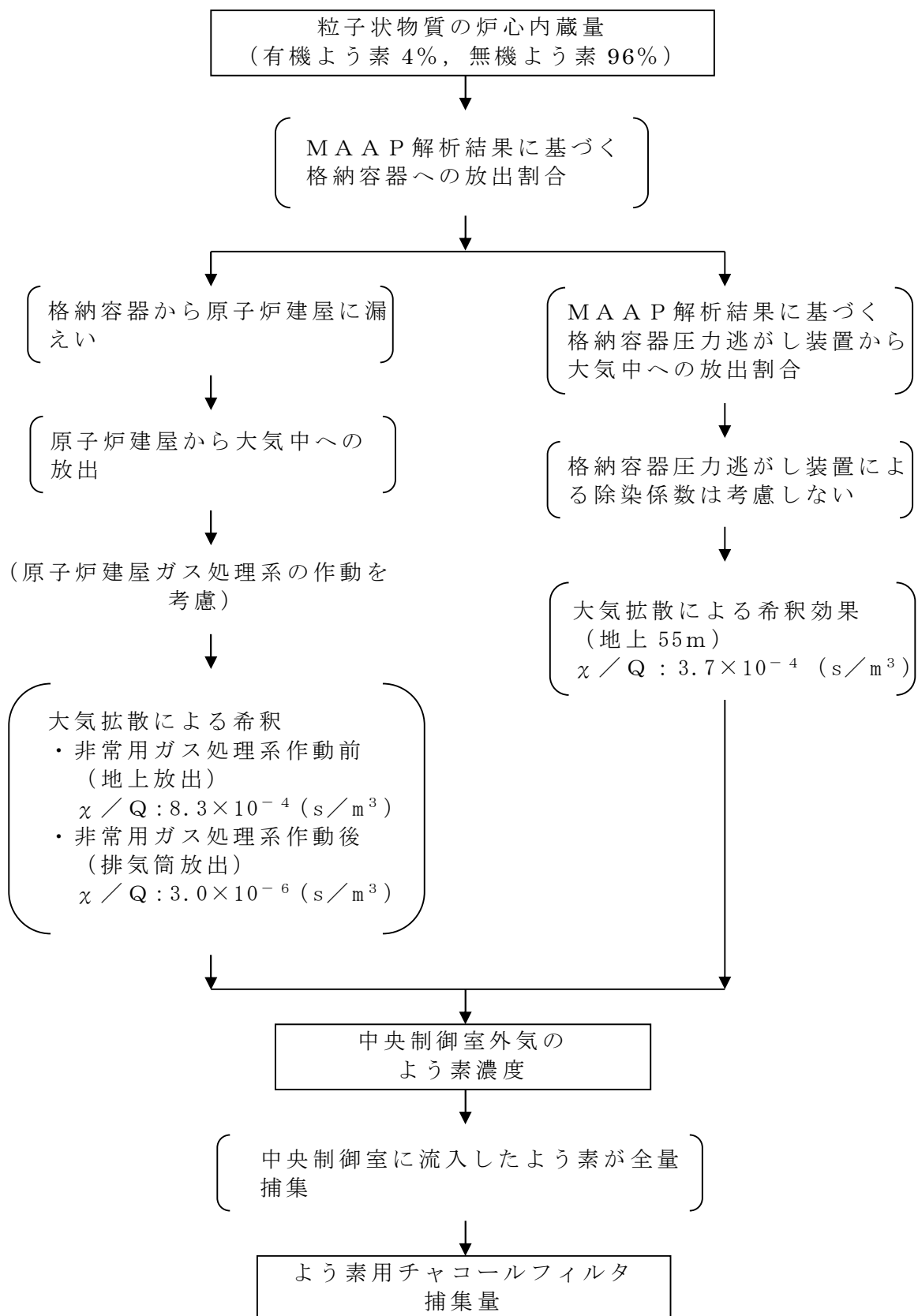
核種グループ	炉心内蔵量（kg）
よう素類	約 2.4×10^1
C s 類	約 1.5×10^2
S b 類	約 3.2×10^{-2}
T e 類	約 5.9×10^{-1}
S r 類	約 6.8×10^1
B a 類	約 2.2×10^0
R u 類	約 1.9×10^1
C e 類	約 8.0×10^2
L a 類	約 2.8×10^1
合計	約 1.1×10^3

2. フィルタへの捕集量の評価結果

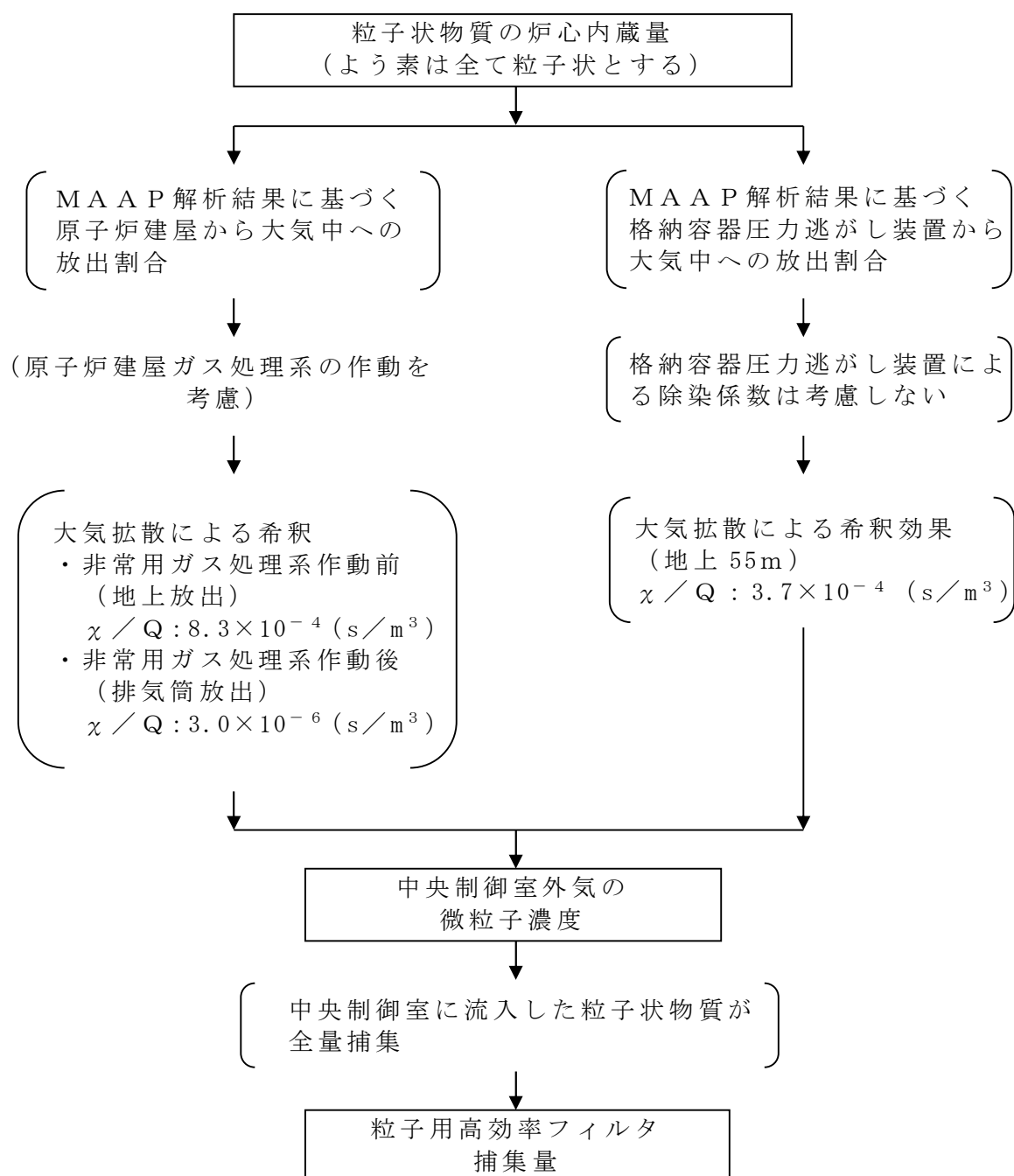
フィルタの捕集量評価結果は第 9-2 表のとおりであり，フィルタの保持容量を十分に下回る。

第 9-2 表 中央制御室換気空調系における
フィルタ保持容量と捕集量評価結果

フィルタの種類	保持容量 (g)	捕集量 (g)
よう素用チャコールフィルタ	約 500	1.4×10^{-1}
粒子用高効率フィルタ	約 2,000	7.5×10^{-4}



第 9-1 図 中央制御室換気空調系における
よう素用チャコールフィルタへの捕集量評価過程



第 9-2 図 中央制御室換気空調系における
粒子用高効率フィルタへの捕集量評価過程

10 中央制御室換気系フィルタ内放射性物質からの被ばくについて

中央制御室換気系フィルタの近傍には、中央制御室チェンジングエリアがあるため、フィルタ内に付着した放射性物質からのガンマ線に起因する運転員の身体汚染検査等に伴う被ばく線量を評価した。

1. 考慮する線源

格納容器ベント実施に伴い放出される放射性物質のうち希ガス類はフィルタ装置に取り込まれず、中央制御室換気系の微粒子フィルタ及びよう素フィルタ内には放射性物質が取り込まれる。

取り込まれる放射性物質のうち、炉心の著しい損傷が発生した場合の大気放出量は第 10-1 表のとおりであり、希ガス類及びよう素類の放出割合が大きい。したがって、よう素フィルタに取り込まれたよう素が支配的な線源となる。

上記のことから、よう素フィルタ内のよう素に起因するガンマ線による影響を評価した。

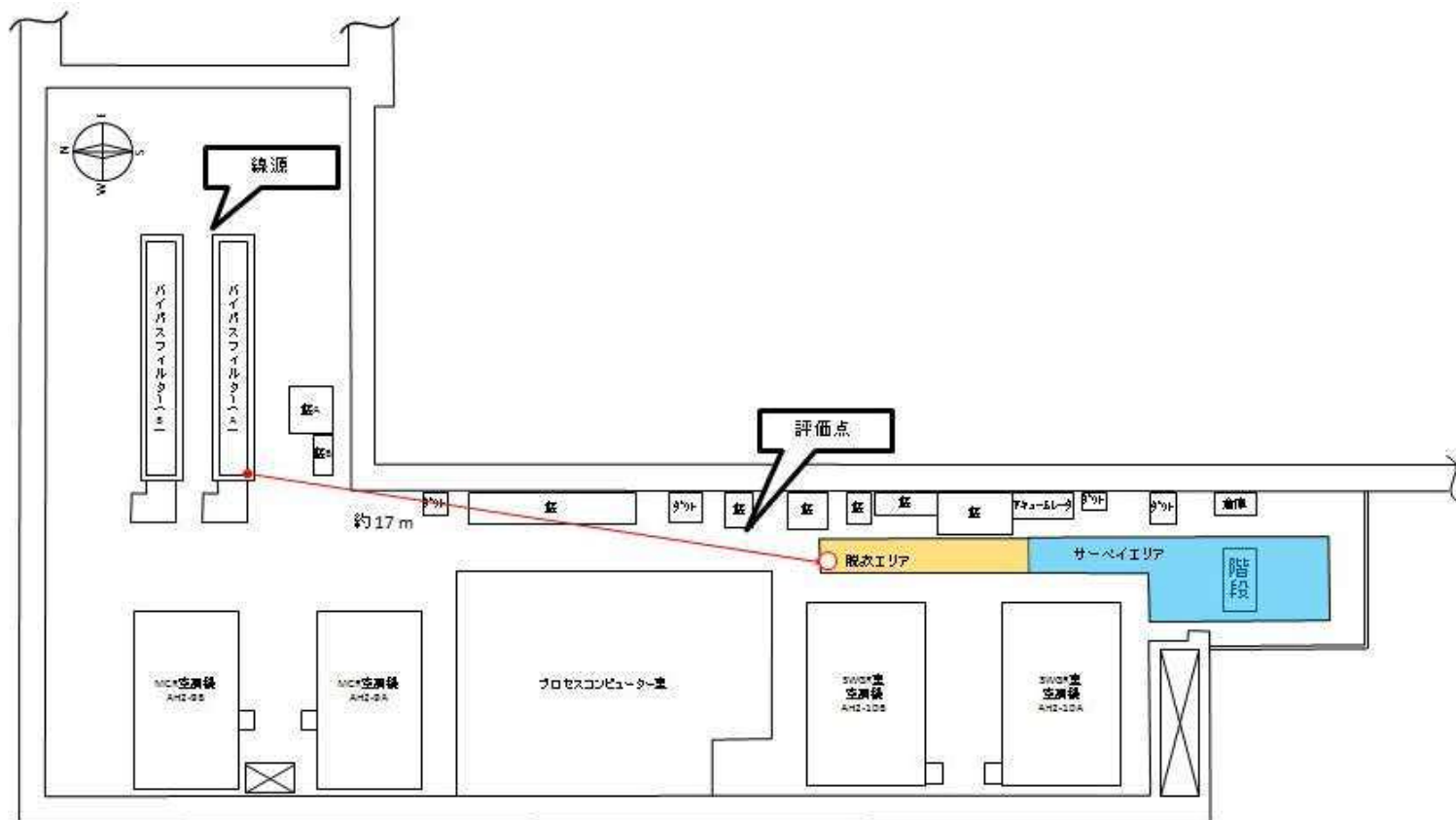
なお、よう素フィルタに流入するよう素は、その全量がフィルタ内に取り込まれるものとし、よう素はフィルタ内に一様に分布するものとした。

第 10-1 表 炉心の著しい損傷が発生した場合の大気放出量

	大気放出量 (Bq)
希ガス類	9.0×10^{18}
よう素類	1.0×10^{16}
CsOH類	3.8×10^{13}
Sb類	4.5×10^{12}
TeO ₂ 類	3.7×10^{13}
SrO類	2.0×10^{13}
BaO類	2.0×10^{13}
MoO ₂ 類	6.9×10^{12}
CeO ₂ 類	4.3×10^{12}
La ₂ O ₃ 類	1.2×10^{12}

2. 評価点

チェンジングエリアの中でよう素フィルタに最も近い点を評価点として選定した。線源と評価点との位置関係を第 10-1 図に示す。



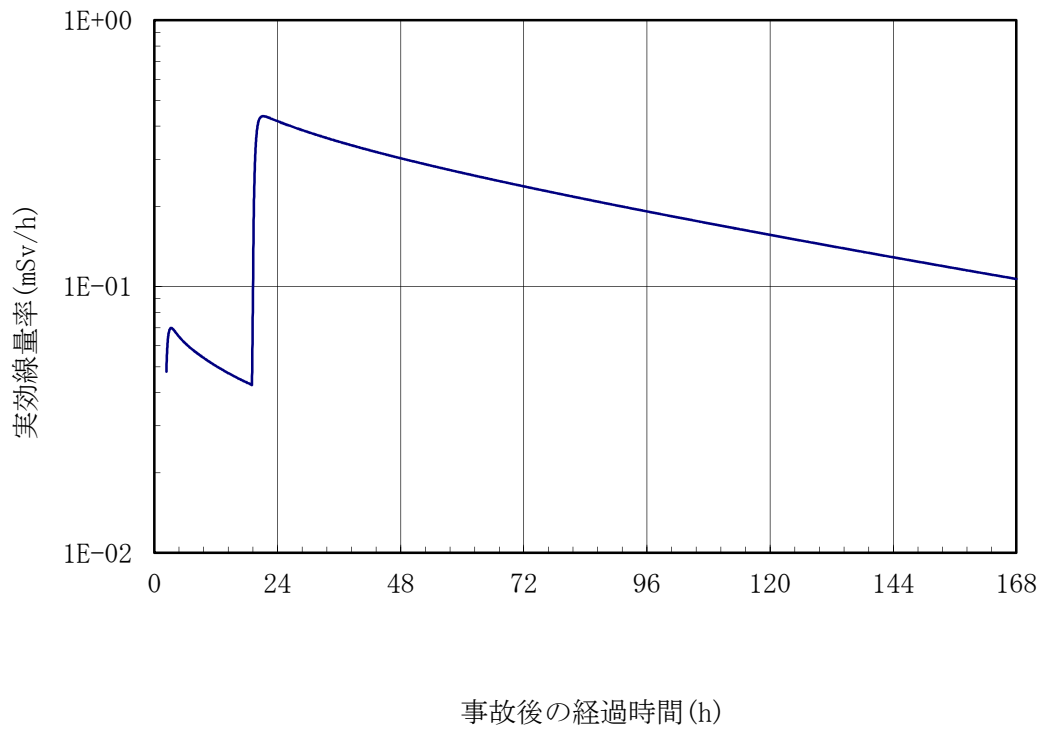
第 10-1 図 線源，チェレンジングエリア及び評価点の位置関係

3. 評価コード

評価コードは QAD-CGGP2R コードを用いた。

4. 評価結果

評価点における空間線量率の推移を第 10-2 図に示す。チェンジングエリア内の線量率は最大で約 0.4mSv/h である。



第 10-2 図 チェンジングエリアの空間線量率の推移

11 空気流入率試験結果について

「原子力発電所中央制御室の居住性に係る被ばく評価手法について（内規）（平成21・07・27 原院第1 号平成 21 年8 月12 日）」の別添資料「原子力発電所の中央制御室の空気流入率測定試験手法」に基づき，東海第二発電所中央制御室について平成27年2月に試験を実施した結果，空気流入率は最大で0.47 回／h（ ± 0.012 （95%信頼限界値））である。第11-1表に試験結果の詳細を示す。

第11-1表 東海第二発電所中央制御室空気流入率測定試験結果

項 目	内 容			
試験日程	平成27年2月24日～平成27年2月26日 (試験時のプラント状態：停止中)			
空気流入率測定 試験における 均一化の程度	系 統	トレーサガス濃度測定値の場所によるバラツキ ： (測定値－平均値) ／平均値 (%)		
	A系	－7.6～7.0%		
	B系	－5.7～8.1%		
試験手法	内規に定める空気流入率測定試験手法のうち 「基本的な試験手順」／「全サンプリング点による試験手順」にて実施			
適用条件	内 容		適用	備考
	トレーサガス濃度測定値のバラツキが 平均値の±10%以内か。		○	
	決定係数R ² が0.90以上であること。		—	均一化の目安を満足 している
	①中央制御室の空気流入率が、別区画 に比べて小さいこと。		—	均一化の目安を満足 している
	②特異点の除外が、1時点の全測定デ ータ個数の10%以内であること。		—	特異点の除外はない
	③中央制御室以外の空気流入率が大き い区画に、立入規制等の管理的措置 を各種マニュアル等に明記し、運転 員へ周知すること。		—	特定の区画を排除せ ず、全ての区画を包 含するリーク率で評 価している。
試験結果	系統	空気流入率 (±以下は95%信頼限界値)	決定係数R ²	
	A系	0.47 回/h (±0.012)	—	
	B系	0.44 回/h (±0.012)	—	
特記事項				

12 全面マスクによる防護係数について

炉心の著しい損傷が発生した場合の居住性に係る被ばく評価において、以下の検討を踏まえ、全面マスクの防護係数として 50 を使用している。

1. 厚生労働省労働基準局長通知について

「電離放射線障害防止規則の一部を改正する省令の施行等について」（基発第 0412 号 都道府県労働局長あて厚生労働省労働基準局長通知）（以下「基発第 0412 号」という。）によると「200 万ベクレル毎キログラムを超える事故由来廃棄物等を取り扱う作業であって、粉じん濃度が 10 ミリグラム毎立方メートルを超える場所における作業を取り扱う場合、内部被ばく線量を 1 年につき 1 ミリシーベルト以下とするため、漏れを考慮しても、50 以上の防護係数を期待できる捕収効率 99.9%以上の全面型防塵マスクの着用を義務付けたものであること」としている。

●以下、電離放射線障害防止規則（最終改正：平成 25 年 7 月 8 日）抜粋

第三十八条 事業者は、第二十八条の規定により明示した区域内の作業又は緊急作業その他の作業で、第三条第三項の厚生労働大臣が定める限度を超えて汚染された空気を吸入するおそれのあるものに労働者を従事させるときは、をの汚染の程度に応じて防じんマスク、防毒マスク、ホースマスク、酸素呼吸器等の有効な呼吸用保護具を備え、これらをその作業に従事する労働者に使用させなければならない。

●以下，基発第 0412 号（平成 25 年 4 月 12 日抜粋）

第 1 号 キ 保護衣（第 38 条関係）

① 第 1 項の「有効な呼吸用保護具」は，次に掲げる作業の区分及び事故由来廃棄物等の放射能濃度の区分に応じた捕収効率を持つ呼吸用保護具又はこれと同等以上のものをいうこと。

	放射能濃度 200 万 Bq/kg 超	放射能濃度 50 万 Bq/kg 超 200 万 Bq/kg 以下	放射能濃度 50 万 Bq/kg 以下
高濃度粉じん作業 （粉じん濃度 10mg /m ³ 超の場所にお ける作業）	捕収効率 99.9%以 上 （全面型）	捕収効率 95%以上	捕収効率 80%以上
高濃度粉じん作業 以外の作業 （粉じん濃度 10mg /m ³ 以下の場所 における作業）	捕収効率 95%以上	捕収効率 80%以上	捕収効率 80%以上

②防じんマスクの捕収効率については，200 万ベクレル毎キログラムの超える事故由来廃棄物を扱う作業であって，粉じん濃度が 10 ミリグラム毎立方メートルを超える場所における作業を行う場合，内部被ばく線量を 1 年につき 1 ミリシーベルト以下とするため，漏れを考慮しても，50 以上の防護係数を期待できる捕収効率 99.9%以上の全面型防塵マスクの着用を義務付けたものであること。

2. マスクメーカーによる除染係数検査結果について

全面マスクを納入しているマスクメーカーにおいて、全面マスク（よう素用吸収缶）についての除染係数を検査している。本検査は、放射性ヨウ化メチルを用い、除染係数を算出したものである。その結果は第 12-1 表に示すとおりであり、 $DF \geq 1.21 \times 10^3$ と十分な除染係数を有することを確認した。（フィルタの透過率は 0.083% 以下）

第 12-1 表 マスクメーカーによる除染係数検査結果

入口濃度 (Bq/cm ³)	4 時間後		10 時間後		試験条件
	出口濃度 (Bq/cm ³)	DF 値	出口濃度 (Bq/cm ³)	DF 値	
9.45×10^{-2}	4.17×10^{-7}	2.27×10^5	8.33×10^{-7}	1.13×10^5	試験流量：20L/min 通気温度：30℃ 相対湿度：95%RH
7.59×10^{-6}	6.25×10^{-8}	1.21×10^3	2.78×10^{-8}	2.73×10^3	

また、同じくマスクメーカーにより全面マスクの漏れ率を検査しており、最大でも 0.01% であった。この漏れ率と除染係数（フィルタ透過率）から計算される防護係数は約 1,075 であった。

3. 呼吸用保護具着用に関する教育・訓練について

東海第二発電所では、定期検査等において定期的に着用の機会があることから、基本的に呼吸用保護具着用に関して習熟している。

また、放射線業務従事者指定時及び定期的に、放射線防護に関する教育・訓練を実施している。講師による指導のもとフィッティングテスターを使用した呼吸用保護具着用訓練において、漏れ率（フィルタ透過率を含む）2% を担保できるよう正しく呼吸用保護具を着用できていることを確認する。

今後とも、さらに教育・訓練を進めていき、呼吸用保護具着用の熟練度を高めて行く。

13 運転員の勤務体系について

炉心の著しい損傷が発生した場合の中央制御室居住性評価における直交替の考慮は、実態の勤務形態（5 直 2 交替）に基づき設定した。被ばく評価においては、事故期間中に被ばくの影響が大きくなる期間に、勤務スケジュール上、最も長く滞在する場合を想定し評価を行った。また、班当たりの線量が高くなる場合には、被ばくの平準化のため日勤業務の班が交替するものとし評価を行った。

(1) 中央制御室居住性評価で想定する勤務形態

被ばく評価の勤務形態については、事故期間中に放出される放射性物質が多くなる格納容器ベント実施時及び換気系が停止している事故発生直後が被ばくの影響の大きくなることから、勤務スケジュール上、最も滞在時間が長くなる場合を想定し設定した。

想定する勤務体系は第 13-1 表に示すとおりである。また、事故発生直後に滞在している班（A 班）は、線量が高くなることから、被ばくの平準化のため、2 日目以降は、A 班の代わりに日勤業務の班（E 班）が滞在するものとし評価を行った。なお、入退域時の被ばく評価については、入退域（片道）に必要な時間を 15 分とし評価を行った。

第 13-1 表 想定する勤務体系

	中央制御室の滞在時間
1 直	8:00～21:45
2 直	21:30～8:15
日勤業務	—

	1 日目	2 日目	3 日目	4 日目	5 日目	6 日目	7 日目
A 班	1 直						
B 班			1 直	1 直		2 直	2 直
C 班	2 直				1 直	1 直	

D 班		2 直	2 直				1 直
E 班		1 直		2 直	2 直		

① 格納容器ベント実施時に滞在時間が最長となる場合

格納容器ベント実施時はベント放出による被ばくの影響が大きくなることから、ベント実施直前に交替し、ベント実施時に中央制御室の滞在時間が最長となる場合（E 班がベント実施時に滞在する場合）を想定し、以下の勤務スケジュールで評価を行った。

イベント	▽炉心損傷発生		▽格納容器ベント	
経過時間 (h)	0	18	19	
時刻	14:00	21:30	8:00	21:30
1 直	A 班		E 班	
2 直	C 班		D 班	

② 事故発生直後に滞在時間が最長となる場合

事故発生直後（事象発生から 2 時間）は換気系が停止していることから被ばくの影響が大きくなることから、事故発生時に交替し、事故発生直後に中央制御室の滞在時間が最長となる場合（A 班が事故発生直後に滞在する場合）を想定し、以下の勤務スケジュールで評価を行った。

イベント	▽炉心損傷発生		▽格納容器ベント	
経過時間 (h)	0	19		
時刻	8:00	21:30	3:00	8:00
1 直	A 班		E 班	
2 直	C 班		D 班	

(2) 中央制御室居住性評価に係る被ばく評価結果

(1) で想定した勤務スケジュールにおける被ばく評価結果について格納容器ベント実施時に滞在時間が最長となる場合を第 13-2 表及び第 13-3 表に、格納容器ベント実施時に滞在時間が最長となる場合を第 13-4 表及び第 13-5 表示す。この結果、最も被ばく線量が大きくなるのは、事故発生直後に滞在時間が最長となる場合の A 班であり、実効線量は約 60mSv となった。

第 13-2 表 格納容器ベント実施時に滞在時間が最長となる場合の

被ばく評価結果（マスクを考慮）

(mSv)

	1 日 目	2 日 目	3 日 目	4 日 目	5 日 目	6 日 目	7 日 目	合 計
A 班	約 5.9×10^1							約 5.9×10^1
B 班			約 1.3×10^1	約 9.9×10^0		約 5.7×10^0	約 4.8×10^0	約 3.4×10^1
C 班	約 2.2×10^1				約 7.9×10^0	約 6.5×10^0		約 3.7×10^1
D 班		約 1.5×10^1	約 1.1×10^1				約 7.8×10^0	約 3.4×10^1
E 班		4.4×10^1		約 8.5×10^0	約 6.9×10^0			約 6.0×10^1

第 13-3 表 格納容器ベント実施時に滞在時間が最長となる場合の最大の線量

となる班（E 班）の被ばく評価結果の内訳（マスクを考慮）

被ばく経路		実効線量 (mSv)
中央制御室内作業時	①建屋からのガンマ線による被ばく	約 4.5×10^{-1}
	②大気中へ放出された放射性物質のガンマ線による被ばく	約 1.4×10^1
	③室内に外気から取り込まれた放射性物質による被ばく	約 1.3×10^1
	(内訳) 内部被ばく	約 2.2×10^0
	外部被ばく	約 1.0×10^1
	②大気中へ放出され、地表面に沈着した放射性物質のガンマ線による被ばく	約 4.9×10^0
小 計 (①+②+③)		約 3.2×10^1
入退域時	④建屋からのガンマ線による被ばく	約 5.9×10^{-1}
	⑤大気中へ放出された放射性物質による被ばく	約 1.8×10^{-2}
	(内訳) 内部被ばく	約 4.6×10^{-3}
	外部被ばく	約 1.3×10^{-2}
	⑤大気中へ放出され、地表面に沈着した放射性物質のガンマ線による被ばく	約 2.7×10^1
小 計 (④+⑤)		約 2.7×10^1
合 計 (①+②+③+④+⑤)		約 6.00×10^1

第 13-4 表 事故発生直後に滞在時間が最長となる場合の

被ばく評価結果（マスクを考慮）

(mSv)

	1 日 目	2 日 目	3 日 目	4 日 目	5 日 目	6 日 目	7 日 目	合 計
A 班	約 6.0×10^1							約 6.0×10^1
B 班			約 1.2×10^1	約 9.3×10^0		約 5.5×10^0	約 2.7×10^0	約 3.0×10^1
C 班	約 4.0×10^1				約 7.5×10^0	約 6.2×10^0		約 5.4×10^1
D 班		約 1.4×10^1	約 1.0×10^1				約 5.2×10^0	約 2.9×10^1
E 班		約 2.4×10^1		約 8.0×10^0	約 6.6×10^0			約 3.9×10^1

第 13-5 表 事故発生直後に滞在時間が最長となる場合の最大の線量となる班

（A 班）の被ばく評価結果の内訳（マスクを考慮）

被ばく経路		実効線量 (mSv)
中央 制御 室内 作業 時	①建屋からのガンマ線による被ばく	約 7.8×10^{-1}
	②大気中へ放出された放射性物質のガンマ線による被ばく	約 9.6×10^{-1}
	③室内に外気から取り込まれた放射性物質による被ばく	約 4.6×10^1
	（内訳） 内部被ばく	約 4.0×10^1
	外部被ばく	約 5.3×10^0
	②大気中へ放出され、地表面に沈着した放射性物質のガンマ線による被ばく	約 4.7×10^0
小 計 （①+②+③）		約 5.2×10^1
入 退 域 時	④建屋からのガンマ線による被ばく	約 2.6×10^{-1}
	⑤大気中へ放出された放射性物質による被ばく	約 6.9×10^{-3}
	（内訳） 内部被ばく	約 1.3×10^{-3}
	外部被ばく	約 5.6×10^{-3}
	⑤大気中へ放出され、地表面に沈着した放射性物質のガンマ線による被ばく	約 8.0×10^0
小 計 （④+⑤）		約 8.3×10^0
合 計 （①+②+③+④+⑤）		約 6.04×10^1

14 グランドシャイン評価モデルについて

中央制御室の居住性に影響するグランドシャインの評価モデルを以下に示す。

(1) 線源領域

原子炉建屋周辺の地形を第 14-1 図に，中央制御室内の評価モデルを第 14-2 図に示す。線源領域は炉心の著しい損傷が発生した場合に大気中に放出された放射性物質が，中央制御室天井及び周辺建屋天井の上面に均一に沈着した面線源とし，評価点である中央制御室中心を囲む一辺 800m の正方形と設定した。また，線源範囲の設定は以下のように分けた。

- ・中央制御室天井より高い位置に存在する線源は中央制御室の天井レベル（EL23m）で代表させた。
- ・中央制御室天井より低い位置に存在する線源のレベルはサービス建屋天井レベル（EL22m）又は南側空調機械室レベル（EL18m）に代表させた。

入退域時の評価モデルを第 14-3 図に示す。原子炉建屋周辺の地形は平坦で約 100m 離れた場所に丘上の斜面がある。斜面は標高差 20m 程度のなだらかな形状であり，また原子炉建屋周辺の建屋によって遮蔽されるため地形による寄与は無視できると考えられる。そこで，地表線源からのグランドシャインの評価にあたっては，放射性物質が平坦な土壤に一様に沈着したものとし，線源領域は評価点を囲む一辺 800m の正方形と設定した。

(2) 遮蔽

グランドシャインによる影響の評価に当たって，遮蔽物は第 14-2 図に示す中央制御室遮蔽とし，中央制御室を囲む東西南北壁及び天井の躯体について各々

の最少厚さで代表した。また，コンクリートの種類は普通コンクリート（密度 2.23g/cm^3 ）とした。

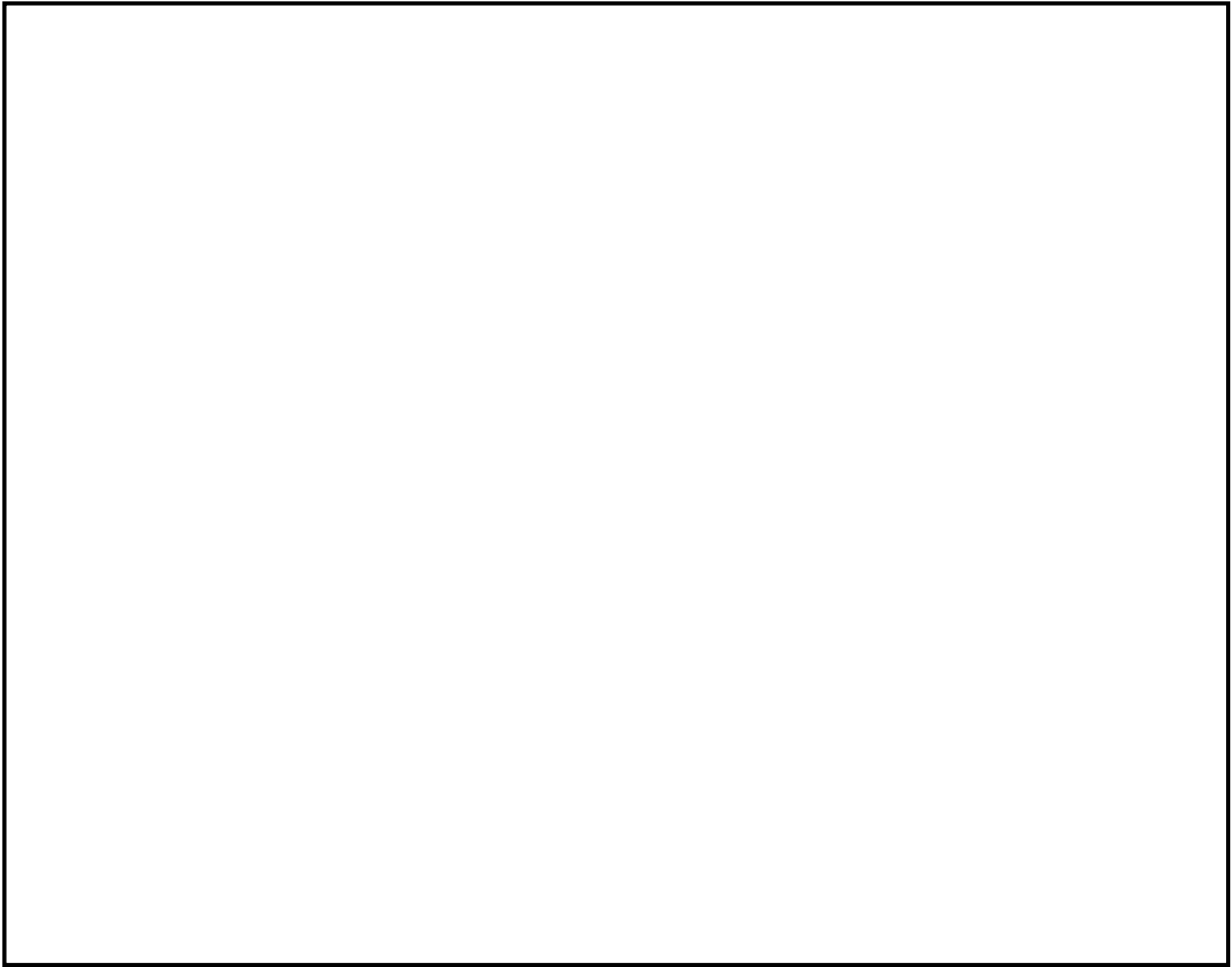
（３）評価点

中央制御室内の評価点は，線量が最大となる位置とした。評価点を第 14-2 図中に示す。

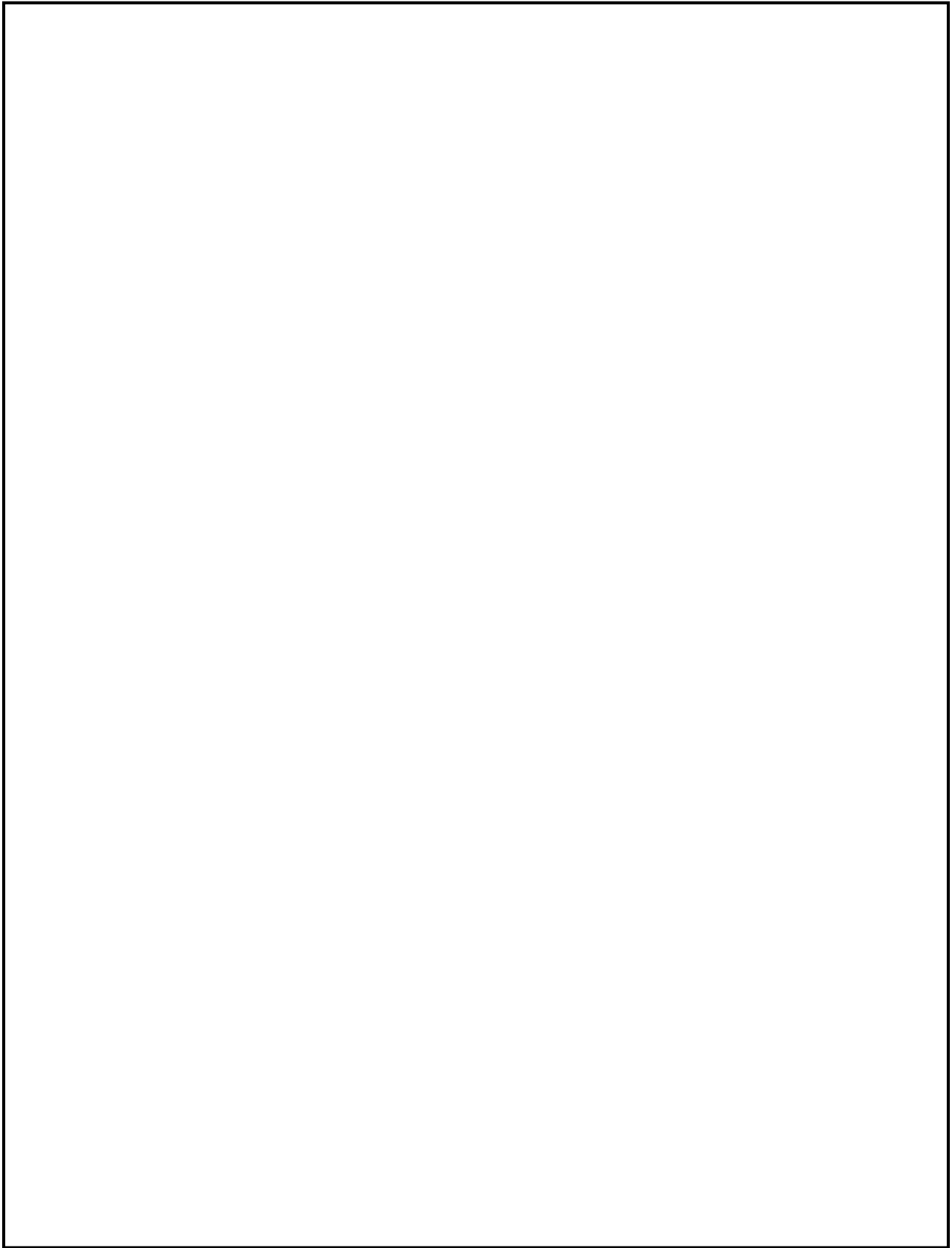
入退域時の評価点は，計算モデルの中心，地表面より高さ 1m の位置とした。評価点を第 14-3 図中に示す。

（４）評価コード

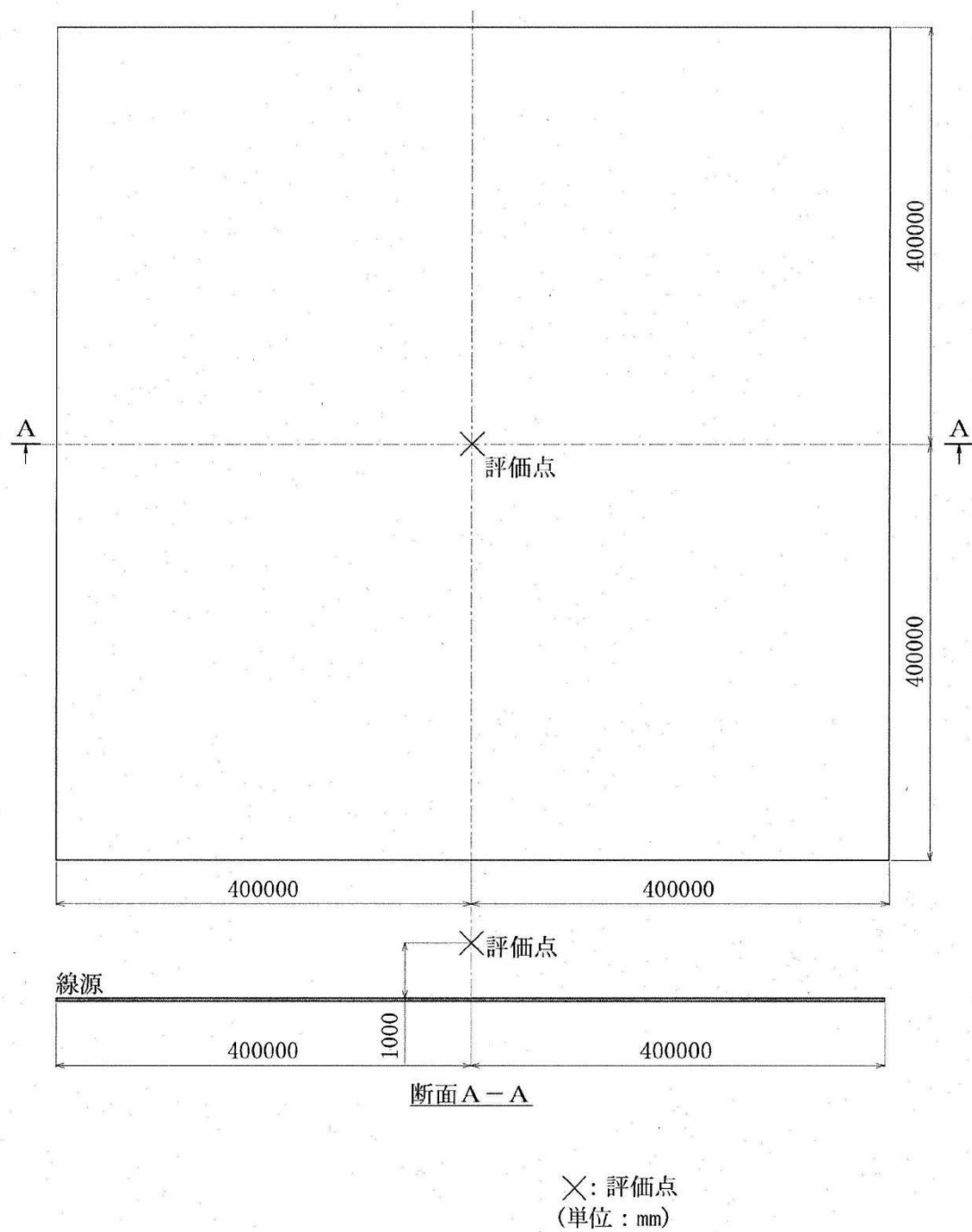
評価コードは Q A D - C G G P 2 R コードを用いた。



第 14-1 図 原子炉建屋周辺の地形（赤点線内は線源とした領域：1 辺 800m）



第 14-2 図 グランドシャインの評価モデル及び評価点



第 14-3 図 入退域時の評価モデル及び評価点

15 エアロゾルの乾性沈着速度について

中央制御室の線量影響評価では、地表面への放射性物質の沈着速度として乾性沈着及び降水による湿性沈着を考慮した沈着速度（ 1.2cm/s ，添付 16 参照）を用いており，沈着速度の評価に当たっては，乾性沈着速度として 0.3cm/s を用いている。以下に，乾性沈着速度の設定の考え方を示す。

エアロゾルの乾性沈着速度は，NUREG/CR-4551^{*1}に基づき 0.3cm/s と設定した。NUREG/CR-4551 では郊外を対象としており，郊外とは道路，芝生及び木々で構成されとしている。原子力発電所内も同様の構成であるため，この沈着速度が適用できると考えられる。また，NUREG/CR-4551 では $0.5\mu\text{m}\sim 5\mu\text{m}$ の粒径に対して検討されているが，格納容器内の除去過程で，相対的に粒子径の大きなエアロゾルは格納容器内に十分捕集されるため，粒径の大きなエアロゾルの放出はされにくいと考えられる。

また，W. G. N. Slinn の検討^{*2}によると，草や水，小石といった様々な材質に対する粒径に応じた乾性の沈着速度を整理しており，これによると $0.1\mu\text{m}\sim 5\mu\text{m}$ の粒径では沈着速度は 0.3cm/s 程度（第 15-1 図）である。以上のことから，現場作業の線量影響評価におけるエアロゾルの乾性の沈着速度として 0.3cm/s を適用できると判断した。

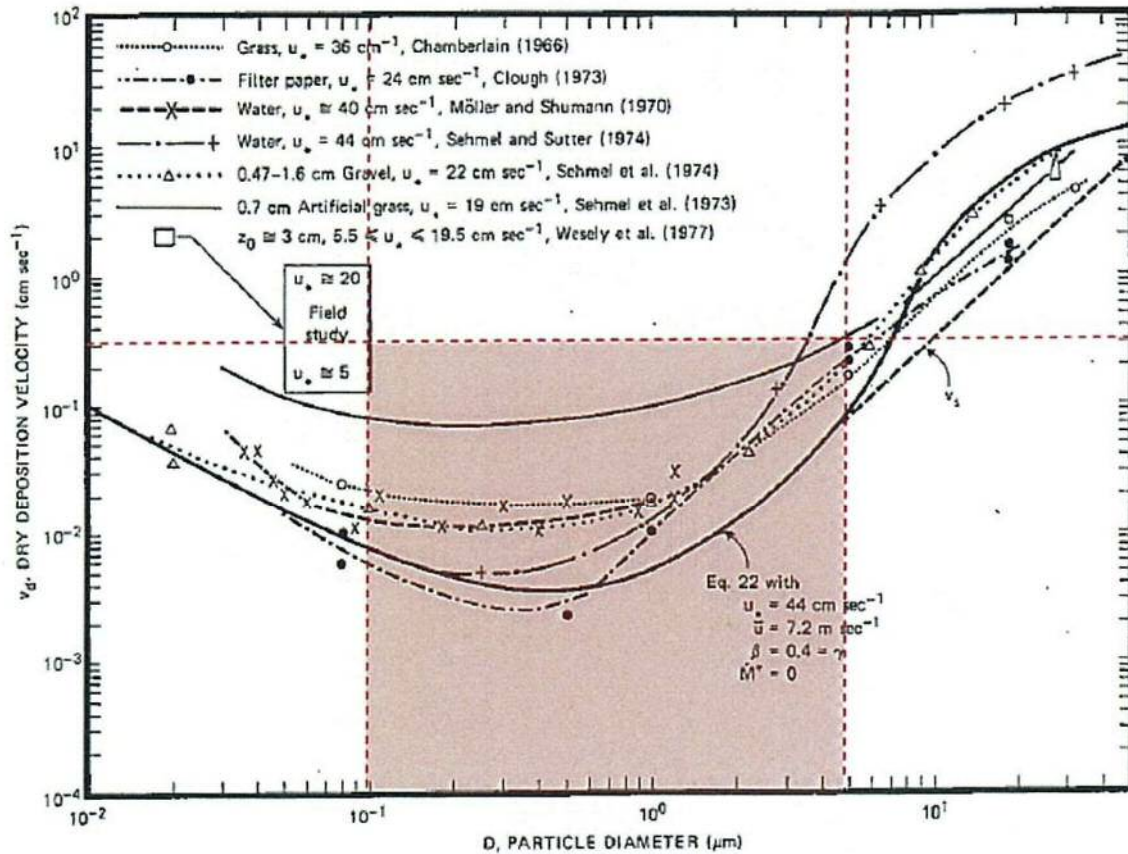


Fig. 4 Dry deposition velocity as a function of particle size. Data were obtained from a number of publications.¹⁹⁻²⁴ The theoretical curve appropriate for a smooth surface is shown for comparison. Note that the theoretical curve is strongly dependent on the value for u_* and that Eq. 22 does not contain a parameterization for surface roughness. For a preliminary study of the effect of surface roughness and other factors, see Ref. 5.

第 15-1 図 様々な粒径における地表沈着速度 (Nuclear Safety Vol.19^{※2})

- ※1 J.L. Sprung 等 : Evaluation of severe accident risk : quantification of major input parameters, NUREG/CR-4451 Vol.2 Rev.1 Part 7, 1990
- ※2 W.G.N. Slinn : Environmental Effects, Parameterizations for Resuspension and for Wet and Dry Deposition of Particles and Gases for Use in Radiation Dose. Calculations, Nuclear Safety Vol.19 No.2, 1978

(参考) シビアアクシデント時のエアロゾルの粒径について

シビアアクシデント時に格納容器内で発生する放射性物質を含むエアロゾル粒径分布として「 $0.1\mu\text{m}\sim 5\mu\text{m}$ 」の範囲であることは、粒径分布に関して実施されている研究を基に設定している。

シビアアクシデント時には格納容器内にスプレー等による注水が実施されることから、シビアアクシデント時の粒径分布を想定し、「格納容器内でのエアロゾルの挙動」及び「格納容器内の水の存在の考慮」といった観点で実施された第 15-1 表の②，⑤に示す試験等を調査した。さらに、シビアアクシデント時のエアロゾルの粒径に対する共通的な知見とされている情報を得るために、海外の規制機関（NRC 等）や各国の合同で実施されているシビアアクシデント時のエアロゾルの挙動の試験等（第 15-1 表の①，③，④）を調査した。以上の調査結果を第 15-1 表に示す。

この表で整理した試験等は、想定するエアロゾル発生源、挙動範囲（格納容器、原子炉冷却材配管等）、水の存在等に違いがあるが、エアロゾル粒径の範囲に大きな違いはなく、格納容器内環境でのエアロゾル粒径はこれらのエアロゾル粒径と同等な分布範囲を持つものと推定できる。

したがって、過去の種々の調査・研究により示されている範囲をカバーする値として、 $0.1\mu\text{m}\sim 5\mu\text{m}$ のエアロゾルを想定することは妥当である。

第 15-1 表 シビアアクシデント時のエアロゾル粒径についての文献調査結果

番号	試験名又は 報告書名等	エアロゾル粒径 (μm)	備 考
①	LACE LA2※ ¹	約0.5～5 (第15-2図参照)	シビアアクシデント時の評価に使用 されるコードでの格納容器閉じ込め 機能喪失を想定した条件とした比較 試験
②	NUREG/CR-5901 ※ 2	0.25～2.5 (参考1-1)	格納容器内に水が存在し、溶融炉心を 覆っている場合のスクラビング効果 のモデル化を紹介したレポート
③	AECLが実施した 試験※ ³	0.1～3.0 (参考1-2)	シビアアクシデント時の炉心損傷を 考慮した1次系内のエアロゾル挙動に 着目した実験
④	PBF-SFD※ ³	0.29～0.56 (参考1-2)	シビアアクシデント時の炉心損傷を 考慮した1次系内のエアロゾル挙動に 着目した実験
⑤	PHEBUS-FP※ ³	0.5～0.65 (参考1-2)	シビアアクシデント時のFP挙動の実 験(左記のエアロゾル粒径はPHEBUS FP 実験の格納容器内のエアロゾル挙動 に着目した実験の結果)

- ※¹ J. H. Wilson and P. C. Arwood, Summary of Pretest Aerosol Code Calculations for LWR Aerosol Containment Experiments (LACE) LA2, ORNL A. L. Wright, J. H. Wilson and P. C. Arwood, PRETEST AEROSOL CODE COMPARISONS FOR LWR AEROSOL CONTAINMENT TESTS LA1 AND LA2
- ※² D. A. Powers and J. L. Sprung, NUREG/CR-5901, A Simplified Model of Aerosol Scrubbing by a Water Pool Overlying Core Debris Interacting With Concrete
- ※³ STATE-OF-THE-ART REPORT ON NUCLEAR AEROSOLS, NEA/CSNI/R (2009)

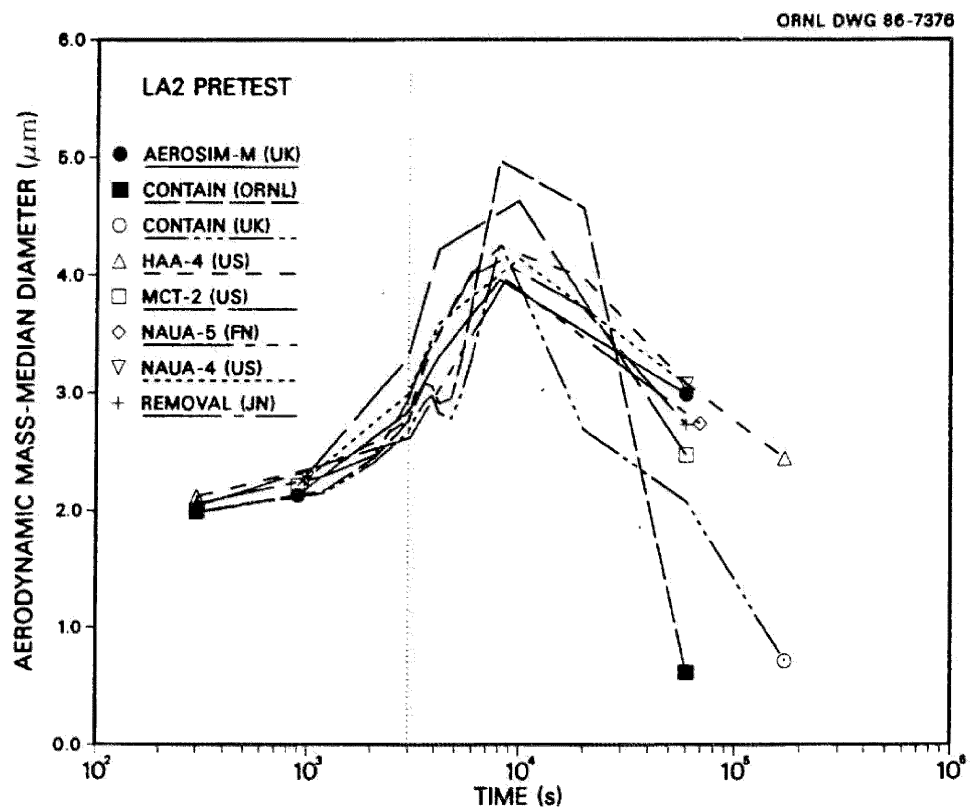


Fig. 11. LA2 pretest calculations — aerodynamic mass median diameter vs time.

第15-2図 LA2でのコード比較試験で得られたエアロゾル粒径の時間変化
グラフ

so-called "quench" temperature. At temperatures below this quench temperature the kinetics of gas phase reactions among CO, CO₂, H₂, and H₂O are too slow to maintain chemical equilibrium on useful time scales. In the sharp temperature drop created by the water pool, very hot gases produced by the core debris are suddenly cooled to temperatures such that the gas composition is effectively "frozen" at the equilibrium composition for the "quench" temperature. Experimental evidence suggest that the "quench" temperature is 1300 to 1000 K. The value of the quench temperature was assumed to be uniformly distributed over this temperature range for the calculations done here.

(6) Solute Mass. The mass of solutes in water pools overlying core debris attacking concrete has not been examined carefully in the experiments done to date. It is assumed here that the logarithm of the solute mass is uniformly distributed over the range of $\ln(0.05 \text{ g/kilogram H}_2\text{O}) = -3.00$ to $\ln(100 \text{ g/kilogram H}_2\text{O}) = 4.61$.

(7) Volume Fraction Suspended Solids. The volume fraction of suspended solids in the water pool will increase with time. Depending on the available facilities for replenishing the water, this volume fraction could become quite large. Models available for this study are, however, limited to volume fractions of 0.1. Consequently, the volume fraction of suspended solids is taken to be uniformly distributed over the range of 0 to 0.1.

(8) Density of Suspended Solids. Among the materials that are expected to make up the suspended solids are Ca(OH)₂ ($\rho = 2.2 \text{ g/cm}^3$) or SiO₂ ($\rho = 2.2 \text{ g/cm}^3$) from the concrete and UO₂ ($\rho = 10 \text{ g/cm}^3$) or ZrO₂ ($\rho = 5.9 \text{ g/cm}^3$) from the core debris or any of a variety of aerosol materials. It is assumed here that the material density of the suspended solids is uniformly distributed over the range of 2 to 6 g/cm³. The upper limit is chosen based on the assumption that suspended UO₂ will hydrate, thus reducing its effective density. Otherwise, gas sparging will not keep such a dense material suspended.

(9) Surface Tension of Water. The surface tension of the water can be increased or decreased by dissolved materials. The magnitude of the change is taken here to be $S\sigma(w)$ where S is the weight fraction of dissolved solids. The sign of the change is taken to be minus or plus depending on whether a random variable ϵ is less than 0.5 or greater than or equal to 0.5. Thus, the surface tension of the liquid is:

$$\sigma_1 = \begin{cases} \sigma(w) (1-S) & \text{for } \epsilon < 0.5 \\ \sigma(w) (1+S) & \text{for } \epsilon \geq 0.5 \end{cases}$$

where $\sigma(w)$ is the surface tension of pure water.

(10) Mean Aerosol Particle Size. The mass mean particle size for aerosols produced during melt/concrete interactions is known only for situations in which no water is present. There is reason to believe smaller particles will be produced if a water pool is present. Examination of aerosols produced during melt/concrete interactions shows that the primary particles are about 0.1 μm in diameter. Even with a water pool present, smaller particles would not be expected.

Consequently, the natural logarithm of the mean particle size is taken here to be uniformly distributed over the range from $\ln(0.25 \mu\text{m}) = -1.39$ to $\ln(2.5 \mu\text{m}) = 0.92$.

(11) Geometric Standard Deviation of the Particle Size Distribution. The aerosols produced during core debris-concrete interactions are assumed to have lognormal size distributions. Experimentally determined geometric standard deviations for the distributions in cases with no water present vary between 1.6 and 3.2. An argument can be made that the geometric standard deviation is positively correlated with the mean size of the aerosol. Proof of this correlation is difficult to marshal because of the sparse data base. It can also be argued that smaller geometric standard deviations will be produced in situations with water present. It is unlikely that data will ever be available to demonstrate this contention. The geometric standard deviation of the size distribution is assumed to be uniformly distributed over the range of 1.6 to 3.2. Any correlation of the geometric standard deviation with the mean size of the aerosol is neglected.

(12) Aerosol Material Density. Early in the course of core debris interactions with concrete, UO_2 with a solid density of around 10 g/cm^3 is the predominant aerosol material. As the interaction progresses, oxides of iron, manganese and chromium with densities of about 5.5 g/cm^3 and condensed products of concrete decomposition such as Na_2O , K_2O , Al_2O_3 , SiO_2 , and CaO with densities of 1.3 to 4 g/cm^3 become the dominant aerosol species. Condensation and reaction of water with the species may alter the apparent material densities. Coagglomeration of aerosolized materials also complicates the prediction of the densities of materials that make up the aerosol. As a result the material density of the aerosol is considered uncertain. The material density used in the calculation of aerosol trapping is taken to be an uncertain parameter uniformly distributed over the range of 1.5 to 10.0 g/cm^3 .

Note that the mean aerosol particle size predicted by the VANESA code [6] is correlated with the particle material density to the $-1/3$ power. This correlation of aerosol particle size with particle material density was taken to be too weak and insufficiently supported by experimental evidence to be considered in the uncertainty analyses done here.

(13) Initial Bubble Size. The initial bubble size is calculated from the Davidson-Schular equation:

$$D_b = \epsilon \left(\frac{6}{\pi} \right)^{1/3} \frac{V_s^{0.4}}{g^{0.2}} \text{ cm}$$

where ϵ is assumed to be uniformly distributed over the range of 1 to 1.54. The minimum bubble size is limited by the Fritz formula to be:

$$D_b = 0.0105 \Psi[\sigma_t / g(\rho_l - \rho_g)]^{1/2}$$

where the contact angle is assumed to be uniformly distributed over the range of 20 to 120° . The maximum bubble size is limited by the Taylor instability model to be:

参考1-2 STATE-OF-THE-ART REPORT ON NUCLEAR AEROSOLS,
NEA/CSNI/R(2009)5の抜粋及び試験の概要

9.2.1 Aerosols in the RCS

9.2.1.1 AECL

The experimenters conclude that spherical particles of around 0.1 to 0.3 μm formed (though their composition was not established) then these agglomerated giving rise to a mixture of compact particles between 0.1 and 3.0 μm in size at the point of measurement. The composition of the particles was found to be dominated by Cs, Sn and U: while the Cs and Sn mass contributions remained constant and very similar in mass, U was relatively minor in the first hour at 1860 K evolving to be the main contributor in the third (very approximately: 42 % U, 26 % Sn, 33 % Cs). Neither break down of composition by particle size nor statistical size information was measured.

9.2.1.2 PBF-SFD

Further interesting measurements for purposes here were six isokinetic, sequential, filtered samples located about 13 m from the bundle outlet. These were used to follow the evolution of the aerosol composition and to examine particle size (SEM). Based on these analyses the authors state that particle geometrical-mean diameter varied over the range 0.29-0.56 μm (elimination of the first filter due to it being early with respect to the main transient gives the range 0.32-0.56 μm) while standard deviation fluctuated between 1.6 and 2.06. In the images of filter deposits needle-like forms are seen. Turning to composition, if the first filter sample is eliminated and “below detection limit” is taken as zero, for the structural components and volatile fission products we have in terms of percentages the values given in Table 9.2-1.

9.2.2 Aerosols in the containment

9.2.2.1 PHEBUS FP

The aerosol size distributions were fairly lognormal with an average size (AMMD) in FPT0 of 2.4 μm at the end of the 5-hour bundle-degradation phase growing to 3.5 μm before stabilizing at 3.35 μm ; aerosol size in FPT1 was slightly larger at between 3.5 and 4.0 μm . Geometric-mean diameter (d_{50}) of particles in FPT1 was seen to be between 0.5 and 0.65 μm ; a SEM image of a deposit is shown in Fig. 9.2-2. In both tests the geometric standard deviation of the lognormal distribution was fairly constant at a value of around 2.0. There was clear evidence that aerosol composition varied very little as a function of particle size except for the late settling phase of the FPT1 test: during this period, the smallest particles were found to be cesium-rich. In terms of chemical speciation, X-ray techniques were used on some deposits and there also exist many data on the solubilities of the different elements in numerous deposits giving a clue as to the potential forms of some of the elements. However, post-test oxidation of samples cannot be excluded since storage times were long (months) and the value of speculating on potential speciation on the basis of the available information is debatable. Nevertheless, there is clear evidence that some elements reached higher states of oxidation in the containment when compared to their chemical form in the circuit.

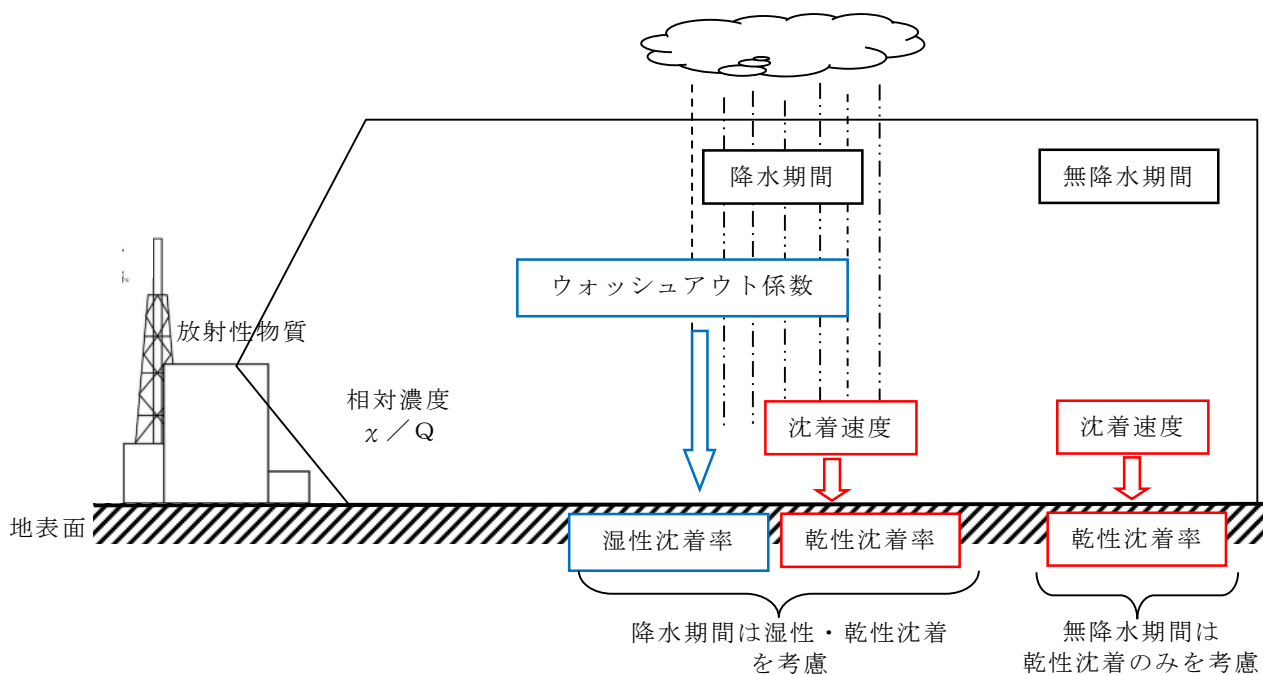
第15-2表 試験の概要

試験名又は報告書名等	試験の概要
AFCLが実施した実験	CANDUのジルカロイ被覆管燃料を使用した，1次系でも核分裂生成物の挙動についての試験
PBF-SFD	米国アイダホ国立工学環境研究所で実施された炉心損傷状態での燃料棒及び炉心のふるまい並びに核分裂生成物及び水素の放出についての試験
PHEBUS FP	フランスカダラッシュ研究所のPHEBUS研究炉で実施された，シビアアクシデント条件下での炉心燃料から1次系を経て格納容器に至るまでの核分裂生成物の挙動を調べる実機燃料を用いた総合試験

16 地表面への沈着速度の設定について

地表面への沈着速度の設定について

地表面への放射性物質の沈着は、第 16-1 図に示すように乾性沈着と湿性沈着によって発生する。乾性沈着は地上近くの放射性物質が、地面状態等によって決まる沈着割合（沈着速度）に応じて地表面に沈着する現象であり、放射性物質の地表面濃度に沈着速度をかけることで計算される。湿性沈着は降水によって放射性物質が雨水に取り込まれ、地表面に落下・沈着する現象であり、大気中の放射性物質の濃度分布と降水強度及び沈着の割合を示すウォッシュアウト係数によって計算される。



第 16-1 図 地表面沈着のイメージ

中央制御室の居住性評価において、地表面への沈着速度として、乾性沈着速度 0.3cm/s の 4 倍である $1.2\text{cm/s}^{\ast 1}$ を用いている。

※ 1 有機よう素の地表面への沈着速度としては $1.7 \times 10^{-3}\text{cm/s}$

「発電用軽水型原子炉施設周辺の線量目標値に対する評価指針」（昭和 51 年

9月28日原子力委員会決定,一部改訂(平成13年3月29日)の解説において,葉菜上の放射性よう素の沈着率を考慮するときに,「降水時における沈着率は,乾燥時の2~3倍大きい値となる」と示されている。これを踏まえ,湿性沈着を考慮した沈着速度は,乾性沈着による沈着も含めて乾性沈着速度の4倍と設定した。

以下では,湿性沈着を考慮した沈着速度を,乾性沈着速度の4倍として設定した妥当性を検討した。

1. 評価手法

湿性沈着を考慮した沈着速度の適用性は,乾性沈着率と湿性沈着率を合計した沈着率の累積出現頻度97%値を求め,乾性沈着率の累積出現頻度97%値との比を求める。その比と乾性沈着速度(0.3cm/s,添付資料15参照)の積が1.2cm/sを超えていないことを確認する。乾性沈着率及び湿性沈着率は以下のように定義される。乾性沈着率及び湿性沈着率は以下のように定義される。

(1) 乾性沈着率

乾性沈着率は,「日本原子力学会標準 原子力発電所の確率論的安全評価に関する実施基準(レベル3PSA編):2008」(社団法人 日本原子力学会)(以下「学会標準」という。)解説4.7を参考に評価した。学会標準解説4.7では,使用する相対濃度は地表面高さ付近としているが,ここでは内規【解説5.3】①に従い,地上高さの相対濃度を用いた。

$$(\chi/Q)_D(x,y,z)_i = V_d \cdot \chi/Q(x,y,z)_i \cdots \cdots \textcircled{1}$$

$$(\chi/Q)_D(x,y,z)_i : \text{時刻 } i \text{ での乾性沈着率}[1/\text{m}^2]$$

$\chi / Q(x, y, z)_i$: 時刻 i での相対濃度 $[s/m^3]$

V_d : 沈着速度 $[m/s]$ (0.003 NUREG/CR-4551 Vol.2 より)

(2) 湿性沈着率

降雨時には、評価点上空の放射性核種の地表への沈着は、降雨による影響を受ける。湿性沈着率 $(\chi / Q)_w(x, y)_i$ は学会標準解説 4.11 より以下のように表される。

$$(\chi / Q)_w(x, y)_i = \Lambda \cdot \int_0^\infty \chi / Q(x, y, z)_i dz = \chi / Q(x, y, 0)_i \Lambda_i \sqrt{2\pi \Sigma_{zi}} \exp\left[-\frac{h^2}{2\Sigma_{zi}}\right] \dots \dots \dots \textcircled{2}$$

$(\chi / Q)_w(x, y)_i$: 時刻 i での湿性沈着率 $[1/m^2]$

$\chi / Q(x, y, 0)_i$: 時刻 i での地表面高さでの相対濃度 $[s/m^3]$

Λ_i : 時刻 i でのウォッシュアウト係数 $[1/s]$
($= 9.5 \times 10^{-5} \times Pr_i^{0.8}$ 学会標準より)

P_{Ti} : 時刻 i での降水強度 $[mm/h]$

Σ_{zi} : 時刻 i での建屋影響を考慮した放射性雲の鉛直方向の拡散幅 $[m]$

h : 放出高さ $[m]$

乾性沈着率と湿性沈着率を合計した沈着率の累積出現頻度 97% 値と、乾性沈着率の累積出現頻度 97% 値の比は以下で定義される。

乾性沈着率と湿性沈着率を合計した沈着率の累積出現頻度 97% 値 (①+②)

乾性沈着率の累積出現頻度 97% 値 (①)

$$= \frac{\left(V_d \cdot \chi / Q(x,y,z)_i + \chi / Q(x,y,0)_i \Lambda_i \sqrt{2\pi \sum z_i} \exp\left[-\frac{h^2}{2 \sum z_i}\right] \right)_{97\%}}{(V_d \cdot \chi / Q(x,y,z)_i)_{97\%}} \dots \dots \dots \textcircled{3}$$

2. 地表面沈着率の累積出現頻度 97% 値の求め方

地表面沈着率の累積出現頻度は、気象指針に記載されている χ / Q の累積出現頻度 97% 値の求め方^{※2}に基づいて計算した。具体的には以下の手順で計算を行った（第 16-2 図参照）。

- (1) 各時刻における気象条件から、式①及び式②を用いて χ / Q 、乾性沈着率、湿性沈着率を 1 時間毎に算出する。なお、評価対象方位以外に風が吹いた時刻については、評価対象方位における χ / Q がゼロとなるため、地表面沈着率（乾性沈着率＋湿性沈着率）もゼロとなる。

第 16-2 図の例は、評価対象方位を S W とした場合であり、 χ / Q による乾性沈着率及び降水による湿性沈着率から地表面沈着率を算出する。評価対象方位 S W 以外の方位に風が吹いた時刻については、地表面沈着率はゼロとなる。

- (2) 上記 (1) で求めた 1 時間毎の地表面沈着率を値の大きさ順に並びかえ、小さい方から数えて累積出現頻度が 97% 値を超えたところの沈着率を、地表面沈着率の 97% 値とする（地表面沈着率の累積出現頻度であるため、 χ / Q の累積出現頻度と異なる）。

※2（気象指針解説抜粋）

VI. 想定事故時等の大気拡散の解析方法

1. 線量計算に用いる相対濃度

- (2) 着目地点の相対濃度は、毎時刻の相対濃度を年間について小さい方から累積した場合、その累積出現頻度が 97% に当たる相対濃度とする。

降水がない時刻は、
湿性沈着率はゼロ

日時	方位 (風向)	風速 (m/s)	大気 安定度	χ/Q (s/m ³)	乾性沈着率 (1/m ²) (①)	降水量 (mm/hr)	湿性沈着率 (1/m ²) (②)	地表面沈着率 (①+②)
4/1 1:00	S W (N E)	4.3	F	$\bigcirc \times 10^{-6}$	$\bigcirc \times 10^{-9}$	0	0	$\bigcirc \times 10^{-9}$
4/1 2:00	S W (N E)	4.5	E	$\bigcirc \times 10^{-6}$	$\bigcirc \times 10^{-9}$	1.0	$\bigcirc \times 10^{-8}$	$\bigcirc \times 10^{-8}$
4/1 3:00	S (N)	1.4	F	$\bigcirc \times 10^{-6}$	$\bigcirc \times 10^{-9}$	1.5	$\bigcirc \times 10^{-8}$	$\bigcirc \times 10^{-8}$
...
3/31 24:00	S W (N E)	5.5	D	$\bigcirc \times 10^{-7}$	$\bigcirc \times 10^{-10}$	0	0	$\bigcirc \times 10^{-10}$

評価対象方位の時刻のみ χ/Q 及び乾性沈着率が出現

評価対象方位を S W とし、
地表面沈着率の出現頻度を昇順に並び替え

評価対象方位以外の χ/Q は
ゼロとなるため、地表面沈着率
はゼロとなる。

地表面沈着率の
累積出現頻度 97% 値

地表面沈着率の並び替えであり、気象条件
によって χ/Q は必ずしも昇順に並ぶと
は限らない。
(従来の χ/Q 計算とは順番が異なる。)

No	出現頻度 (%)	χ/Q (s/m ³)	地表面沈着率 (①+②)
1	0.000	0	0
2	0.003	0	0
...
〇〇	97.004	$\bigcirc \times 10^{-6}$	$\bigcirc \times 10^{-9}$
〇〇	97.010	$\bigcirc \times 10^{-6}$	$\bigcirc \times 10^{-9}$
...
×××	100.000	$\bigcirc \times 10^{-5}$	$\bigcirc \times 10^{-8}$

第 16-2 図 地表面沈着率の累積出現頻度 97% 値の求め方

(評価対象方位が S W の場合)

3. 評価結果

第 16-1 表に中央制御室の評価点についての検討結果を示す。乾性沈着率に放出点と同じ高さの相対濃度を用いたとき，乾性沈着率と湿性沈着率を合計した沈着率の累積出現頻度 97% 値と，乾性沈着率の累積出現頻度 97% 値の比は 1.3 程度となった。

以上より，湿性沈着を考慮した沈着速度を乾性沈着速度の 4 倍と設定することは保守的であるといえる。

第 16-1 表 沈着率評価結果

評価点	放出点	相対濃度 (s/m^3)	① 乾性沈着率 ($1/\text{m}^2$)	②乾性沈着率 +湿性沈着率 ($1/\text{m}^2$)	比 (②/①)
中央制御室 中心	原子炉 建屋	8.3×10^{-4}	2.5×10^{-6}	2.9×10^{-6}	1.1
建屋出入口	原子炉 建屋	8.2×10^{-4}	2.5×10^{-6}	2.9×10^{-6}	1.2

17 有機よう素の乾性沈着速度について

今回の評価では、原子炉建屋から放出されるよう素のうち、無機よう素はエアロゾルと同じ沈着速度を用いる。有機よう素についてはエアロゾルと別に乾性沈着速度を 10^{-3} cm/s とし、湿性沈着を考慮して乾性沈着速度の 4 倍である $4 \times 10^{-3} \text{ cm/s}$ を設定した。以下にその根拠を示す。

(1) 英国放射線防護庁 (NRPB) による報告

英国放射線防護庁 大気拡散委員会による年次レポート (NRPB-R322^{*1}) に沈着速度に関する報告がなされている。本レポートでは、有機よう素について、植物に対する沈着速度に関する知見が整理されており、以下の通り報告されている。

- ・植物に対する沈着速度の” best judgement” として 10^{-5} m/s (10^{-3} cm/s) を推奨

(2) 日本原子力学会による報告

日本原子力学会標準レベル3PSA解説4.8に沈着速度に関する以下の報告がなされている。

- ・ヨウ化メチルは非反応性の化合物であり、沈着速度が小さく、実験で $10^{-4} \sim 10^{-2} \text{ cm/s}$ の範囲である。
- ・ヨウ化メチルの沈着は、公衆のリスクに対し、僅かな寄与をするだけであり、事故影響評価においてはその影響は無視できる。

以上のことから有機よう素の乾性沈着速度はエアロゾルの乾性沈着速度 0.3 cm/s に比べて小さいことがいえる。

また原子力発電所構内は、コンクリート、道路、芝生及び木々で構成されてい

るが、エアロゾルへの沈着速度の実験結果（N U R E G / C R - 4 5 5 1）によると、沈着速度が大きいのは芝生や木々であり、植物に対する沈着速度が大きくなる傾向であった。

したがって有機よう素の乾性沈着速度として、N R P B - R 3 2 2 の植物に対する沈着速度である 10^{-3} cm/s を用いるのは妥当と判断した。

※1: NRPB-R322-Atmospheric Dispersion Modeling Liaison Committee Annual Report, 1988-99

NRPB-R322 ANNEX-A 「2.2 Iodine」の抜粋

2.2.2 Meadow grass and crops

Elemental iodine

Methyl iodide

There are fewer data for methyl iodide than for elemental iodine, but all the data indicate that it is poorly absorbed by vegetation, such that surface resistance is by far the dominant resistance component. The early data have been reviewed elsewhere (Underwood, 1988; Harper *et al.*, 1994) and no substantial body of new data is available. The measured values range between 10^{-6} and 10^{-4} m s^{-1} approximately. Again, there are no strong reasons for taking r_s to be a function of windspeed, so it is recommended that v_d is taken to be a constant. Based on the limited data available, the 'best judgement' value of v_d is taken as 10^{-3} m s^{-1} and the 'conservative' value as 10^{-4} m s^{-1} . Where there is uncertainty as to the chemical species of the iodine, it is clearly safest to assume that it is all in elemental form from the viewpoint of making a conservative estimate of deposition flux.

2.2.3 Urban

Elemental iodine

Methyl iodide

There appear to be no data for the deposition of methyl iodide to building surfaces: the deposition velocity will be limited by adsorption processes and chemical reactions (if any) at the surface, for which specific data are required. No recommendations are given in this case. For vegetation within the urban area (lawns and parks etc), it is recommended that the values for extended grass surfaces be used.

18 実効放出継続時間の設定について

大気拡散評価に用いる実効放出継続時間は、「発電用原子炉施設の安全解析に関する気象指針」※¹に従い、事故期間中の放射性物質の全放出量を1時間当たりの最大放出量で除した値として計算する。実効放出継続時間は、大気拡散評価で放出継続時間を考慮した単位時間当たりの拡散係数を求めるために設定するものであり、被ばく評価においては、評価対象期間の放出率に拡散係数を乗じることにより大気拡散を考慮した評価を行う。

実効放出継続時間は放出経路ごとに設定しており、原子炉建屋、非常用ガス処理系排気筒及び格納容器圧力逃がし装置排気口のそれぞれの放出経路について実効放出継続時間を計算した結果を第18-1表に示す。

原子炉建屋及び格納容器圧力逃がし装置からの放出の実効放出継続時間は1時間程度であり、非常用ガス処理系排気筒からの放出の実効放出継続時間は20時間～30時間程度となっている。

大気拡散評価に用いる風速、風向などの気象データは、1時間ごとのデータとして整理されており、実効放出継続時間として設定できる最小単位は1時間である。

また、実効放出継続時間を2時間以上で設定した場合、その期間に同一風向の風が吹き続けることを想定し、その期間の拡散係数の平均を単位時間当たりの拡散係数としている。なお、平均する期間に異なる風向が含まれる場合は、拡散係数を0として平均を計算する。このため、実効放出継続時間が長くなるほど平均される期間が長くなり拡散係数は小さい傾向となる。

このことから、中央制御室の居住性に係る被ばく評価では、保守的に被ばく評価上の影響が大きい原子炉建屋及び格納容器圧力逃がし装置からの放出における実効放出継続時間である1時間を適用し大気拡散評価を行った。

なお、参考として実効放出継続時間の違いによる拡散係数（相対濃度，相対線量）の変化について第 18-2 表に示す。

※ 1 （気象指針解説抜粋）

- (3) 実効放出継続時間（T）は，想定事故の種類によって放出率に変化があるので，放出モードを考慮して適切に定めなければならないが，事故期間中の放射性物質の全放出量を 1 時間当たりの最大放出量で除した値を用いることもひとつの方法である。

第 18-1 表 S / C からベントを行う場合の実効放出継続時間

放出経路	① 放出量 (Bq)			② 最大放出率 (Bq/h)			(①÷②) 実効放出継続時間 (h)		
	原子炉建屋放出分	非常用ガス処理系排気筒放出分	ベント放出分	原子炉建屋放出分	非常用ガス処理系排気筒放出分	ベント放出分	原子炉建屋放出分	非常用ガス処理系排気筒放出分	ベント放出分
希ガス	約 4.6×10^{15}	約 3.1×10^{16}	約 8.9×10^{18}	約 3.1×10^{15}	約 1.2×10^{15}	約 8.7×10^{18}	約 1.5	約 25.1	約 1.0
希ガス以外	約 1.3×10^{15}	約 1.6×10^{15}	約 7.2×10^{15}	約 9.2×10^{14}	約 6.2×10^{13}	約 7.1×10^{15}	約 1.4	約 26.3	約 1.0

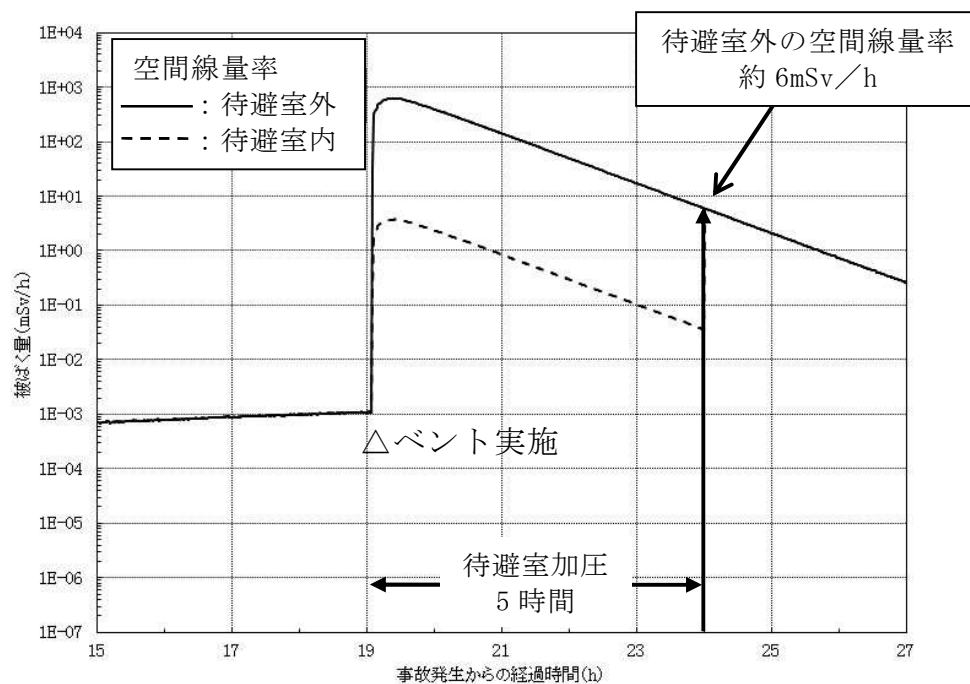
第 18-2 表 実効放出継続時間の違いによる拡散係数の変化

	相対濃度 (s/m ³)	相対線量 (Gy/Bq)
1 時間	3.0×10^{-6}	1.2×10^{-19}
5 時間	2.9×10^{-6}	8.8×10^{-20}
10 時間	1.7×10^{-6}	7.5×10^{-20}
20 時間	1.2×10^{-6}	6.2×10^{-20}

19 待避時間の設定根拠について

中央制御室では，ベント実施時における放射性物質による被ばく低減のために待避室に待避することとしており，中央制御室の居住性評価においては待避時間を5時間としている。

待避時間の設定については，運転員の実効線量が $100\text{mSv}/7$ 日間を超えないよう，余裕を考慮し設備，運用等を整備している。また，継続的に作業可能な線量率として数 mSv/h となるよう，中央制御室の居住性評価においては，第19-1図に示すとおり，待避室外の空間線量率が約 $6\text{mSv}/\text{h}$ なるまでは待避室に待避すると想定し評価している。



第 19-1 図 待避室内外の空間線量率

なお，実際には被ばく低減の観点から，さらに空間線量率が低減した段階で待避室から退出できるよう，加圧用空気ポンペの本数は5時間以上加圧ができる本数を設置することとしている。

20 審査ガイドへの適合状況

実用発電用原子炉に係る重大事故時の制御室及び緊急時対策所の居住性に係る被ばく評価に関する審査ガイド	中央制御室の居住性に係る被ばく評価の適合状況
<p>3. 制御室及び緊急時対策所の居住性に係る被ばく評価 (解釈より抜粋)</p> <p>第 74 条 (原子炉制御室)</p> <p>1. 第 74 条に規定する「運転員がとどまるために必要な設備」とは、以下に掲げる措置又はこれらと同等以上の効果を有する措置を行うための設備をいう。</p> <p>b) 炉心の著しい損傷が発生した場合の原子炉制御室の居住性について、次の要件を満たすものであること。</p> <p>① 設置許可基準規則解釈第 37 条の想定する格納容器破損モードのうち、原子炉制御室の運転員の被ばくの観点から結果が最も厳しくなる事故収束に成功した事故シーケンス（例えば、炉心の著しい損傷の後、格納容器圧力逃がし装置等の格納容器破損防止対策が有効に機能した場合）を想定すること。</p> <p>② 運転員はマスクの着用を考慮してもよい。ただし、その場合は実施のための体制を整備すること。</p> <p>③ 交代要員体制を考慮してもよい。ただし、その場合は実施のための体制を整備すること。</p> <p>④ 判断基準は、運転員の実効線量が 7 日間で 100mSv を超えないこと。</p>	<p>1 b)→審査ガイドの趣旨に基づき評価</p> <p>①格納容器圧力逃がし装置による格納容器破損防止対策を考慮する事故シーケンスを選定している。</p> <p>②マスク着用は考慮する場合と考慮しない場合とで評価している。</p> <p>③運転員の勤務形態（5 直 2 交代）を考慮して評価している。</p> <p>④運転員の実効線量が 7 日間で 100mSv を超えないことを確認している。</p>
4. 居住性に係る被ばく評価の標準評価手法	

実用発電用原子炉に係る重大事故時の制御室及び緊急時対策所の居住性に係る被ばく評価に関する審査ガイド	中央制御室の居住性に係る被ばく評価の適合状況
<p>4.1 居住性に係る被ばく評価の手法及び範囲</p> <p>① 居住性に係る被ばく評価にあたっては最適評価手法を適用し、「4.2 居住性に係る被ばく評価の共通解析条件」を適用する。ただし、保守的な仮定及び条件の適用を否定するものではない。</p> <p>② 実験等を基に検証され、適用範囲が適切なモデルを用いる。</p> <p>③ 不確かさが大きいモデルを使用する場合や検証されたモデルの適用範囲を超える場合には、感度解析結果等を基にその影響を適切に考慮する。</p> <p>（１）被ばく経路</p> <p>原子炉制御室／緊急時制御室／緊急時対策所の居住性に係る被ばく評価では、次の被ばく経路による被ばく線量を評価する。図１に、原子炉制御室の居住性に係る被ばく経路を、図２に、緊急時制御室又は緊急時対策所の居住性に係る被ばく経路をそれぞれ示す。</p> <p>ただし、合理的な理由がある場合は、この経路によらないことができる。</p> <p>① 原子炉建屋内の放射性物質からのガンマ線による原子炉制御室／緊急時制御室／緊急時対策所内での被ばく原子炉建屋（二次格納施設（BWR 型原子炉施設）又は原子炉格納容器及びアニュラス部（PWR 型原子炉施設））内の放射性物質から放射されるガンマ線による原子炉制御室／緊急時制御室／緊急時対策所内での被ばく線量を、次の二つの経路を対象に計算する。</p>	<p>4.1 →審査ガイドのとおり</p> <p>最適評価手法を適用し、「4.2 居住性に係る被ばく評価の共通解析条件」に基づいて評価している。実験等に基づいて検証されたコードやこれまでの許認可で使用したモデルに基づいて評価している。</p> <p>4.1（１）→ 審査ガイドのとおり</p> <p>中央制御室居住性に係る被ばく経路は図１のとおり、①～⑤の経路に対して評価している。</p> <p>4.1（１）①→審査ガイドのとおり</p> <p>原子炉建屋内の放射性物質からのスカイシャインガンマ線に</p>

実用発電用原子炉に係る重大事故時の制御室及び緊急時対策所の居住性に係る被ばく評価に関する審査ガイド	中央制御室の居住性に係る被ばく評価の適合状況
<p>一 原子炉建屋内の放射性物質からのスカイシャインガンマ線による外部被ばく</p> <p>二 原子炉建屋内の放射性物質からの直接ガンマ線による外部被ばく</p> <p>② 大気中へ放出された放射性物質による原子炉制御室／緊急時制御室／緊急時対策所内での被ばく大気中へ放出された放射性物質から放射されるガンマ線による外部被ばく線量を、次の二つの経路を対象に計算する。</p> <p>一 放射性雲中の放射性物質からのガンマ線による外部被ばく（クラウドシャイン）</p> <p>二 地表面に沈着した放射性物質からのガンマ線による外部被ばく（グランドシャイン）</p> <p>③ 外気から取り込まれた放射性物質による原子炉制御室／緊急時制御室／緊急時対策所内での被ばく原子炉制御室／緊急時制御室／緊急時対策所内に取り込まれた放射性物質による被ばく線量を、次の二つの被ばく経路を対象にして計算する。</p> <p>なお、原子炉制御室／緊急時制御室／緊急時対策所内に取り込まれた放射性物質は、室内に沈着せずに浮遊しているものと仮定して評価する。</p> <p>一 原子炉制御室／緊急時制御室／緊急時対策所内へ外気から取り込まれた放射性物質の吸入摂取による内部被ばく</p>	<p>よる中央制御室内での外部被ばく線量を評価している。</p> <p>原子炉建屋内の放射性物質からの直接ガンマ線による中央制御室での外部被ばく線量を評価している。</p> <p>4.1(1)②→審査ガイドのとおり</p> <p>大気中に放出された放射性物質からのガンマ線によ中央制御室での外部被ばくは、事故期間中の大気中への放射性物質の放出量を基に大気拡散効果と中央制御室の壁によるガンマ線遮蔽効果を踏まえて運転員の外部被ばく（クラウドシャイン）を評価している。</p> <p>地表面に沈着した放射性物質からのガンマ線による外部被ばく（グランドシャイン）についても考慮して評価している。</p> <p>4.1(1)③→審査ガイドのとおり</p> <p>中央制御室内に取り込まれた放射性物質は、中央制御室に沈着せず浮遊しているものとして評価している。</p> <p>事故期間中に大気中に放出された放射性物質の一部は外気から中央制御室内に取り込まれる。中央制御室内に取り込まれた放射性物質のガンマ線による外部被ばく及び吸入摂取による内部</p>

<p>実用発電用原子炉に係る重大事故時の制御室及び緊急時対策所の居住性に係る被ばく評価に関する審査ガイド</p>	<p>中央制御室の居住性に係る被ばく評価の適合状況</p>
<p>二 原子炉制御室／緊急時制御室／緊急時対策所内へ外気から取り込まれた放射性物質からのガンマ線による外部被ばく</p> <p>④ 原子炉建屋内の放射性物質からのガンマ線による入退域での被ばく</p> <p>原子炉建屋内の放射性物質から放射されるガンマ線による入退域での被ばく線量を、次の二つの経路を対象に計算する。</p> <p>一 原子炉建屋内の放射性物質からのスカイシャインガンマ線による外部被ばく</p> <p>二 原子炉建屋内の放射性物質からの直接ガンマ線による外部被ばく</p> <p>⑤ 大気中へ放出された放射性物質による入退域での被ばく大気中へ放出された放射性物質による被ばく線量を、次の三つの経路を対象に計算する。</p> <p>一 放射性雲中の放射性物質からのガンマ線による外部被ばく（クラウドシャイン）</p> <p>二 地表面に沈着した放射性物質からのガンマ線による外部被ばく（グランドシャイン）</p> <p>三 放射性物質の吸入摂取による内部被ばく</p>	<p>被ばくの和として実効線量を評価している。</p> <p>4.1(1)④→審査ガイドのとおり</p> <p>原子炉建屋内の放射性物質からのスカイシャインガンマ線による入退域時の外部被ばく線量を評価している。</p> <p>原子炉建屋内の放射性物質からの直接ガンマ線による入退域時の外部被ばく線量を評価している。</p> <p>4.1(1)⑤→審査ガイドのとおり</p> <p>大気中へ放出された放射性物質からのガンマ線による入退域時の被ばくは、中央制御室の壁によるガンマ線の遮蔽効果を期待しないこと以外は「4.1(1)②大気中へ放出された放射性物質による中央制御室内での被ばく」と同様な手段で、放射性物質からのガンマ線による外部被ばくおよび吸入摂取による内部被ばくの和として実効線量を評価している。地表面に沈着した放射物質放射性物質からのガンマ線についても考慮して評価している。</p>

実用発電用原子炉に係る重大事故時の制御室及び緊急時対策所の居住性に係る被ばく評価に関する審査ガイド	中央制御室の居住性に係る被ばく評価の適合状況
<p>(2) 評価の手順</p> <p>原子炉制御室／緊急時制御室／緊急時対策所の居住性に係る被ばく評価の手順を図3に示す。</p> <p>a. 原子炉制御室／緊急時制御室／緊急時対策所の居住性に係る被ばく評価に用いるソースタームを設定する。</p> <ul style="list-style-type: none"> 原子炉制御室の居住性に係る被ばく評価では、格納容器破損防止対策の有効性評価（参2）で想定する格納容器破損モードのうち、原子炉制御室の運転員又は対策要員の被ばくの観点から結果が最も厳しくなる事故収束に成功した事故シーケンス（この場合、格納容器破損防止対策が有効に働いたため、格納容器は健全である）のソースターム解析を基に、大気中への放射性物質放出量及び原子炉施設内の放射性物質存在量分布を設定する。 緊急時制御室又は緊急時対策所の居住性に係る被ばく評価では、放射性物質の大気中への放出割合が東京電力株式会社福島第一原子力発電所事故と同等と仮定した事故に対して、放射性物質の大気中への放出割合及び炉心内蔵量から大気中への放射性物質放出量を計算する。また、放射性物質の原子炉格納容器内への放出割合及び炉心内蔵量から原子炉施設内の放射性物質存在量分布を設定する。 <p>b. 原子炉施設敷地内の年間の実気象データを用いて、大気拡散を計算して相対濃度及び相対線量を計算する。</p>	<p>4.1(2)→審査ガイドのとおり</p> <p>中央制御室居住性に係る被ばくは、図3の手順に基づいて評価している。</p> <p>4.1(2)a.→審査ガイドのとおり</p> <p>評価事象については、炉心の著しい損傷が発生するシーケンス「大 LOCA＋高圧炉心冷却失敗＋低圧炉心冷却失敗＋全交流動力電源喪失」を選定する。また、放出放射エネルギーの観点から、代替循環冷却系の機能喪失を仮定し、格納容器圧力逃がし装置による格納容器ベントを実施する場合を想定する。</p> <p>大気中への放射性物質の放出量については、MAAP 解析結果を元に設定しているが、放出割合については、TMI-2 事故や福島第一原子力発電所事故での知見も踏まえた設定としている。</p> <p>4.1(2)b.→審査ガイドのとおり</p> <p>被ばく評価に用いる相対濃度及び相対線量は、大気拡散の評価</p>

実用発電用原子炉に係る重大事故時の制御室及び緊急時対策所の居住性に係る被ばく評価に関する審査ガイド	中央制御室の居住性に係る被ばく評価の適合状況
<p>c. 原子炉施設内の放射性物質存在量分布から原子炉建屋内の線源強度を計算する。</p> <p>d. 原子炉制御室／緊急時制御室／緊急時対策所内での運転員又は対策要員の被ばく線量を計算する。</p> <ul style="list-style-type: none"> ・上記 c の結果を用いて、原子炉建屋内の放射性物質からのガンマ線（スカイシャインガンマ線，直接ガンマ線）による被ばく線量を計算する。 ・上記 a 及び b の結果を用いて、大気中へ放出された放射性物質及び地表面に沈着した放射性物質のガンマ線による外部被ばく線量を計算する。 ・上記 a 及び b の結果を用いて、原子炉制御室／緊急時制御室／緊急時対策所内に外気から取り込まれた放射性物質による被ばく線量（ガンマ線による外部被ばく及び吸入摂取による内部被ばく）を計算する。 <p>e. 上記 d で計算した線量の合計値が、判断基準を満たしているかどうかを確認する。</p>	<p>に従い実効放出継続時間を基に計算した値を年間について、小さい方から順に並べた累積出現頻度 97%に当たる値を用いている。評価においては、2005 年 4 月 1 日から 2006 年 3 月 31 日の 1 年間における気象データを使用している。</p> <p>4.1(2)c. →審査ガイドのとおり</p> <p>原子炉施設内の放射性物質存在量分布を考慮し、スカイシャインガンマ線及び直接ガンマ線による外部被ばく線量を評価するために、原子炉建屋内の線源強度を計算している。</p> <p>4.1(2)d. →審査ガイドのとおり</p> <p>前項 c. の結果を用いて、原子炉建屋内の放射性物質からのガンマ線による外部被ばく線量を計算している。</p> <p>前項 a. 及び b. の結果を用いて、大気中へ放出された放射性物質及び地表面に沈着した放射性物質のガンマ線による外部被ばく線量を計算している。</p> <p>前項 a. 及び b. の結果を用いて、中央制御室内に外気から取り込まれた放射性物質による被ばく線量(ガンマ線による外部被ばく線量及び吸入摂取による内部被ばく線量)を計算している。</p> <p>4.1(2)e. →審査ガイドのとおり</p>

実用発電用原子炉に係る重大事故時の制御室及び緊急時対策所の居住性に係る被ばく評価に関する審査ガイド	中央制御室の居住性に係る被ばく評価の適合状況
<p>4. 2 居住性に係る被ばく評価の共通解析条件</p> <p>(1) 沈着・除去等</p> <p>a. 原子炉制御室／緊急時制御室／緊急時対策所の非常用換気空調設備フィルタ効率</p> <p>ヨウ素類及びエアロゾルのフィルタ効率は、使用条件での設計値を基に設定する。</p> <p>なお、フィルタ効率の設定に際し、ヨウ素類の性状を適切に考慮する。</p> <p>b. 空気流入率</p> <p>既設の場合では、空気流入率は、空気流入率測定試験結果を基に設定する。</p> <p>新設の場合では、空気流入率は、設計値を基に設定する。(なお、原子炉制御室／緊急時制御室／緊急時対策所設置後、設定値の妥当性を空気流入率測定試験によって確認する。)</p> <p>(2) 大気拡散</p> <p>a. 放射性物質の大気拡散</p> <p>・放射性物質の空气中濃度は、放出源高さ及び気象条件に応じて、空間濃度分布が水平方向及び鉛直方向ともに正規分布になると仮定したガウスプルームモデルを適用して計算する。</p>	<p>上記 d. で計算した線量の合計値が、「判断基準は、運転員の実効線量が 7 日間で 100mSv を超えないこと」を満足することを確認している。</p> <p>4.2(1)a. →審査ガイドのとおり</p> <p>中央制御室非常用循環設備よう素フィルタによる除去効率として、設計値である 95%を、中央制御室換気設備のフィルタ除去効率は、設計上期待できる値として、有機よう素は 95%、無機よう素及び粒子状物質は 99%として評価している。</p> <p>4.2(1)b. →審査ガイドのとおり</p> <p>中央制御室待避室に待避している間は、空気の流入は考慮しない。</p> <p>中央制御室待避室に待避していない間は、空気流入率を 1 回/h とした。</p> <p>4.2(2)a. →審査ガイドのとおり</p> <p>放射性物質の空气中濃度は、ガウスプルームモデルを適用して計算している。</p>

実用発電用原子炉に係る重大事故時の制御室及び緊急時対策所の居住性に係る被ばく評価に関する審査ガイド	中央制御室の居住性に係る被ばく評価の適合状況
<p>なお、三次元拡散シミュレーションモデルを用いてもよい。</p> <ul style="list-style-type: none"> ・風向，風速，大気安定度及び降雨の観測項目を，現地において少なくとも1年間観測して得られた気象資料を大気拡散式に用いる。 ・ガウスプルームモデルを適用して計算する場合には，水平及び垂直方向の拡散パラメータは，風下距離及び大気安定度に応じて，気象指針（参3）における相関式を用いて計算する。 ・原子炉制御室／緊急時制御室／緊急時対策所の居住性評価で特徴的な放出点から近距離の建屋の影響を受ける場合には，建屋による巻き込み現象を考慮した大気拡散による拡散パラメータを用いる。 ・原子炉建屋の建屋後流での巻き込みが生じる場合の条件については，放出点と巻き込みが生じる建屋及び評価点との位置関係について，次に示す条件すべてに該当した場合，放出点から放出された放射性物質は建屋の風下側で巻き込みの影響を受け拡散し，評価点に到達するものとする。 <p>一 放出点の高さが建屋の高さの2.5倍に満たない場合</p> <p>二 放出点と評価点を結んだ直線と平行で放出点を風下とした風向 n について，放出点の位置が風向 n と建屋の投影形状に応じて定まる一定の範囲（図4の領域An）の中にある場合</p> <p>三 評価点が，巻き込みを生じる建屋の風下側にある場合</p> <p>上記の三つの条件のうちの一つでも該当しない場合には，建屋の影響</p>	<p>東海第二発電所内で観測して得られた2005年4月1日から2006年3月31日の1年間の気象データを大気拡散計算に用いている。</p> <p>水平方向及び鉛直方向の拡散パラメータは，風下距離及び大気安定度に応じて，気象指針の相関式を用いて計算している。</p> <p>放出点（格納容器圧力逃がし装置配管）から近距離の建屋（原子炉建屋）の影響を受けるため，建屋による巻き込みを考慮し，建屋の影響がある場合の拡散パラメータを用いている。</p> <p>一～三の全ての条件に該当するため，建屋による巻き込みを考慮して評価している。</p> <p>放出点（格納容器圧力逃がし装置配管）が原子炉建屋の屋上にあるため，建屋の高さの2.5倍に満たない。</p> <p>放出点の位置は，図4の領域Anの中にある。</p> <p>評価点（中央制御室等）は，巻き込みを生じる建屋（原子炉建屋）の風下側にある。</p>

実用発電用原子炉に係る重大事故時の制御室及び緊急時対策所の居住性に係る被ばく評価に関する審査ガイド	中央制御室の居住性に係る被ばく評価の適合状況
<p>はないものとして大気拡散評価を行うものとする（参 4）。</p> <ul style="list-style-type: none"> 原子炉制御室／緊急時制御室／緊急時対策所の居住性に係る被ばく評価では，建屋の風下後流側での広範囲に及ぶ乱流混合域が顕著であることから，放射性物質濃度を計算する当該着目方位としては，放出源と評価点とを結ぶラインが含まれる 1 方位のみを対象とするのではなく，図 5 に示すように，建屋の後流側の拡がりの影響が評価点に及ぶ可能性のある複数の方位を対象とする。 放射性物質の大気拡散の詳細は，「原子力発電所中央制御室の居住性に係る被ばく評価手法について（内規）」（参 1）による。 <p>b. 建屋による巻き込みの評価条件</p> <ul style="list-style-type: none"> 巻き込みを生じる代表建屋 <p>1) 原子炉建屋の近辺では，隣接する複数の建屋の風下側で広く巻き込みによる拡散が生じているものとする。</p> <p>2) 巻き込みを生じる建屋として，原子炉格納容器，原子炉建屋，原子炉補助建屋，タービン建屋，コントロール建屋及び燃料取り扱い建屋等，原則として放出源の近隣に存在するすべての建屋が対象となるが，巻き込みの影響が最も大きいと考えられる一つの建屋を代表建屋とすることは，保守的な結果を与える。</p> <ul style="list-style-type: none"> 放射性物質濃度の評価点 <p>1) 原子炉制御室／緊急時制御室／緊急時対策所が属する建屋の代表</p>	<p>建屋による巻き込みを考慮し，図 5 に示すように，建屋の後流側拡がりの影響が評価点に及ぶ可能性がある複数の方位（評価方位 9 方位（中央制御室及び入退域））を対象としている。</p> <p>放射性物質の大気拡散については，「原子力発電所中央制御室の居住性に係る被ばく評価手法について（内規）」に基づいて評価している。</p> <p>4.2(2)b. →審査ガイドのとおり</p> <p>建屋巻き込みによる拡散を考慮している。</p> <p>放出源（格納容器圧力逃がし装置配管）から最も近く，巻き込みの影響が最も大きい建屋として原子炉建屋を代表建屋としている。</p>

実用発電用原子炉に係る重大事故時の制御室及び緊急時対策所の居住性に係る被ばく評価に関する審査ガイド	中央制御室の居住性に係る被ばく評価の適合状況
<p>面の選定</p> <p>原子炉制御室／緊急時制御室／緊急時対策所内には、次の i) 又は ii) によって、原子炉制御室／緊急時制御室／緊急時対策所が属する建屋の表面から放射性物質が侵入するとする。</p> <p>i) 事故時に外気取入を行う場合は、主に給気口を介しての外気取入及び室内への直接流入</p> <p>ii) 事故時に外気の取入れを遮断する場合は、室内への直接流入</p> <p>2) 建屋による巻き込みの影響が生じる場合、原子炉制御室／緊急時制御室／緊急時対策所が属する建屋の近辺ではほぼ全般にわたり、代表建屋による巻き込みによる拡散の効果が及んでいると考えられる。</p> <p>このため、原子炉制御室／緊急時制御室／緊急時対策所換気空調設備の非常時の運転モードに応じて、次の i) 又は ii) によって、原子炉制御室／緊急時制御室／緊急時対策所が属する建屋の表面の濃度を計算する。</p> <p>i) 評価期間中も給気口から外気を取入れることを前提とする場合は、給気口が設置されている原子炉制御室／緊急時制御室／緊急時対策所が属する建屋の表面とする。</p> <p>ii) 評価期間中は外気を遮断することを前提とする場合は、原子炉制御室／緊急時制御室／緊急時対策所が属する建屋の各表面（屋上面又は側面）のうちの代表面（代表評価面）を選定する。</p>	<p>建屋による巻き込みの影響を考慮しており、事故時には間欠的に外気を取り入れる。代表面として建屋側面を選定し、保守的に地上高さにおける濃度を評価している。</p> <p>建屋側面を選定しており、評価点は中央制御室内の最も線量が高い位置とする。</p>

実用発電用原子炉に係る重大事故時の制御室及び緊急時対策所の居住性に係る被ばく評価に関する審査ガイド	中央制御室の居住性に係る被ばく評価の適合状況
<p>3) 代表面における評価点</p> <p>i) 建屋の巻き込みの影響を受ける場合には、原子炉制御室／緊急時制御室／緊急時対策所の属する建屋表面での濃度は風下距離の依存性は小さくほぼ一様と考えられるので、評価点は厳密に定める必要はない。屋上面を代表とする場合、例えば原子炉制御室／緊急時制御室／緊急時対策所の中心点を評価点とするのは妥当である。</p> <p>ii) 代表評価面を、原子炉制御室／緊急時制御室／緊急時対策所が属する建屋の屋上面とすることは適切な選定である。</p> <p>また、原子炉制御室／緊急時制御室／緊急時対策所が屋上面から離れている場合は、原子炉制御室／緊急時制御室／緊急時対策所が属する建屋の側面を代表評価面として、それに対応する高さでの濃度を対で適用することも適切である。</p> <p>iii) 屋上面を代表面とする場合は、評価点として原子炉制御室／緊急時制御室／緊急時対策所の中心点を選定し、対応する風下距離から拡散パラメータを算出してもよい。</p> <p>また $\sigma_y=0$ 及び $\sigma_z=0$ として、σ_{y0}、σ_{z0} の値を適用してもよい。</p> <p>・ 着目方位</p> <p>1) 原子炉制御室／緊急時制御室／緊急時対策所の被ばく評価の計算では、代表建屋の風下後流側での広範囲に及ぶ乱流混合域が顕著であることから、放射性物質濃度を計算する当該着目方位としては、放出</p>	<p>代表面として建屋側面を選定し、保守的に地上高さにおける濃度を評価している。</p> <p>屋上面を代表としており、評価点は中央制御室内の最も線量が高い位置としている。また、放出点と評価点の直線距離に基づき、濃度評価の拡散パラメータを算出している。直線距離の評価に当たっては、保守的に評価点が放出点と同じ高さであると仮定した。</p> <p>建屋による巻き込みを考慮し、i)～iii)の条件に該当する方位を選定し、建屋の後流側の拡がりの影響が評価点に及ぼす可能性がある複数の方位(評価方位は9方位)を対象としている。</p>

実用発電用原子炉に係る重大事故時の制御室及び緊急時対策所の居住性に係る被ばく評価に関する審査ガイド	中央制御室の居住性に係る被ばく評価の適合状況
<p>源と評価点とを結ぶラインが含まれる 1 方位のみを対象とするのではなく、図 5 に示すように、代表建屋の後流側の拡がりの影響が評価点に及ぶ可能性のある複数の方位を対象とする。</p> <p>評価対象とする方位は、放出された放射性物質が建屋の影響を受けて拡散すること及び建屋の影響を受けて拡散された放射性物質が評価点に届くことの両方に該当する方位とする。</p> <p>具体的には、全 16 方位について以下の三つの条件に該当する方位を選定し、すべての条件に該当する方位を評価対象とする。</p> <p>i) 放出点が評価点の風上にあること</p> <p>ii) 放出点から放出された放射性物質が、建屋の風下側に巻き込まれるような範囲に、評価点が存在すること。この条件に該当する風向の方位m_1の選定には、図 6 のような方法を用いることができる。図 6 の対象となる二つの風向の方位の範囲m_{1A}、m_{1B}のうち、放出点が評価点の風上となるどちらか一方の範囲が評価の対象となる。放出点が建屋に接近し、0.5Lの拡散領域(図 6 のハッチング部分)の内部にある場合は、風向の方位m_1は放出点が評価点の風上となる 180° が対象となる。</p> <p>iii) 建屋の風下側で巻き込まれた大気が評価点に到達すること。</p> <p>この条件に該当する風向の方位m_2の選定には、図 7 に示す方法を用いることができる。評価点が建屋に接近し、0.5Lの拡散領域(図 7 のハッチング部分)の内部にある場合は、風向の方位m_2は放出点が評価</p>	<p>建屋による巻き込みを考慮し、「原子力発電所中央制御室の居住性に係る被ばく評価手法について(内規)」に基づいて複数方位を対象として評価している。</p> <p>放出点が評価点の風上にある方位を対象としている。</p> <p>放出点は建屋に近接しているため、風向の方位は放出点が評価点の風上となる 180° を対象としている。</p> <p>図 7 に示す方法により、建屋の後流側の拡がりの影響が評価点に及ぶ可能性のある複数の方位(評価方位は9方位)を評価方位として選定している。</p>

実用発電用原子炉に係る重大事故時の制御室及び緊急時対策所の居住性に係る被ばく評価に関する審査ガイド	中央制御室の居住性に係る被ばく評価の適合状況
<p>点の風上となる 180° が対象となる。</p> <p>図 6 及び図 7 は、断面が円筒形状の建屋を例として示しているが、断面形状が矩形の建屋についても、同じ要領で評価対象の方位を決定することができる。</p> <p>建屋の影響がある場合の評価対象方位選定手順を、図 8 に示す。</p> <p>2) 具体的には、図 9 のとおり、原子炉制御室／緊急時制御室／緊急時対策所が属する建屋表面において定めた評価点から、原子炉施設の代表建屋の水平断面を見込む範囲にあるすべての方位を定める。</p> <p>幾何学的に建屋群を見込む範囲に対して、気象評価上の方位とのずれによって、評価すべき方位の数が増加することが考えられるが、この場合、幾何学的な見込み範囲に相当する適切な見込み方位の設定を行ってもよい。</p> <p>・ 建屋投影面積</p> <p>1) 図 10 に示すとおり、風向に垂直な代表建屋の投影面積を求め、放射性物質の濃度を求めるために大気拡散式の入力とする。</p> <p>2) 建屋の影響がある場合の多くは複数の風向を対象に計算する必要があるため、風向の方位ごとに垂直な投影面積を求める。ただし、対象となる複数の方位の投影面積の中で、最小面積を、すべての方位の計算の入力として共通に適用することは、合理的であり保守的である。</p> <p>3) 風下側の地表面から上側の投影面積を求め大気拡散式の入力とする。方位によって風下側の地表面の高さが異なる場合は、方位ごとに</p>	<p>「・ 着目方位 1)」の方法により、評価対象の方位を選定している。</p> <p>風向に垂直な原子炉建屋の投影面積を大気拡散式の入力としている。</p> <p>原子炉建屋の最小投影面積を用いている。</p> <p>原子炉建屋の地上階部分の投影面積を用いている。</p>

実用発電用原子炉に係る重大事故時の制御室及び緊急時対策所の居住性に係る被ばく評価に関する審査ガイド	中央制御室の居住性に係る被ばく評価の適合状況
<p>地表面高さから上側の面積を求める。また、方位によって、代表建屋とは別の建屋が重なっている場合でも、原則地表面から上側の代表建屋の投影面積を用いる。</p> <p>c. 相対濃度及び相対線量</p> <ul style="list-style-type: none"> 相対濃度は、短時間放出又は長時間放出に応じて、毎時刻の気象項目と実効的な放出継続時間を基に評価点ごとに計算する。 相対線量は、放射性物質の空間濃度分布を算出し、これをガンマ線量計算モデルに適用して評価点ごとに計算する。 評価点の相対濃度又は相対線量は、毎時刻の相対濃度又は相対線量を年間について小さい方から累積した場合、その累積出現頻度が 97% に当たる値とする。 相対濃度及び相対線量の詳細は、「原子力発電所中央制御室の居住性に係る被ばく評価手法について（内規）」^(参1) による。 <p>d. 地表面への沈着</p> <p>放射性物質の地表面への沈着評価では、地表面への乾性沈着及び降雨による湿性沈着を考慮して地表面沈着濃度を計算する。</p> <p>e. 原子炉制御室／緊急時制御室／緊急時対策所内の放射性物質濃度</p> <ul style="list-style-type: none"> 原子炉制御室／緊急時制御室／緊急時対策所の建屋の表面空気中から、次の二つの経路で放射性物質が外気から取り込まれることを仮定 	<p>4.2(2)c. →審査ガイドのとおり</p> <p>相対濃度は、毎時刻の気象項目（風向、風速、大気安定度）及び実効放出継続時間を基に、短時間放出の式を適用し、評価している。</p> <p>相対線量は、放射性物質の空間濃度分布を算出し、これをガンマ線計算モデルに適用し、計算している。</p> <p>年間の気象データに基づく相対濃度及び相対線量を各時刻の風向に応じて、小さい方から累積し、97%に当たる値を用いている。</p> <p>相対濃度及び相対線量の詳細は、「原子力発電所中央制御室の居住性に係る被ばく評価手法について（内規）」に基づいて評価している。</p> <p>4.2(2)d. →審査ガイドのとおり</p> <p>地表面への乾性沈着及び降雨による湿性沈着を考慮して地表面沈着濃度を計算している。</p> <p>4.2(2)e. →審査ガイドのとおり</p> <p>中央制御室は間欠的に外気取入れ運転運転により外気を取り込まれることを仮定している。また中央制御室非常用循環設備の</p>

実用発電用原子炉に係る重大事故時の制御室及び緊急時対策所の居住性に係る被ばく評価に関する審査ガイド	中央制御室の居住性に係る被ばく評価の適合状況
<p>する。</p> <p>一 原子炉制御室／緊急時制御室／緊急時対策所の非常用換気空調設備によって室内に取り入れること（外気取入）</p> <p>二 原子炉制御室／緊急時制御室／緊急時対策所内に直接流入すること（空気流入）</p> <ul style="list-style-type: none"> ・原子炉制御室／緊急時制御室／緊急時対策所内の雰囲気中で放射性物質は、一様混合すると仮定する。 <p>なお、原子炉制御室／緊急時制御室／緊急時対策所内に取り込まれた放射性物質は、室内に沈着せずに浮遊しているものと仮定する。</p> <ul style="list-style-type: none"> ・原子炉制御室／緊急時制御室／緊急時対策所内への外気取入による放射性物質の取り込みについては、非常用換気空調設備の設計及び運転条件に従って計算する。 ・原子炉制御室／緊急時制御室／緊急時対策所内に取り込まれる放射性物質の空気流入量は、空気流入率及び原子炉制御室／緊急時制御室／緊急時対策所バウンダリ体積（容積）を用いて計算する。 <p>（３）線量評価</p> <p>a. 放射性雲中の放射性物質からのガンマ線による原子炉制御室／緊急時制御室／緊急時対策所内での外部被ばく（クラウドシャイン）</p> <ul style="list-style-type: none"> ・放射性雲中の放射性物質からのガンマ線による外部被ばく線量は、空気中時間積分濃度及びクラウドシャインに対する外部被ばく線量換算係数の積で計算する。 	<p>運転による空気が直接流入することを仮定している。</p> <p>プルーム通過中は運転員は中央制御室待避室に待避し、室内を加圧するため外気取入れ及び空気流入はないものとして評価している。</p> <p>中央制御室内では放射性物質は一様混合するとし、室内で放射性物質は沈着せず、浮遊していると仮定している。</p> <p>外気取入れによる放射性物質の取り込みについては、中央制御室の換気設備の設計及び運転条件に従って計算している。</p> <p>空気流入量は中央制御室のバウンダリ体積（容積）を用いて計算している。</p> <p>4.2(3)a. →審査ガイドのとおり</p> <p>外部被ばく線量については、空気中濃度及びクラウドシャインに対する外部被ばく線量換算係数の積で計算した線量率を積算して計算している。</p>

実用発電用原子炉に係る重大事故時の制御室及び緊急時対策所の居住性に係る被ばく評価に関する審査ガイド	中央制御室の居住性に係る被ばく評価の適合状況
<p>・原子炉制御室／緊急時制御室／緊急時対策所内にいる運転員又は対策要員に対しては、原子炉制御室／緊急時制御室／緊急時対策所の建屋によって放射線が遮へいされる低減効果を考慮する。</p> <p>b. 地表面に沈着した放射性物質からのガンマ線による原子炉制御室／緊急時制御室／緊急時対策所内での外部被ばく（グランドシャイン）</p> <p>・地表面に沈着した放射性物質からのガンマ線による外部被ばく線量は、地表面沈着濃度及びグランドシャインに対する外部被ばく線量換算係数の積で計算する。</p> <p>・原子炉制御室／緊急時制御室／緊急時対策所内にいる運転員又は対策要員に対しては、原子炉制御室／緊急時制御室／緊急時対策所の建屋によって放射線が遮へいされる低減効果を考慮する。</p> <p>c. 原子炉制御室／緊急時制御室／緊急時対策所内へ外気から取り込まれた放射性物質の吸入摂取による原子炉制御室／緊急時制御室／緊急時対策所内での内部被ばく</p> <p>・原子炉制御室／緊急時制御室／緊急時対策所内へ外気から取り込まれた放射性物質の吸入摂取による内部被ばく線量は、室内の空气中時間積分濃度、呼吸率及び吸入による内部被ばく線量換算係数の積で計算する。</p> <p>・なお、原子炉制御室／緊急時制御室／緊急時対策所内に取り込まれた放射性物質は、室内に沈着せずに浮遊しているものと仮定する。</p> <p>・原子炉制御室／緊急時制御室／緊急時対策所内でマスク着用を考慮</p>	<p>中央制御室の運転員については建屋による遮蔽効果を考慮している。</p> <p>4.2(3)b. →審査ガイドのとおり</p> <p>中央制御室の運転員のグランドシャインによる外部被ばくについては、建屋による遮蔽効果を考慮している。</p> <p>4.2(3)c. →審査ガイドのとおり</p> <p>中央制御室内における内部被ばくについては、空气中濃度、呼吸率及び内部被ばく換算係数の積で計算した線量率を積算して計算している。</p> <p>中央制御室内では室内で放射性物質は沈着せず浮遊しているものと仮定している。</p> <p>事象発生から3時間及び入退域時にマスクを着用することとし</p>

実用発電用原子炉に係る重大事故時の制御室及び緊急時対策所の居住性に係る被ばく評価に関する審査ガイド	中央制御室の居住性に係る被ばく評価の適合状況
<p>する。その場合は、マスク着用を考慮しない場合の評価結果も提出を求める。</p> <p>d. 原子炉制御室／緊急時制御室／緊急時対策所内へ外気から取り込まれた放射性物質のガンマ線による外部被ばく</p> <ul style="list-style-type: none"> 原子炉制御室／緊急時制御室／緊急時対策所内へ外気から取り込まれた放射性物質からのガンマ線による外部被ばく線量は、室内の空气中時間積分濃度及びクラウドシャインに対する外部被ばく線量換算係数の積で計算する。 なお、原子炉制御室／緊急時制御室／緊急時対策所内に取り込まれた放射性物質は、c 項の内部被ばく同様、室内に沈着せずに浮遊しているものと仮定する。 <p>e. 放射性雲中の放射性物質からのガンマ線による入退域での外部被ばく（クラウドシャイン）</p> <ul style="list-style-type: none"> 放射性雲中の放射性物質からのガンマ線による外部被ばく線量は、空气中時間積分濃度及びクラウドシャインに対する外部被ばく線量換算係数の積で計算する。 <p>f. 地表面に沈着した放射性物質からのガンマ線による入退域での外部被ばく（グランドシャイン）</p> <ul style="list-style-type: none"> 地表面に沈着した放射性物質からのガンマ線による外部被ばく線量は、地表面沈着濃度及びグランドシャインに対する外部被ばく線量換算係数の積で計算する。 	<p>た。</p> <p>4.2(3)d. →審査ガイドのとおり</p> <p>中央制御室内に取り込まれた放射性物質からのガンマ線の外部被ばくについては、空气中濃度及びクラウドシャインに対する外部被ばく線量係数の積で計算した線量率を積算して計算している。</p> <p>中央制御室で室内に取り込まれた放射性物質は沈着せず浮遊しているものと仮定している。</p> <p>4.2(3)e. →審査ガイドのとおり</p> <p>外部被ばく線量については、空气中濃度及びクラウドシャインに対する外部被ばく線量換算係数の積で計算した線量率を積算して計算している。</p> <p>4.2(3)f. →審査ガイドのとおり</p> <p>入退域時の運転員のグランドシャインによる外部被ばくについては、地表沈着濃度及びグランドシャインに対する外部被ばく線量換算係数の積で計算した線量率を積算して計算している。考慮している。</p>

実用発電用原子炉に係る重大事故時の制御室及び緊急時対策所の居住性に係る被ばく評価に関する審査ガイド	中央制御室の居住性に係る被ばく評価の適合状況
<p>g. 放射性物質の吸入摂取による入退域での内部被ばく</p> <ul style="list-style-type: none"> 放射性物質の吸入摂取による内部被ばく線量は，入退域での空気中時間積分濃度，呼吸率及び吸入による内部被ばく線量換算係数の積で計算する。 入退域での放射線防護による被ばく低減効果を考慮してもよい。 <p>h. 被ばく線量の重ね合わせ</p> <ul style="list-style-type: none"> 同じ敷地内に複数の原子炉施設が設置されている場合，全原子炉施設について同時に事故が起きたと想定して評価を行うが，各原子炉施設から被ばく経路別に個別に評価を実施して，その結果を合算することは保守的な結果を与える。原子炉施設敷地内の地形や，原子炉施設と評価対象位置の関係等を考慮した，より現実的な被ばく線量の重ね合わせ評価を実施する場合はその妥当性を説明した資料の提出を求める。 	<p>4.2(3)g. →審査ガイドのとおり</p> <p>入退域時の運転員の内部被ばくについては，空気中濃度，呼吸率及び内部被ばく換算係数の積で計算した線量率を積算して計算している。</p> <p>マスク着用を考慮する場合は事象発生から3時間及び入退域時にマスクを着用することとした。</p> <p>4.2(3)h. →複数原子炉施設は設置されていないため考慮しない</p>

実用発電用原子炉に係る重大事故時の制御室及び緊急時対策所の居住性に係る被ばく評価に関する審査ガイド	中央制御室の居住性に係る被ばく評価の適合状況
<p>4.4 緊急時制御室又は緊急時対策所の居住性に係る被ばく評価の主要解析条件等</p> <p>(1) ソースターム</p> <p>a. 原子炉格納容器への放出割合</p> <ul style="list-style-type: none"> 原子炉格納容器への放出割合は 4.1(2)a で選定した事故シーケンスのソースターム解析結果をもとに設定する。 希ガス類, ヨウ素類, Cs 類, Te 類, Ba 類, Ru 類, Ce 類, 及び La 類を考慮する。 なお格納容器への放出割合の設定に際し, ヨウ素類の形状を適切に考慮する。 <p>(2) 非常用電源</p> <p>非常用電源の作動については 4.1(2)a で選定した事故シーケンスの事故進展解析条件を基に設定する。</p> <p>ただし, 代替交流電源からの給電を考慮する場合は, 給電までに要する余裕時間を見込むこと</p> <p>(3) 沈着・除去等</p> <p>a. 非常用ガス処理系(BWR)又はアニュラス空気浄化設備(PWR)</p> <p>非常用ガス処理系(BWR)又はアニュラス空気浄化設備(PWR)の動作については 4.1(2)a で選定した事故シーケンスの事故進展解析条件を基に設定する。</p> <p>b. 非常用ガス処理系(BWR)又はアニュラス空気浄化設備(PWR)フィル</p>	<p>4.4(1)→審査ガイドのとおり</p> <p>4.1(2)a で選定した事故シーケンスのソースターム解析結果をもとに設定している。</p> <p>希ガス類, ヨウ素類, Cs 類, Te 類, Ba 類, Ru 類, Ce 類, 及び La 類を考慮している。</p> <p>よう素の性状については, R.G.1.195 を参照している。</p> <p>4.4(2)→審査ガイドのとおり</p> <p>4.1(2)a で選定した事故シーケンスと同じ電源条件を設定している。なお, ソースターム条件設定に当たり, 代替電源からの給電に要する時間を考慮している。</p> <p>4.4(3)a→審査ガイドのとおり</p> <p>4.1(2)a で選定した事故シーケンスのソースターム解析結果をもとに非常用ガス再循環系及び非常用ガス処理系の作動を設定している。</p> <p>4.4(3)b→審査ガイドのとおり</p>

実用発電用原子炉に係る重大事故時の制御室及び緊急時対策所の居住性に係る被ばく評価に関する審査ガイド	中央制御室の居住性に係る被ばく評価の適合状況
<p>タ効率</p> <p>ヨウ素類及びエアロゾルのフィルタ効率は、使用条件での設計値を基に設定する。</p> <p>なお、フィルタ効率の設定に際し、ヨウ素類の性状を適切に考慮する。</p> <p>c. 原子炉格納容器スプレイ</p> <p>原子炉格納容器スプレイの作動については 4.1(2)a で選定した事故シーケンスの事故進展解析条件を基に設定する。</p> <p>d. 原子炉格納容器内への自然沈着</p> <p>原子炉格納容器内への自然沈着率については、実験などから得られた適切なモデルを基に設定する。</p> <p>e. 原子炉格納容器漏えい率</p> <p>原子炉格納容器漏えい率は 4.1(2)a で選定した事故シーケンスの事故進展解析条件を基に設定する。</p> <p>f. 原子炉制御室の非常用換気空調設備</p> <p>原子炉制御室の非常用換気空調設備の作動については、非常用電源の作動状態を基に設定する。</p> <p>(4) 大気拡散</p> <p>a. 放出開始時刻及び放出継続時間</p> <p>・放射性物質の大気中への放出開始時刻及び放出継続時間は、4.1(2)a</p>	<p>非常用ガス再循環系及び非常用ガス処理系のフィルタ効率は期待しない。</p> <p>4.4(3)c→審査ガイドのとおり</p> <p>格納容器スプレイの作動については4.1(2)aで選定した事故シーケンスの事故進展解析条件を基に設定している。</p> <p>4.4(3)d→審査ガイドのとおり</p> <p>格納容器内への自然沈着率については、CSE 実験による知見を反映したモデルとしている。</p> <p>4.4(3)e→審査ガイドのとおり</p> <p>原子炉格納容器漏えい率については4.1(2)aで選定した事故シーケンスの事故進展解析条件を基に設定している。</p> <p>4.4(3)f→審査ガイドのとおり</p> <p>中央制御室非常用循環設備の起動時間については全交流動力電源喪失祖想定した遅れを有効性評価で設定した2時間として評価した。</p> <p>4.4(4)a. →審査ガイドのとおり</p> <p>放射性物質の大気中への放出開始時刻は4.1(2)aで選定した事</p>

実用発電用原子炉に係る重大事故時の制御室及び緊急時対策所の居住性に係る被ばく評価に関する審査ガイド	中央制御室の居住性に係る被ばく評価の適合状況
<p>で選定した事故シーケンスの事故進展解析条件を基に設定する。</p> <p>b. 放出源高さ</p> <p>放出源高さは、4.1(2)a で選定した事故シーケンスに応じた放出口からの放出を仮定する。4.1(2)a で選定した事故シーケンスのソースターム解析結果を基に、放出エネルギーを考慮してもよい。</p> <p>(5) 線量評価</p> <p>a. 原子炉建屋内の 放射性物質からのガンマ線による原子炉制御室内での外部被ばく</p> <ul style="list-style-type: none"> ・ 4.1(2)a で選定した事故シーケンスのソースターム解析結果を基に、想定事故時に原子炉格納容器から原子炉建屋内に放出された放射性物質を設定する。この原子炉建屋内の放射性物質をスカイシャインガンマ線及び直接ガンマ線の線源とする。 ・ 原子炉建屋内の放射性物質は自由空間容積に均一に分布するものとして、事故後 7 日間の積算線源強度を計算する。 ・ 原子炉建屋内の放射性物質からのスカイシャインガンマ線及び直接ガンマ線による外部被ばく線量は、積算線源強度、施設の位置、遮へい構造及び地形条件から計算する。 	<p>故シーケンスのソースターム解析結果をもとに設定している。</p> <p>放射性物質の大気中への放出継続時間は、保守的に 1 時間としている。</p> <p>4.4(4)b. →審査ガイドのとおり</p> <p>放出源高さは、地上放出を仮定する。放出エネルギーは考慮していない。</p> <p>4.4(5)a→審査ガイドのとおり</p> <p>4.1(2)a で選定した事故シーケンスの解析結果を基に、想定事故時に原子炉建屋内に放出された放射性物質を設定し、スカイシャインガンマ線及び直接ガンマ線の線源としている。</p> <p>原子炉建屋内の放射性物質は、自由空間体積に均一に分布しているものとして計算している。</p> <p>原子炉建屋内の放射性物質からのスカイシャインガンマ線及び直接ガンマ線による外部被ばく線量は、積算線源強度、施設の位置・地形条件（線源位置と評価点との距離等）、遮蔽構造（原子炉建屋外部遮蔽構造、中央制御室遮蔽構造）から計算している。直接ガンマ線による外部被ばく線量を $QAD-CGGP2R$ コ</p>

<p>実用発電用原子炉に係る重大事故時の制御室及び緊急時対策所の居住性に係る被ばく評価に関する審査ガイド</p>	<p>中央制御室の居住性に係る被ばく評価の適合状況</p>
<p>b. 原子炉建屋内の放射性物質からのガンマ線による入退域での外部被ばく</p> <ul style="list-style-type: none"> ・スカイシャインガンマ線及び直接ガンマ線の線源は，上記 a と同様に設定する。 ・積算線源強度，原子炉建屋内の放射性物質からのスカイシャインガンマ線及び直接ガンマ線による外部被ばく線量は，上記 a と同様に設定する。 	<p>ード，スカイシャインガンマ線による外部被ばく線量を A N I S Nコード及び G 3 3－G P 2 Rコードで計算している。</p> <p>原子炉建屋内の放射性物質からのスカイシャインガンマ線及び直接ガンマ線による入退域時の外部被ばく線量は，4.3(5)a と同様の計算している。</p>

中央制御室の居住性に係る被ばく評価の適合状況

中核部御案内での積欠	①線子で壁間の被け紙を貼るものガシヤ板による積欠 (風流及びスライヤンゲンガ板による外部積欠) ②大気より放出された放射性物質による積欠 (クワドシヤン及びグランドシヤンによる外部積欠) ③窓から中核部室内へ取り込まれた放射性物質による積欠 (空気中から取り込まれた放射性物質による外部積欠)
人混での積欠	①線子で壁間の被け紙を貼るものガシヤ板による積欠 (風流及びスライヤンゲンガ板による外部積欠) ②大気より放出された放射性物質による積欠 (クワドシヤン及びグランドシヤンによる外部積欠)

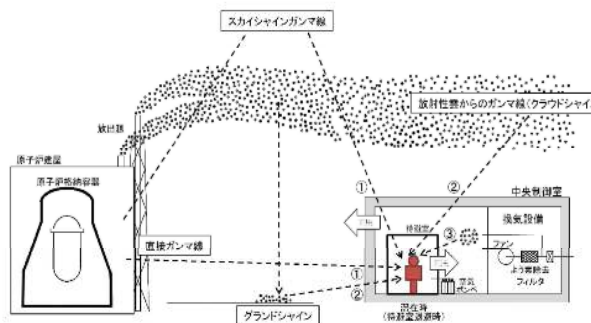


図 1→審査ガイドのとおり

実用発電用原子炉に係る重大事故時の制御室及び緊急時対策所の居住性に係る被ばく評価に関する審査ガイド

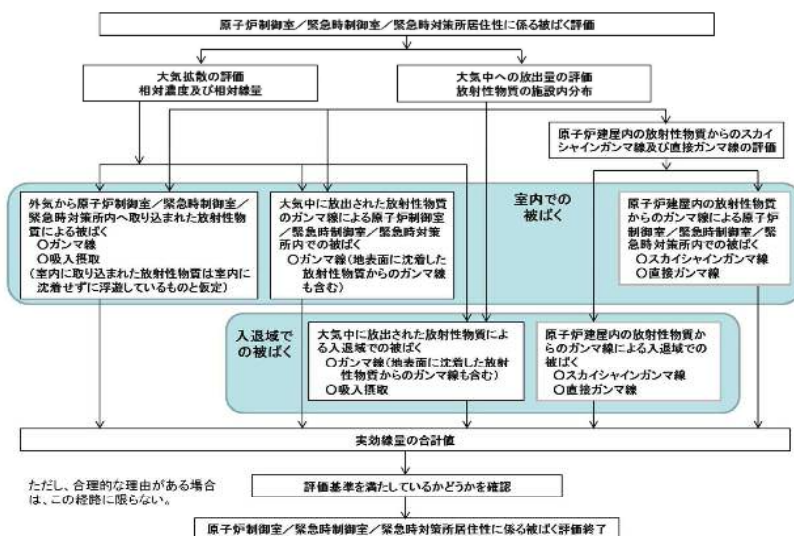


図3 原子炉制御室／緊急時制御室／緊急時対策所の居住性に係る被ばく評価手順

中央制御室の居住性に係る被ばく評価の適合状況

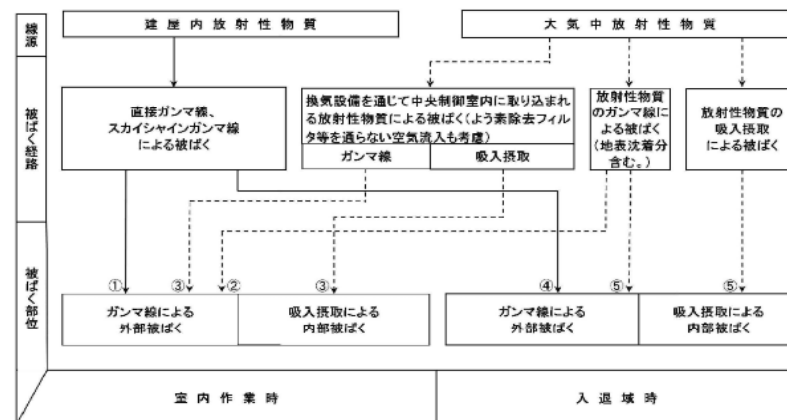
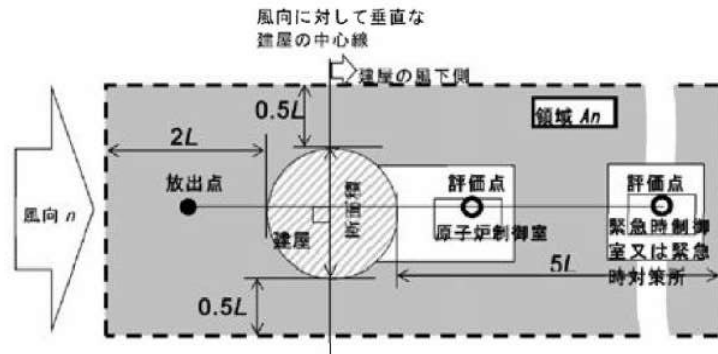


図3→審査ガイドのとおり

実用発電用原子炉に係る重大事故時の制御室及び緊急時対策所の居住性に係る被ばく評価に関する審査ガイド

中央制御室の居住性に係る被ばく評価の適合状況



注：L 建屋又は建屋群の風向に垂直な面での高さ又は幅の小さい方

図4 建屋影響を考慮する条件（水平断面での位置関係）

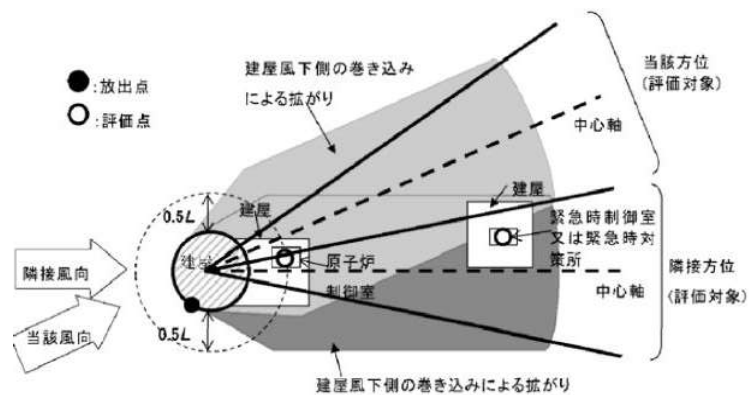


図5 建屋後流での巻き込み影響を受ける場合の考慮すべき方位

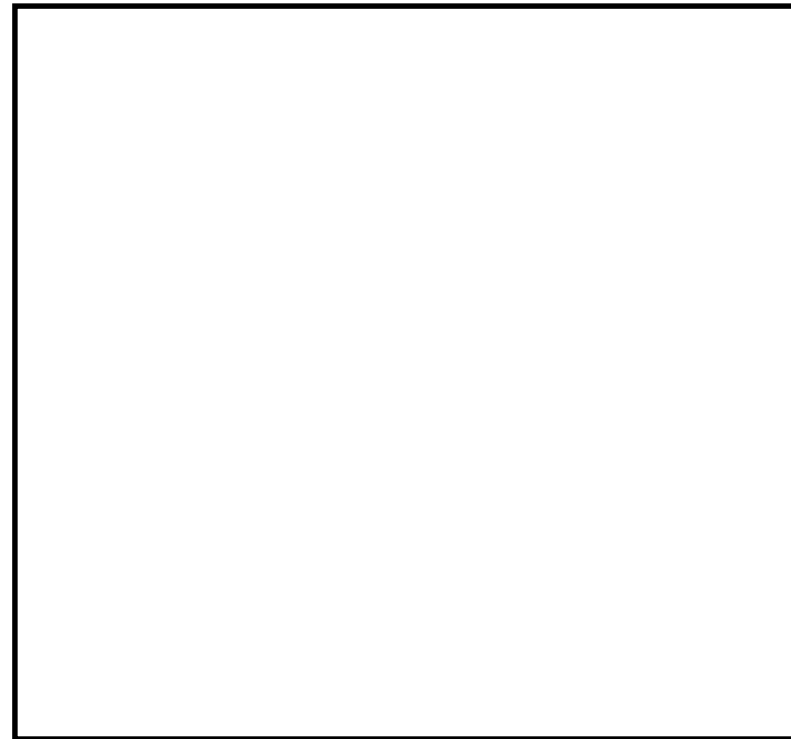

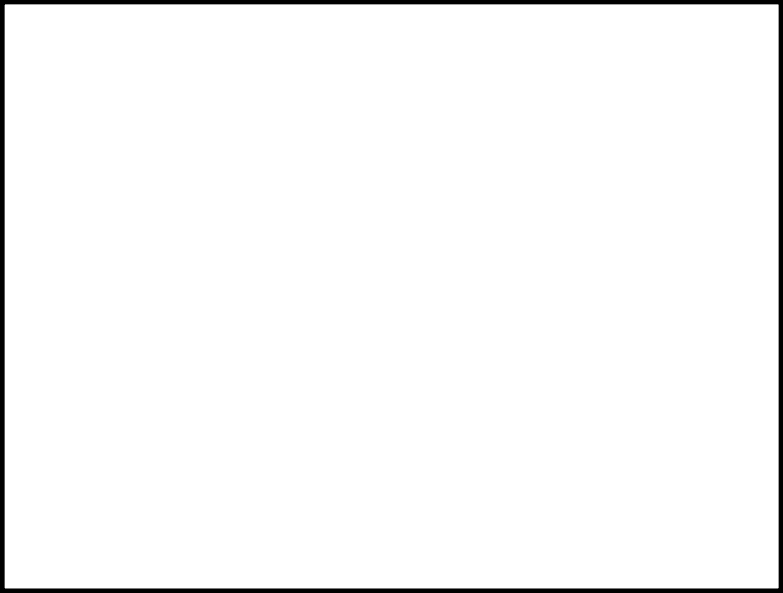
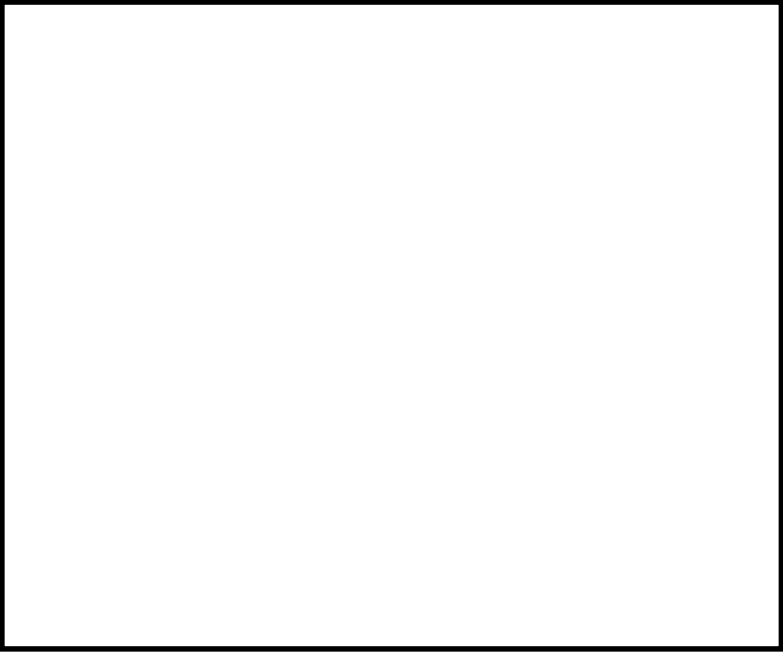


図4、図5→審査ガイドのとおり

実用発電用原子炉に係る重大事故時の制御室及び緊急時対策所の居住性に係る被ばく評価に関する審査ガイド	中央制御室の居住性に係る被ばく評価の適合状況
	<div data-bbox="1171 384 1951 956"></div> <p data-bbox="1144 1018 1543 1050">図 4, 図 5→審査ガイドのとおり</p>

実用発電用原子炉に係る重大事故時の制御室及び緊急時対策所の居住性に係る被ばく評価に関する審査ガイド	中央制御室の居住性に係る被ばく評価の適合状況
	<div data-bbox="1171 371 1951 967"></div> <p data-bbox="1144 1066 1543 1098">図 4, 図 5→審査ガイドのとおり</p>

実用発電用原子炉に係る重大事故時の制御室及び緊急時対策所の居住性に係る被ばく評価に関する審査ガイド	中央制御室の居住性に係る被ばく評価の適合状況
	<div data-bbox="1171 336 1951 991" data-label="Image"></div> <p data-bbox="1144 1066 1543 1098">図 4, 図 5→審査ガイドのとおり</p>

実用発電用原子炉に係る重大事故時の制御室及び緊急時対策所の居住性に係る被ばく評価に関する審査ガイド

中央制御室の居住性に係る被ばく評価の適合状況

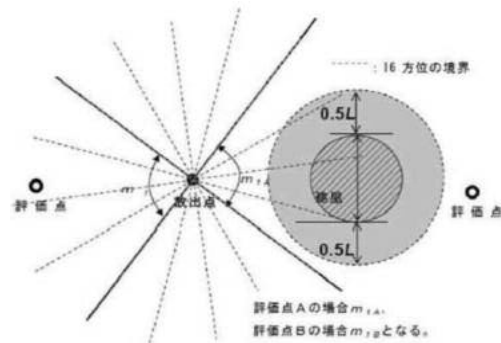


図6 建物の風下側で放射性物質が巻き込まれる風向の方位 m_1 の選定方法
(水平断面での位置関係)

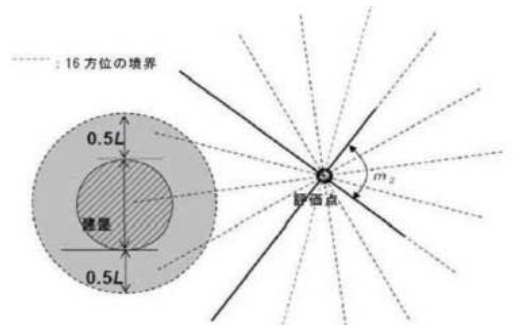
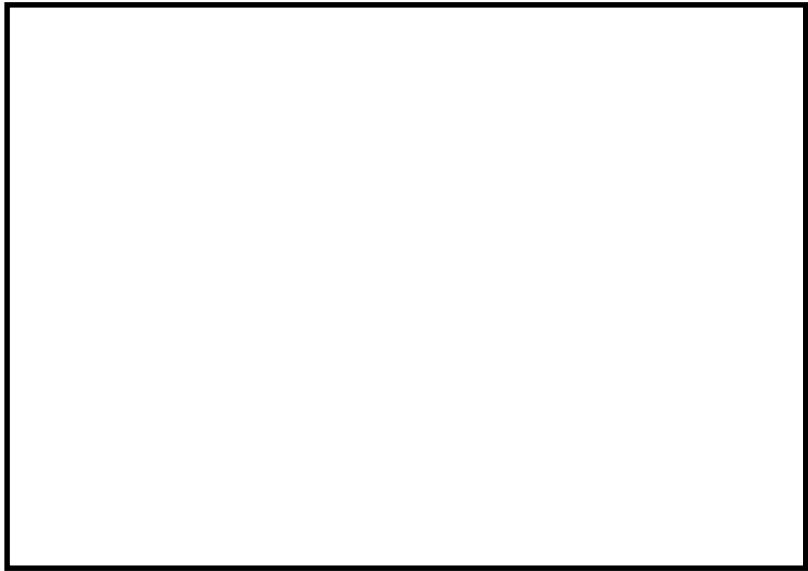
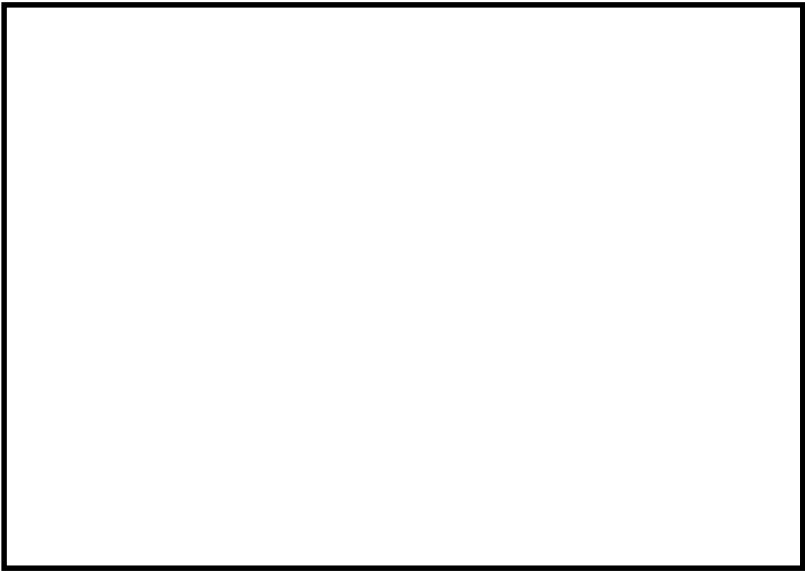
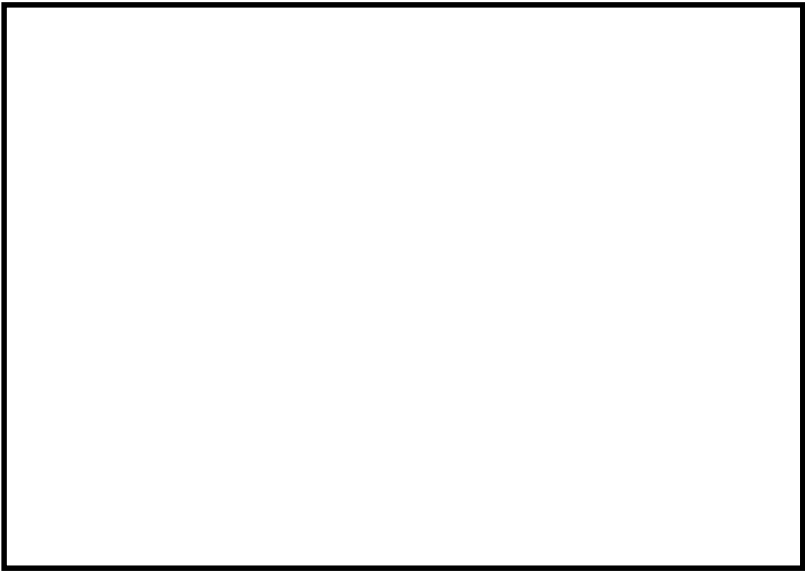


図7 建物の風下側で巻き込まれた大気の評価点に到達する
風向の方位 m_2 の選定方法(水平断面での位置関係)

図6, 図7→審査ガイドのとおり

実用発電用原子炉に係る重大事故時の制御室及び緊急時対策所の居住性に係る被ばく評価に関する審査ガイド	中央制御室の居住性に係る被ばく評価の適合状況
	<div data-bbox="1137 379 1942 952"></div> <p data-bbox="1137 1018 1543 1050">図 6，図 7→審査ガイドのとおり</p>

実用発電用原子炉に係る重大事故時の制御室及び緊急時対策所の居住性に係る被ばく評価に関する審査ガイド	中央制御室の居住性に係る被ばく評価の適合状況
	<div data-bbox="1140 379 1942 952"></div> <p data-bbox="1140 970 1543 1002">図 6, 図 7→審査ガイドのとおり</p>

実用発電用原子炉に係る重大事故時の制御室及び緊急時対策所の居住性に係る被ばく評価に関する審査ガイド	中央制御室の居住性に係る被ばく評価の適合状況
	<div data-bbox="1140 379 1942 952"></div> <p data-bbox="1140 1018 1543 1050">図 6，図 7→審査ガイドのとおり</p>

実用発電用原子炉に係る重大事故時の制御室及び緊急時対策所の居住性に係る被ばく評価に関する審査ガイド

中央制御室の居住性に係る被ばく評価の適合状況

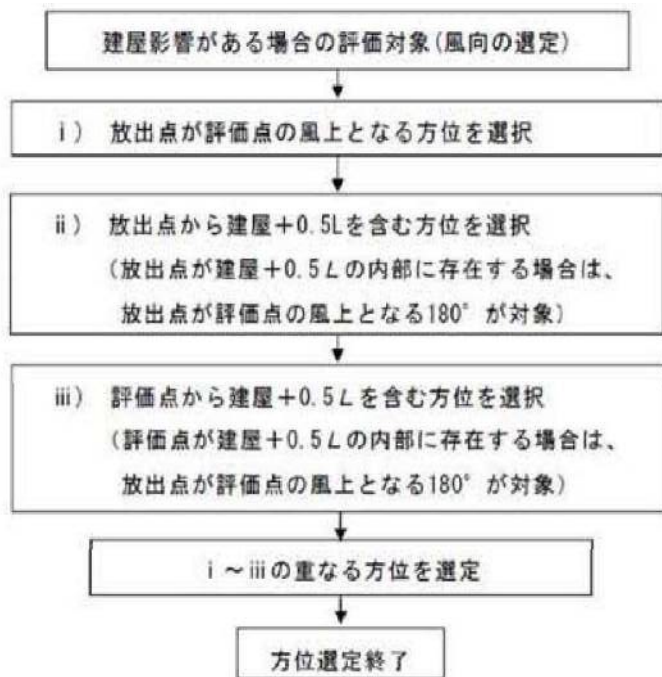


図8 建屋の影響がある場合の評価対象方位選定手順

図8→審査ガイドのとおり

実用発電用原子炉に係る重大事故時の制御室及び緊急時対策所の居住性に係る被ばく評価に関する審査ガイド

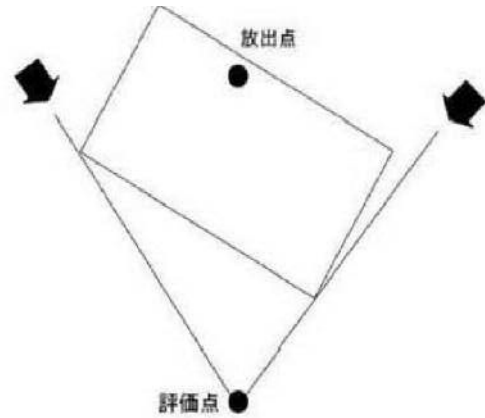


図9 評価対象方位の選定

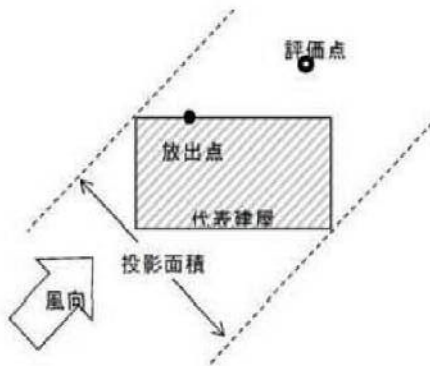
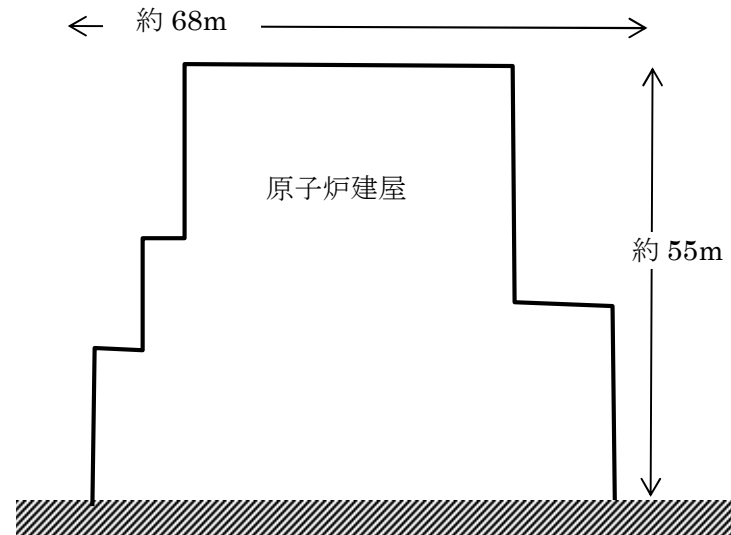


図10 風向に垂直な建屋投影面積の考え方

中央制御室の居住性に係る被ばく評価の適合状況



注)南側から見た投影面積

図 9, 図 10→審査ガイドのとおり

2.4 換気設備・加圧設備について

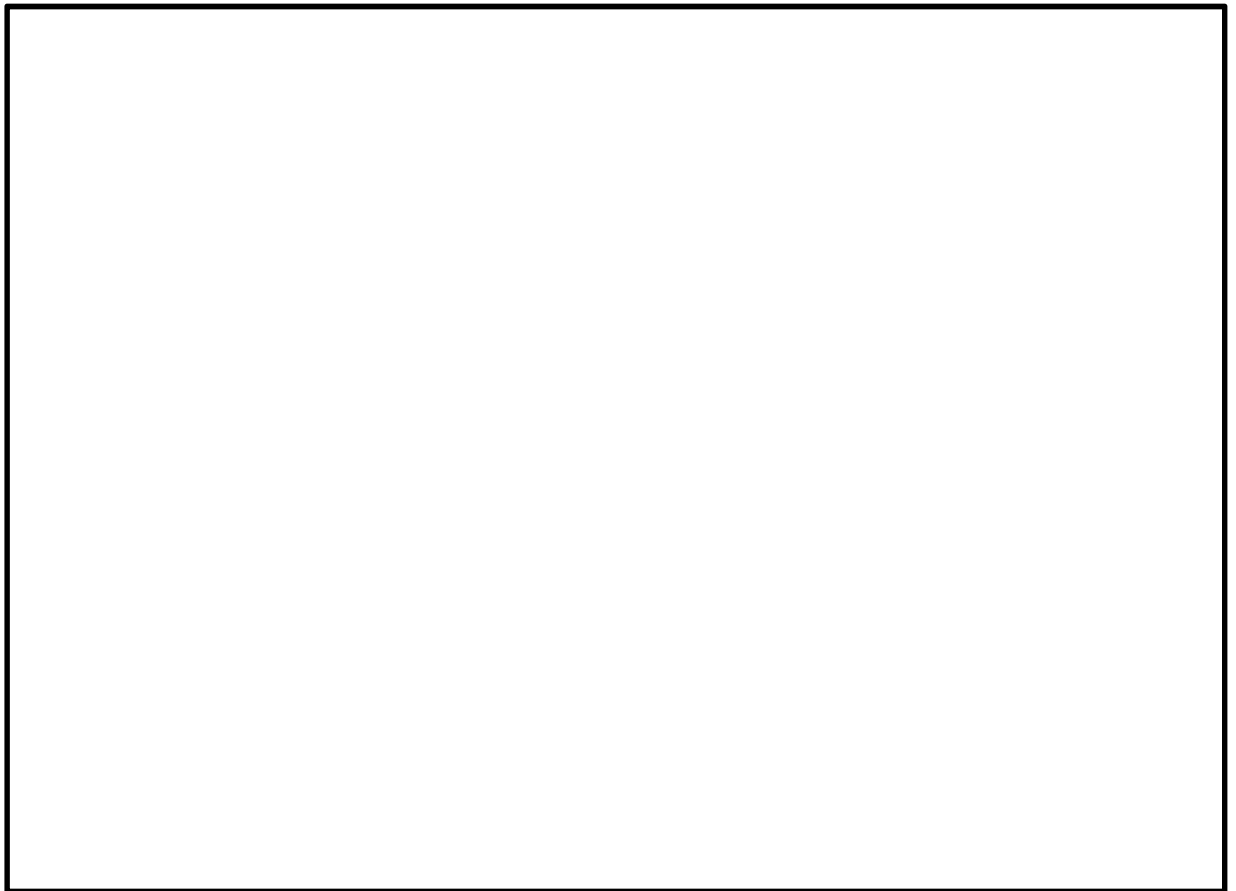
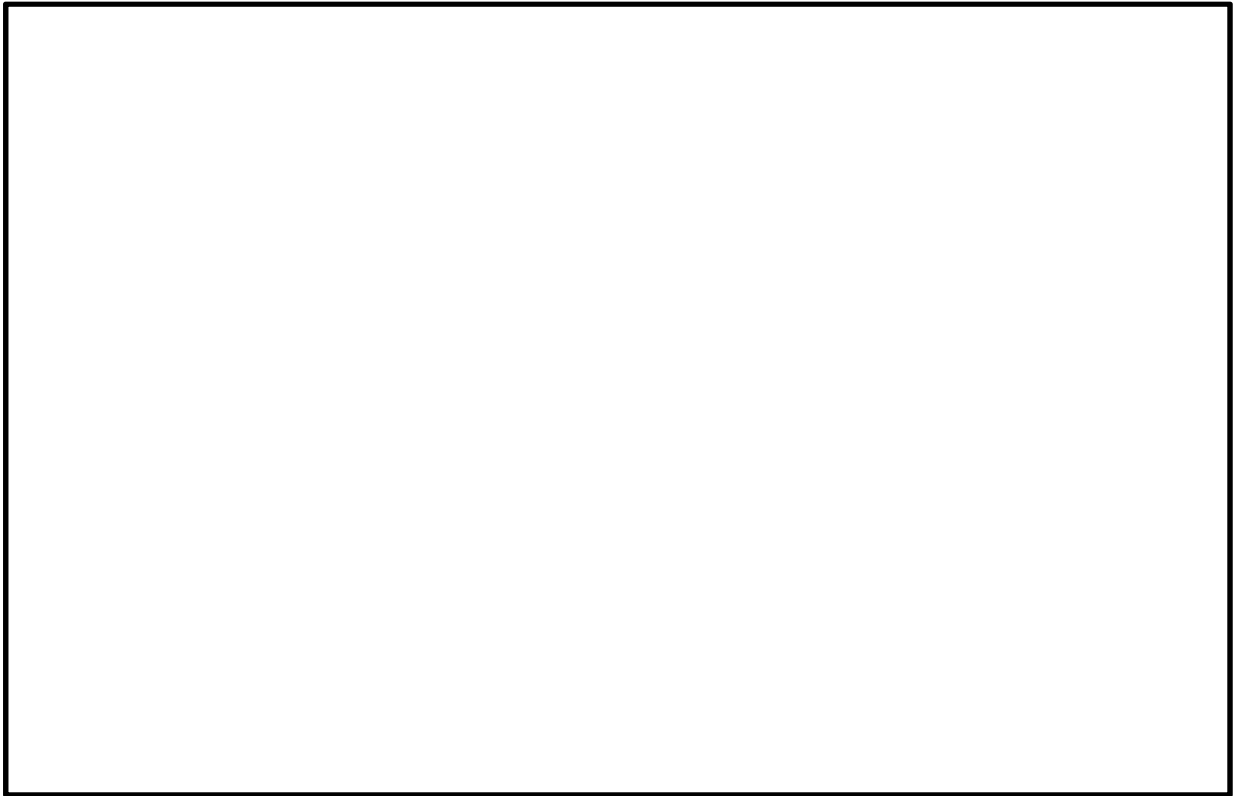
重大事故等の発生により，大気中に大量の放射性物質が放出された場合においても，緊急時対策所にとどまる要員の居住性を確保するため，緊急時対策所非常用換気設備として「緊急時対策所非常用送風機」，「緊急時対策所非常用フィルタ装置」を緊急時対策所建屋内に設置する。

また，プルーム通過時の緊急時対策所の対策要員への被ばく防止対策として「緊急時対策所加圧設備」により緊急時対策所等^{*1}を加圧することにより，緊急時対策所等への放射性物質の流入を防止する。

なお，緊急時対策所は，隔離時でも酸素濃度計及び二酸化炭素濃度計により，居住性が維持されていることを確認する。

換気設備等の設備構成図及び緊急時対策所建屋内の換気設備による浄化、加圧設備による加圧エリアを第 2.4-1 図に示す。

＊1 緊急時対策所等：ボンベ加圧する「災害対策本部室」，「宿泊・休憩室」，「食料庫」，「エアロック室」，「災害対策本部空調機械室」を指す。
(以下同様とする)



第 2.4-1 図 換気設備等の設備構成図及び緊急時対策所建屋内の換気設備
による浄化、加圧設備による加圧エリア

(1) 換気設備等の設置概要

緊急時対策所の換気設備等は、重大事故等発生により緊急時対策所の周辺環境が放射性物質により汚染したような状況下でも、緊急時対策所にとどまる要員の居住性を確保できる設計とし、以下の設備で構成する。

また、換気設備等の概略系統図を第 2.4-2 図に示す。

a. 緊急時対策所送風機

台 数 : 1 台 (予備 1)
容 量 : $26,650\text{m}^3/\text{h}$ (1 台当たり)
設置場所 : 緊急時対策所建屋 4 階

b. 緊急時対策所非常用送風機

台 数 : 1 台 (予備 1)
容 量 : $5,000\text{m}^3/\text{h}$ (1 台当たり)
設置場所 : 緊急時対策所建屋 3 階

c. 緊急時対策所排風機

台 数 : 1 台 (予備 1)
容 量 : $5,000\text{m}^3/\text{h}$ (1 台当たり)
設置場所 : 緊急時対策所建屋 4 階

d. 緊急時対策所非常用フィルタ装置

基 数 : 1 基 (予備 1)
よう素除去効率 : 99%以上 (相対湿度 70%以下において)
(1 基当たり)
粒子除去効率 : 99.9%以上 (1 基当たり)
設置場所 : 緊急時対策所建屋 3 階

e. 緊急時対策所加圧設備

型 式 : 緊急時対策所用空気ポンベ
本 数 : 320 本 (予備 80 本)
保管場所 : 緊急時対策所建屋 1 階

f. 緊急時対策所用差圧計

個 数 : 1個
測定範囲 : 0.0～20.0 Pa以上
設置場所 : 緊急時対策所 (緊急時対策所建屋2階)

* 各設備の設置場所は, (61-9-1-2 第1.1-1図参照)

緊急時対策所送風機, 緊急時対策所非常用送風機, 緊急時対策所非常用フィルタ装置の各風量は, 緊急時対策所の二酸化炭素濃度抑制に必要な換気量及び他エリアの換気回数等から設定している。

また, 緊急時対策所加圧設備用空気ポンベの本数は, プルーム放出時間の10時間に, プルーム通過後の加圧設備から非常用換気設備への切り替え時間を考慮した2時間を加え, さらに2時間の余裕をもたせ14時間分とし, 緊急時対策所等を14時間正圧維持等できる空気供給量から設定している。

緊急時対策所の非常用換気設備操作盤には差圧計を設置し, 緊急時対策所が正圧化されていることを確認, 把握可能な設計とする。



第 2.4－2 図 換気設備等の概略系統図

(2) 換気設備の目的等

名称	目的等
<ul style="list-style-type: none">・ 緊急時対策所非常用送風機・ 緊急時対策所非常用フィルタ装置・ 災害対策本部隔離弁（電動）	<ul style="list-style-type: none">・ 重大事故等の発生により，大気中に大量の放射性物質が放出された場合においても，緊急時対策所にとどまる要員の居住性を確保・ 緊急時対策所非常用送風機及び緊急時対策所非常用フィルタ装置については，100%×2 台を緊急時対策所建屋内に設置・ プルーム通過時に災害対策本部隔離弁（電動）を閉止し，緊急時対策所への希ガス等の流入を防止する
<ul style="list-style-type: none">・ 緊急時対策所用差圧計	<ul style="list-style-type: none">・ 緊急時対策所が正圧化（20Pa 以上）されていることを確認，把握
<ul style="list-style-type: none">・ 緊急時対策所加圧設備	<ul style="list-style-type: none">・ 緊急時対策所等を，緊急時対策所用空気ポンプを用いて加圧することによって，プルーム通過時の緊急時対策所への希ガス等の流入を防止
<ul style="list-style-type: none">・ 酸素濃度計（可搬型） （測定範囲：0.0～40.0vol%）・ 二酸化炭素濃度計（可搬型） （測定範囲：0.0～5.0vol%）	<ul style="list-style-type: none">・ 緊急時対策所への空気取り込みを一時的に停止した場合でも，緊急時対策所の酸素濃度及び二酸化炭素濃度が事故対策等の活動に支障がない範囲（酸素濃度：19.0vol%以上，二酸化炭素濃度：1.0vol%以下）であることを把握

(3) 緊急時対策所非常用フィルタ装置

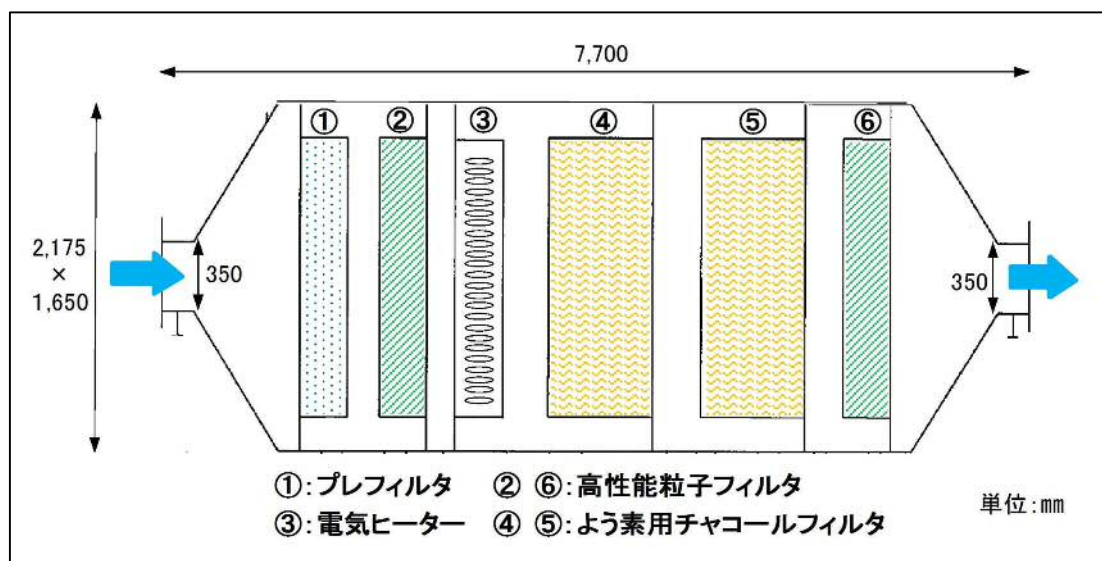
希ガス以外の放射性物質への対応として非常用フィルタ装置を設置する。

以下にフィルタ装置について示す。

a. 非常用フィルタ装置の概要

非常用フィルタ装置には，大気中の塵埃を捕集する「プレフィルタ」，気体状の放射性よう素を除去低減する「よう素用チャコールフィルタ」及び放射性微粒子を除去低減する「高性能粒子フィルタ」で構成し，100%容量×2 基を設置する設計としている。

非常用フィルタ装置の概要図を第 2.4-3 図に示す。



第 2.4-3 図 非常用フィルタ装置の概要図

b. フィルタの除去率

よう素用チャコールフィルタ及び高性能粒子フィルタの単体及び総合除去効率を以下に示す。

名 称		非常用フィルタ装置		
種 類		—	よう素用チャコールフィルタ	高性能粒子フィルタ
効 率	単体除去効率	%	99.7 以上 (相対湿度 70%以下において)	99.97 以上 (0.15 μ m 粒子)
	総合除去効率※	%	99.7 以上 (相対湿度 70%以下において)	99.99 以上 (0.5 μ m 粒子)

※総合除去効率とは、フィルタを非常用フィルタ装置に装着した使用状態での効率であり、よう素用チャコールフィルタを直列に設置し、また、高性能粒子フィルタを、よう素用チャコールフィルタの上流と下流に設置することにより、単体除去効率より向上を図る。

c. フィルタの除去性能

フィルタの除去性能（効率）については、以下の性能検査を定期的に実施し、確認する。

- (a) 微粒子除去効率検査
- (b) 放射性よう素除去効率検査
- (c) 総合除去効率検査

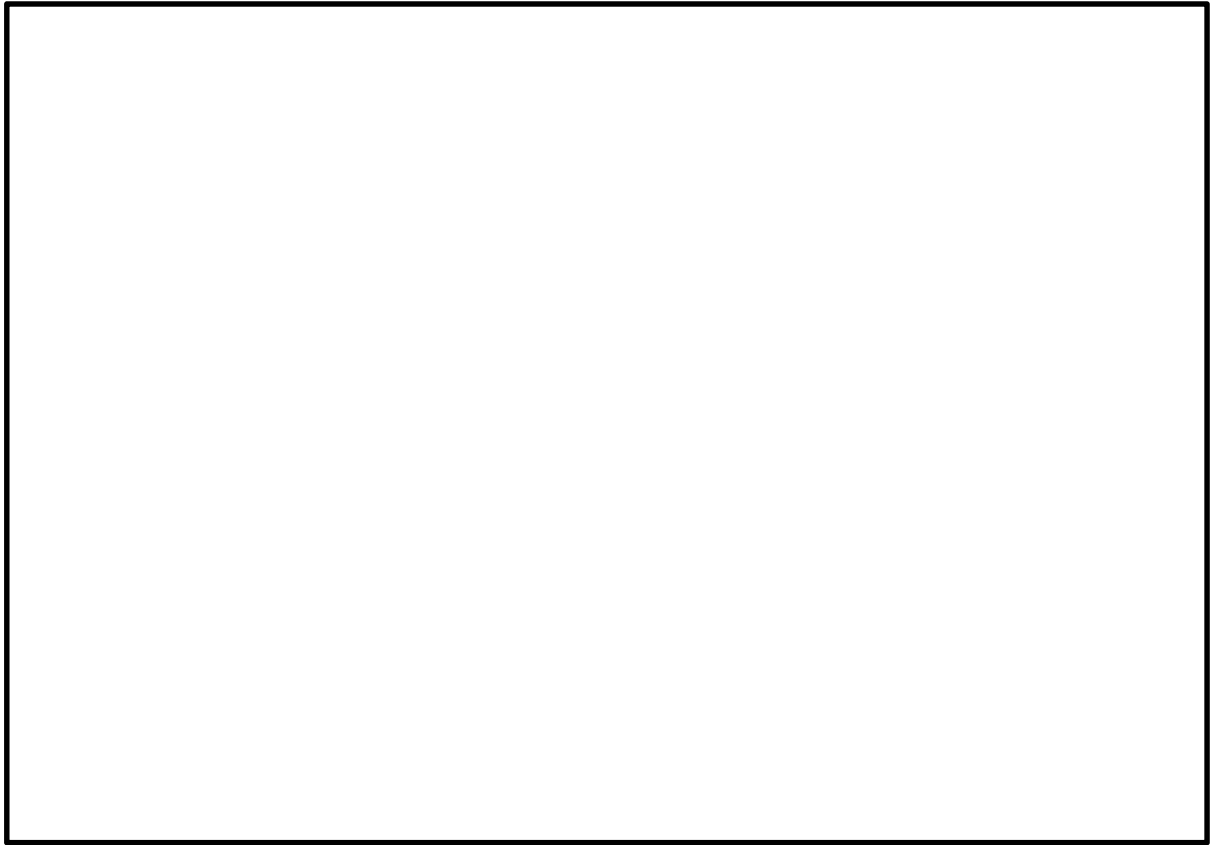
d. フィルタの使用期間

高性能フィルタの前にプレフィルタを設置することにより、粉塵などの影響によるよう素用チャコールフィルタの差圧が過度に上昇することを抑えることができるため、フィルタ装置は長期間の使用が可能である。

また、フィルタ装置は 100% 容量×2 基を設置し、緊急時対策所内の制御盤により操作が可能な設計としている。

(4) 換気設備等の運用

原子炉格納容器破損によるプルームへの対応は、災害対策本部隔離弁（電動）（以下「隔離弁」という。）を閉とし、緊急時対策所外との空気の流れを遮断し、緊急時対策所等を緊急時対策所加圧設備（以下「加圧設備」という。）により加圧することによって、緊急時対策所等への放射性物質の流入を防止する。プルーム通過時の対応の概要図を第 2.4-4 図に示す。



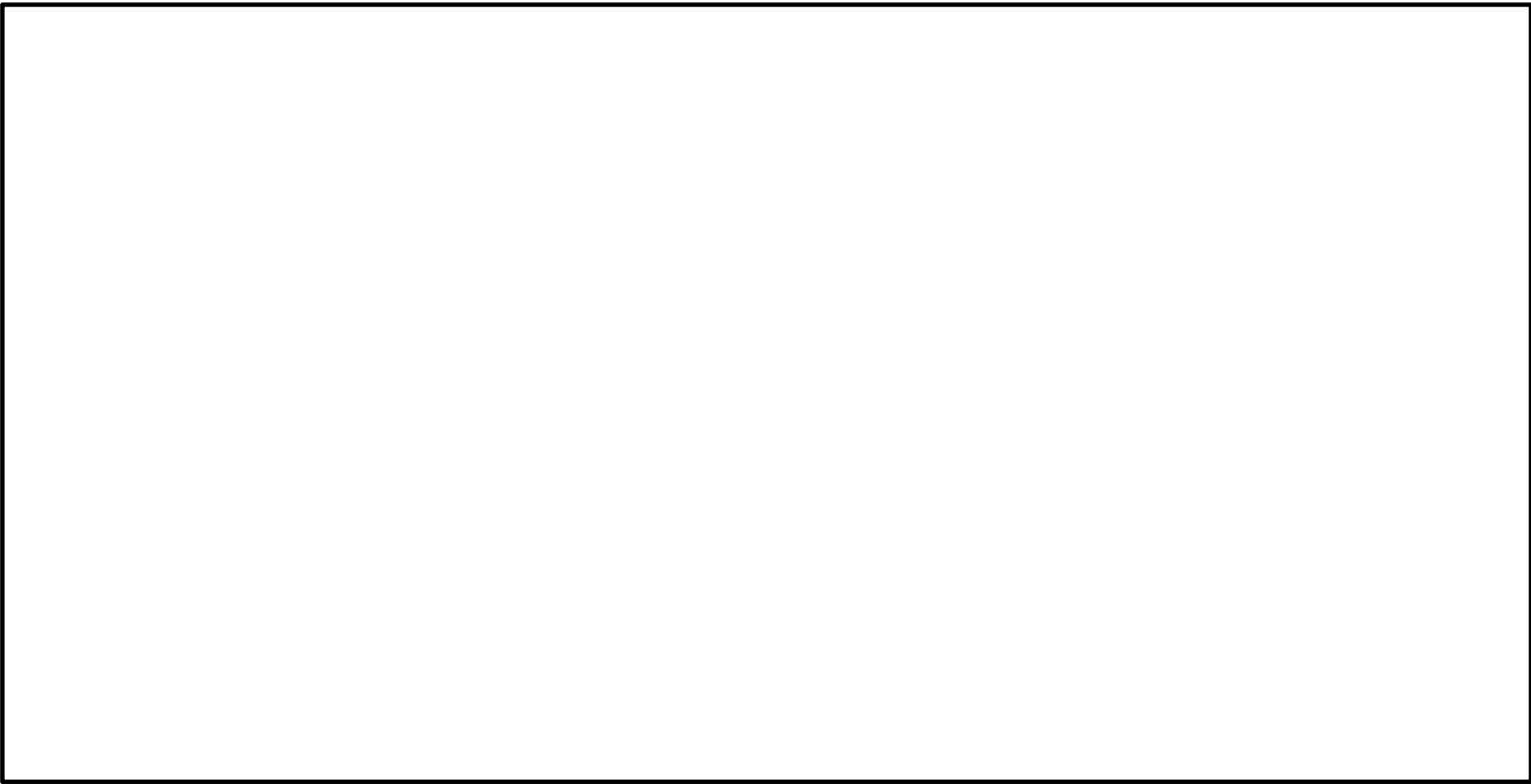
第 2.4-4 図 プルーム通過時の換気設備概要図

可搬型モニタリング・ポストでプルームの放出を確認した場合には，隔離弁を閉止する。

更に，緊急時対策所エリアモニタの指示上昇を確認した場合には，加圧設備（空気ボンベ加圧）により緊急時対策所等を加圧し，緊急時対策所等への放射性物質の流入を防止する。

原子炉格納容器の圧力が低下安定し，緊急時対策所エリアモニタの指示値がプルーム通過後安定した段階で，隔離弁を開とする。換気設備の運用イメージを第 2.4-5 図に示す。

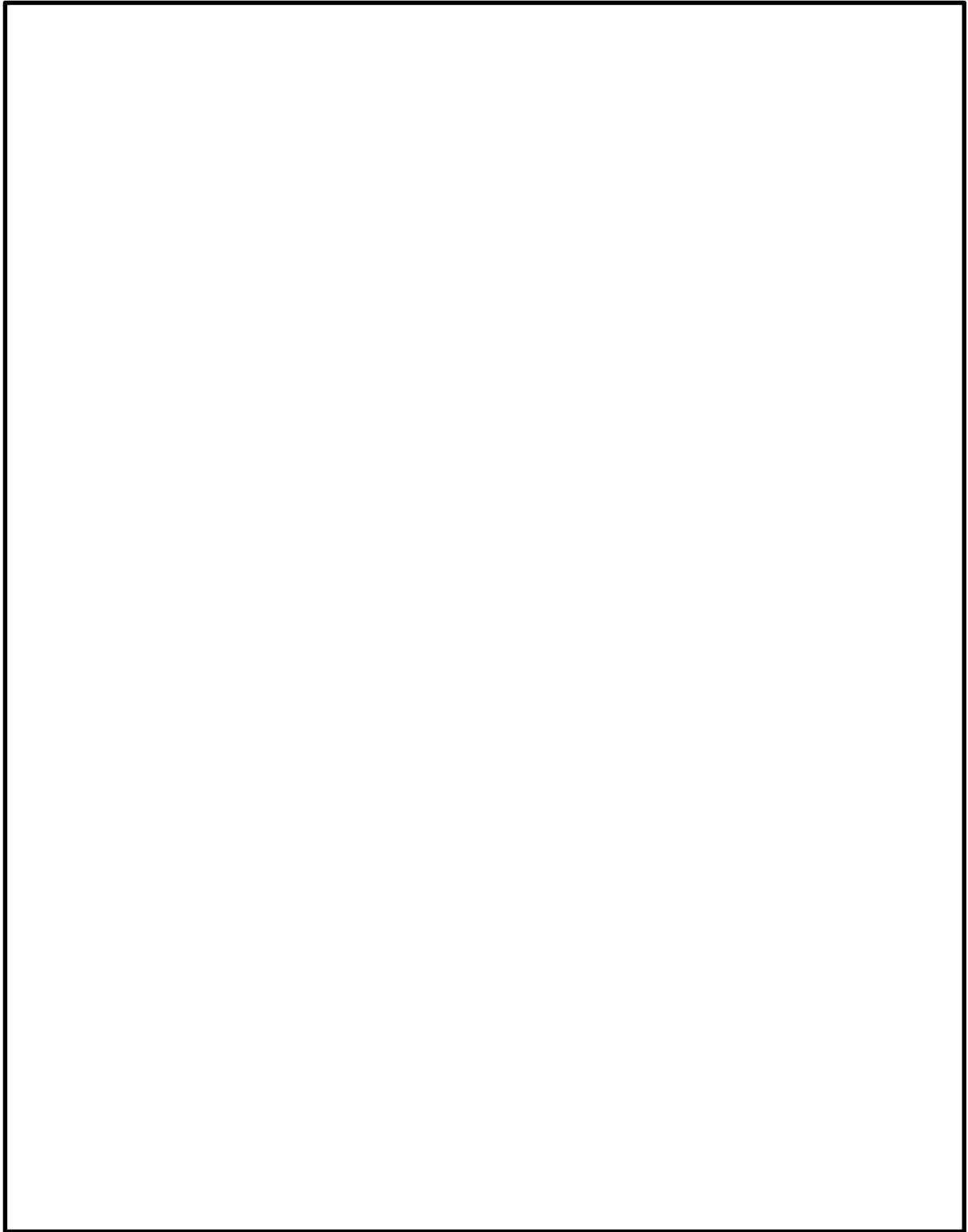
なお，「緊急時対策所の居住性評価に係る被ばく評価」では，「実用発電用原子炉に係る重大事故時の制御室及び緊急時対策所の居住性に係る被ばく評価に関する審査ガイド」（平成 25 年 6 月 19 日）に基づき，事故発生後 24 時間後から 10 時間放出が継続する評価条件としている。



第 2.4-5 図 換気設備等の運用イメージ

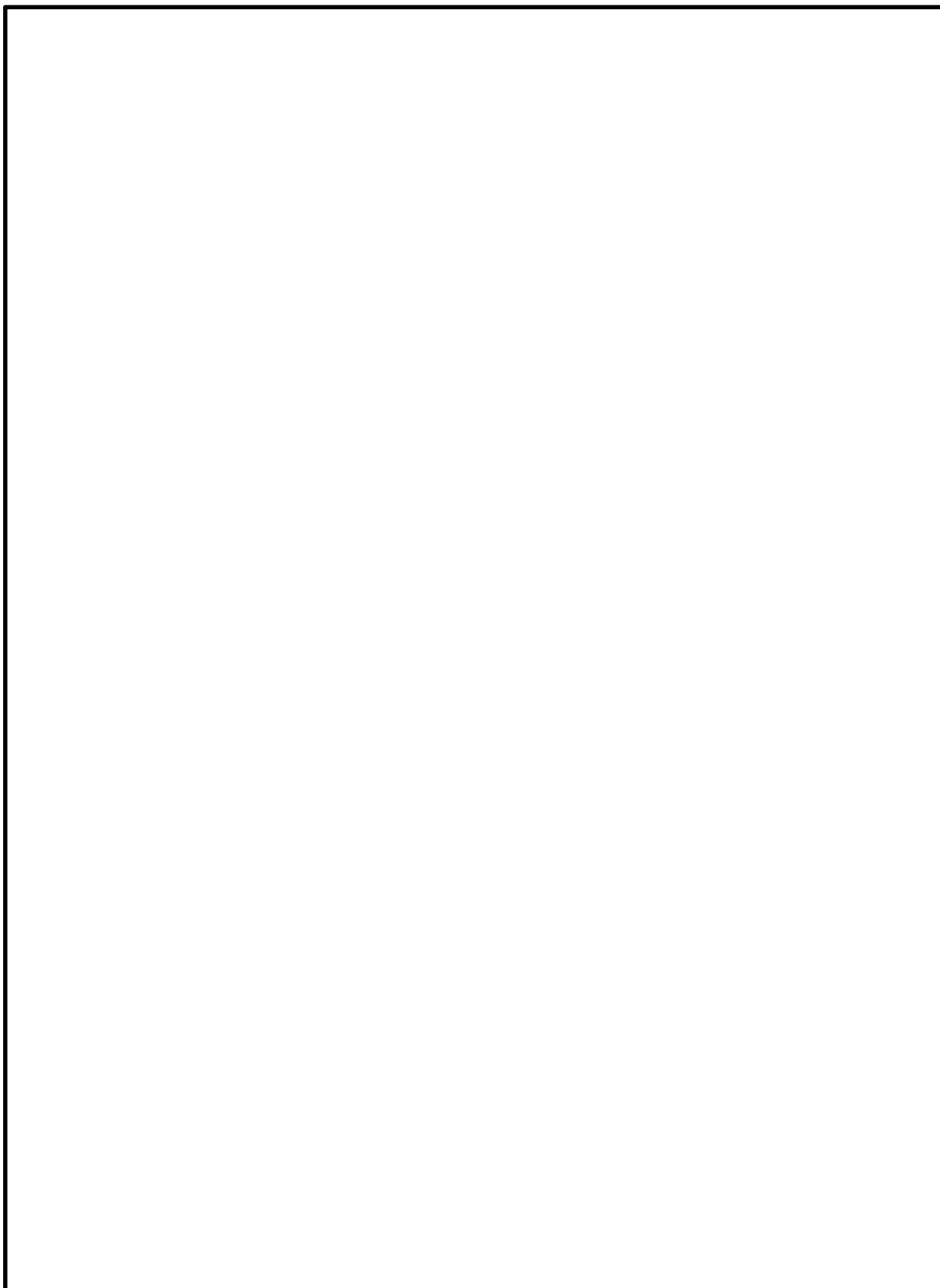
(5) 換気設備等の運転状態

① 通常運転



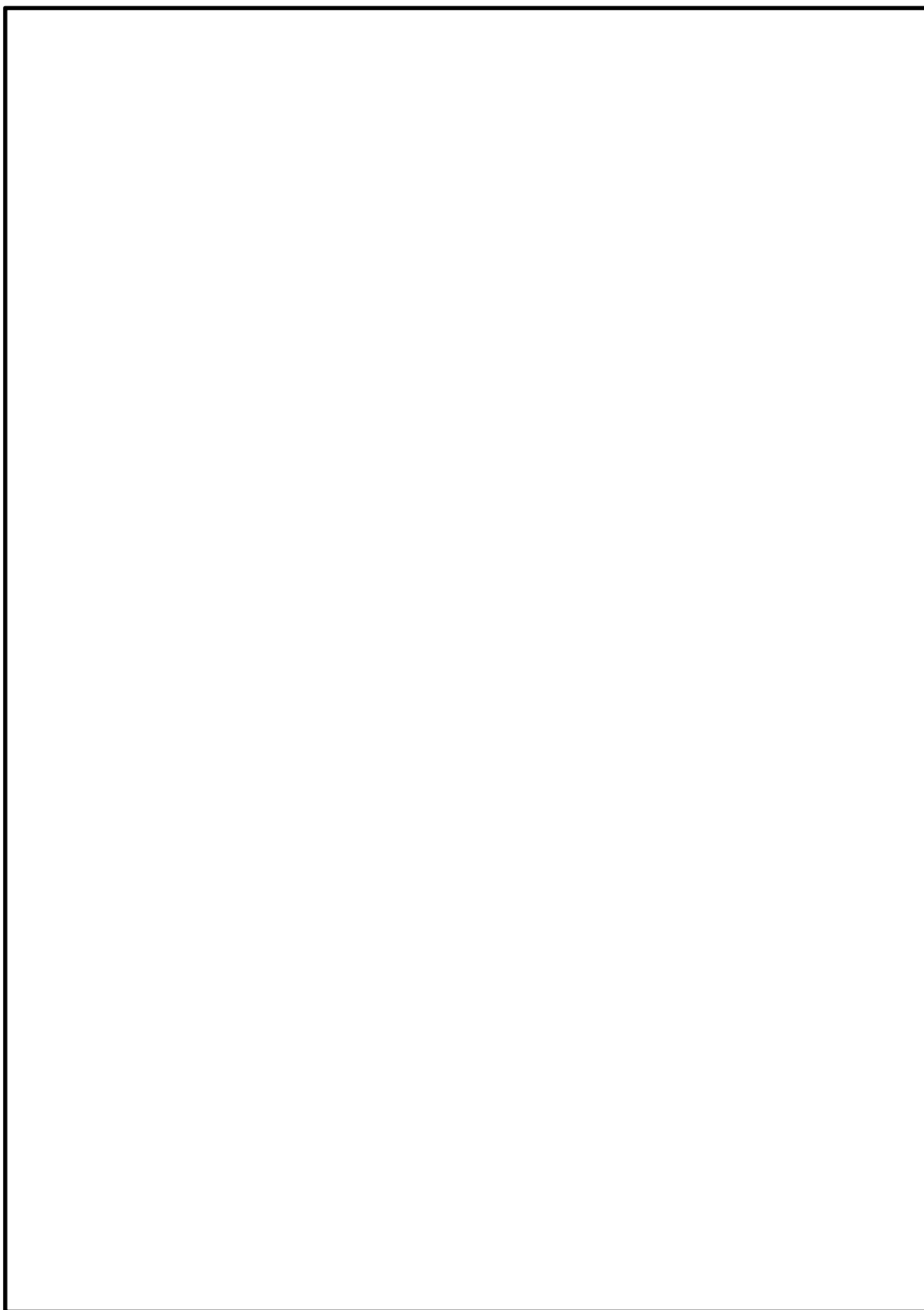
第 2.4-6 図 換気設備等の概要系統図（通常運転）

② 非常時運転（緊対建屋加圧モード）



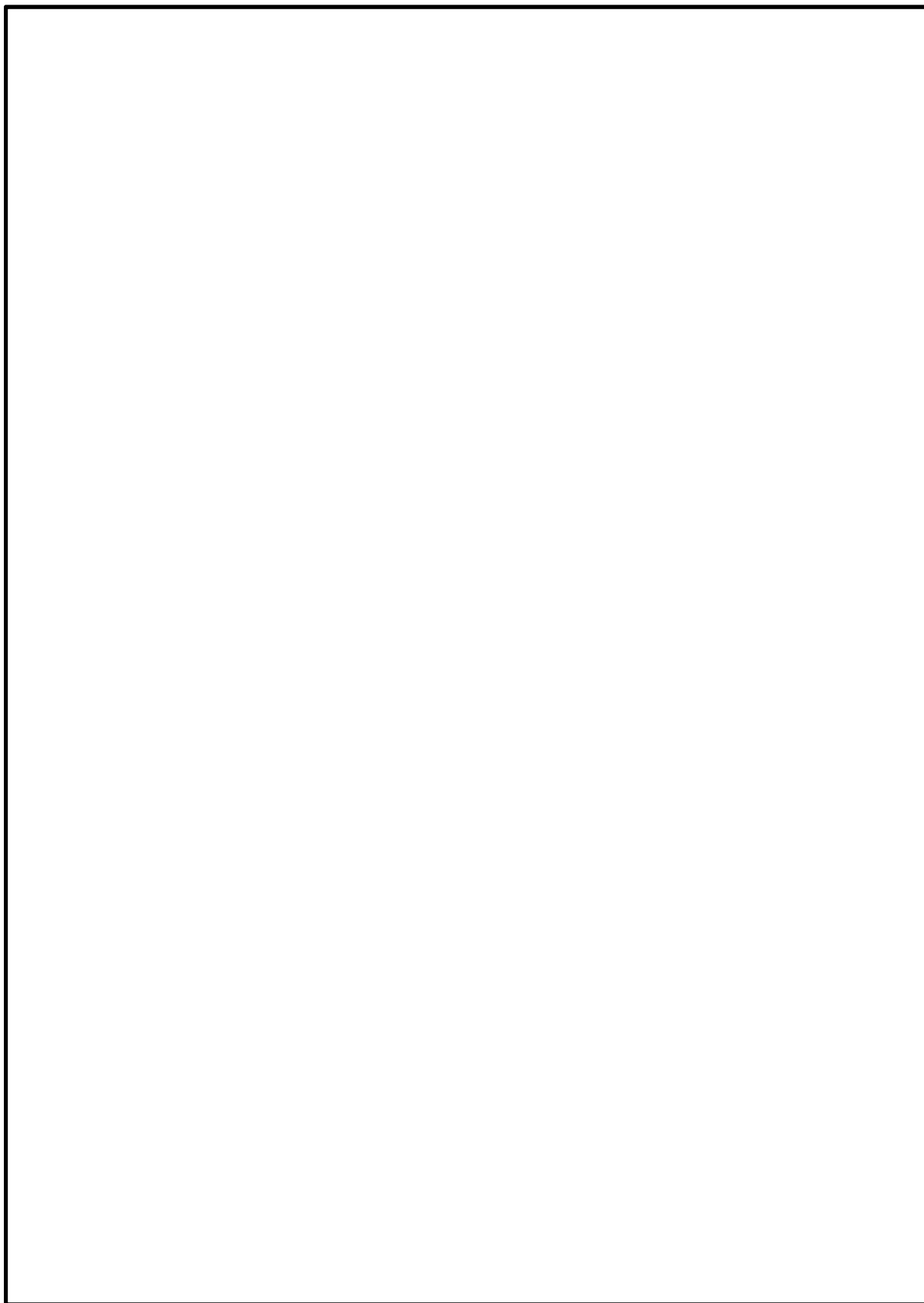
第 2.4－7 図 換気設備等の概要系統図（非常時運転）

③ プルーム通過時加圧運転（災害対策本部加圧モード）



第2.4-8図 換気設備等の概要系統図（プルーム通過時加圧運転）

④ プルーム通過後加圧運転（緊対建屋浄化モード）



第2.4-9図 換気設備等の概要系統図（プルーム通過後加圧運転）

(6) 加圧設備の概要

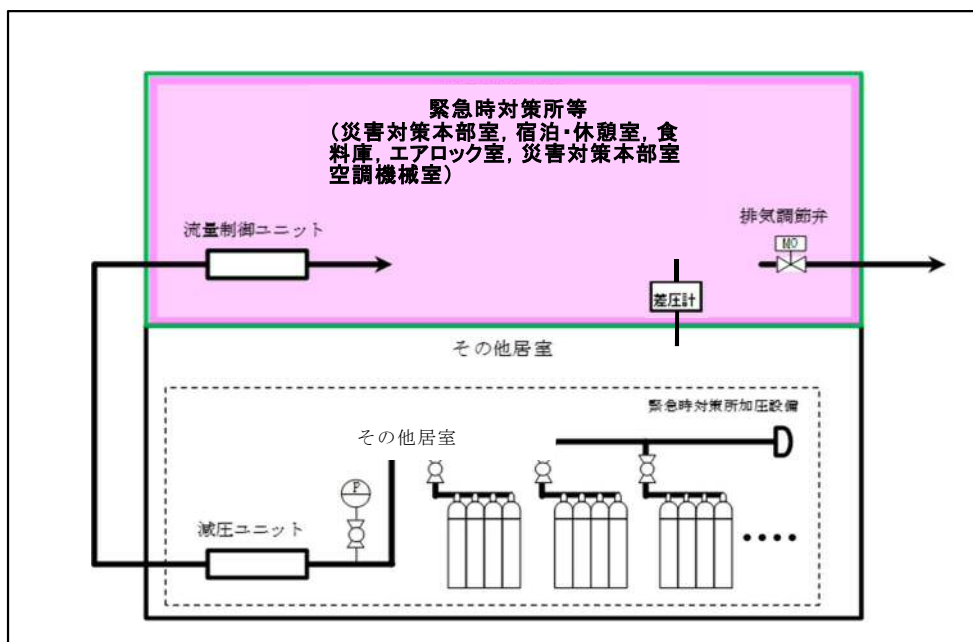
プルーム通過時の10時間及びプルーム通過後の加圧設備から非常用換気設備への切り替え時間は、加圧設備を運転し緊急時対策所等*を正圧維持することで放射性物質の流入を防ぎ、要員の被ばくを低減する。

空気ボンベ本数は、プルーム通過時、緊急時対策所に収容する対策要員最大 100 名が滞在するために必要な本数以上を設置する。

a. 系統構成

緊急時対策所建屋内に設置した空気ボンベから減圧ユニットを介し、流量制御ユニットで一定流量を緊急時対策所等へ供給する。緊急時対策所は排気側の排気調節弁によって正圧を維持するよう自動調整される。加圧設備の概略系統図を第 2.4-10 図に示す。

なお、排気調節弁は手動操作も可能であり、緊急時対策所の圧力を手動で調整する場合は、排気調節弁を手動で操作し、緊急時対策所に設置する操作盤の差圧計を監視しながら、手動弁により正圧維持するよう調整する。



第 2.4-10 図 加圧設備の概略系統図

b. 加圧設備運転時の酸素濃度及び二酸化炭素濃度の監視

非常用換気設備の運転モードから，緊急時対策所を隔離して加圧設備により正圧運転に変更した際，緊急時対策所の酸素濃度及び二酸化炭素濃度を濃度計により監視し，正常範囲内にあることを確認する。

(7) 緊急時対策所の正圧維持

緊急時対策所へのインリークは，隣接区画との温度差によって生じる圧力差を考慮すれば良いため，インリークを防止するために，緊急時対策所を周囲の隣接区画より高い圧力に加圧する。

緊急時対策所等の加圧は，以下に示すとおり約 12.4Pa が必要であるため，緊急時対策所等の加圧目標は余裕を考慮して隣接区画より +20Pa 以上とする。

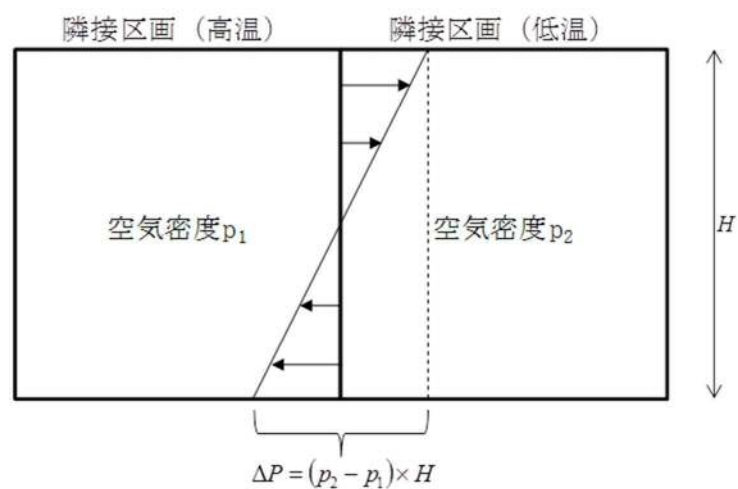
a. 温度差を考慮した加圧値

緊急時対策所と隣接区画との境界壁間に隙間がある場合は，両区画に温度差があると第 2.4-11 図に示すように空気の密度差に起因し，高温区画の上部から低温区画へ空気が流入し，低温区画の下部から高温区画へ空気が流れ込む。

これら各々の方向に生じる圧力差の合計 ΔP は次の式で表される。

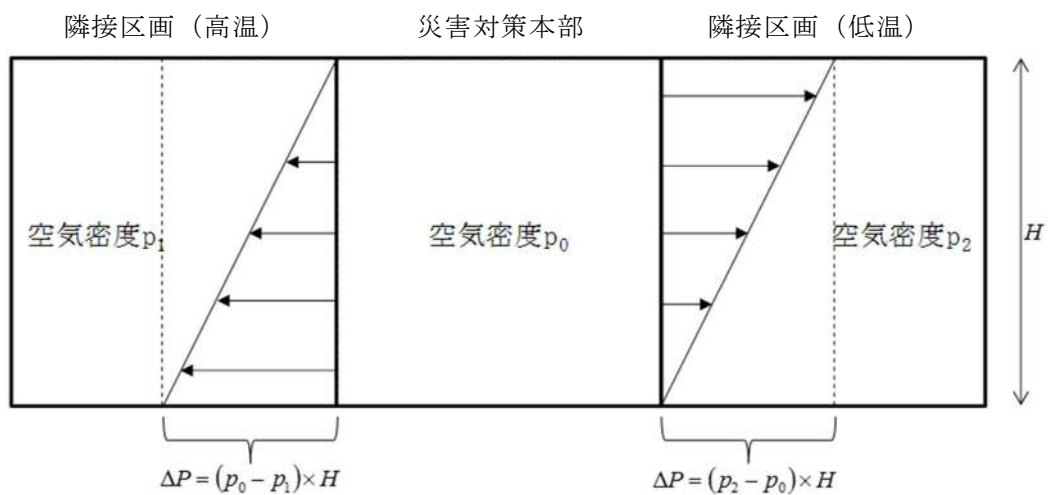
$$\Delta P = (p_1 - p_2) \times H$$

p : 空気密度， H : 緊急時対策所の階層高さ



第 2.4-11 図 温度差のある区画の圧力分布

したがって、緊急時対策所等を ΔP だけ加圧することによって、隣接区画との温度差が生じても第 2.4-12 図に示すように緊急時対策所等へのインリークを防ぐことができる。



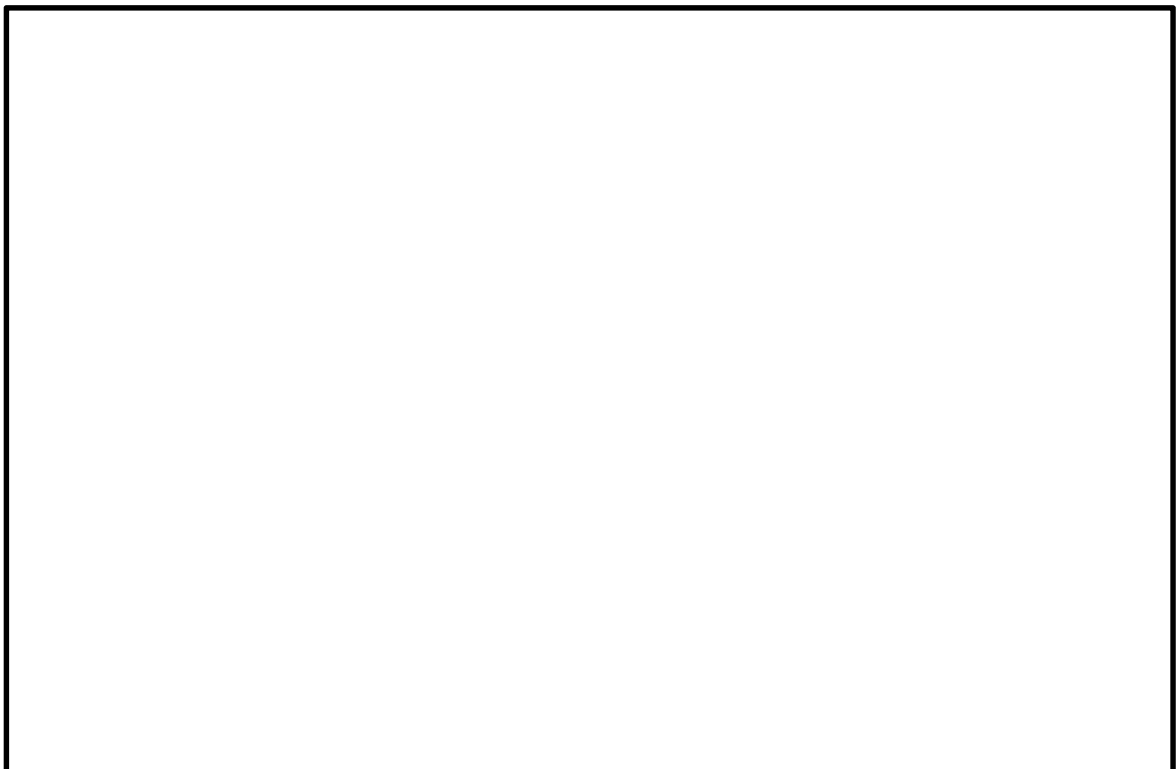
第 2.4-12 図 温度差のある区画の圧力分布

重大事故等発生時の緊急時対策所及び隣接区画の温度を外気の気象観測データ（水戸地方気象台の過去の観測記録）から 38.4℃，－12.7℃とする。緊急時対策所の天井高さは約 5.7m であるため，以下のとおり約 12.4Pa 以上の圧力差があれば温度の影響を受けたとしても，正圧を維持できる。

$$\begin{aligned}\Delta P &= \{(-12.7^{\circ}\text{Cの乾き空気の密度}) - (38.4^{\circ}\text{Cの乾き空気の密度})\} \times (\text{高低差}) \\ &= \{(1.3555) - (1.1332)\} \times (5.7) \\ &= 1.26711(\text{kg} / \text{m}^3) \\ &= 12.426(\text{Pa})\end{aligned}$$

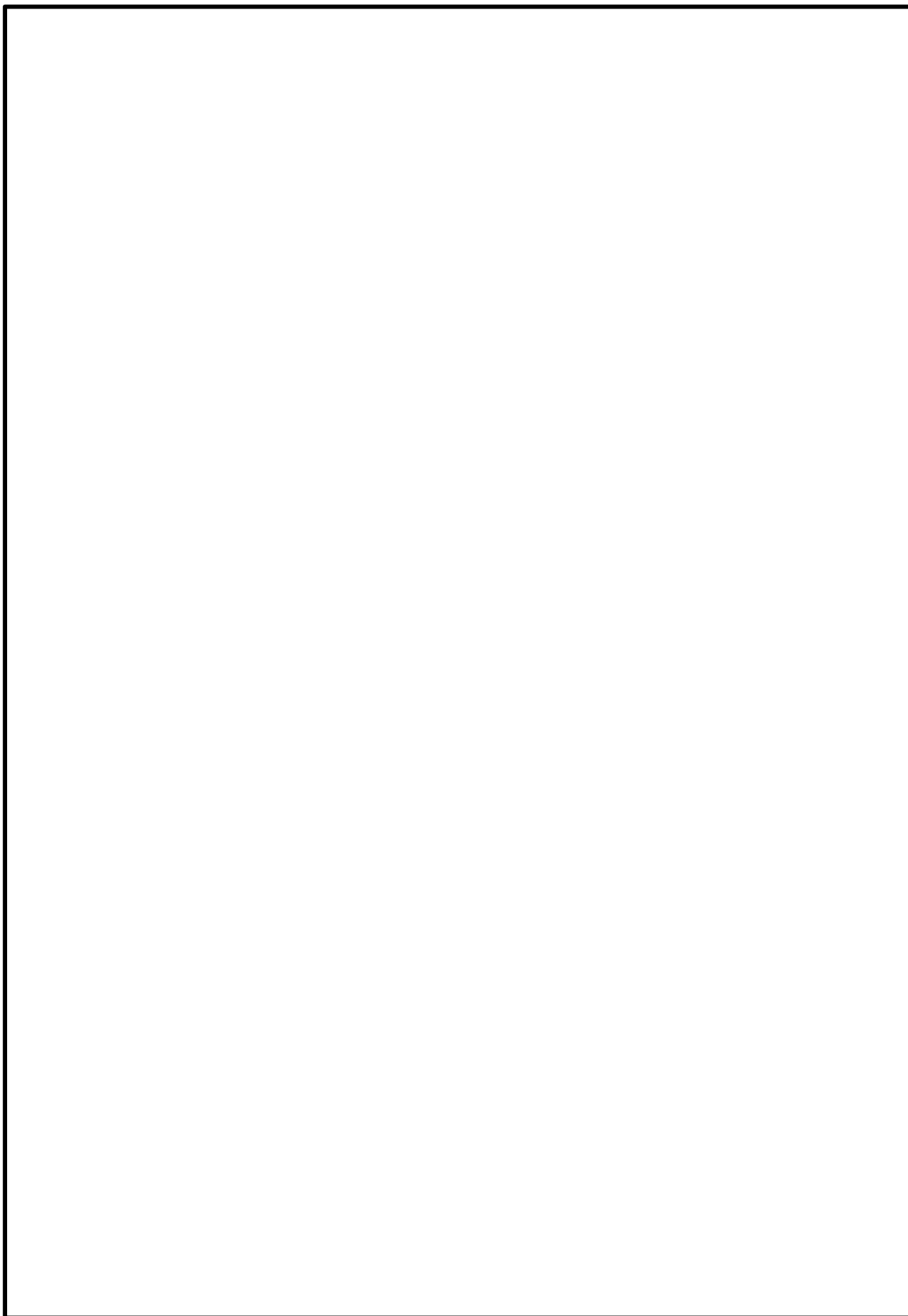
b．緊急時対策所への空気供給量

(a) 非常時運転



第 2.4－13 図 換気設備等の概要系統図（非常時運転）

(b) プルーム通過時・通過後加圧運転



第 2.4-14 図 換気設備等の概要系統図（プルーム通過時・通過後加圧運転）

(8) 加圧設備運転時における緊急時対策所の空気供給量の設定

加圧設備運転時の評価条件別必要空気供給量を第 2.4-1 表に示す。加圧設備運転時の空気供給量は正圧維持，酸素濃度維持，二酸化炭素濃度抑制の全ての条件を満たす $160\text{m}^3/\text{h}$ に設定する。

第 2.4-1 表 加圧設備運転時の評価条件別必要空気供給量

各種評価条件	必要空気供給量 (m^3/h)
正圧維持	120
酸素濃度維持	112
二酸化炭素濃度抑制	160

以下に，各条件の空気供給量の設定方法を示す。

a. 正圧維持に必要な空気供給量

緊急時対策所等はコンクリートの間仕切りで区画されることから，壁の継ぎ目からのリークはないものとする。よって，緊急時対策所等のリークポテンシャルは，ドア開口の隙間，壁貫通部（配管，ケーブル，ダクト）である。

(a) ドア開口リーク量

気密が要求される建屋／部屋に使用されるドアの気密性はJIS A4702にて定義されている。最も気密性の高い等級A-4のドアにおいては，圧力差30Pa（運用差圧）におけるドア面積当たりのリーク量は約 $6\text{m}^3/\text{h} \cdot \text{m}^2$ であるため（以下図 1 参照），ドアからのリーク量は以下の式により算出できる。

$$Q_{\text{ドア}} = S \times 6$$

$Q_{\text{ドア}}$: ドアからのリーク量 [m^3/h]

S : ドアの面積合計 9.5m^2 (緊急時対策所)

JIS A4702 気密性

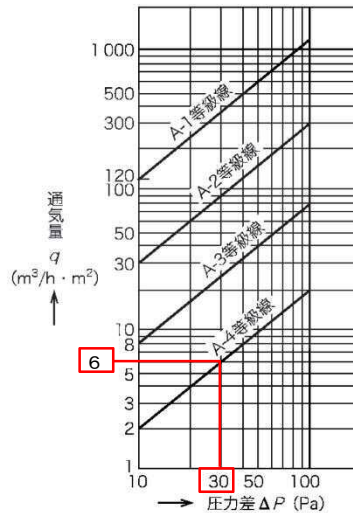


図1-気密等級線

(b) 壁貫通部のリーク量

壁貫通部のリーク量は、実績がある原子炉二次格納施設のリーク率 $0.5\text{回}/\text{day}$ を用いると、以下の式により算出できる。

$$Q_{\text{貫通部}} = V \times 0.5 \div 24$$

V : 室容積 $2,994\text{m}^3$

したがって、緊急時対策所のリーク量は以下の式により $120\text{m}^3/\text{h}$ となる。

$$\begin{aligned} Q &= Q_{\text{ドア}} [\text{m}^3/\text{h}] + Q_{\text{貫通部}} [\text{m}^3/\text{h}] \\ &= S [\text{m}^2] \times 6 [\text{m}^3/\text{h} \cdot \text{m}^2] + V [\text{m}^3] \times 0.5 [\text{回}/\text{day}] \div 24 [\text{day}/\text{h}] \\ &= 9.5 \times 6 + 2,994 \times 0.5 \div 24 \\ &= 120\text{m}^3/\text{h} \end{aligned}$$

Q : 供給空気供給量 [m^3/h]

b. 酸素濃度維持に必要な空気供給量

許容酸素濃度は 19vol%以上（「鉱山保安法施行規則」を準拠），滞在人数は 100 名，酸素消費量は成人の呼吸量（静座時）とし，許容酸素濃度以上に維持できる空気供給量は以下のとおりである。

$$Q = \frac{Ga \times P}{(K - K_0)} \times 100$$
$$= \frac{-0.0218 \times 100}{(19.00 - 20.95)} \times 100$$
$$= 112 m^3 / h$$

Ga : 酸素発生量 $-0.0218 m^3 / h / 人$

P : 人員 100人

K_0 : 供給空气中酸素濃度 20.95vol%

K : 許容最低酸素濃度 19.0vol%

c. 二酸化炭素濃度抑制に必要な空気供給量

許容二酸化炭素濃度は1.0vol%以下（10000ppm「鉱山保安法施行規則」を準拠），空气中的二酸化炭素量は0.03vol%，滞在人数100名の二酸化炭素吐出量は，計器監視等を行う程度の作業時（極軽作業）の量とし，許容二酸化炭素濃度以下に維持できる空気供給量は以下のとおりである。

$$Q = \frac{Ga \times P}{(K - K_0)} \times 100$$
$$= \frac{0.022 \times 100}{(1.0 - 0.03)} \times 100$$
$$= 227 m^3 / h$$

また，加圧設備運転時間はブルーム放出時間の10時間に，ブルーム通過後の加圧設備から非常用換気設備への切り替え時間を考慮した2時間を加え，さらに2時間の余裕をもたせ14時間分とする。14時間後の時点で

二酸化炭素濃度が1.0vol%を超えない空気供給量は $160\text{m}^3/\text{h}$ となる。

(14時間後の CO_2 濃度は0.977%)

$$K_t = K_0 + (K_1 - K_0) \times e^{-\left(\frac{Q}{V}\right) \times t} + G_a \times \frac{P}{Q} \left(1 - e^{-\left(\frac{Q}{V}\right) \times t}\right)$$

$$K_t = \left(K_1 - K_0 - G_a \times \frac{P}{Q}\right) \times e^{-\left(\frac{Q}{V}\right) \times t} + \left(K_0 - G_a \times \frac{P}{Q}\right)$$

K_t : t 時間後の CO_2 濃度 [%]

K_1 : 室内初期 CO_2 濃度 0.5%

K_0 : 供給空気の CO_2 濃度 0.03%

G_a : CO_2 発生量 $0.022\text{m}^3/(\text{h} \cdot \text{人})$

P : 滞在人員 100人

Q : 空気供給量 [m^3/h]

V : 室容積 $2,994\text{m}^3$

【参考】加圧設備運転時の酸素濃度維持及び二酸化炭素濃度抑制に必要な空気供給量の評価条件

1. 酸素濃度維持に必要な空気供給量の評価条件

○鉱山保安法施行規則（許容酸素濃度に使用）

第十六条 1

鉱山労働者が作業し，又は通行する坑内の空気の酸素含有率は十九パーセント以上とし，炭酸ガス含有率は一パーセント以下とすること。

（平成 16 年 9 月 27 日 経済産業省令第 96 号，最終改正平成 26 年 6 月 24 日 経済産業省令第 32 号）

○成人の呼吸量（酸素消費量の換算に使用）

（「空気調和・衛生工学便覧」の記載より）

作 業	呼吸数 (回／min)	呼吸数 (cm ³ ／回)	呼吸数 (L／min)
仰が（臥）	14	280	5
<u>静座</u>	16	500	<u>8</u>
歩行	24	970	24
歩行 (150m／min)	40	1,600	64
歩行 (300m／min)	45	2,290	100

○成人呼吸気の酸素量（酸素消費量の換算に使用）

（「空気調和・衛生工学便覧」の記載より）

	吸気 (%)	呼気 (%)	乾燥空気換算 (%)
酸素量	<u>20.95</u>	15.39	<u>16.40</u>

2. 二酸化炭素濃度抑制に必要な空気供給量の評価条件

○鉱山保安法施行規則（許容二酸化炭素濃度に使用）

第十六条 1

鉱山労働者が作業し，又は通行する坑内の空気の酸素含有率は十九パーセント以上とし，炭酸ガス含有率は一パーセント以下とすること。

（平成 16 年 9 月 27 日 経済産業省令第 96 号，最終改正平成 26 年 6 月 24 日
経済産業省令第 32 号）

○各種作業に対するエネルギー代謝率（「空気調和・衛生工学便覧」の記載より）

RMR 区分	作業	RMR	作業	RMR
0～1	キーパンチ	0.6	—	—
	<u>計器監視（立）</u>	<u>0.6</u>	運転（乗用車）	0.6～1.0
1～2	れんが積み	1.2	バルブ操作	1.0～2.0
	工事監督	1.8	徒歩	1.5～2.2
2～3	馬車	2.2		
	測量	2.6	塗装（はけ，ローラ）	2.0～2.5
3～4	やすりかけ	3.5	自転車	3.0～3.5
4～5	ボルト締め	4.5	電柱立て	4.0～5.0
5 以上	かけ足	5.0	土掘り	5.0～6.0
	はしごのぼり	10.0	—	—

○労働強度別二酸化炭素吐出し量（「空気調和・衛生工学便覧」の記載より）

RMR	作業程度	二酸化炭素吐出し量 ($\text{m}^3/\text{h} \cdot \text{人}$)	計算採用二酸化炭素 吐出し量 ($\text{m}^3/\text{h} \cdot \text{人}$)
0	安静時	0.0132	0.013
0～1	<u>極軽作業</u>	0.0132～0.0242	<u>0.022</u>
1～2	軽作業	0.0242～0.0352	0.030
2～4	中等作業	0.0352～0.0572	0.046
4～7	重作業	0.0572～0.0902	0.074

○「二酸化炭素消火設備の安全対策について（通知）」（平成8年9月20日
付け消防予第193号，消防危第117号）

・表1 二酸化炭素の濃度と人体への影響

< 2 % : はっきりした影響は認められない

2 ~ 3 % : 5~10 分呼吸深度の増加, 呼吸数の増加

3 ~ 4 % : 10~30 分頭痛, めまい, 悪心, 知覚低下

4 ~ 6 % : 5~10 分上記症状, 過呼吸による不快感

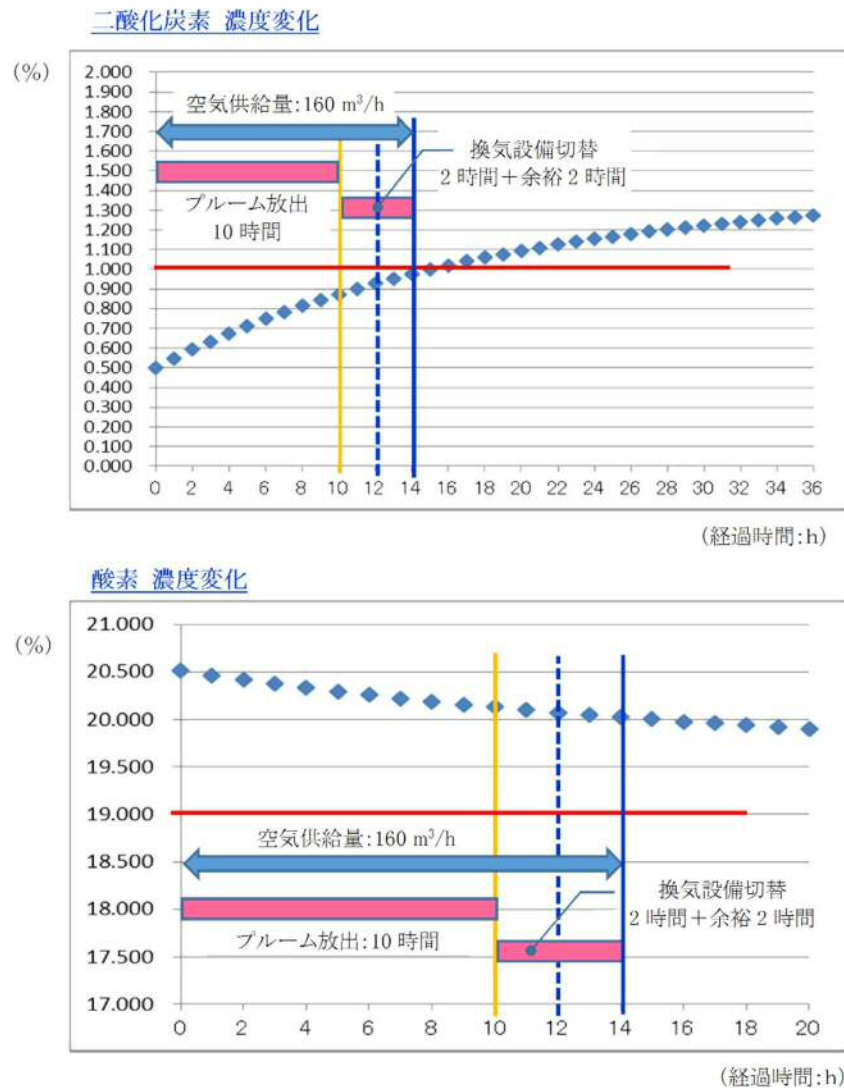
6 ~ 8 % : 10~60 分意識レベルの低下, その後意識喪失へ進む, ふるえ, けいれんなどの不随意運動を伴うこともある

○二酸化炭素の生理作用が現れる濃度（許容二酸化炭素濃度の目安）（「空気調和・衛生工学便覧」の記載より）（単位：ppm）

分類	単純窒息性
ガ ス	二酸化炭素
作 用	吸気中酸素分圧を低下させ, 酸素欠乏症を誘引, 呼吸困難, 弱い刺激, 窒息
1日8時間, 1週間40時間の 労働環境における許容濃度	5, 000
のどの刺激	40, 000
目の刺激	40, 000
<u>数時間ばく露で安全</u>	<u>11, 000~17, 000</u>
1 時間ばく露で安全	30, 000~40, 000

(9) 緊急時対策所の加圧運転中の酸素濃度及び二酸化炭素濃度

緊急時対策所の加圧運転中において、緊急時対策所への空気供給量(160m³/h)と酸素濃度及び二酸化炭素濃度との関係は第2.4-15図に示すとおり、14時間後の時点で酸素濃度及び二酸化炭素濃度ともに許容濃度を満足することができる。



第2.4-15図 緊急時対策所の酸素濃度及び二酸化炭素濃度の変化

【備考】

換気設備運転時の労働強度

…酸素消費量「歩行」、二酸化炭素吐し出量「中等作業」

加圧設備運転時の労働強度

…酸素消費量「静座」、二酸化炭素吐し出量「極軽作業」

(10) 空気ポンベの必要本数及び圧力監視

- (a) 空気ポンベ必要本数の算定時間は、プルーム放出時間の10時間に、プルーム通過後の加圧設備から非常用換気設備への切り替え時間を考慮した2時間を加え、さらに2時間の余裕をもたせ14時間分とする。
- (b) ポンベ使用可能量は、 $7.15\text{m}^3/\text{本}$ とする。
- (c) 14時間後の時点で二酸化炭素濃度が1.0vol%を超えない空気供給量は、 $160\text{m}^3/\text{h}$ とする。以上から14時間を正圧維持等する場合に必要な本数は、下記計算のとおりであり、320本を確保する。

- ・ポンベ標準初期充填圧力 : $19.6\text{ MPa (at } 35^\circ\text{C)}$
- ・設置環境条件におけるポンベ初期圧力 : $18.01\text{MPa (at } 10^\circ\text{C)}$
- ・ポンベ内容積 : 46.7L
- ・圧力調整弁最低制御圧力 : 3MPa
- ・ポンベ供給可能空気量 : $7.15\text{m}^3/\text{本 (at } 10^\circ\text{C)}$

$$\text{計算式：} \frac{160 \times 14}{7.15} = 313$$

空気ポンベの圧力監視

日常点検にて、空気ポンベの圧力を監視する。圧力が低下した場合には、ポンベの交換を行う。

なお、圧力低下によるポンベの交換基準は、ポンベ運用本数から緊急時対策所を12時間加圧可能な残圧を算出し、適切な交換基準を定めるものとする。

(11) 換気設備等の操作に係る判断等

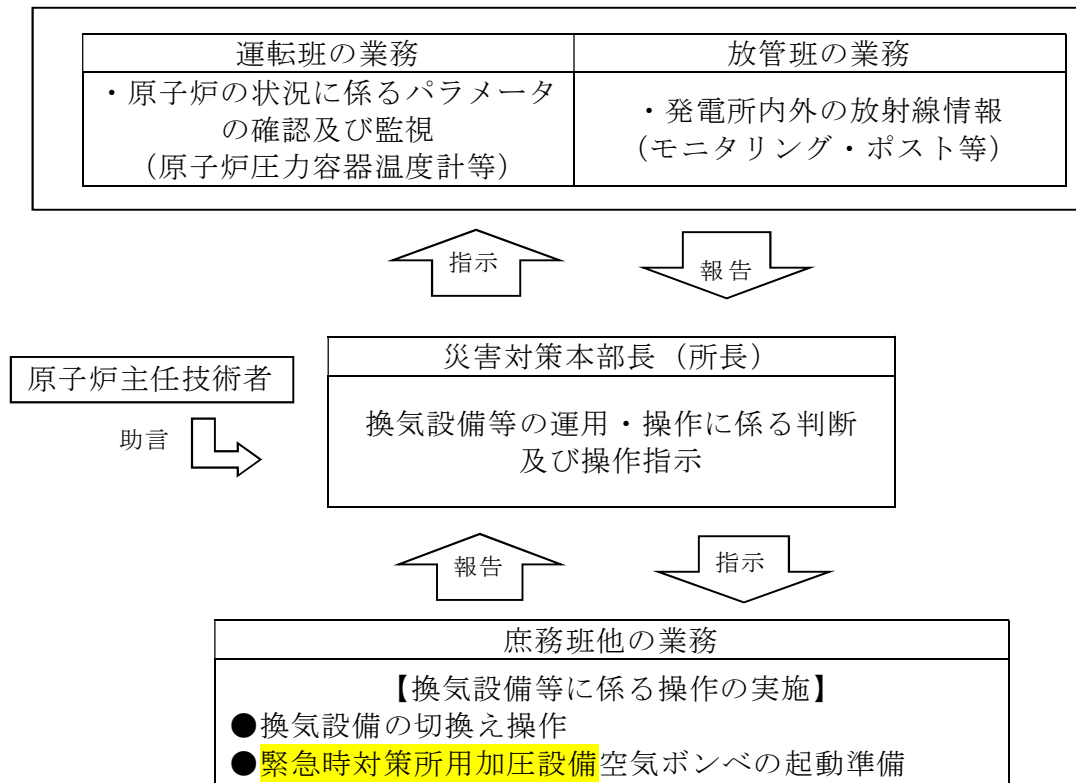
換気設備等の操作は、原子炉の状況、放射線の状況等を確認し、災害対策本部長の判断及び指示に従い実施する。

プルーム放出後は、緊急時対策所の換気設備の切替え、緊急時対策所用加圧設備空気ポンベによる加圧等を行い、緊急時対策所への希ガスの侵入を防止し、要員の被ばくを低減する。

緊急時対策所用加圧設備空気ポンベによる加圧及び非常用換気設備への運転変更に当たっては、主に緊急時対策所近傍に設置する「可搬型モニタリング・ポスト」、緊急時対策所に設置する「緊急時対策所エリアモニタ」等のパラメータを用い判断する。

以下に、操作の判断に係る体制、判断に用いるパラメータ、操作の判断基準及び状況フローと監視パラメータ等を示す。

① 換気設備等の操作判断に係る体制



② 判断に用いる各パラメータ

可搬型モニタリング・ポスト	緊急時対策所建屋付近に設置し，放射線量率の測定によりプルームの通過を把握することができる。
緊急時対策所エリアモニタ	緊急時対策所に設置し，放射線量率の測定によりプルームの通過を把握することができる。
モニタリング・ポスト，可搬型モニタリング・ポスト	緊急時対策所建屋付近に設置しないが，放射線量率の測定によりプルームの通過を把握することができる。
原子炉圧力容器温度計等	炉心損傷に伴う格納容器圧力の上昇等を確認し，原子炉の状況を把握することができる。
気象観測設備（風向等）	プルームの進行方向を推定することができる。

③ 換気設備等に係る操作等の判断基準

	操作等	状況	監視パラメータ等	判断基準	備 考
1	「通常運転モード」から「緊対建屋加圧モード」へ運転切替え	・災害対策本部立ち上げ時	—	・原災法第10条事故発生	—
2	パラメータの監視強化及び緊急時対策所用加圧設備空気ポンベによる加圧に係る準備	・炉心が損傷し、放射性物質が大気に出される可能性がある場合	<ul style="list-style-type: none"> ・中央制御室から炉心損傷判断の連絡 ・格納容器雰囲気放射線モニタ ・原子炉圧力容器温度計 	<ul style="list-style-type: none"> ・監視パラメータとは別に中央制御室から炉心損傷判断の連絡があった場合 ・格納容器雰囲気放射線モニタの線量率が設計基準事故の追加放出量相当の10倍以上となった場合、又は格納容器雰囲気放射線モニタが使用できない場合に原子炉圧力容器温度計で300℃以上を確認した場合 	—
3	「緊対建屋加圧モード」から「災害対策本部加圧モード」へ運転切替え（緊急時対策所等は緊急時対策所用加圧設備空気ポンベによる加圧、緊急時対策所等以外の建屋内については外気少量取り込み）	・プルーム放出・接近	<ul style="list-style-type: none"> ・中央制御室からベント実施の連絡 ・サプレッション・プール水位 ・格納容器酸素濃度 ・可搬型モニタリング・ポスト ・緊急時対策所エリアモニタ 	<ul style="list-style-type: none"> ・監視パラメータとは別に中央制御室からベント実施の連絡があった場合 ・通常水位+6.4m^{※1} ・4.3%^{※2} ・指示値急上昇（20mSv/h以上） ・指示値急上昇（0.5mSv/h以上） 	<ul style="list-style-type: none"> ・監視パラメータのいずれかが判断基準に到達した場合に換気設備等に係る操作等を実施する。
4	「災害対策本部加圧モード」から「緊対建屋浄化モード」へ運転切替え（緊急時対策所等以外の建屋内について外気取り込み量を増加させた運転）	<ul style="list-style-type: none"> ・プルーム放出が収束 ・モニタリング・ポスト等の線量率が屋外作業可能なレベルまで低下 	<ul style="list-style-type: none"> ・可搬型モニタリング・ポスト ・緊急時対策所エリアモニタ ・フィルタ装置出口放射線モニタ 	<ul style="list-style-type: none"> ・指示値低下後安定、指示値安定 ・指示値低下 	<ul style="list-style-type: none"> ・監視パラメータ全てが判断基準となる傾向を示した場合に換気設備等に係る操作等を実施する。
5	「緊対建屋浄化モード」から「緊対建屋加圧モード」へ運転切替え（緊急時対策所用加圧設備空気ポンベによる加圧運転を停止）、緊急時対策所を出て、屋外活動を再開する準備	・緊急時対策所建屋内の放射性物質を排出	—	・「緊対建屋浄化モード」に切替えした1時間後	—

※1 格納容器圧力逃がし装置による原子炉格納容器ベント（サプレッション・プール水位指示値が通常水位+6.5mにて実施）前に加圧設備への切り替え操作を行う（1.18.2(1)d. 緊急時対策所加圧設備への切替手順）

※2 水素爆発による原子炉格納容器の破損を防止するための原子炉格納容器ベント実施基準(1.9.2.1(2)a. 格納容器圧力逃がし装置による原子炉格納容器水素爆発防止)

④ 可搬型モニタリング・ポスト及び緊急時対策所エリアモニタの判断基準値の考え方

判断基準値		考え方
可搬型モニタリング・ポスト	指示値急上昇 (20mSv/h)	<ul style="list-style-type: none"> ・「緊対建屋加圧モード」から「災害対策本部加圧モード」へ運転切換え及び空気ポンベ加圧による加圧を開始（2.4（5）参照）するための指標として設定する。 ・「雰囲気圧力・温度による静的負荷（格納容器過圧・過温破損）（代替循環冷却系を使用できない場合）」において想定するプルーム通過時の敷地内の線量率は、数 Sv/h 程度となることから、それよりも十分に低い値として 20mSv/h を設定する。 ・ベント実施前の緊急時対策所建屋付近の最大線量率約 10mSv/h よりも高い値とすることで、ベント実施時等のプルーム放出に伴う線量率の上昇を確実に判断できることから、誤判断を防止する。（参考参照） <p>なお、大気中に放出された放射性物質によるガンマ線による緊急時対策所建屋付近の線量率が 20mSv/h 程度となった場合でも、緊急時対策所はコンクリート 100cm 以上の遮蔽壁で防護されており、その遮蔽効果により大気中に放出された放射性物質によるガンマ線による線量率は 1/1000 以下となるため、緊急時対策所内の要員の被ばくに大きな影響は与えない。</p>
緊急時対策所エリアモニタ	指示値急上昇 (0.5mSv/h)	<ul style="list-style-type: none"> ・可搬型モニタリング・ポストによる検知や判断が遅れた場合等、空気ポンベ加圧による加圧を開始するための指標として設定する。 ・対策要員の被ばく線量が 7 日間で 100mSv を満足する基準（100mSv/(7d×24h)）として設定する。 ・ベント実施前の緊急時対策所建屋付近の線量率は最大でも約 10mSv/h であり、ベント実施前の原子炉建屋内の放射性物質からのガンマ線及び地表面に沈着した放射性物質からのガンマ線は、緊急時対策所外壁等の遮蔽で、緊急時対策所は十分低い線量となっているため、プルーム放出に伴う線量率の上昇を確実に判断できる。

⑤ 状況フローと監視パラメータ及びその判断基準

以下のパラメータを監視し，緊急時対策所外の状況及び緊急時対策所における各種操作を判断する。

状況フロー	監視パラメータ	SPDS			可搬型モニタリング・ポスト		緊急時対策所 エリアモニタ
		原子炉の状況 (原子炉圧力容器温度計等)	モニタリング ポスト	気象情報 (風向・風速等)	加圧判断用	その他	
	炉心状況確認	状況把握	BG 把握	状況把握	BG 把握		BG 把握
	発電所構内放射線量率上昇	状況把握	指示値上昇	状況把握	指示値上昇	指示値上昇	指示値上昇
	↓ 其他要員 一時退避	—	避難ルートの検討・判断				—
	↓ プルーム放出	原子炉圧力容器温度 上昇	指示値上昇	監視強化	指示値上昇		指示値上昇
ベント 実施	ベント未実施 ↓ 可搬型モニタリング・ポスト 等にて検知	状況把握	指示値上昇	状況把握	指示値急上昇 (20mSv/h)	指示値上昇	指示値急上昇 (0.5mSv/h)
	↓ 換気設備の切換え操作 緊急時対策所用加圧設備空気ポンベ による加圧	—	—	—	—	—	監視強化
	↓ プルーム放出が収束	放射線指示値低下	指示値低下	状況確認	指示値低下	指示値低下	指示値低下
	↓ 空気ポンベ加圧停止 ファン起動	—	—	—	—	—	監視強化

【参考】ベント実施前の緊急時対策所付近の最大線量率について

ベント実施前の緊急時対策所付近の最大線量率の評価に当たっては、想定事象として線量評価上厳しくなる格納容器破損モード「雰囲気圧力・温度による静的負荷（格納容器過圧・過温破損）」で想定される事故シーケンスにおいて、代替循環冷却系を使用できない場合を想定した事故シナリオを選定する。放出量評価条件は、中央制御室の居住性評価と同様とする。また、大気拡散係数の評価点は緊急時対策所付近とし、相対濃度及び相対線量を第2.4-2表に示す。ベント実施前の緊急時対策所付近の線量率評価結果は、第2.4-3表に示すとおりであり、約8.1mSv/hとなり、ベント実施前の最大値としては10mSv/h程度になると考えられる。

第2.4-2表 緊急時対策所付近の相対濃度及び相対線量

相対濃度 (s/m ³)	相対線量 (Gy/Bq)
約 1.2×10^{-4}	約 8.4×10^{-19}

第2.4-3表 ベント実施前の緊急時対策所付近の最大線量率

経 路	線量率 (mSv/h)
原子炉建屋内の放射性物質からのガンマ線	約 6.1×10^{-2}
放射性雲中の放射性物質からのガンマ線	約 4.8×10^0
地表面に沈着した放射性物質からのガンマ線	約 3.2×10^0
合 計	約 8.1×10^0

61-10

緊急時対策所の居住性に係る被ばく評価について

61-10- i

目 次

1. 新規制基準への適合状況	61-10-1
2. 緊急時対策所の居住性に係る被ばく評価について	61-10-3
・添付資料 1 緊急時対策所の居住性に係る被ばく評価条件	61-10-12
・添付資料 2 被ばく評価に用いた気象資料の代表性	61-10-37
・添付資料 3 線量評価に用いる大気拡散評価	61-10-52
・添付資料 4 地表面への沈着速度の設定について	61-10-54
・添付資料 5 エアロゾルの乾性沈着速度について	61-10-60
・添付資料 6 グランドシャインガンマ線の評価方法	61-10-68
・添付資料 7 事故発生時の換気系運転モードについて	61-10-73
・添付資料 8 放射性物質の放出継続時間について	61-10-77
・添付資料 9 審査ガイド ^{※1} への適合状況について	61-10-78

※1 実用発電用原子炉に係る重大事故等の制御室及び緊急時対策所の居住性に係る被ばく評価に関する審査ガイド

1. 新規制基準への適合状況

実用発電用原子炉及びその付属施設の位置、構造及び設備の基準に関する
規則第六十一条（緊急時対策所）、実用発電用原子炉及びその付属施設の技
術基準に関する規則 第七十六条（緊急時対策所）

～抜粋～

新規制基準の項目		適合状況
1	<p>第三十四条の規定により設置される緊急時対策所は、重大事故等が発生した場合においても当該重大事故等に対処するための適切な措置が講じられるよう、次に掲げるものでなければならない。</p> <p>一 重大事故等に対処するために必要な指示を行う要員がとどまることができるよう、適切な措置を講じたものであること。</p> <p>二 重大事故等に対処するために必要な指示ができるよう、重大事故等に対処するために必要な情報を把握できる設備を設けたものであること。</p> <p>三 発電用原子炉施設の内外の通信連絡をする必要のある場所と通信連絡を行うために必要な設備を設けたものであること。</p>	重大事故等が発生した場合においても、緊急時対策所により、当該重大事故等に対処するための適切な措置を講じることができる。
2	緊急時対策所は、重大事故等に対処するために必要な数の要員を収容することができるものでなければならない。	

実用発電用原子炉及びその付属施設の位置，構造及び設備の基準に関する
規則第六十一条（緊急時対策所），実用発電用原子炉及びその付属施設の技
術基準に関する規則 第七十六条（緊急時対策所）

～抜粋～

新規制基準の項目		適合状況
1, 2	<p>【解釈】</p> <p>1 第1項及び第2項の要件を満たす緊急時対策所とは，以下に掲げる措置又はこれらと同等以上の効果を有する措置を行うための設備を備えたものをいう。</p> <p>e) 緊急時対策所の居住性については，次の要件を満たすものであること。</p> <p>① 想定する放射性物質の放出量等は東京電力株式会社福島第一原子力発電所事故と同等とすること。</p> <p>② プルーム通過時等に特別な防護措置を講じる場合を除き，対策要員は緊急時対策所内でのマスクの着用なしとして評価すること。</p> <p>③ 交代要員体制，安定ヨウ素剤の服用，仮設設備等を考慮してもよい。ただし，その場合は，実施のための体制を整備すること。</p> <p>④ 判断基準は，対策要員の実効線量が7日間で100mSvを超えないこと。</p>	<p>緊急時対策所の居住性については，実用発電用原子炉に係る重大事故時の制御室及び緊急時対策所の居住性に係る被ばく評価に関する審査ガイドに基づき評価した。結果，対策要員の実効線量が7日間で100mSvを超えないことを確認している（約35mSv／7日間）。なお，想定する放射性物質の放出量等は東京電力株式会社福島第一原子力発電所事故と同等と想定し，マスクの着用なし，交替要員体制なし及び安定ヨウ素剤の服用なしとして評価した。</p>

2. 緊急時対策所の居住性に係る被ばく評価について

設計基準事故を超える事故時の緊急時対策所の居住性評価に当たっては、「実用発電用原子炉に係る重大事故時の制御室及び緊急時対策所の居住性に係る被ばく評価に関する審査ガイド」（以下「審査ガイド」という）に基づき、評価を行った。審査ガイドへの適合状況について添付資料 8 に示す。

緊急時対策所の対策要員の被ばく評価の結果、実効線量で約 35mSv／7 日間であり、対策要員の実効線量が 7 日間で 100mSv を超えないことを確認した。

(1) 想定する事象

想定する事象については、「東京電力株式会社福島第一原子力発電所事故と同等」とした。なお、想定する放射性物質等に関しては、審査ガイドに基づき評価を行った。

(2) 大気中への放出量

大気中へ放出される放射性物質の量は、東海第二発電所が発災するものとし、放出時期及び放射性物質の放出割合は審査ガイドに従った。評価に用いた放出放射エネルギーを第 1-1 表に示す。また、放出量評価条件については、添付資料 1 第 1-1-1 表に示す。

第 1-1 表 大気中への放出量 (gross 値)

核種グループ	放出放射エネルギー (Bq)
希ガス類	約 8.4×10^{18}
ヨウ素類	約 2.9×10^{17}
C s 類	約 2.4×10^{16}
T e 類	約 7.1×10^{16}
B a 類	約 2.6×10^{15}
R u 類	約 1.3×10^{10}
C e 類	約 8.7×10^{13}
L a 類	約 1.2×10^{13}

(3) 大気拡散の評価

被ばく評価に用いる相対濃度及び相対線量は、大気拡散の評価に従い実効放出継続時間を基に計算した値を、年間について小さい方から順に並べた累積出現頻度 97%に当たる値を用いた。評価においては、2005 年 4 月～2006 年 3 月の 1 年間における気象データを使用した。気象データの代表性については、添付資料 2 に示す。

相対濃度及び相対線量の評価結果は、第 1-2 表に示すとおりである。また、大気拡散評価条件については、添付資料 1 第 1-1-2 表及び添付資料 3 に示す。

第 1-2 表 相対濃度及び相対線量

評価対象	相対濃度 $\chi / Q \text{ (s/m}^3\text{)}$	相対線量 $D / Q \text{ (Gy/Bq)}$
緊急時対策所	1.1×10^{-4}	6.1×10^{-19}

(4) 原子炉建屋内の放射性物質からのガンマ線評価

原子炉建屋内の放射性物質からの直接ガンマ線及びスカイシャイン線による対策要員の実効線量は、施設の位置、建屋の配置及び形状等から評価した。直接ガンマ線は点減衰核積分コード QAD-CGGP2R，スカイシャインガンマ線は一次元輸送計算コード ANISN 及び 1 回散乱計算コード G33-GP2R を用いて評価した。

(5) 緊急時対策所の居住性に係る被ばく評価

被ばく評価に当たっては、放射性物質の放出が事故発生後 24 時間から 34 時間まで継続し、事故初期の放射性物質の影響が支配的となることから

7 日間緊急時対策所に滞在するものとして実効線量を評価した。考慮している被ばく経路は、第 1-1 図に示す①～④のとおりである。被ばく経路のイメージ図を第 1-2 図に示す。また、緊急時対策所の居住性に係る被ばく評価の主要条件を第 1-4 表に示す。

- a. 原子炉建屋内の放射性物質からのガンマ線（直接ガンマ線及びスカイシャインガンマ線）による緊急時対策所での外部被ばく（経路①）

事故期間中に原子炉建屋内に存在する放射性物質からの直接ガンマ線及びスカイシャインガンマ線による緊急時対策所での対策要員の外部被ばくは、前述(4)の方法で実効線量を評価した。評価条件については、添付資料 1 第 1-1-6 表及び第 1-1-7 表に示す。

- b. 大気中へ放出された放射性雲中の放射性物質からのガンマ線（クラウドシャイン）による緊急時対策所での外部被ばく（経路②）

大気中へ放出された放射性雲中の放射性物質からの、ガンマ線による緊急時対策所での外部被ばくは、事故期間中の大気中への放射性物質の放出量を基に、大気拡散効果と緊急時対策所の建屋によるガンマ線の遮蔽効果を踏まえて対策要員の实効線量を評価した。評価条件については、添付資料 1 第 1-1-3 表に示す。

- c. 外気から取り込まれた放射性物質による緊急時対策所での被ばく（経路③）

事故期間中に大気中へ放出された放射性物質の一部は、外気から緊急時対策所に取り込まれる。緊急時対策所及び浄化エリアに取り込まれた放射性物質のガンマ線による外部被ばく及び吸入摂取による内部被ばく

の和として実効線量を評価した。

緊急時対策所及び浄化エリアの放射性物質濃度の計算に当たっては、**緊急時対策所用加圧設備**空気ポンベにより緊急時対策所を正圧にすることで、プルーム通過中及びプルーム通過後の1時間は、緊急時対策所への放射性物質の侵入を防止する効果を考慮した。また、浄化エリアは、換気設備により正圧にすることで、フィルタを通らない外気の侵入を防止する効果を考慮した。なお、マスクの着用なしとして評価した。評価条件については、添付資料1第1-1-4表、第1-1-8表及び第1-1-9表に示す。

また、事象発生時の換気系の運転モードについて添付資料7に示す。

d. 大気中に放出され地表面に沈着した放射性物質からのガンマ線（グラ
ンドシャイン）による緊急時対策所での外部被ばく（経路④）

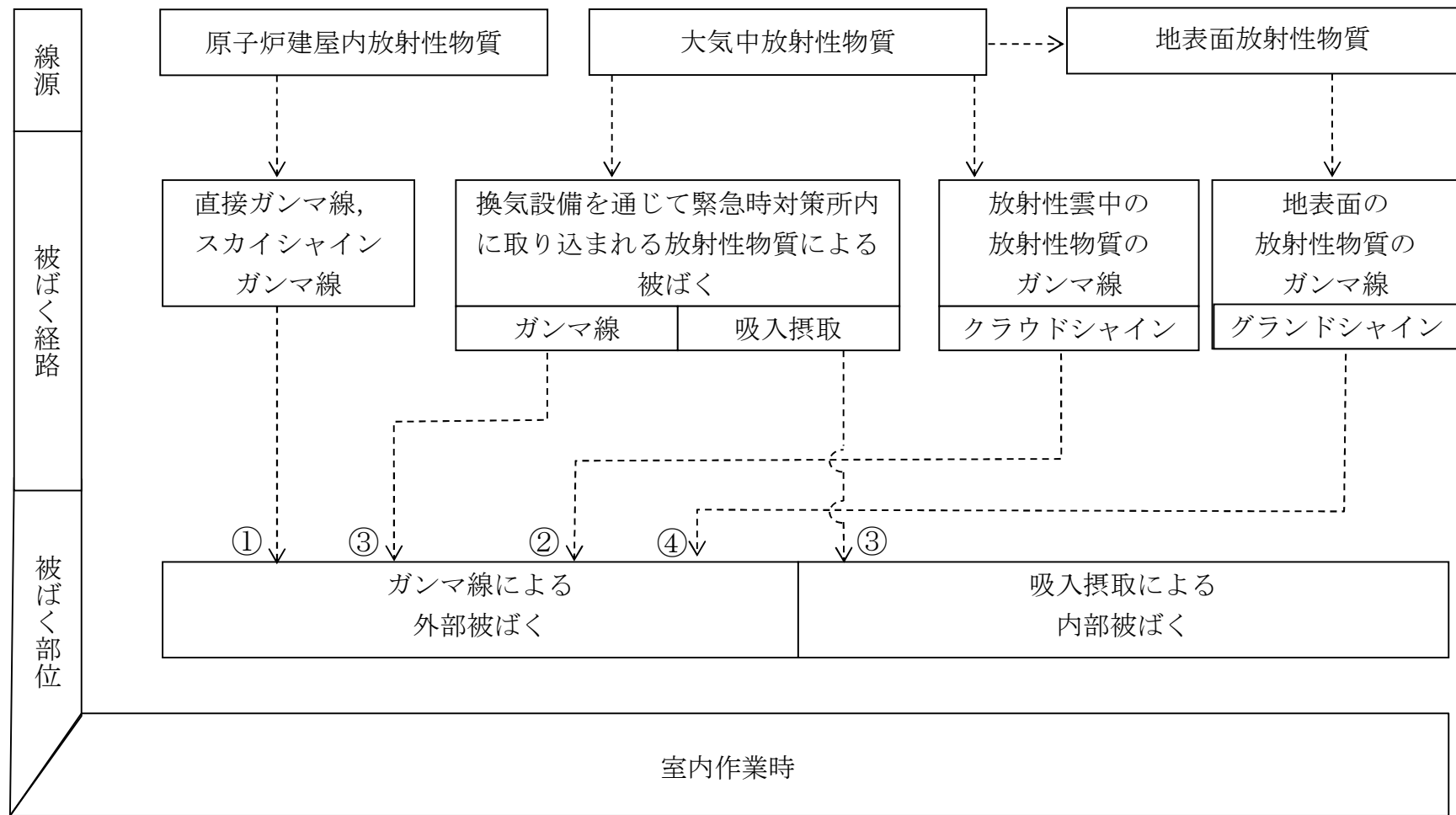
大気中へ放出され地表面に沈着した放射性物質からのガンマ線による緊急時対策所での外部被ばくは、事故期間中の大気中への放射性物質の放出量を基に大気拡散効果、地表面沈着効果及び建屋によるガンマ線の遮蔽効果を踏まえて対策要員の実効線量を評価した。評価条件については、添付資料1第1-1-5表、添付資料4及び添付資料6に示す。

(6) 被ばく評価結果

緊急時対策所の対策要員の被ばく評価結果は、第 1-3 表に示すとおり、
実効線量で約 35mSv／7 日間であり、実効線量が 7 日間で 100mSv を超えな
いことを確認した。

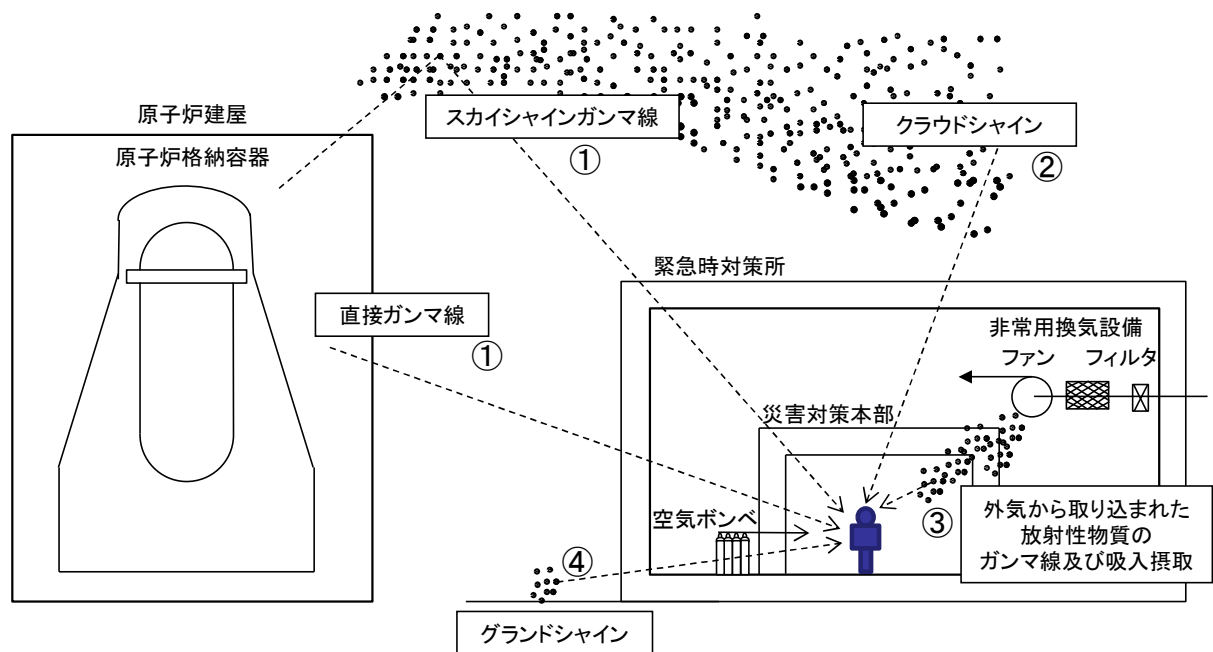
第 1-3 表 緊急時対策所の居住性に係る被ばく評価結果

被ばく経路	実効線量 (mSv)
① 原子炉建屋の放射性物質からのガンマ線 (直接ガンマ線及びスカイシャインガンマ線) による緊急時対策所での被ばく	約 1.1×10^{-3}
② 放射性雲中の放射性物質からのガンマ線 (クラウドシャイン) による緊急時対策所 での外部被ばく	約 4.9×10^{-2}
③ 外気から取り込まれた放射性物質による緊 急時対策所での被ばく	約 3.5×10^1
(内訳) 内部被ばく 外部被ばく	(約 1.1×10^1) (約 2.3×10^1)
④ 大気中に放出され地表面に沈着した放射性 物質からのガンマ線 (グランドシャイン) による緊急時対策所での外部被ばく	約 1.8×10^{-1}
合計 (①+②+③+④)	約 35



第 1-1 図 被ばく経路

緊急時対策所での被ばく	① 原子炉建屋内の放射性物質からのガンマ線による被ばく（直接ガンマ線及びスカイシャインガンマ線による外部被ばく）
	② 放射性雲中の放射性物質からのガンマ線による外部被ばく（クラウドシャインによる外部被ばく）
	③ 外気から緊急時対策所内へ取り込まれた放射性物質による被ばく（吸入摂取による内部被ばく，室内に浮遊している放射性物質による外部被ばく）
	④ 大気中へ放出され地表面に沈着した放射性物質のガンマ線による被ばく（グランドシャインによる外部被ばく）



第 1-2 図 緊急時対策所の対策要員の被ばく経路イメージ図

第 1-4 表 緊急時対策所の居住性に係る被ばく評価の主要条件

項目		緊急時対策所			
放出量評価	発災プラント	東海第二発電所			
	ソースターム	福島第一原子力発電所事故と同等			
大気拡散 条件	放出継続時間	10時間			
	放出源高さ	地上放出			
	気象	2005年4月から2006年3月			
	建屋巻き込み方位	W S W, W方位（巻き込み考慮）			
	累積出現頻度	小さい方から97%相当			
防護措置	時間[h]	0～24	24～34	34～35	35～168
	換気設備による外 気取り込み[m ³ /h]	5, 000	900	5, 000	
	緊急時対策所用加 圧設備空気ポンベ	—	加圧（11時間）		—
	マスク	着用なし			
	要員交代, よう素剤	考慮しない			
結果	合計線量（7日間）	約35mSv			

緊急時対策所の居住性に係る被ばく評価条件

第 1-1-1 表 大気中への放出放射エネルギー評価条件 (1/2)

項目	評価条件	選定理由	審査ガイドでの記載
評価事象	東京電力株式会社福島第一原子力発電所事故と同等	審査ガイドに示されたとおり設定	4.1(2)a. 緊急時制御室又は緊急時対策所の居住性に係る被ばく評価では、放射性物質の大気中への放出割合が東京電力株式会社福島第一原子力発電所事故と同等と仮定した事故に対して、放射性物質の大気中への放出割合及び炉心内蔵量から大気中への放射性物質放出量を計算する。
炉心熱出力	3,293MWt	定格熱出力	—
運転時間	1 サイクル当たり 10,000 時間 (416 日)	1 サイクル 13 ヶ月 (約 395 日) を考慮して設定	—
取替炉心の燃料装荷割合	1 サイクル : 0.229 2 サイクル : 0.229 3 サイクル : 0.229 4 サイクル : 0.229 5 サイクル : 0.084	取替炉心の燃料装荷割合に基づき設定	—
炉心内蔵量	希ガス類 : 約 8.7×10^{18} Bq ヨウ素類 : 約 1.0×10^{19} Bq Cs 類 : 約 1.1×10^{18} Bq Te 類 : 約 4.8×10^{18} Bq Ba 類 : 約 9.9×10^{18} Bq Ru 類 : 約 1.8×10^{19} Bq Ce 類 : 約 5.7×10^{19} Bq La 類 : 約 3.2×10^{19} Bq (核種毎の炉心内蔵量を核種グループ毎に集約して記載)	「単位熱出力当たりの炉心内蔵量 (24 時間減衰値) (Bq/MW)」×「3293MW (定格熱出力)」 (単位熱出力当たりの炉心内蔵量 (Bq/MW) は、BWR 共通条件として、東海第二と同じ装荷燃料 (9×9 燃料 (A 型)), 運転時間 (10,000 時間) で算出した A BWR のサイクル末期の値を使用)	—

第 1-1-1 表 大気中への放出放射エネルギー評価条件 (2/2)

項目	評価条件	選定理由	審査ガイドでの記載
放射性物質の 大気中への 放出割合	希ガス類：97% よう素類：2.78% C s 類：2.13% T e 類：1.47% B a 類：0.0264% R u 類： $7.53 \times 10^{-8} \%$ C e 類： $1.51 \times 10^{-4} \%$ L a 類： $3.87 \times 10^{-5} \%$	審査ガイド に示された とおり設定	4.4(1)a. 事故直前の炉心内蔵量 に対する放射性物質の大気中への 放出割合は，原子炉格納容器が破 損したと考えられる福島第一原子 力発電所事故並みを想定する。 希ガス類：97% よう素類：2.78% (C s I：95%，無機よう素： 4.85%，有機よう素：0.15%) (N U R E G -1465 を参考に設 定) C s 類：2.13% T e 類：1.47% B a 類：0.0264% R u 類： $7.53 \times 10^{-8} \%$ C e 類： $1.51 \times 10^{-4} \%$ L a 類： $3.87 \times 10^{-5} \%$
よう素の形態	粒子状よう素：95% 無機よう素：4.85% 有機よう素：0.15%	同上	同上
放出開始時刻	24 時間後	同上	4.4(4)a. 放射性物質の大気への 放出開始時刻は，事故（原子炉ス クラム）発生 24 時間後と仮定す る。
放出継続時間	10 時間	同上	4.4(4)a. 放射性物質の大気中へ の放出継続時間は，保守的な結果 となるように 10 時間と仮定する。
事故の 評価期間	7 日	同上	3. 判断基準は，対策要員の実効線 量が 7 日間で 100mSv を超えない こと。

第 1-1-2 表 大気拡散条件 (1/3)

項目	評価条件	選定理由	審査ガイドでの記載
大気拡散評価 モデル	ガウスプルーム モデル	審査ガイドに示され たとおり設定	4.2(2)a. 放射性物質 の空气中濃度は、放出 源高さ及び気象条件 に応じて、空間濃度分 布が水平方向及び鉛 直方向ともに正規分 布になると仮定した ガウスプルームモデ ルを適用して計算す る。
気象データ	東海第二発電所にお ける 1 年間の気象デ ータ (2005 年 4 月～ 2006 年 3 月)	建屋影響を受ける大 気拡散評価を行うた め地上風 (地上約 10m) の気象データを使用 審査ガイドに示され たとおり発電所にお いて観測された 1 年間 の気象データを使用 (添付資料 2 参照)	4.2(2)a. 風向、風速、 大気安定度及び降雨 の観測項目を、現地に おいて少なくとも 1 年間観測して得られ た気象資料を大気拡 散計算に用いる。
実効放出継続時間	10 時間	審査ガイドに示され た放出継続時間に基 づき設定	4.2(2)c. 相 対 濃 度 は、短時間放出又は長 時間放出に応じて、毎 時刻の気象項目と実 効的な放出継続時間 を基に評価点ごとに 計算する。
放出源及び 放出源高さ	放出源：原子炉建屋 放出源高さ：地上 0m	審査ガイドに示され たとおり設定 ただし、放出エネルギー による影響は未考慮	4.4(4)b. 放出源高さは、 地上放出を仮定す る。放出エネルギー は、保守的な結果とな るように考慮しないと 仮定する。

第 1-1-2 表 大気拡散条件 (2/3)

項目	評価条件	選定理由	審査ガイドでの記載
累積出現頻度	小さい方から累積して 97%	審査ガイドに示されたとおり設定	4.2(2)c. 評価点の相対濃度又は相対線量は、毎時刻の相対濃度又は相対線量を年間について小さい方から累積した場合、その累積出現頻度が 97%に当たる値とする。
建屋巻き込み	考慮する	放出点から近距離の建屋の影響を受けるため、建屋による巻き込み現象を考慮	4.2(2)a. 原子炉制御室／緊急時制御室／緊急時対策所の居住性評価で特徴的な放出点から近距離の建屋の影響を受ける場合には、建屋による巻き込み現象を考慮した大気拡散による拡散パラメータを用いる。
巻き込みを生じる代表建屋	原子炉建屋	放出源であり、巻き込みの影響が最も大きい建屋として選定	4.2(2)b. 巻き込みを生じる建屋として、原子炉建屋、タービン建屋等原則として放出源の近隣に存在するすべての建屋が対象となるが、巻き込みの影響が最も大きいと考えられる一つの建屋を代表建屋とすることは、保守的な結果を与える。
放射性物質濃度の評価点	原子炉建屋から緊急時対策所への最近接点	審査ガイドに示されたとおり設定	4.2(2)b. 評価期間中も給気口から外気を取入れることを前提とする場合は、給気口が設置されている原子炉制御室／緊急時制御室／緊急時対策所が属する建屋の表面とする。

第 1-1-2 表 大気拡散条件 (3/3)

項目	評価条件	選定理由	審査ガイドでの記載
着目方位	2 方位 (WSW, W)	審査ガイドに示された評価方法に基づき設定	4.2(2)a. 原子炉制御室／緊急時制御室／緊急時対策所の居住性に係る被ばく評価では，建屋の風下後流側での広範囲に及ぶ乱流混合域が顕著であることから，放射性物質濃度を計算する当該着目方位としては，放出源と評価点とを結ぶラインが含まれる 1 方位のみを対象とするのではなく，図 5 に示すように，建屋の後流側の拡がりの影響が評価点に及ぶ可能性のある複数の方位を対象とする。
建屋投影面積	3,000m ²	審査ガイドに示されたとおり設定 風向に垂直な投影面積のうち最も小さいもの	4.2(2)b. 風向に垂直な代表建屋の投影面積を求め，放射性物質の濃度を求めるために大気拡散式の入力とする。

第 1-1-3 表 クラウドシャインによる被ばくの評価条件

項目	評価条件	選定理由	審査ガイドでの記載
大気中への放射性物質の放出量を基に、屋外の放射性物質を考慮し、緊急時対策所外壁及び内壁による遮蔽効果を踏まえて、放射性物質からのガンマ線による対策要員の外部被ばくを評価する。			
評価点	第 1-1-1 図のとおり	緊急時対策所中心点	4.2(2)b. 屋上面を代表とする場合、例えば原子炉制御室／緊急時対策所の中心点を評価点とすることは妥当である。
遮蔽厚さ	第 1-1-1 図のとおり		4.2(3)a. 原子炉制御室／緊急時制御室／緊急時対策所内にいる運転員又は対策要員に対しては、原子炉制御室／緊急時制御室／緊急時対策所の建屋によって放射線が遮へいされる低減効果を考慮する。

第 1-1-4 表 緊急時対策所建屋内の放射性物質からのガンマ線による
被ばくの評価条件

項目	評価条件	選定理由	審査ガイドでの記載
大気中への放射性物質の放出量を基に、緊急時対策所内に取り込まれた放射性物質を考慮し、緊急時対策所の内壁による遮蔽効果を踏まえて、放射性物質からのガンマ線による対策要員の外部被ばくを評価する。			
評価点	第 1-1-2 図のとおり	緊急時対策所中心点	—
遮蔽厚さ	第 1-1-2 図のとおり		4.2(3)a. 原子炉制御室／緊急時制御室／緊急時対策所内にいる運転員又は対策要員に対しては、原子炉制御室／緊急時制御室／緊急時対策所の建屋によって放射線が遮へいされる低減効果を考慮する。

第 1-1-5 表 グランドシャインの評価条件

項目	評価条件	選定理由	審査ガイドでの記載
大気中への放射性物質の放出量を基に，緊急時対策所の屋上面及び屋外の地表面に沈着した放射性物質を考慮し，緊急時対策所外壁及び内壁に設置した遮蔽壁による遮蔽効果を踏まえて，放射性物質からのガンマ線による対策要員の外部被ばくを評価する。（添付資料 6 参照）			
評価点	第 1-1-3 図のとおり	沈着した線源の影響が最も大きくなる点を選定 （緊急時対策所の天井レベルにて評価）	—
遮蔽厚さ	第 1-1-3 図のとおり		4.2(3)a. 原子炉制御室／緊急時制御室／緊急時対策所内にいる運転員又は対策要員に対しては、原子炉制御室／緊急時制御室／緊急時対策所の建屋によって放射線が遮へいされる低減効果を考慮する。
計算コード	QAD-CGGP2R	許認可解析にて実績のあるコード	—

第 1-1-6 表 直接ガンマ線及びスカイシャインガンマ線の評価条件

項目		評価条件	選定理由	審査ガイドでの記載
緊急時対策所外壁及び内壁による遮蔽効果を踏まえて、原子炉建屋内の放射性物質からの直接ガンマ線及びスカイシャインガンマ線による対策要員の被ばくを評価する。				
線源強度	原子炉建屋原子炉棟内線源強度分布	放出された放射性物質が自由空間容積に均一に分布するとし、事故後 7 日間の積算線源強度を計算	審査ガイドに示されたとおり設定	4.4(5)a. 原子炉建屋内の放射性物質は、自由空間容積に均一に分布するものとして、事故後 7 日間の積算線源強度を計算する。
	事故の評価期間	7 日	同上	同上
評価点		第 1-1-5 図、第 1-1-6 図のとおり	中心点より線源となる建屋に近い壁側を選定（緊急時対策所の天井レベルにて評価）	—
遮蔽厚さ		第 1-1-4 図、第 1-1-5 図、第 1-1-6 図のとおり	原子炉建屋、緊急時対策所の躯体厚さを参照	4.4(5)a. 原子炉建屋内の放射性物質からのスカイシャインガンマ線及び直接ガンマ線による外部被ばく線量は、積算線源強度、施設の位置、遮へい構造及び地形条件から計算する。
直接ガンマ線・スカイシャインガンマ線評価コード		直接ガンマ線の線量評価： QAD-CGGP2R スカイシャインガンマ線の線量評価： ANISN G33-GP2R	直接ガンマ線の線量評価に用いる QAD-CGGP2R は三次元形状を、スカイシャインガンマ線の線量評価に用いる ANISN 及び G33-GP2R はそれぞれ一次元、三次元形状を扱う遮蔽解析コードであり、ガンマ線の線量を計算することができる。計算に必要な主な条件は、線源形状、遮蔽体条件であり、これらの条件が与えられれば線量評価は可能である。従って、設計基準事故を超える事故における線量評価に適用可能である。QAD-CGGP2R、ANISN 及び G33-GP2R はそれぞれ許認可での使用実績がある。	—

第 1-1-7 表 直接ガンマ線及びスカイシャインガンマ線の評価に用いる

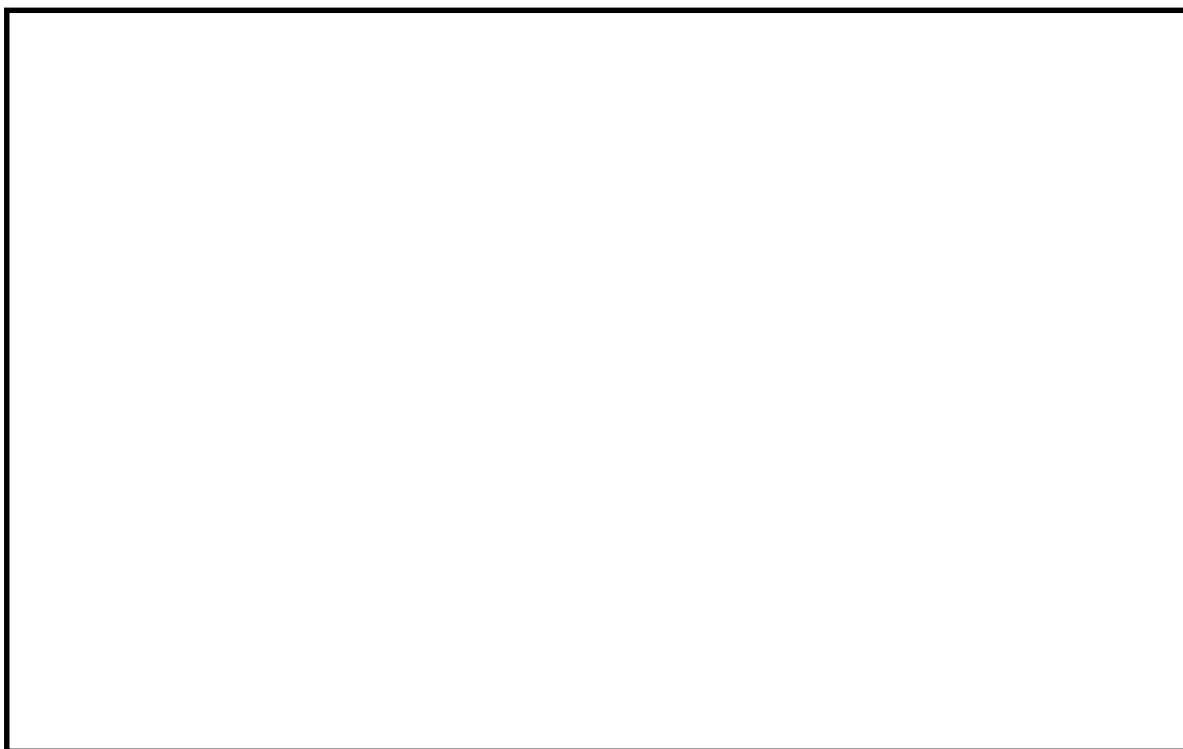
原子炉建屋内の積算線源強度※¹

エネルギー (MeV)		積算線源強度 (Photons)
下限	上限 (代表エネルギー)	
—	1.00×10^{-2}	1.92×10^{22}
1.00×10^{-2}	2.00×10^{-2}	2.13×10^{22}
2.00×10^{-2}	3.00×10^{-2}	9.88×10^{22}
3.00×10^{-2}	4.50×10^{-2}	5.05×10^{22}
4.50×10^{-2}	6.00×10^{-2}	1.00×10^{22}
6.00×10^{-2}	7.00×10^{-2}	6.68×10^{21}
7.00×10^{-2}	7.50×10^{-2}	5.86×10^{21}
7.50×10^{-2}	1.00×10^{-1}	2.93×10^{22}
1.00×10^{-1}	1.50×10^{-1}	1.73×10^{22}
1.50×10^{-1}	2.00×10^{-1}	4.42×10^{22}
2.00×10^{-1}	3.00×10^{-1}	8.84×10^{22}
3.00×10^{-1}	4.00×10^{-1}	1.30×10^{23}
4.00×10^{-1}	4.50×10^{-1}	6.51×10^{22}
4.50×10^{-1}	5.10×10^{-1}	9.25×10^{22}
5.10×10^{-1}	5.12×10^{-1}	3.08×10^{21}
5.12×10^{-1}	6.00×10^{-1}	1.36×10^{23}
6.00×10^{-1}	7.00×10^{-1}	1.54×10^{23}
7.00×10^{-1}	8.00×10^{-1}	6.65×10^{22}
8.00×10^{-1}	1.00×10^0	1.33×10^{23}
1.00×10^0	1.33×10^0	3.03×10^{22}
1.33×10^0	1.34×10^0	9.12×10^{20}
1.34×10^0	1.50×10^0	1.47×10^{22}
1.50×10^0	1.66×10^0	1.57×10^{21}
1.66×10^0	2.00×10^0	3.33×10^{21}
2.00×10^0	2.50×10^0	2.15×10^{21}
2.50×10^0	3.00×10^0	1.05×10^{20}
3.00×10^0	3.50×10^0	2.44×10^{17}
3.50×10^0	4.00×10^0	2.44×10^{17}
4.00×10^0	4.50×10^0	6.40×10^{11}
4.50×10^0	5.00×10^0	6.40×10^{11}
5.00×10^0	5.50×10^0	6.40×10^{11}
5.50×10^0	6.00×10^0	6.40×10^{11}
6.00×10^0	6.50×10^0	7.37×10^{10}
6.50×10^0	7.00×10^0	7.37×10^{10}
7.00×10^0	7.50×10^0	7.37×10^{10}
7.50×10^0	8.00×10^0	7.37×10^{10}
8.00×10^0	1.00×10^1	2.26×10^{10}
1.00×10^1	1.20×10^1	1.13×10^{10}
1.20×10^1	1.40×10^1	0.00×00^0
1.40×10^1	2.00×10^1	0.00×00^0
2.00×10^1	3.00×10^1	0.00×00^0
3.00×10^1	5.00×10^1	0.00×00^0

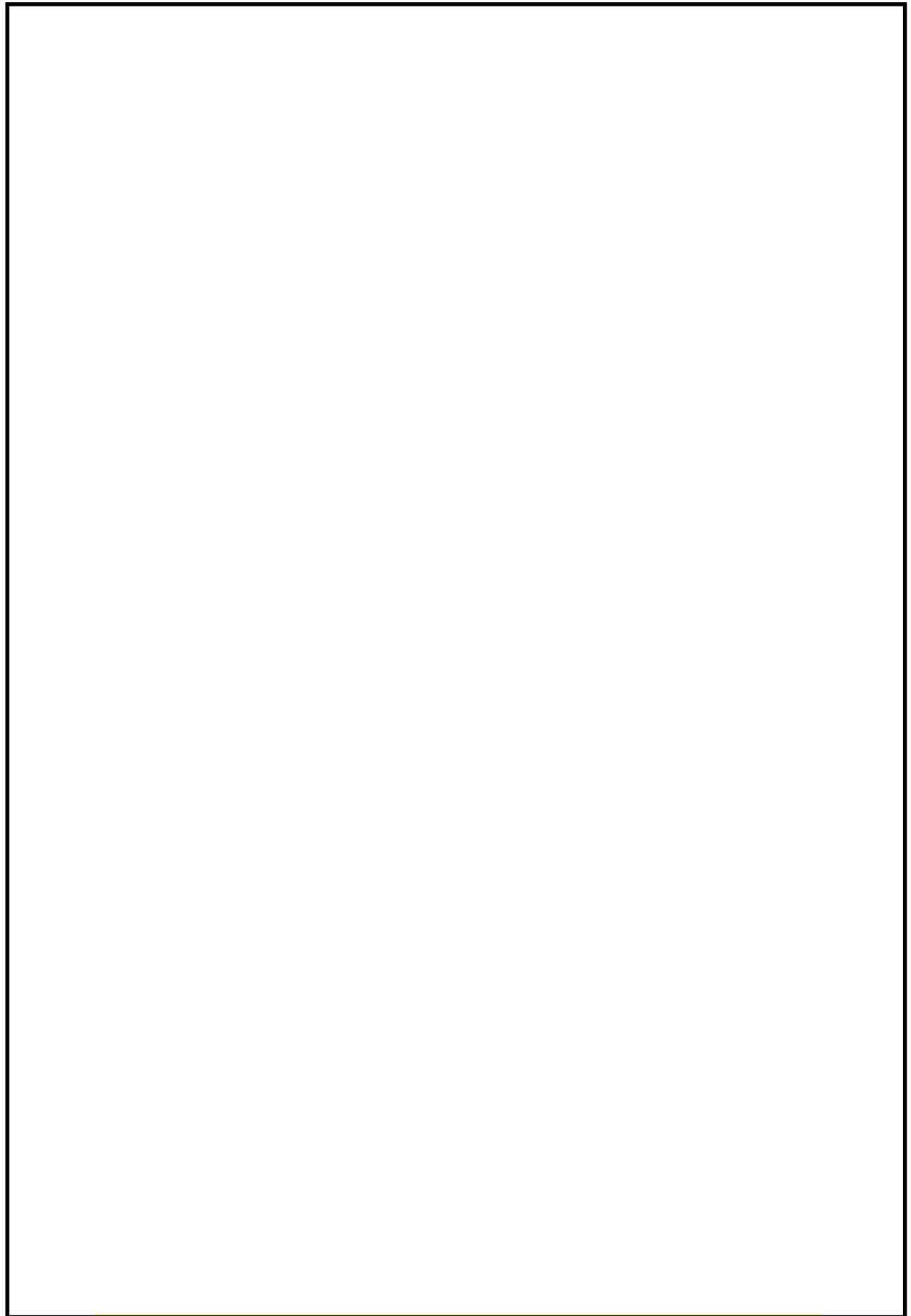
※1 ビルドアップ係数等については、代表エネルギー毎に評価している。



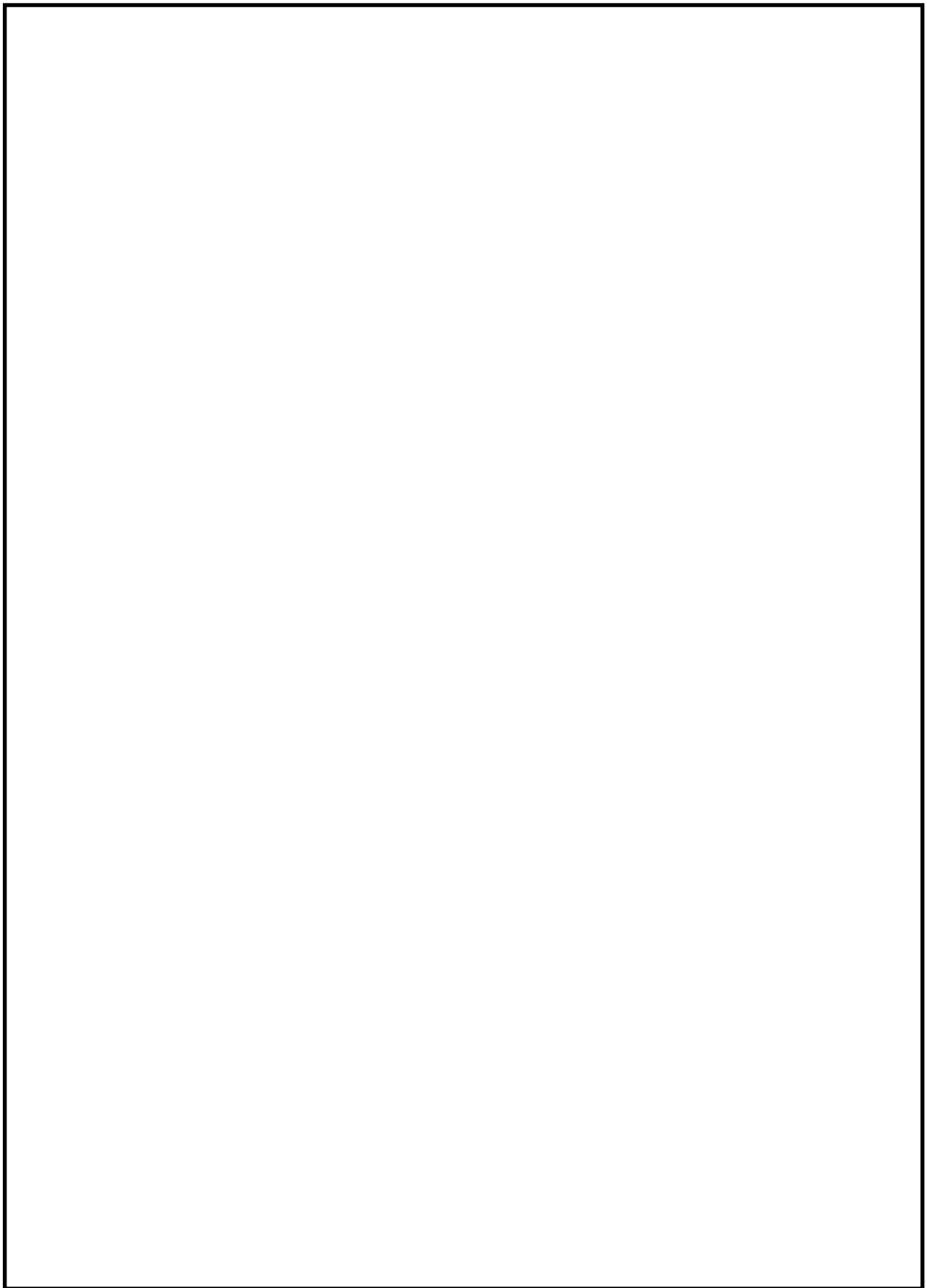
第 1-1-1 図 クラウドシャインによる被ばくの計算モデル



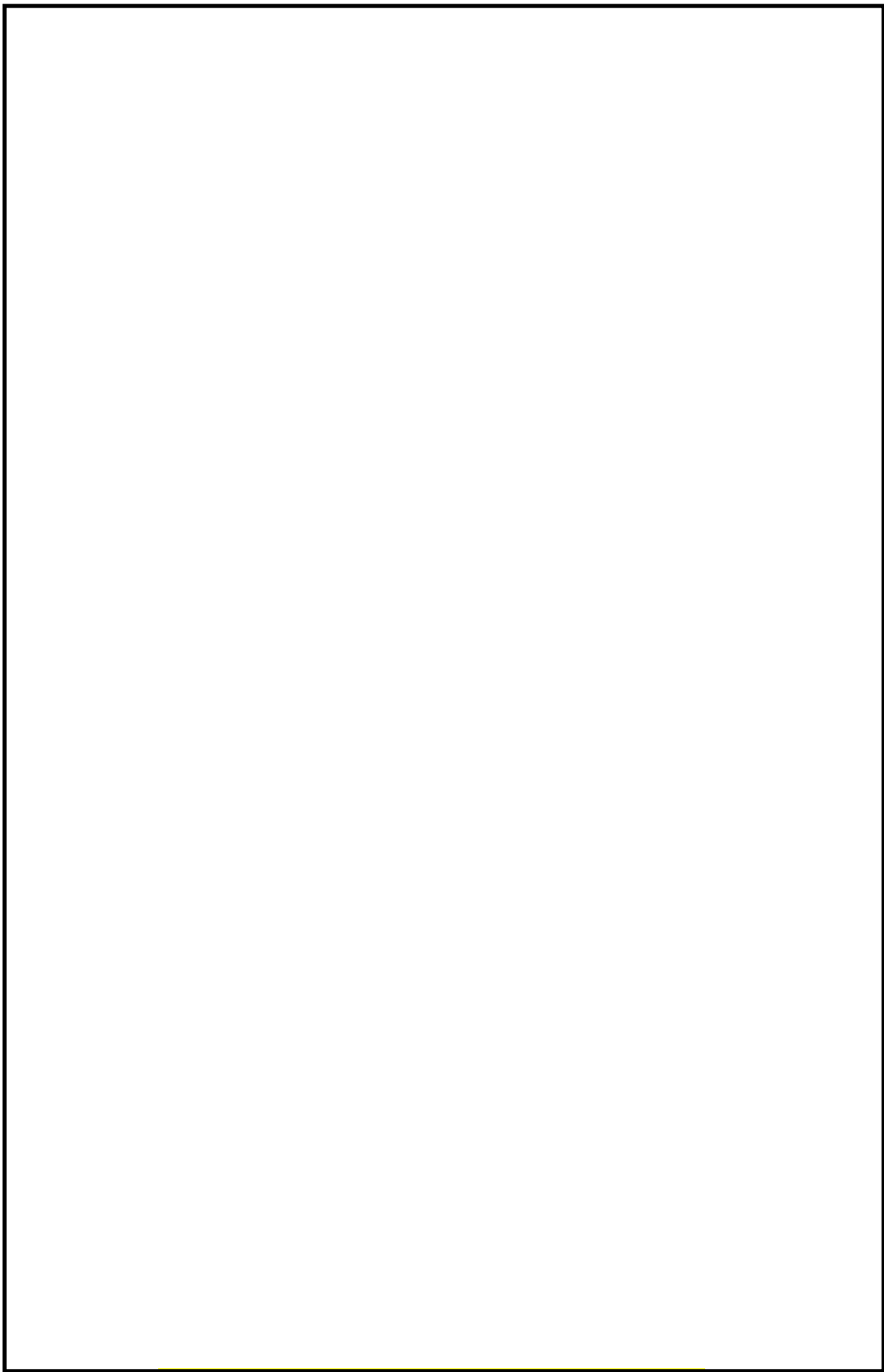
第 1-1-2 図 緊急時対策所建屋内の放射性物質からのガンマ線による
被ばくの計算モデル



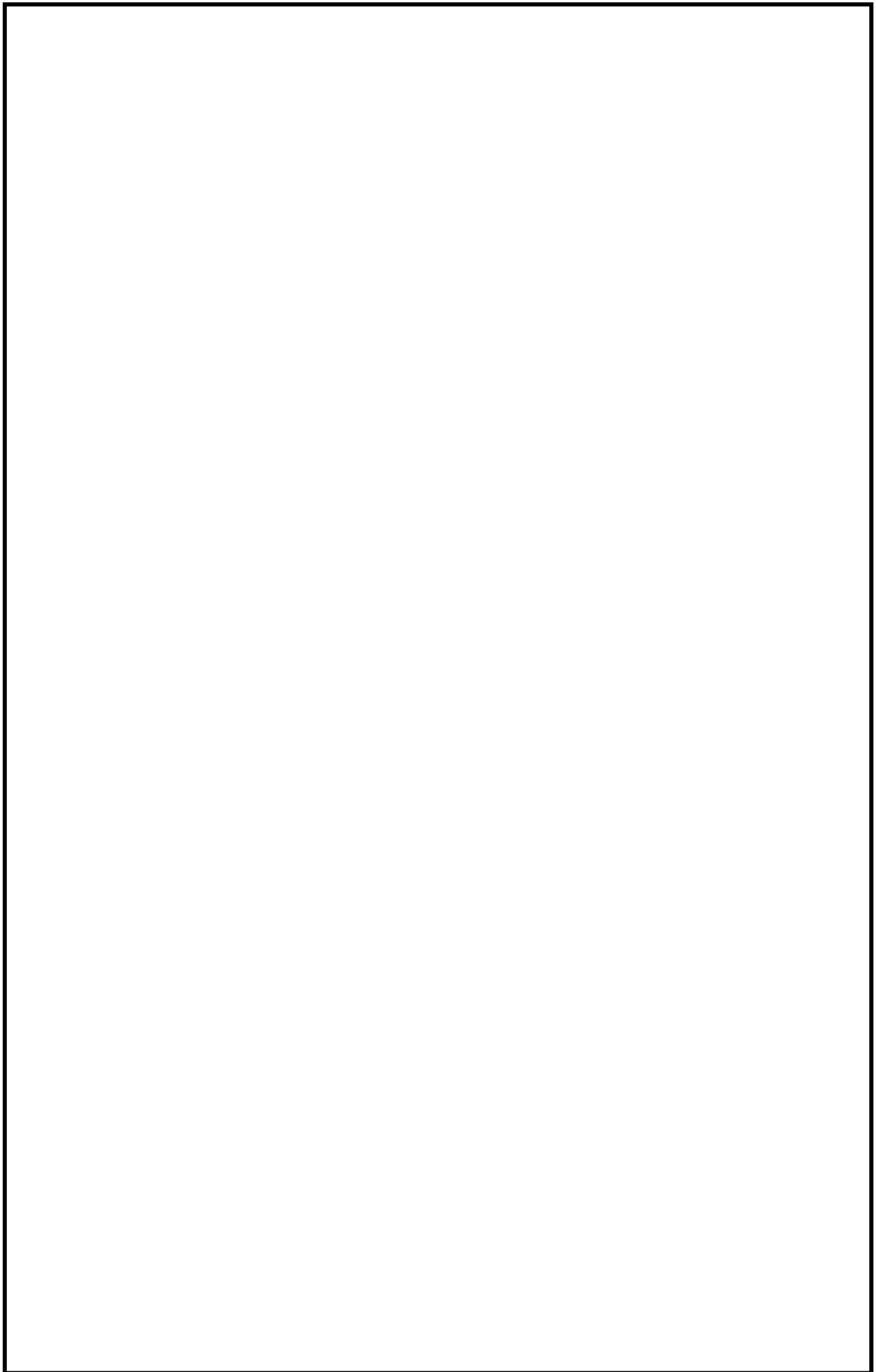
第 1-1-3 図 グランドシャインによる被ばくの計算モデル (1/2)



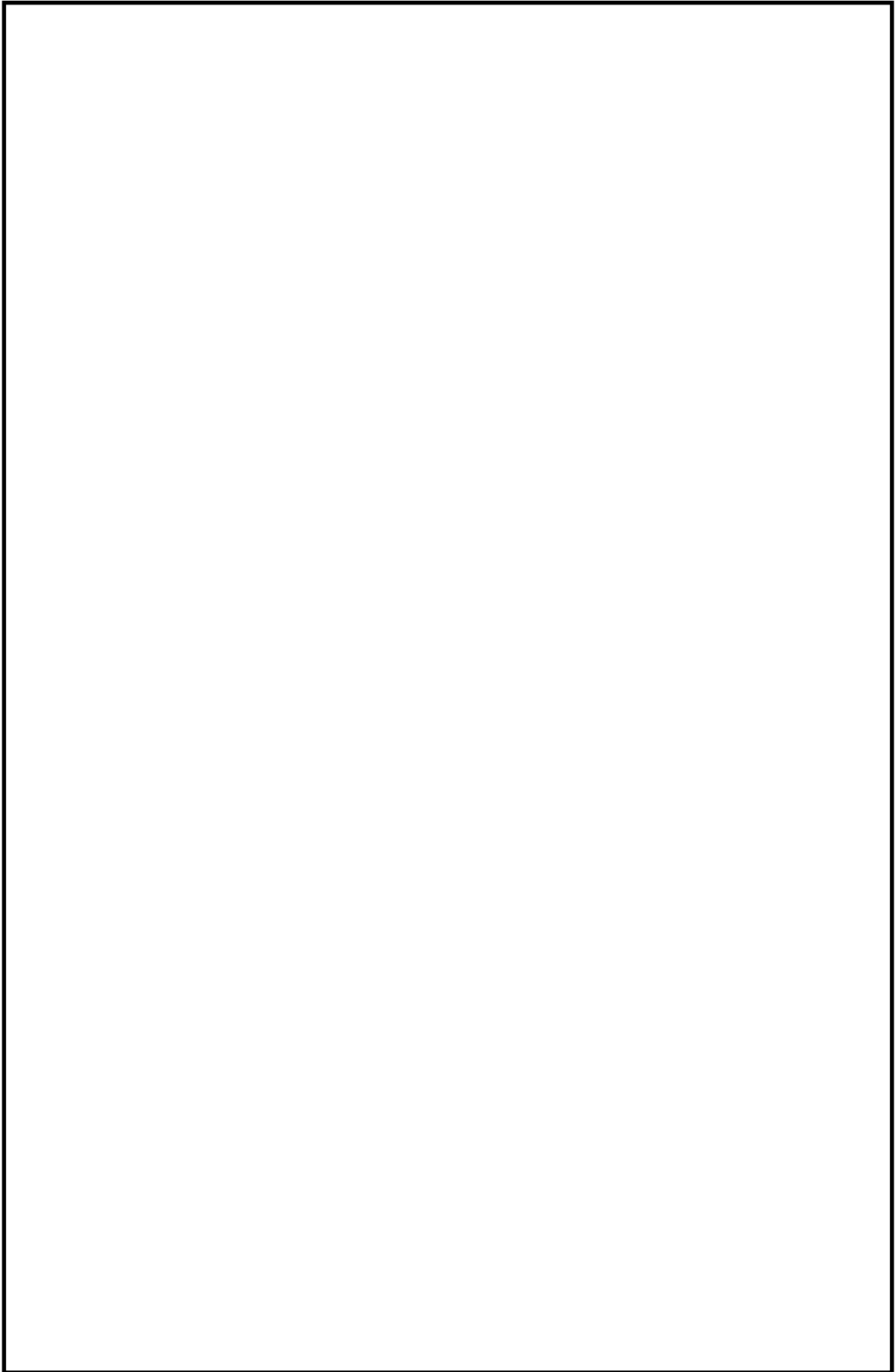
第 1-1-3 図 グランドシャインによる被ばくの計算モデル (2/2)



第 1-1-4 図 直接ガンマ線の計算モデル (1/5)

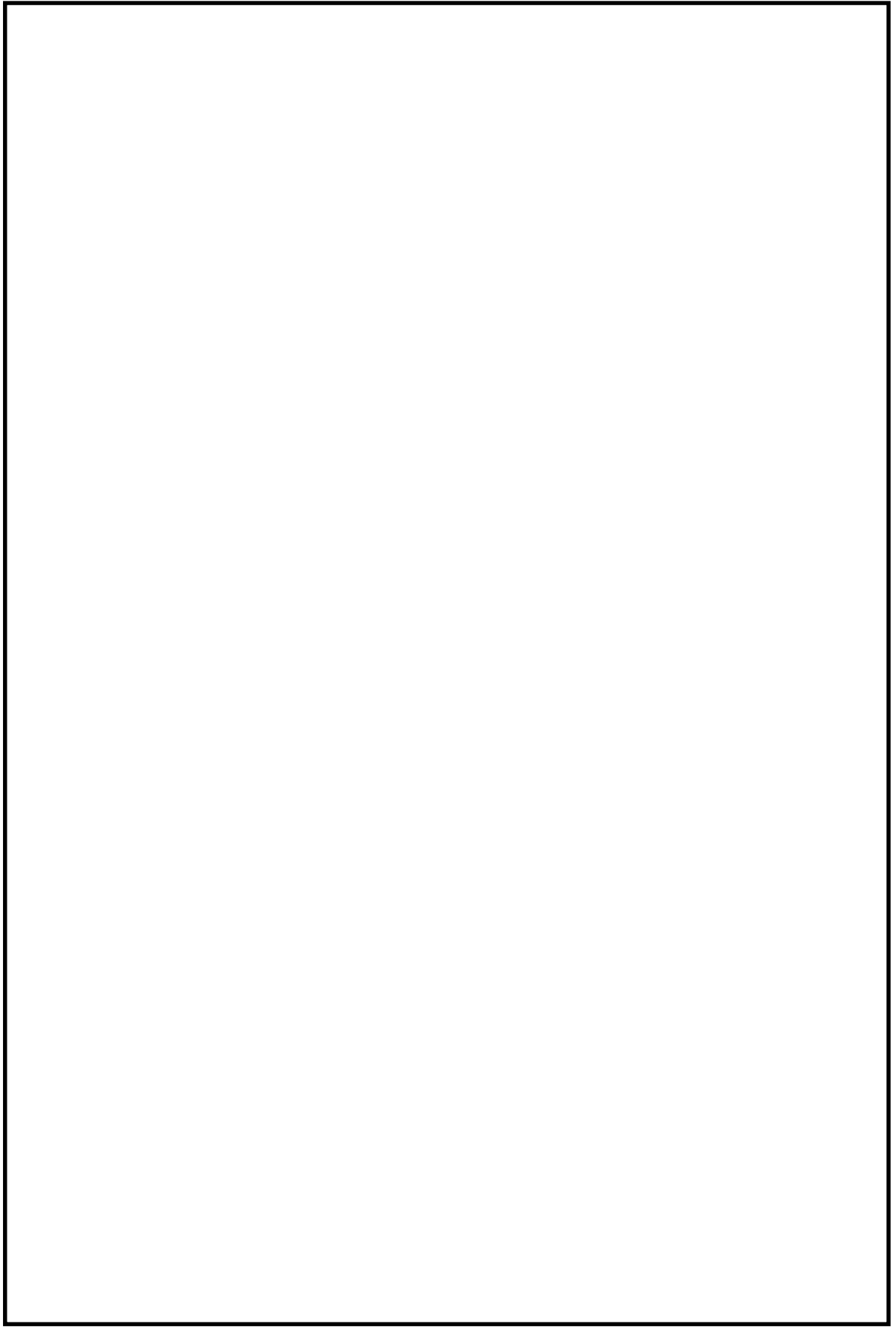


第 1-1-4 図 直接ガンマ線の計算モデル (2/5)

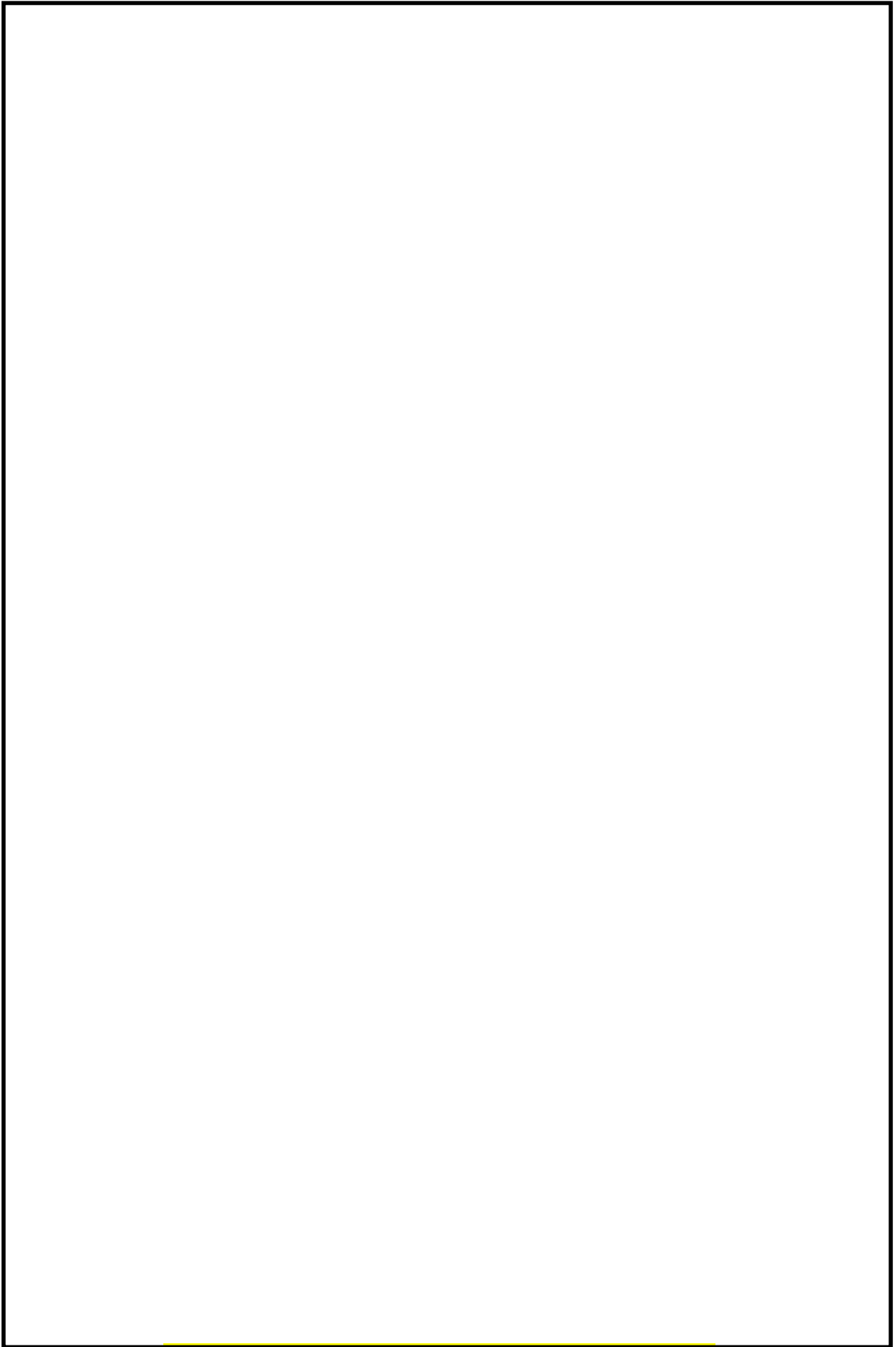


第 1-1-4 図 直接ガンマ線の計算モデル (3/5)

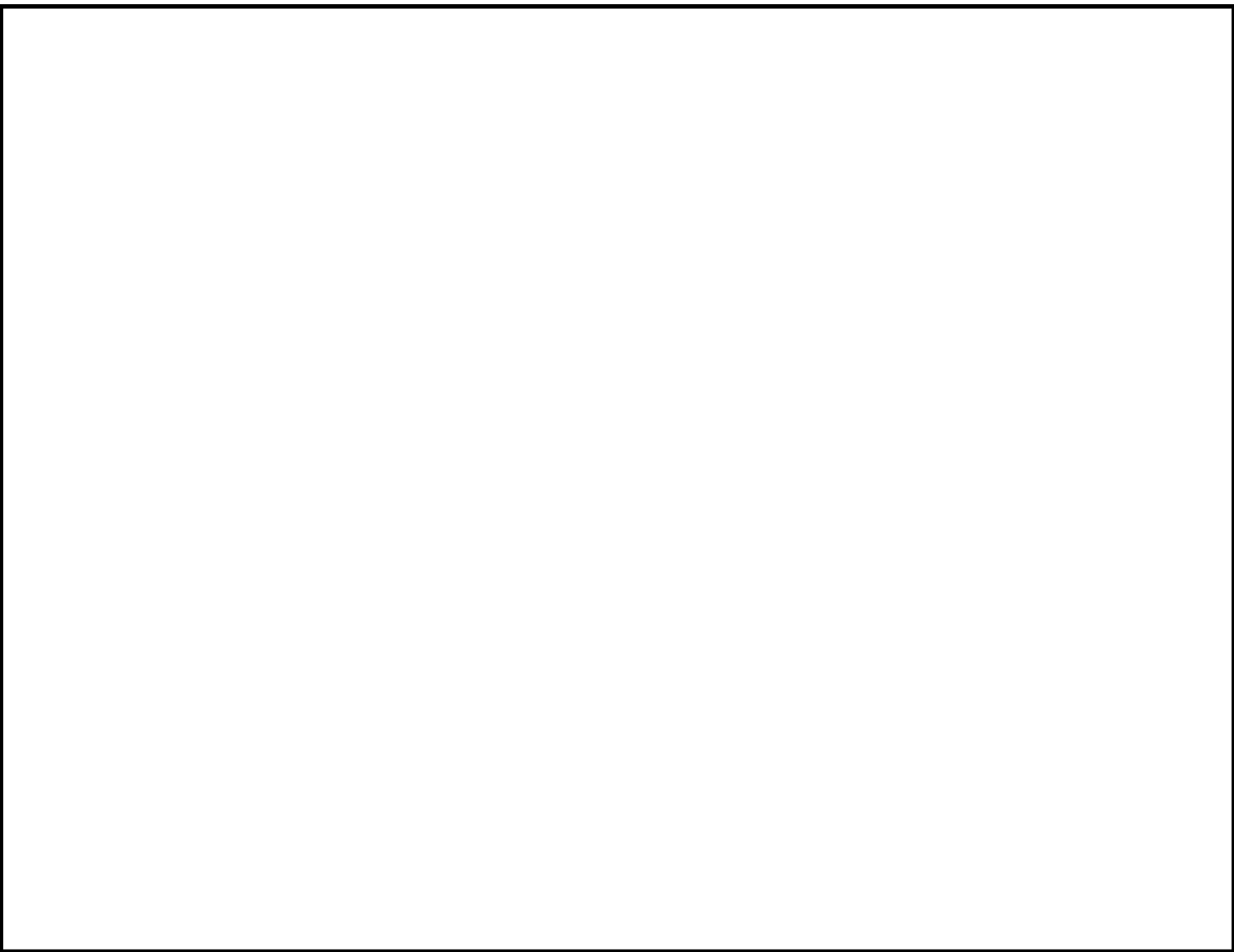
61-10-27



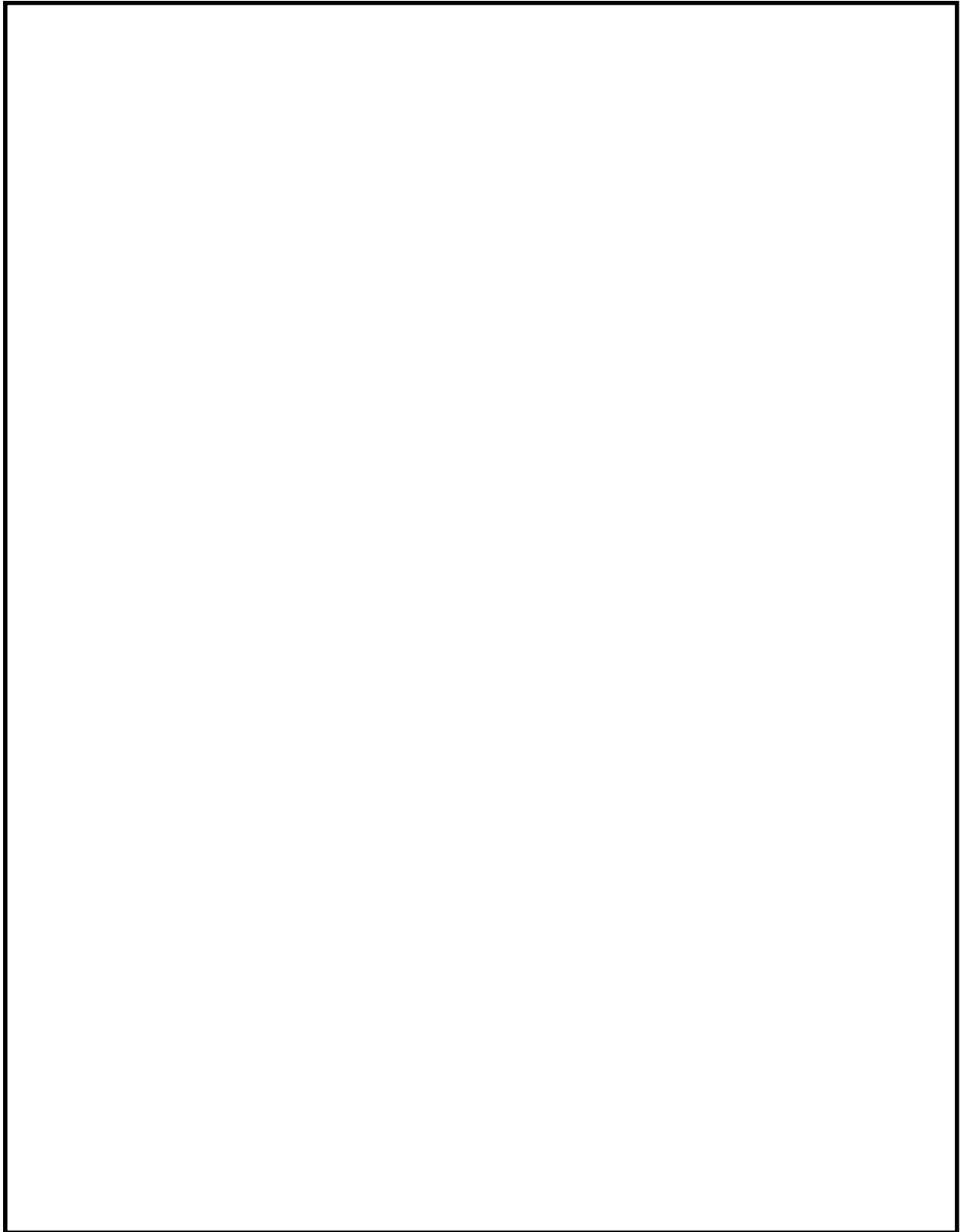
第 1-1-4 図 直接ガンマ線の計算モデル (4/5)



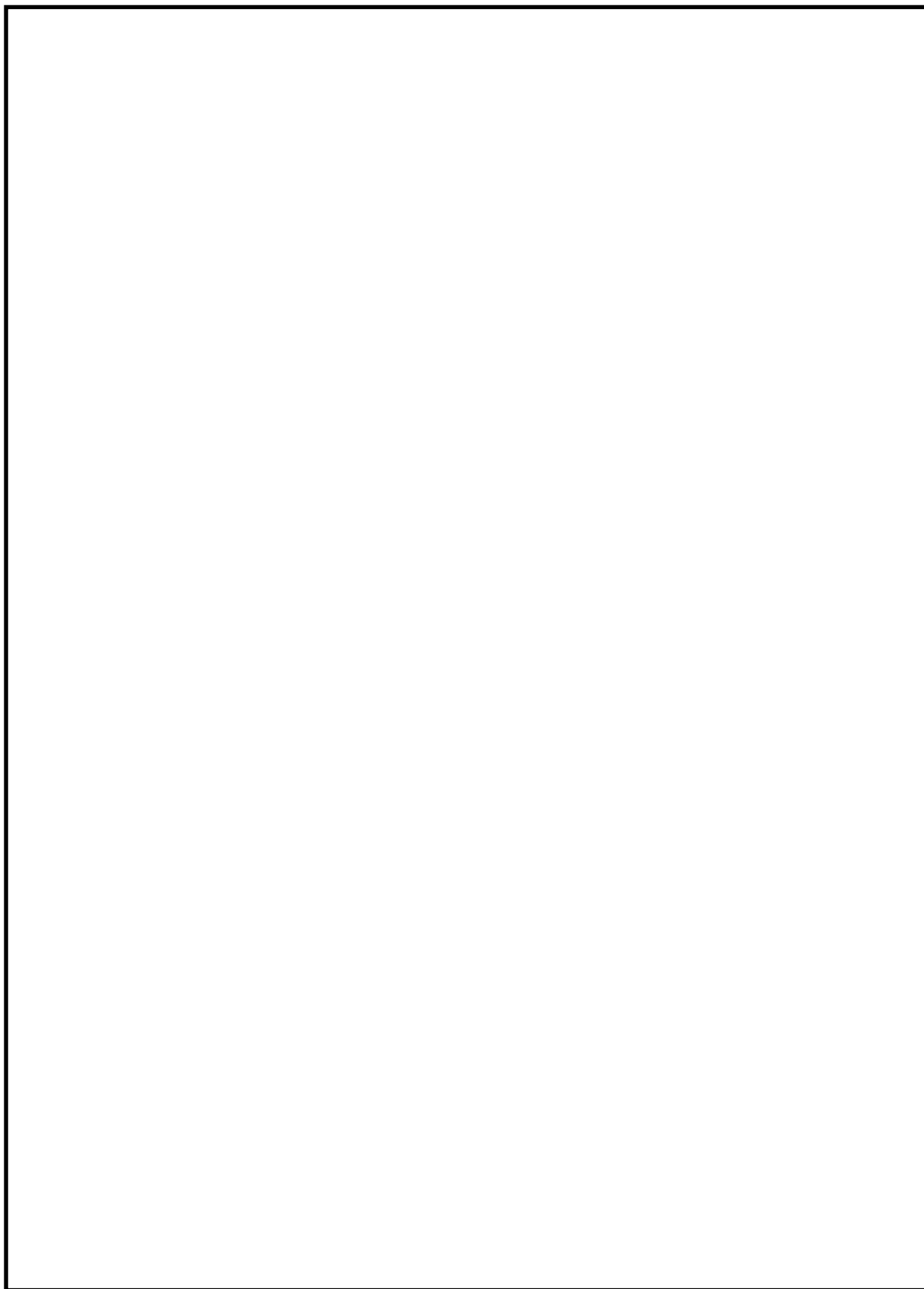
第 1-1-4 図 直接ガンマ線の計算モデル (5/5)



第 1-1-5 図 直接ガンマ線の計算モデル（緊急時対策所－原子炉建屋）



第 1-1-6 図 スカイシャインガンマの計算モデル (1/2)



第 1-1-6 図 スカイシャインガンマの計算モデル (2/2)

61-10-32

第 1-1-8 表 緊急時対策所換気設備条件 (1/3)

項目	評価条件	選定理由	審査ガイドでの記載
緊急時対策所 換気設備運転 モード	事象発生～24 時間： 緊対建屋加圧モード 事故後 24～34 時間： 災害対策本部加圧モード 事故後 34～35 時間： 緊対建屋浄化モード 事故後 35～168 時間： 緊対建屋加圧モード	事故後 24 時間か ら 34 時間は、外気 少量取り込みによ り建屋内への放射 性物質の流入を低 減する。	4.2(2)e. 原子炉制御室／ 緊急時制御室／緊急時対 策所内への外気取入によ る放射性物質の取り込み については、非常用換気空 調設備の設計及び運転条 件に従って計算する。 4.4(3)a. 緊急時制御室又 は緊急時対策所の非常用 換気空調設備は、上記(2) の非常用電源によって作 動すると仮定する。
緊急時対策所 用加圧設備空 気ポンベ加圧	事故後 24～35 時間 (11 時間)	緊急時対策所用加 圧設備空気ポンベ の加圧設計容量よ り設定	
事故時におけ る外気取り込 み	考慮する	緊急時対策所は、 緊急時対策所加圧 設備空気ポンベに よる加圧時は浄化 エリアよりも加圧 されているため外 気取り込みはない が、緊急時対策所 加圧設備空気ポン ベ加圧時以外は、 外気取り込みを行 う。	4.2.(2)e. 原子炉制御室 ／緊急時制御室／緊急時 対策所の建屋の表面空気 中から、次の二つの経路で 放射性物質が外気から取 り込まれることを仮定す る。 一 原子炉制御室／緊急時 制御室／緊急時対策所の 非常用換気空調設備によ って室内に取り入れるこ と（外気取入）
緊急時対策所 バウンダリ体 積（容積）	緊急時対策所：3,000m ³ 浄化エリア：12,800m ³	審査ガイドに示さ れたとおり設計値 を基に設定	4.2(2)e. 原子炉制御室／ 緊急時制御室／緊急時対 策所内に取り込まれる放 射性物質の空気流入量は、 空気流入率及び原子炉制 御室／緊急時制御室／緊 急時対策所バウンダリ体 積（容積）を用いて計算す る。

第 1-1-8 表 緊急時対策所換気設備条件 (2/3)

項目	評価条件	選定理由	審査ガイドでの記載
外部ガンマ線による全身に対する線量評価時の自由体積	事故後 24～35 時間： 浄化エリアの容積 12,800m ³ 事故後 35～168 時間： 緊急時対策所及び浄化エリアの容積 15,800 m ³	審査ガイドに示されたとおり設計値を基に設定	4.2(2)e. 原子炉制御室／緊急時制御室／緊急時対策所内に取り込まれる放射性物質の空気流入量は、空気流入率及び原子炉制御室／緊急時制御室／緊急時対策所バウンダリ体積（容積）を用いて計算する。
緊急時対策所非常用送風機ファン流量	事象発生～24時間： 5,000m ³ /h 24～34時間： 900m ³ /h 34～168時間： 5,000m ³ /h	審査ガイドに示されたとおり設計値を基に設定	4.2(2)e. 原子炉制御室／緊急時制御室／緊急時対策所内への外気取入による放射性物質の取り込みについては、非常用換気空調設備の設計及び運転条件に従って計算する
緊急時対策所非常用よう素フィルタ、微粒子フィルタによる除去効率	有機よう素：99.0% 無機よう素：99.0% 粒子状物質：99.9%	設計上期待できる値を設定 有機/無機よう素フィルタ除去効率：99.0%以上 粒子状物質：99.9%以上	4.2(1)a. よう素及びエアロゾルのフィルタ効率は、使用条件での設計値を基に設定する。 なお、フィルタ効率の設定に際し、よう素類の性状を適切に考慮する。
緊急時対策所の空気流入率	0 回/h	緊急時対策所加圧設備 空気ポンベによる緊急時対策所内の加圧又は換気設備を用いた外気を取り入れによる緊急時対策所内の加圧が行われるため、フィルタを通らない空気流入はないものとする。	4.2(1)b. 新設の場合では、空気流入率は、設計値を基に設定する。 (なお、原子炉制御室／緊急時制御室／緊急時対策所設置後、設定値の妥当性を空気流入率測定試験によって確認する。)

第 1-1-8 表 緊急時対策所換気設備条件 (3/3)

項目	評価条件	選定理由	審査ガイドでの記載
マスクによる 除染係数	考慮しない	居住環境上の被ばく低減措置を優先し、評価においては着用しないこととした。	3. プルーム通過時等に特別な防護措置を講じる場合を除き、対策要員は緊急時対策所内でのマスクの着用なしとして評価すること。
安定よう素剤 服用	考慮しない	居住環境上の被ばく低減措置を優先し、評価においては服用しないこととした。	3. 交代要員体制、安定よう素剤の服用、仮設設備等を考慮してもよい。 ただしその場合は、実施のための体制を整備すること。
交代要員の考 慮	考慮しない	居住環境上の被ばく低減措置を優先し、評価においては交代を考慮しないこととした。	同上

第 1-1-9 表 線量換算係数，呼吸率及び地表面への沈着速度の条件

項目	評価条件	選定理由	審査ガイドでの記載
線量換算係数	成人実効線量換算係数を使用（主な核種を以下に示す） $I-131 : 2.0 \times 10^{-8} \text{ Sv/Bq}$ $I-132 : 3.1 \times 10^{-10} \text{ Sv/Bq}$ $I-133 : 4.0 \times 10^{-9} \text{ Sv/Bq}$ $I-134 : 1.5 \times 10^{-10} \text{ Sv/Bq}$ $I-135 : 9.2 \times 10^{-10} \text{ Sv/Bq}$ $Cs-134 : 2.0 \times 10^{-8} \text{ Sv/Bq}$ $Cs-136 : 2.8 \times 10^{-9} \text{ Sv/Bq}$ $Cs-137 : 3.9 \times 10^{-8} \text{ Sv/Bq}$ 上記以外の核種は ICRP Publication71 及び ICRP Publication72 に基づく	ICRP Publication 71 及び ICRP Publication 72 に基づく	線量換算係数について，記載なし
呼吸率	$1.2 \text{ m}^3/\text{h}$	ICRP Publication 71 に基づく成人活動時の呼吸率を設定	呼吸率について，記載なし
地表面への沈着速度	エアロゾル： 1.2 cm/s よう素： 1.2 cm/s 希ガス：沈着無し	線量目標値評価指針を参考に，湿性沈着を考慮して乾性沈着速度（ 0.3 cm/s ）の 4 倍を設定（添付資料 5，6 参照） 乾性沈着速度は NUREG/CR-4551 Vol.2* ¹ より設定	4.2(2)d. 放射性物質の地表面への沈着評価では，地表面への乾性沈着及び降雨への湿性沈着を考慮して地表面沈着濃度を計算する。

※ 1 : NUREG/CR 4551 Vol.2 “Evaluation of Severe Accident Risks : Quantification of Major Input Parameters”

被ばく評価に用いた気象資料の代表性

1. はじめに

新規制基準適合性に係る設置変更許可申請に当たっては、東海第二発電所敷地内で 2005 年度に観測された風向、風速等を用いて線量評価を行っている。本補足資料では、2005 年度の気象データを用いて線量評価することの妥当性について説明する。

2. 設置変更許可申請において 2005 年度の気象データを用いた理由

線量評価には「発電用原子炉施設の安全解析に関する気象指針」（以下、気象指針という。）に基づき統計処理された気象データを用いる。また、気象データのほかに放射性物質の放出量、排気筒高さ等のプラントデータ、評価点までの距離、排気筒有効高さ（風洞実験結果）等のデータが必要となる。

設置変更許可申請における線量評価については、敷地の気象の代表性が確認された 2005 年度の気象データを用いた風洞実験結果*を用いている。

※：風洞実験は平常時、事故時の放出源高さで平地実験、模型実験を行い排気筒の有効高さを求めている。平常時の放出源高さの設定に当たっては、吹上げ高さを考慮しており、吹上げ高さの計算に 2005 年度の気象データ（風向別風速逆数の平均）を用いている。

3. 2005 年度の気象データを用いて線量評価することの妥当性

線量評価に用いる気象データについては、気象指針に従い統計処理された 1 年間の気象データを使用している。気象指針（参考参照）では、その年の気象がとくに異常であるか否かを最寄の気象官署の気象資料を用いて調査すること

が望ましいとしている。

以上のことから、2005 年度の気象データを用いることの妥当性を最新の気象データと比較し、以下の(1)(2)について確認する。

- (1) 想定事故時の線量計算に用いる相対濃度
- (2) 異常年検定

4. 想定事故時の線量計算に用いる相対濃度と異常年検定の評価結果

(1) 想定事故時の線量計算に用いる相対濃度の最新の気象との比較

想定事故時の線量計算に用いる相対濃度について、線量評価に用いる気象（2005 年度）と最新の気象（2015 年度）との比較を行った。その結果、2005 年度気象での相対濃度※は $2.01 \times 10^{-6} \text{ s/m}^3$ ，2015 年度気象では $2.04 \times 10^{-6} \text{ s/m}^3$ である。2005 年度に対し 2015 年度の相対濃度は約 1% の増加（気象指針に記載の相対濃度の年変動の範囲 30% 以内）であり、2005 年度の気象データに特異性はない。

※：排気筒放出における各方位の 1 時間毎の気象データを用いた年間の相対濃度を小さい方から累積し、その累積頻度が 97% に当たる相対濃度を算出し、各方位の最大値を比較

(2) 異常年検定

a. 検定に用いた観測記録

検定に用いた観測記録は第 1-2-1 表のとおりである。

なお、参考として、最寄の気象官署（水戸地方気象台，小名浜特別地域気象観測所）の観測記録についても使用した。

第 1-2-1 表 検定に用いた観測記録

検定年	統計年※ ¹	観測地点※ ²
2005 年度： 2005 年 4 月 ～ 2006 年 3 月	① 2001 年 4 月～2013 年 3 月 (申請時最新 10 年の気象データ)	・敷地内観測地点 (地上高 10m, 81m, 140m)
	② 2004 年 4 月～2016 年 3 月 (最新 10 年の気象データ)	・敷地内観測地点 (地上高 10m, 81m, 140m) <参考> ・水戸地方気象台 ・小名浜特別地域気象 観測所

※1：2006 年度は気象データの欠測率が高いため統計年から除外

※2：敷地内観測地点地上 81m は東海発電所の排気筒付近のデータである
が、気象の特異性を確認するため評価

b. 検定方法

不良標本の棄却検定に関する F 分布検定の手順により異常年検定を行った。

c. 検定結果（①～⑯ 棄却検定表参照）

検定結果は第 1-2-2 表のとおりであり、最新の気象データ（2004 年 4 月～2016 年 3 月）を用いた場合でも、有意水準（危険率）5%での棄却数は少なく、有意な増加はない。また、最寄の気象官署の気象データにおいても、有意水準（危険率）5%での棄却数は少なく、2005 年度の気象データは異常年とは判断されない。

第 1-2-2 表 検定結果

検定年	統計年 ^{※1}	棄却数				
		敷地内観測地点			参 考	
		地上高 10m	地上高 81m ^{※2}	地上高 140m	水戸地方 気象台	小名浜特 別地域気 象観測所
2005 年度	①	1 個	0 個	3 個	—	—
	②	3 個	1 個	4 個	1 個	3 個

※1：①：2001 年 4 月～2013 年 3 月（申請時最新 10 年の気象データ）

②：2004 年 4 月～2016 年 3 月（最新 10 年の気象データ）

2006 年度は気象データの欠測率が高いため統計年から除外

※2:敷地内観測地点地上 81m は東海発電所の排気筒付近のデータであるが、
気象の特異性を確認するため評価

5. 異常年検定による棄却項目の線量評価に与える影響

異常年検定については、風向別出現頻度 17 項目、風速階級別出現頻度 10 項目についてそれぞれ検定を行っている。

線量評価に用いる気象(2005 年度)を最新の気象データ(2004 年 4 月～2016 年 3 月)にて検定した結果、最大の棄却数は地上高 140m の観測地点で 27 項目中 4 個であった。棄却された項目について着目すると、棄却された項目は全て風向別出現頻度であり、その方位は E N E，E，E S E，S S W である。

ここで、最新の気象データを用いた場合の線量評価への影響を確認するため、棄却された各風向の相対濃度について、2005 年度と 2015 年度を第 1-2-3 表のとおり比較した。

E N E, E, E S Eについては2005年度に対し2015年度は0.5～0.9倍程度の相対濃度となり、2005年度での評価は保守的な評価となっており、線量評価結果への影響を与えない。なお、S S Wについては2005年度に対し2015年度は約1.1倍の相対濃度とほぼ同等であり、また、S S Wは頻度が比較的 low 相対濃度の最大方位とはならないため線量評価への影響はない。

第 1-2-3 表 棄却された各風向の相対濃度の比較結果

風向	相対濃度※ (s/m ³) (2005 年度) : A	相対濃度※ (s/m ³) (2015 年度) : B	比 (B / A)
E N E	1.456×10^{-6}	1.258×10^{-6}	0.864
E	1.982×10^{-6}	1.010×10^{-6}	0.510
E S E	1.810×10^{-6}	1.062×10^{-6}	0.587
S S W	1.265×10^{-6}	1.421×10^{-6}	1.123

※：燃料集合体落下事故を想定した排気筒放出における、各方位の1時間毎の気象データを用いた年間の相対濃度を小さい方から累積し、その累積頻度が97%に当たる相対濃度を算出

6. 結 論

2005年度の気象データを用いることの妥当性を最新の気象データとの比較により評価した結果は以下のとおり。

- (1) 想定事故時の線量計算に用いる相対濃度について、線量評価に用いる気象(2005年度)と最新の気象(2015年度)での計算結果について比較を行った結果、気象指針に記載されている相対濃度の年変動(30%以内)の範囲に収まり、2005年度の気象データに特異性はない。
- (2) 2005年度の気象データについて申請時の最新気象データ(2001年4月～

2013 年 3 月) 及び最新気象データ (2004 年 4 月～2016 年 3 月) で異常年検定を行った結果, 棄却数は少なく, 有意な増加はない。また, 気象指針にて調査することが推奨されている最寄の気象官署の気象データにおいても, 2005 年度の気象データは棄却数は少なく, 異常年とは判断されない。

(3) 異常年検定にて棄却された風向の相対濃度については, 最新気象データと比べて保守的, あるいは, ほぼ同等となっており, 線量評価結果への影響を与えない。

以上より, 2005 年度の気象データを線量評価に用いることは妥当である。

① 棄却検定表（風向）（標高148m）

観測場所：敷地内A地点（標高148m，地上高140m）（％）

統計年 風向	2001	2002	2003	2004	2007	2008	2009	2010	2011	2012	平均値	検定年 2005	棄却限界（5％）		判定 ○採択 ×棄却
													上限	下限	
N	3.96	5.85	3.78	3.40	5.01	4.27	4.11	4.62	4.43	4.50	4.39	3.52	6.02	2.77	○
NNE	8.89	8.15	6.91	6.22	11.41	13.51	18.30	14.74	15.31	14.20	11.76	6.67	21.42	2.11	○
NE	19.71	24.49	23.29	18.45	18.06	20.80	16.75	14.99	14.71	13.60	18.49	18.41	27.13	9.84	○
ENE	8.31	8.38	10.04	8.97	7.09	6.97	5.51	5.25	5.40	4.10	7.00	9.80	11.55	2.46	○
E	4.39	3.76	4.56	4.42	4.59	4.14	3.49	3.17	3.13	1.70	3.74	5.55	5.88	1.59	○
ESE	2.79	2.86	2.93	2.99	2.32	2.85	2.26	2.26	2.22	2.20	2.57	3.66	3.37	1.76	×
SE	2.90	2.61	2.95	2.66	2.15	2.85	2.59	2.74	2.82	3.00	2.73	3.09	3.31	2.14	○
SSE	3.35	3.34	3.74	3.54	3.69	3.73	4.18	4.89	4.68	5.50	4.06	3.32	5.80	2.33	○
S	5.00	4.13	5.02	6.63	6.33	5.38	5.19	6.03	5.83	7.00	5.65	4.99	7.72	3.59	○
SSW	3.79	3.56	4.35	5.02	4.54	4.55	4.43	5.35	4.76	5.70	4.61	3.13	6.15	3.06	○
SW	4.32	4.90	4.93	5.16	3.92	3.40	4.53	5.16	5.76	5.40	4.75	3.67	6.44	3.06	○
WSW	4.38	4.09	3.53	4.31	4.66	3.29	4.11	4.67	4.07	4.70	4.18	4.25	5.31	3.05	○
W	5.44	4.16	4.23	4.65	3.89	3.81	4.47	5.55	4.26	4.40	4.49	5.13	5.88	3.09	○
WNW	5.95	5.05	6.19	6.71	5.87	6.13	6.26	6.05	6.37	6.30	6.09	7.65	7.12	5.06	×
NW	7.95	7.42	7.60	9.12	9.02	8.06	7.95	7.99	8.94	10.10	8.42	9.54	10.41	6.42	○
NNW	7.63	6.60	5.19	6.97	7.03	5.86	4.90	5.27	5.98	6.60	6.20	6.53	8.35	4.05	○
CALM	1.24	0.65	0.75	0.76	0.42	0.39	0.98	1.26	1.32	1.2	0.90	1.10	1.73	0.06	○

注1) 1996年9月までは超音波風向風速計，1996年10月からはドップラーソーダの観測値である。

注2) 2006年度は標高148mのデータにノイズの影響があったため除外し，2001年度を追加した。

② 棄却検定表（風速）（標高148m）

観測場所：敷地内A地点（標高148m，地上高140m）（％）

統計年 風速(m/s)	2001	2002	2003	2004	2007	2008	2009	2010	2011	2012	平均値	検定年 2005	棄却限界（5％）		判定 ○採択 ×棄却
													上限	下限	
0.0～0.4	1.24	0.65	0.75	0.76	0.42	0.39	0.98	1.26	1.32	1.20	0.90	1.10	1.73	0.06	○
0.5～1.4	6.70	5.19	5.56	6.43	5.00	4.91	6.14	6.91	6.97	7.40	6.12	6.99	8.26	3.98	○
1.5～2.4	10.58	8.92	9.61	11.42	8.63	9.44	10.82	11.16	10.43	11.00	10.20	11.28	12.53	7.87	○
2.5～3.4	12.17	11.15	12.55	13.72	11.36	12.24	11.61	12.66	12.49	12.40	12.24	14.10	13.99	10.48	×
3.5～4.4	12.57	12.25	12.80	13.58	12.63	13.41	13.26	12.52	12.24	12.10	12.74	13.85	13.97	11.51	○
4.5～5.4	11.54	10.97	11.30	12.07	13.08	12.09	12.67	13.40	12.60	11.00	12.07	12.03	14.11	10.03	○
5.5～6.4	10.66	9.62	10.10	9.68	11.98	10.33	10.78	10.64	10.24	10.00	10.40	9.92	12.02	8.79	○
6.5～7.4	7.67	8.18	8.82	7.95	8.74	8.28	8.19	8.89	8.08	8.60	8.34	7.40	9.30	7.38	○
7.5～8.4	6.17	7.68	7.35	5.34	6.97	7.05	5.91	6.39	6.28	7.30	6.64	5.51	8.40	4.89	○
8.5～9.4	5.14	6.84	6.01	5.03	5.60	4.77	5.03	4.82	5.52	6.00	5.48	4.82	7.03	3.92	○
9.5以上	15.56	18.54	15.15	14.02	15.61	17.08	14.61	11.35	13.84	13.00	14.88	13.00	19.70	10.05	○

注1) 1996年9月までは超音波風向風速計，1996年10月からはドップラーソーダの観測値である。

注2) 2006年度は標高148mのデータにノイズの影響があったため除外し，2001年度を追加した。

③ 棄却検定表（風向）（標高89m）

観測場所：敷地内A地点（標高 89m，地上高 81m）（％）

統計年 風向	2001	2002	2003	2004	2007	2008	2009	2010	2011	2012	平均値	検定年 2005	棄却限界（5％）		判定
													上限	下限	○採択 ×棄却
N	4.09	4.59	3.42	3.25	4.84	4.64	4.84	5.88	5.68	5.5	4.67	3.79	6.79	2.56	○
NNE	8.41	7.81	7.03	6.03	10.15	12.15	17.45	14.51	16.54	14.50	11.46	6.60	21.28	1.64	○
NE	17.97	21.91	21.50	17.51	16.08	19.04	16.64	13.25	12.20	11.40	16.75	17.88	25.36	8.14	○
ENE	7.76	8.22	9.86	7.84	6.78	7.22	5.33	4.72	3.74	3.30	6.48	8.95	11.52	1.44	○
E	3.34	3.80	4.30	4.02	4.35	4.18	3.00	2.48	2.26	1.80	3.35	4.32	5.55	1.16	○
ESE	2.40	2.79	2.47	2.75	2.29	2.79	2.30	2.05	1.83	1.70	2.34	2.77	3.26	1.42	○
SE	2.74	2.86	2.96	2.80	2.21	2.96	2.89	2.53	2.99	3.20	2.81	2.75	3.47	2.16	○
SSE	3.78	3.48	3.96	3.77	3.74	3.90	4.83	5.80	4.88	6.10	4.42	4.16	6.63	2.22	○
S	4.77	3.66	4.43	6.82	5.76	4.74	4.64	5.94	5.42	5.70	5.19	4.88	7.35	3.03	○
SSW	2.86	2.56	3.20	3.86	3.40	3.06	3.59	4.46	4.16	4.30	3.55	2.43	5.07	2.02	○
SW	3.26	3.62	3.42	3.63	3.07	2.30	2.96	3.33	4.04	4.10	3.37	2.64	4.63	2.11	○
WSW	3.32	3.33	3.11	3.09	3.28	2.75	3.08	3.37	3.10	3.80	3.22	3.08	3.87	2.58	○
W	4.53	4.08	4.57	4.17	4.04	3.59	4.13	5.19	4.29	4.40	4.30	4.58	5.30	3.30	○
WNW	8.29	7.52	8.02	9.03	7.66	7.81	8.17	8.29	8.59	8.70	8.21	9.14	9.34	7.08	○
NW	15.13	13.32	12.41	15.17	15.33	12.82	10.66	11.34	13.08	14.10	13.34	15.31	17.17	9.50	○
NNW	6.67	5.88	4.76	5.67	6.32	5.42	4.60	5.65	6.05	6.30	5.73	6.03	7.32	4.15	○
CALM	0.65	0.58	0.59	0.61	0.68	0.65	0.90	1.21	1.14	1.10	0.81	0.69	1.41	0.21	○

注1) 1996年9月までは超音波風向風速計，1996年10月からはドップラーソーダの観測値である。

注2) 2006年度は標高148mのデータにノイズの影響があったため除外し，2001年度を追加した。

④ 棄却検定表（風速）（標高89m）

観測場所：敷地内A地点（標高 89m，地上高 81m）（％）

統計年 風速(m/s)	2001	2002	2003	2004	2007	2008	2009	2010	2011	2012	平均値	検定年 2005	棄却限界（5％）		判定
													上限	下限	○採択 ×棄却
0.0～0.4	0.65	0.58	0.59	0.61	0.68	0.65	0.90	1.21	1.14	1.10	0.81	0.69	1.41	0.21	○
0.5～1.4	4.92	4.95	5.23	5.62	4.89	5.08	6.94	7.56	7.82	7.80	6.08	5.79	9.13	3.03	○
1.5～2.4	10.06	10.15	10.09	11.31	9.38	10.83	12.09	12.36	12.35	12.90	11.15	10.58	14.05	8.25	○
2.5～3.4	13.91	14.28	14.41	14.52	13.35	14.11	14.46	16.20	14.86	14.10	14.42	15.24	16.19	12.65	○
3.5～4.4	15.55	14.93	14.78	16.34	14.98	15.93	15.47	15.05	15.26	14.60	15.29	16.48	16.57	14.01	○
4.5～5.4	13.97	12.98	12.75	13.85	14.76	13.52	13.42	13.75	12.61	12.80	13.44	13.66	15.04	11.84	○
5.5～6.4	11.36	10.40	11.85	10.73	11.54	10.67	10.40	10.51	9.52	10.40	10.74	11.14	12.35	9.13	○
6.5～7.4	8.16	8.38	8.75	7.90	8.66	7.72	7.14	7.22	7.49	8.10	7.95	8.04	9.29	6.62	○
7.5～8.4	6.41	6.50	6.98	5.44	6.25	5.74	5.23	5.40	6.17	6.10	6.02	5.64	7.35	4.70	○
8.5～9.4	4.97	5.31	4.65	4.10	4.85	4.30	4.12	3.20	4.43	4.40	4.43	4.02	5.81	3.06	○
9.5以上	10.04	11.52	9.92	9.58	10.65	11.45	9.84	7.54	8.37	7.80	9.67	8.74	12.98	6.36	○

注1) 1996年9月までは超音波風向風速計，1996年10月からはドップラーソーダの観測値である。

注2) 2006年度は標高148mのデータにノイズの影響があったため除外し，2001年度を追加した。

⑤ 棄却検定表（風向）（標高18m）

観測場所：敷地内A地点（標高 18m，地上高 10m）（％）

統計年 風向	2001	2002	2003	2004	2007	2008	2009	2010	2011	2012	平均値	検定年 2005	棄却限界（5％）		判定 ○採択 ×棄却
													上限	下限	
N	3.29	3.24	2.85	2.50	2.57	2.17	2.52	2.81	2.62	2.40	2.70	2.15	3.54	1.85	○
NNE	12.39	12.29	12.11	10.30	7.29	9.57	11.21	9.18	11.62	8.50	10.45	9.93	14.64	6.26	○
NE	12.70	15.12	17.57	13.28	15.17	17.51	16.15	12.25	12.18	11.60	14.35	15.15	19.68	9.02	○
ENE	3.27	3.57	3.90	3.74	5.42	6.41	5.52	5.07	4.14	6.40	4.74	4.49	7.52	1.97	○
E	2.51	2.86	2.84	2.62	3.05	2.44	2.85	2.19	1.78	1.80	2.49	2.60	3.55	1.43	○
ESE	3.04	3.68	3.30	3.81	3.44	3.44	3.98	3.36	3.25	2.30	3.36	3.49	4.46	2.26	○
SE	5.14	5.79	5.80	5.63	4.29	4.37	4.59	5.21	4.53	4.60	5.00	5.73	6.40	3.59	○
SSE	4.00	3.66	3.99	5.62	5.03	4.47	4.63	6.32	5.73	6.00	4.95	4.59	7.16	2.73	○
S	2.41	2.22	2.63	3.85	3.68	3.79	3.25	4.55	3.54	4.20	3.41	2.31	5.25	1.57	○
SSW	3.52	3.26	3.07	3.20	3.19	2.35	3.28	3.64	3.38	3.40	3.23	2.36	4.06	2.40	×
SW	1.37	0.79	1.35	1.08	1.53	1.09	1.06	1.00	1.12	1.30	1.17	1.22	1.68	0.66	○
WSW	2.94	2.70	2.48	2.15	1.44	1.25	2.47	2.66	2.34	1.90	2.23	2.40	3.54	0.92	○
W	12.93	11.05	10.01	11.71	4.73	4.55	6.91	6.99	7.88	6.30	8.31	10.13	15.30	1.31	○
WNW	19.82	18.95	18.46	19.53	24.91	22.81	21.72	22.62	22.60	22.90	21.43	21.68	26.45	16.42	○
NW	6.86	6.86	6.03	6.52	9.65	8.87	6.09	7.67	8.35	10.90	7.78	7.42	11.65	3.91	○
NNW	2.97	2.92	2.33	2.61	3.51	3.10	2.43	2.87	3.04	3.50	2.93	2.65	3.87	1.99	○
CALM	0.82	1.03	1.29	1.85	1.11	1.82	1.35	1.6	1.9	2.00	1.48	1.69	2.46	0.49	○

注1) 2006年度は標高148mのデータにノイズの影響があったため除外し、2001年度を追加した。

⑥ 棄却検定表（風速）（標高18m）

観測場所：敷地内A地点（標高 18m，地上高 10m）（％）

統計年 風速(m/s)	2001	2002	2003	2004	2007	2008	2009	2010	2011	2012	平均値	検定年 2005	棄却限界（5％）		判定 ○採択 ×棄却
													上限	下限	
0.0～0.4	0.82	1.03	1.29	1.85	1.11	1.82	1.35	1.60	1.90	2.00	1.48	1.69	2.46	0.49	○
0.5～1.4	12.24	12.79	13.24	14.96	14.40	15.93	13.88	15.83	15.92	16.70	14.59	15.14	18.20	10.98	○
1.5～2.4	30.43	30.39	28.56	31.22	32.03	33.39	32.69	32.91	33.15	31.40	31.62	32.77	35.24	28.00	○
2.5～3.4	22.23	21.48	21.80	22.97	21.70	21.95	23.48	23.08	23.60	21.90	22.42	20.88	24.29	20.55	○
3.5～4.4	10.85	10.91	11.31	9.77	10.95	10.88	10.69	11.19	10.19	10.70	10.74	10.16	11.83	9.66	○
4.5～5.4	7.69	8.16	9.27	6.25	6.89	6.66	7.22	6.75	6.01	7.10	7.20	7.09	9.49	4.91	○
5.5～6.4	5.21	6.40	6.23	4.34	4.69	4.15	3.91	3.58	4.17	4.50	4.72	4.79	6.97	2.46	○
6.5～7.4	4.20	4.07	3.92	3.30	3.31	2.25	2.60	2.02	2.44	2.60	3.07	3.01	4.96	1.18	○
7.5～8.4	2.84	2.51	2.18	2.34	2.24	1.20	1.70	1.39	1.25	1.60	1.93	2.29	3.28	0.57	○
8.5～9.4	1.77	1.12	1.07	1.33	1.24	0.86	1.20	0.72	0.60	0.70	1.06	1.09	1.90	0.22	○
9.5以上	1.70	1.13	1.13	1.67	1.45	0.90	1.30	0.94	0.75	0.80	1.18	1.10	1.99	0.36	○

注1) 2006年度は標高148mのデータにノイズの影響があったため除外し、2001年度を追加した。

⑦ 棄却検定表（風向）（標高148m）

観測場所：敷地内A地点（標高148m，地上高140m）（％）

統計年 風向	2004	2007	2008	2009	2010	2011	2012	2013	2014	2015	平均値	検定年 2005	棄却限界(5%)		判定
													上限	下限	○採択 ×棄却
N	3.40	5.01	4.27	4.11	4.62	4.43	4.50	4.48	4.38	5.20	4.44	3.52	5.60	3.28	○
NNE	6.22	11.41	13.51	18.30	14.74	15.31	14.10	11.42	14.59	20.56	14.02	6.67	23.32	4.72	○
NE	18.45	18.06	20.80	16.75	14.99	14.71	13.66	15.68	13.11	13.60	15.98	18.41	21.91	10.05	○
ENE	8.97	7.09	6.97	5.51	5.25	5.40	4.16	5.74	5.59	4.95	5.96	9.80	9.21	2.72	×
E	4.42	4.59	4.14	3.49	3.17	3.13	1.65	3.02	3.06	3.04	3.37	5.55	5.40	1.34	×
ESE	2.99	2.32	2.85	2.26	2.26	2.22	2.17	2.00	2.36	2.20	2.36	3.66	3.10	1.62	×
SE	2.66	2.15	2.85	2.59	2.74	2.82	2.98	2.99	2.79	2.26	2.69	3.09	3.36	2.01	○
SSE	3.54	3.69	3.73	4.18	4.89	4.68	5.52	4.76	5.29	5.12	4.54	3.32	6.23	2.85	○
S	6.63	6.33	5.38	5.19	6.03	5.83	6.96	6.48	5.87	5.76	6.04	4.99	7.36	4.73	○
SSW	5.02	4.54	4.55	4.43	5.35	4.76	5.68	6.07	4.89	5.45	5.08	3.13	6.37	3.78	×
SW	5.16	3.92	3.40	4.53	5.16	5.76	5.38	4.94	4.64	5.05	4.79	3.67	6.46	3.13	○
WSW	4.31	4.66	3.29	4.11	4.67	4.07	4.63	4.81	5.16	4.10	4.38	4.25	5.62	3.14	○
W	4.65	3.89	3.81	4.47	5.55	4.26	4.40	4.64	5.07	4.24	4.50	5.13	5.74	3.26	○
WNW	6.71	5.87	6.13	6.26	6.05	6.37	6.29	6.75	7.56	5.62	6.36	7.65	7.65	5.07	○
NW	9.12	9.02	8.06	7.95	7.99	8.94	10.14	8.95	9.69	6.99	8.68	9.54	10.90	6.47	○
NNW	6.97	7.03	5.86	4.90	5.27	5.98	6.57	6.52	5.08	4.81	5.90	6.53	7.92	3.88	○
CALM	0.76	0.42	0.39	0.98	1.26	1.32	1.21	0.75	0.88	1.04	0.90	1.10	1.68	0.12	○

注1) 2006年度は標高148mのデータにノイズの影響があったため除外し，2004年度を追加した。

⑧ 棄却検定表（風速）（標高148m）

観測場所：敷地内A地点（標高148m，地上高140m）（％）

統計年 風速(m/s)	2004	2007	2008	2009	2010	2011	2012	2013	2014	2015	平均値	検定年 2005	棄却限界(5%)		判定
													上限	下限	○採択 ×棄却
0.0～0.4	0.76	0.42	0.39	0.98	1.26	1.32	1.21	0.75	0.88	1.04	0.90	1.10	1.68	0.12	○
0.5～1.4	6.43	5.00	4.91	6.14	6.91	6.97	7.32	5.92	6.20	6.78	6.26	6.99	8.18	4.33	○
1.5～2.4	11.42	8.63	9.44	10.82	11.16	10.43	10.94	10.58	9.76	10.98	10.42	11.28	12.50	8.33	○
2.5～3.4	13.72	11.36	12.24	11.61	12.66	12.49	12.38	12.89	12.13	13.45	12.49	14.10	14.24	10.75	○
3.5～4.4	13.58	12.63	13.41	13.26	12.52	12.24	12.12	14.22	13.05	13.51	13.05	13.85	14.64	11.47	○
4.5～5.4	12.07	13.08	12.09	12.67	13.40	12.60	11.01	12.52	12.25	11.78	12.35	12.03	13.95	10.75	○
5.5～6.4	9.68	11.98	10.33	10.78	10.64	10.24	10.01	10.35	11.29	9.51	10.48	9.92	12.23	8.73	○
6.5～7.4	7.95	8.74	8.28	8.19	8.89	8.08	8.62	8.57	9.22	7.47	8.40	7.40	9.61	7.19	○
7.5～8.4	5.34	6.97	7.05	5.91	6.39	6.28	7.32	7.01	6.63	5.89	6.48	5.51	7.98	4.98	○
8.5～9.4	5.03	5.60	4.77	5.03	4.82	5.52	6.08	5.01	5.14	4.97	5.20	4.82	6.17	4.22	○
9.5以上	14.02	15.61	17.08	14.61	11.35	13.84	12.98	12.18	13.45	14.63	13.97	13.00	17.90	10.05	○

注1) 2006年度は標高148mのデータにノイズの影響があったため除外し，2004年度を追加した。

⑨ 棄却検定表（風向）（標高89m）

観測場所：敷地内A地点（標高 89m，地上高 81m）（％）

統計年 風向	2004	2007	2008	2009	2010	2011	2012	2013	2014	2015	平均値	検定年 2005	棄却限界(5%)		判定 ○採択 ×棄却
													上限	下限	
N	3.25	4.84	4.64	4.84	5.88	5.68	5.50	5.04	5.05	6.22	5.09	3.79	7.05	3.14	○
NNE	6.03	10.15	12.15	17.45	14.51	16.54	14.50	11.55	14.10	19.46	13.64	6.60	22.84	4.45	○
NE	17.51	16.08	19.04	16.64	13.25	12.20	11.40	14.95	13.31	12.28	14.67	17.88	20.77	8.56	○
ENE	7.84	6.78	7.22	5.33	4.72	3.74	3.30	5.73	4.21	4.52	5.34	8.95	8.97	1.71	○
E	4.02	4.35	4.18	3.00	2.48	2.26	1.80	2.89	2.33	2.47	2.98	4.32	5.11	0.85	○
ESE	2.75	2.29	2.79	2.30	2.05	1.83	1.70	2.17	2.07	1.91	2.19	2.77	3.04	1.33	○
SE	2.80	2.21	2.96	2.89	2.53	2.99	3.20	2.56	3.40	2.60	2.81	2.75	3.64	1.98	○
SSE	3.77	3.74	3.90	4.83	5.80	4.88	6.10	4.79	5.78	5.58	4.92	4.16	7.03	2.81	○
S	6.82	5.76	4.74	4.64	5.94	5.42	5.70	5.01	4.67	4.87	5.36	4.88	7.03	3.68	○
SSW	3.86	3.40	3.06	3.59	4.46	4.16	4.30	4.07	3.53	4.25	3.87	2.43	4.95	2.79	×
SW	3.63	3.07	2.30	2.96	3.33	4.04	4.10	3.45	3.38	3.56	3.38	2.64	4.63	2.13	○
WSW	3.09	3.28	2.75	3.08	3.37	3.10	3.80	3.50	4.06	3.23	3.33	3.08	4.23	2.42	○
W	4.17	4.04	3.59	4.13	5.19	4.29	4.40	4.66	4.76	4.26	4.35	4.58	5.39	3.31	○
WNW	9.03	7.66	7.81	8.17	8.29	8.59	8.70	9.54	10.05	7.43	8.53	9.14	10.51	6.54	○
NW	15.17	15.33	12.82	10.66	11.34	13.08	14.10	13.28	12.90	10.98	12.97	15.31	16.82	9.11	○
NNW	5.67	6.32	5.42	4.60	5.65	6.05	6.30	5.80	5.54	5.08	5.64	6.03	6.90	4.38	○
CALM	0.61	0.68	0.65	0.90	1.21	1.14	1.10	1.01	0.86	1.29	0.95	0.69	1.53	0.37	○

注1) 2006年度は標高148mのデータにノイズの影響があったため除外し，2004年度を追加した。

⑩ 棄却検定表（風速）（標高89m）

観測場所：敷地内A地点（標高 89m，地上高 81m）（％）

統計年 風速(m/s)	2004	2007	2008	2009	2010	2011	2012	2013	2014	2015	平均値	検定年 2005	棄却限界(5%)		判定 ○採択 ×棄却
													上限	下限	
0.0～0.4	0.61	0.68	0.65	0.90	1.21	1.14	1.10	1.01	0.86	1.29	0.95	0.69	1.53	0.37	○
0.5～1.4	5.62	4.89	5.08	6.94	7.56	7.82	7.80	7.41	6.47	7.60	6.72	5.79	9.42	4.01	○
1.5～2.4	11.31	9.38	10.83	12.09	12.36	12.35	12.90	12.41	11.84	13.06	11.85	10.58	14.46	9.24	○
2.5～3.4	14.52	13.35	14.11	14.46	16.20	14.86	14.10	15.47	15.34	15.31	14.77	15.24	16.74	12.80	○
3.5～4.4	16.34	14.98	15.93	15.47	15.05	15.26	14.60	15.94	15.26	14.65	15.35	16.48	16.71	13.98	○
4.5～5.4	13.85	14.76	13.52	13.42	13.75	12.61	12.80	12.85	13.64	12.56	13.38	13.66	15.00	11.75	○
5.5～6.4	10.73	11.54	10.67	10.40	10.51	9.52	10.40	10.94	10.49	9.78	10.50	11.14	11.84	9.16	○
6.5～7.4	7.90	8.66	7.72	7.14	7.22	7.49	8.10	7.38	8.49	7.34	7.74	8.04	9.01	6.48	○
7.5～8.4	5.44	6.25	5.74	5.23	5.40	6.17	6.10	4.94	5.67	5.51	5.64	5.64	6.66	4.63	○
8.5～9.4	4.10	4.85	4.30	4.12	3.20	4.43	4.40	4.20	3.89	4.42	4.19	4.02	5.22	3.16	○
9.5以上	9.58	10.65	11.45	9.84	7.54	8.37	7.80	7.44	8.05	8.47	8.92	8.74	12.21	5.63	○

注1) 2006年度は標高148mのデータにノイズの影響があったため除外し，2004年度を追加した。

⑪ 棄却検定表（風向）（標高18m）

観測場所：敷地内A地点（標高 18m，地上高 10m）（%）

統計年 風向	2004	2007	2008	2009	2010	2011	2012	2013	2014	2015	平均値	検定年 2005	棄却限界(5%)		判定 ○採択 ×棄却
													上限	下限	
N	2.50	2.57	2.17	2.52	2.81	2.62	2.39	2.26	2.16	2.70	2.47	2.15	2.99	1.95	○
NNE	10.30	7.29	9.57	11.21	9.18	11.62	8.49	8.24	8.84	11.06	9.58	9.93	12.98	6.18	○
NE	13.28	15.17	17.51	16.15	12.25	12.18	11.58	12.60	12.33	13.45	13.65	15.15	18.32	8.98	○
ENE	3.74	5.42	6.41	5.52	5.07	4.14	6.39	7.34	6.61	7.12	5.78	4.49	8.65	2.90	○
E	2.62	3.05	2.44	2.85	2.19	1.78	1.78	2.84	2.14	3.40	2.51	2.60	3.79	1.23	○
ESE	3.81	3.44	3.44	3.98	3.36	3.25	2.38	3.01	3.47	2.82	3.30	3.49	4.40	2.19	○
SE	5.63	4.29	4.37	4.59	5.21	4.53	4.58	4.04	4.56	4.03	4.58	5.73	5.76	3.40	○
SSE	5.62	5.03	4.47	4.63	6.32	5.73	6.01	4.96	4.74	5.63	5.31	4.59	6.81	3.82	○
S	3.85	3.68	3.79	3.25	4.55	3.54	4.20	3.69	3.42	3.50	3.75	2.31	4.66	2.84	×
SSW	3.20	3.19	2.35	3.28	3.64	3.38	3.39	3.47	3.14	3.32	3.23	2.36	4.05	2.42	×
SW	1.08	1.53	1.09	1.06	1.00	1.12	1.27	1.47	1.34	1.78	1.27	1.22	1.88	0.67	○
WSW	2.15	1.44	1.25	2.47	2.66	2.34	1.91	1.97	2.52	1.97	2.07	2.40	3.16	0.97	○
W	11.71	4.73	4.55	6.91	6.99	7.88	6.34	5.87	6.41	5.74	6.71	10.13	11.52	1.91	○
WNW	19.53	24.91	22.81	21.72	22.62	22.60	22.88	22.63	24.11	20.77	22.46	21.68	26.09	18.83	○
NW	6.52	9.65	8.87	6.09	7.67	8.35	10.93	9.78	9.37	7.93	8.51	7.42	12.10	4.93	○
NNW	2.61	3.51	3.10	2.43	2.87	3.04	3.49	4.17	3.20	3.09	3.15	2.65	4.32	1.98	○
CALM	1.85	1.11	1.82	1.35	1.60	1.90	2.00	1.68	1.64	1.70	1.66	1.69	2.30	1.03	○

注1) 2006年度は標高148mのデータにノイズの影響があったため除外し，2004年度を追加した。

⑫ 棄却検定表（風速）（標高18m）

観測場所：敷地内A地点（標高 18m，地上高 10m）（%）

統計年 風速(m/s)	2004	2007	2008	2009	2010	2011	2012	2013	2014	2015	平均値	検定年 2005	棄却限界(5%)		判定 ○採択 ×棄却
													上限	下限	
0.0~0.4	1.85	1.11	1.82	1.35	1.60	1.90	2.00	1.68	1.64	1.70	1.66	1.69	2.30	1.03	○
0.5~1.4	14.96	14.40	15.93	13.88	15.83	15.92	16.73	15.60	15.63	16.08	15.50	15.14	17.51	13.48	○
1.5~2.4	31.22	32.03	33.39	32.69	32.91	33.15	31.38	32.64	33.04	31.24	32.37	32.77	34.35	30.39	○
2.5~3.4	22.97	21.70	21.95	23.48	23.08	23.60	21.94	22.79	24.23	23.94	22.97	20.88	25.05	20.88	×
3.5~4.4	9.77	10.95	10.88	10.69	11.19	10.19	10.67	11.34	11.65	11.54	10.89	10.16	12.28	9.49	○
4.5~5.4	6.25	6.89	6.66	7.22	6.75	6.01	7.06	7.04	6.89	7.48	6.83	7.09	7.87	5.79	○
5.5~6.4	4.34	4.69	4.15	3.91	3.58	4.17	4.48	3.78	3.36	4.17	4.06	4.79	5.04	3.09	○
6.5~7.4	3.30	3.31	2.25	2.60	2.02	2.44	2.63	2.19	1.59	1.93	2.43	3.01	3.75	1.10	○
7.5~8.4	2.34	2.24	1.20	1.70	1.39	1.25	1.55	1.37	0.94	1.05	1.50	2.29	2.62	0.39	○
8.5~9.4	1.33	1.24	0.86	1.20	0.72	0.60	0.72	0.71	0.47	0.49	0.83	1.09	1.58	0.09	○
9.5以上	1.67	1.45	0.90	1.30	0.94	0.75	0.84	0.86	0.56	0.37	0.96	1.10	1.91	0.01	○

注1) 2006年度は標高148mのデータにノイズの影響があったため除外し，2004年度を追加した。

⑬ 棄却検定表（風向）（水戸地方気象台）

観測場所：水戸地方気象台(%)

統計年 風向	2004	2007	2008	2009	2010	2011	2012	2013	2014	2015	平均値	検定年 2005	棄却限界(5%)		判定
													上限	下限	○採択 ×棄却
N	15.34	17.09	18.48	14.84	16.36	17.58	14.82	13.31	12.53	11.75	15.21	13.38	20.47	9.95	○
NNE	6.78	6.87	8.19	7.57	7.63	7.52	7.05	7.07	6.68	7.83	7.32	6.68	8.51	6.13	○
NE	6.22	6.14	8.14	9.37	6.51	7.25	6.82	6.01	6.65	8.23	7.13	7.36	9.76	4.51	○
ENE	8.70	8.79	9.94	10.20	7.40	7.33	7.71	9.20	8.31	8.81	8.64	9.50	10.97	6.30	○
E	9.92	9.38	10.94	9.26	8.55	7.28	6.49	9.98	8.95	8.87	8.96	10.92	12.05	5.87	○
ESE	4.37	3.22	5.08	3.38	4.19	3.72	4.02	3.43	3.79	3.81	3.90	4.41	5.21	2.60	○
SE	3.11	3.02	3.38	3.05	2.99	3.05	3.74	2.82	2.95	3.07	3.12	2.91	3.74	2.50	○
SSE	1.30	1.50	1.12	1.15	1.29	1.47	1.36	1.10	1.28	1.17	1.27	1.43	1.61	0.94	○
S	2.99	2.43	1.56	2.49	2.82	2.74	2.98	2.96	2.17	2.47	2.56	1.96	3.62	1.50	○
SSW	5.32	5.83	4.64	5.28	6.78	6.32	6.22	5.78	5.79	6.40	5.84	4.24	7.34	4.33	×
SW	5.47	4.84	3.40	3.77	4.86	5.08	4.00	4.01	3.92	3.97	4.33	4.20	5.93	2.73	○
WSW	2.97	3.28	2.61	2.74	3.62	2.91	3.41	3.21	3.66	3.56	3.20	3.26	4.09	2.31	○
W	3.18	2.86	2.83	2.84	3.49	3.07	3.70	3.27	4.34	2.82	3.24	3.81	4.40	2.08	○
WNW	2.75	2.57	2.17	1.72	1.84	2.24	2.89	2.56	2.54	1.59	2.29	3.17	3.35	1.22	○
NW	6.63	5.69	3.15	4.59	4.86	4.11	6.10	6.47	7.06	5.48	5.41	7.67	8.34	2.49	○
NNW	13.20	14.77	12.63	16.29	15.44	16.86	17.84	17.99	18.01	19.29	16.23	13.36	21.45	11.01	○
CALM	1.75	1.73	1.74	1.45	1.36	1.47	0.83	0.85	1.38	0.87	1.34	1.74	2.22	0.46	○

注1) 2006年度は標高148mのデータにノイズの影響があったため除外し、2004年度を追加した。

⑭ 棄却検定表（風速）（水戸地方気象台）

観測場所：水戸地方気象台(%)

統計年 風速(m/s)	2004	2007	2008	2009	2010	2011	2012	2013	2014	2015	平均値	検定年 2005	棄却限界(5%)		判定
													上限	下限	○採択 ×棄却
0.0~0.4	1.75	1.73	1.74	1.45	1.36	1.47	0.83	0.85	1.38	0.87	1.34	1.74	2.22	0.46	○
0.5~1.4	33.41	35.08	36.96	37.22	32.05	33.83	31.50	32.61	32.82	26.35	33.18	35.02	40.51	25.85	○
1.5~2.4	29.63	29.88	30.31	28.20	30.41	29.79	31.92	31.80	30.66	35.10	30.77	29.14	35.18	26.36	○
2.5~3.4	16.75	17.72	16.28	15.96	17.80	16.66	16.03	16.83	16.86	17.36	16.83	16.52	18.36	15.29	○
3.5~4.4	9.81	9.42	8.08	8.85	9.43	9.50	9.63	9.81	10.24	11.26	9.60	10.01	11.57	7.63	○
4.5~5.4	4.93	3.73	3.76	4.08	4.11	4.18	5.29	4.44	4.23	4.93	4.37	4.93	5.61	3.13	○
5.5~6.4	2.05	1.30	1.53	2.14	2.59	2.17	2.47	1.80	1.97	2.78	2.08	1.84	3.18	0.98	○
6.5~7.4	0.96	0.63	0.51	1.14	1.19	1.13	1.25	0.82	1.14	0.98	0.98	0.46	1.57	0.38	○
7.5~8.4	0.41	0.26	0.31	0.46	0.53	0.56	0.67	0.39	0.43	0.20	0.42	0.19	0.76	0.08	○
8.5~9.4	0.18	0.15	0.18	0.21	0.29	0.37	0.24	0.21	0.18	0.08	0.21	0.09	0.40	0.02	○
9.5以上	0.11	0.11	0.34	0.30	0.25	0.34	0.16	0.43	0.08	0.09	0.22	0.06	0.52	0.00	○

注1) 2006年度は標高148mのデータにノイズの影響があったため除外し、2004年度を追加した。

⑮ 棄却検定表（風向）（小名浜気象観測所）

観測場所：小名浜気象観測所(%)

統計年 風向	2004	2007	2008	2009	2010	2011	2012	2013	2014	2015	平均値	検定年 2005	棄却限界(5%)		判定 ○採択 ×棄却
													上限	下限	
N	15.61	18.08	19.49	16.90	17.05	16.58	16.86	16.92	16.52	18.76	17.28	14.97	20.03	14.53	○
NNE	9.51	9.46	11.94	13.36	9.44	11.36	9.70	10.37	9.91	12.46	10.75	9.71	14.14	7.36	○
NE	5.07	5.21	5.40	6.15	5.19	4.83	5.89	5.79	5.13	5.70	5.44	4.45	6.44	4.43	○
ENE	1.70	2.19	2.22	2.20	2.22	1.88	2.00	2.43	2.69	2.79	2.23	1.89	3.03	1.43	○
E	2.15	2.92	2.36	2.48	2.38	2.37	1.90	2.42	2.68	2.52	2.42	2.17	3.07	1.76	○
ESE	1.32	1.95	2.02	1.75	1.78	1.60	1.68	2.15	2.14	1.88	1.83	1.77	2.44	1.22	○
SE	2.96	2.68	2.94	2.19	2.64	2.86	2.81	2.98	2.96	2.60	2.76	3.36	3.35	2.18	×
SSE	5.80	4.93	4.51	4.91	5.09	5.79	5.05	4.80	4.77	4.66	5.03	6.02	6.07	3.99	○
S	11.32	9.73	8.58	9.45	11.91	10.63	10.26	8.92	9.93	12.47	10.32	10.33	13.33	7.31	○
SSW	7.56	5.71	5.88	6.43	7.42	6.79	7.04	7.74	6.28	7.56	6.84	4.77	8.59	5.09	×
SW	2.13	1.79	1.58	2.68	2.70	2.29	2.70	2.79	3.04	1.79	2.35	1.69	3.55	1.15	○
WSW	0.95	0.82	1.05	1.13	0.97	0.97	1.18	1.11	1.07	1.15	1.04	0.95	1.30	0.78	○
W	1.80	1.70	1.58	1.70	1.44	1.71	1.50	1.42	1.75	1.46	1.61	1.89	1.94	1.27	○
WNW	4.70	4.69	3.84	3.98	3.98	4.36	4.28	4.43	4.94	2.88	4.21	6.05	5.60	2.82	×
NW	9.27	8.70	7.85	7.77	7.62	8.06	10.22	9.14	9.83	6.42	8.49	10.63	11.23	5.75	○
NNW	15.51	17.31	16.04	14.80	15.83	15.60	16.16	16.05	15.40	13.91	15.66	16.88	17.78	13.54	○
CALM	2.64	2.15	2.73	2.11	2.33	2.34	0.80	0.56	0.94	1.00	1.76	2.47	3.74	0.00	○

注1) 2006年度は標高148mのデータにノイズの影響があったため除外し、2004年度を追加した。

⑯ 棄却検定表（風速）（小名浜気象観測所）

観測場所：小名浜気象観測所(%)

統計年 風速(m/s)	2004	2007	2008	2009	2010	2011	2012	2013	2014	2015	平均値	検定年 2005	棄却限界(5%)		判定 ○採択 ×棄却
													上限	下限	
0.0~0.4	2.64	2.15	2.73	2.11	2.33	2.34	0.80	0.56	0.94	1.00	1.76	2.47	3.74	0.00	○
0.5~1.4	21.92	21.13	22.45	22.79	22.30	22.11	16.85	18.40	18.83	18.49	20.53	20.97	25.64	15.41	○
1.5~2.4	28.61	30.72	31.17	29.65	30.58	28.79	30.61	29.38	32.17	31.56	30.32	30.33	33.13	27.52	○
2.5~3.4	17.92	18.99	17.19	18.04	20.06	19.71	21.00	20.11	20.21	20.27	19.35	18.36	22.32	16.38	○
3.5~4.4	11.69	11.62	10.66	12.27	11.79	12.18	12.28	13.73	12.06	12.35	12.06	10.84	13.89	10.23	○
4.5~5.4	7.47	7.33	6.90	7.80	7.11	6.84	7.96	7.82	7.11	7.86	7.42	7.32	8.42	6.42	○
5.5~6.4	5.06	3.87	4.62	3.81	3.73	3.96	5.41	5.02	3.85	4.28	4.36	4.91	5.83	2.89	○
6.5~7.4	2.45	2.43	2.27	1.93	1.32	2.23	2.79	2.55	2.47	2.17	2.26	2.56	3.22	1.30	○
7.5~8.4	1.11	1.08	0.99	0.96	0.48	1.03	1.21	1.45	1.37	1.05	1.07	1.14	1.70	0.45	○
8.5~9.4	0.75	0.34	0.70	0.43	0.15	0.50	0.59	0.45	0.63	0.60	0.51	0.72	0.94	0.09	○
9.5以上	0.39	0.34	0.32	0.21	0.15	0.31	0.50	0.54	0.37	0.36	0.35	0.39	0.63	0.07	○

注1) 2006年度は標高148mのデータにノイズの影響があったため除外し、2004年度を追加した。

「発電用原子炉施設の安全解析に関する気象指針」の解説 X. での記載

1. 気象現象の年変動

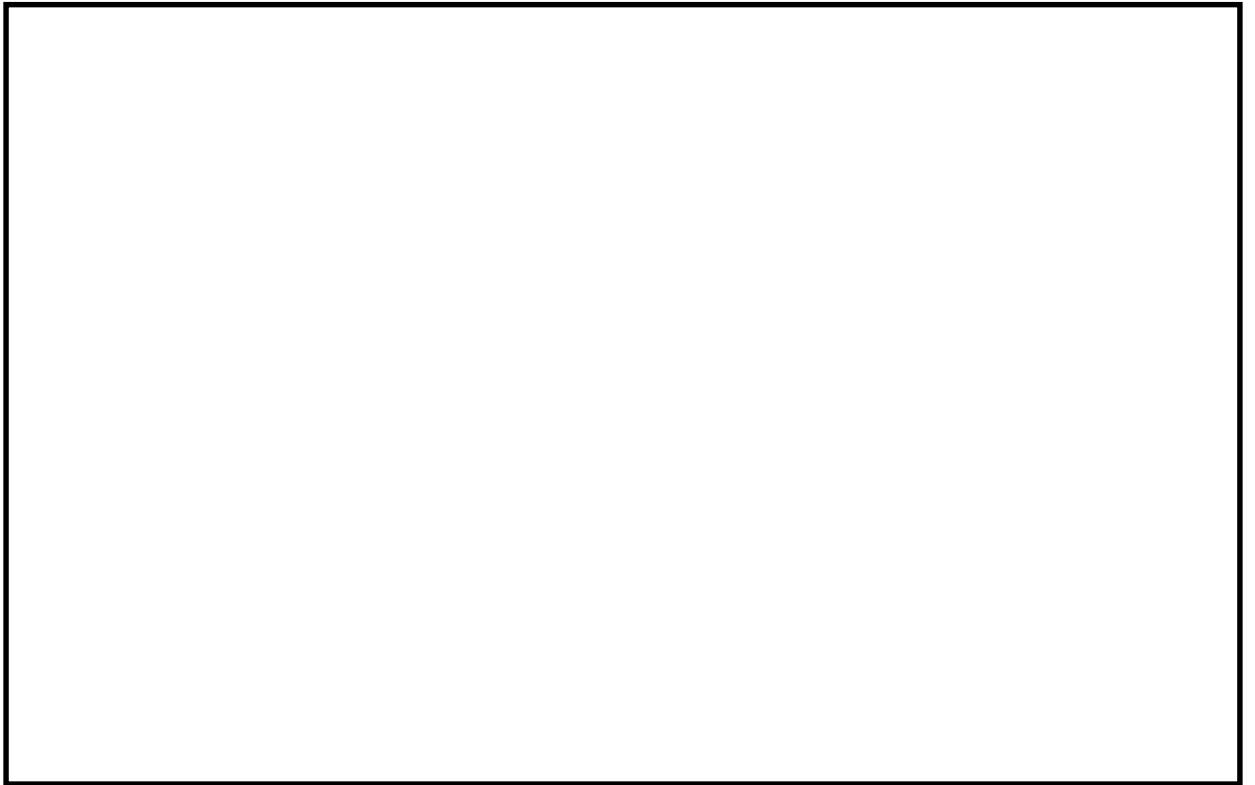
気象現象は、ほぼ1年周期でくり返されているが、年による変動も存在する。このため、想定事故時の線量計算に用いる相対濃度についてその年変動を比較的長期にわたって調査してみると、相対濃度の平均値に対する各年の相対濃度の偏差の比は、30%以内であった。

このことから、1年間の気象資料にもとづく解析結果は、気象現象の年変動に伴って変動するものの、その程度はさほど大きくないので、まず、1年間の気象資料を用いて解析することとした。

その場合には、その年がとくに異常な年であるか否かを最寄の気象官署の気象資料を用いて調査することが望ましい。また、2年以上の気象資料が存在する場合には、これを有効に利用することが望ましい。

線量評価に用いる大気拡散評価

線量評価に用いる大気拡散の評価は、実効放出継続時間を基に計算した値を年間について小さい値から順に並べて整理し、累積出現頻度 97%に当たる値としている。また、注目方位は、第 1-3-1 図に示すとおり、建屋による拡がりの影響を考慮している。評価対象方位を第 1-3-1 表に示す。本評価では着目方位は 2 方位となる。



第 1-3-1 図 評価対象方位

第 1-3-1 表 評価対象方位

評価点	緊急時対策所外壁
放出源	原子炉建屋外壁
評価方位	W S W, W
距離	310m

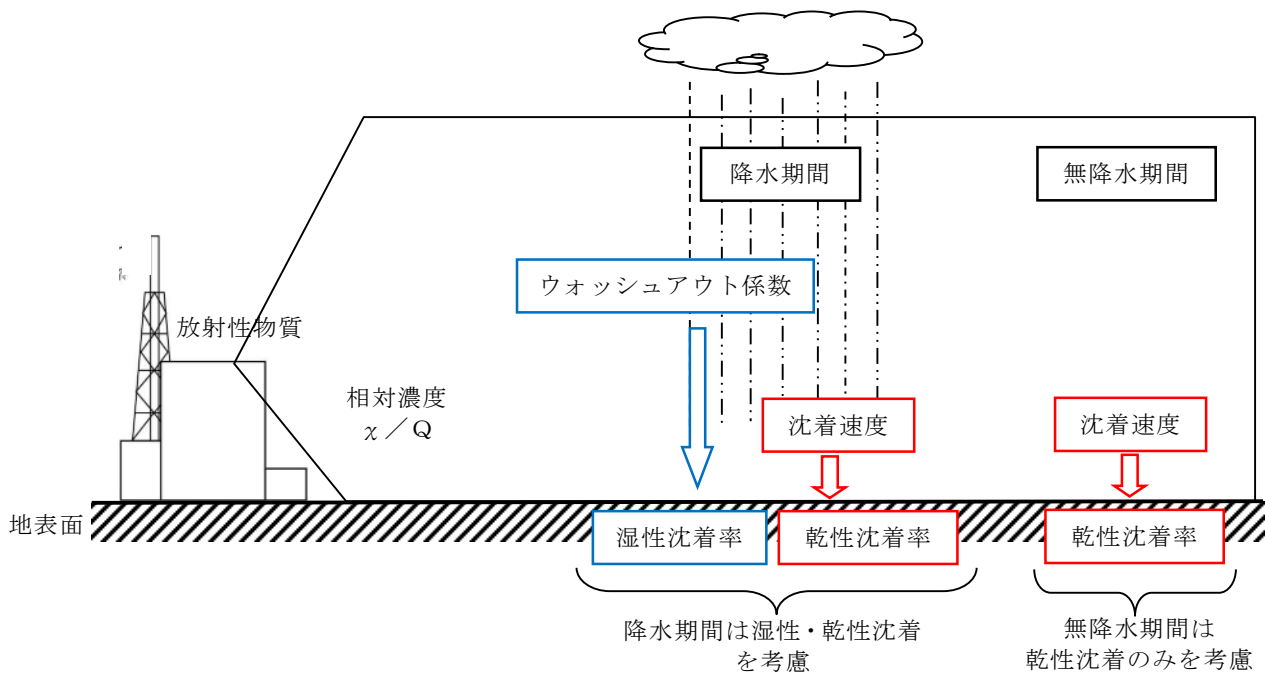
相対濃度 (χ/Q) の評価にあたっては、年間を通じて 1 年間ごとの気象条件に対して相対濃度を算出し、小さい値から順に並べて整理した。評価結果を第 1-3-2 表に示す。累積出現頻度 97% にあたる相対濃度は約 $1.1 \times 10^{-4} \text{ s/m}^3$ となった。

第 1-3-2 表 相対濃度の値（実効放出継続時間 10 時間）

累積出現頻度 (%)	相対濃度 (s/m^3)
.....
96.99	約 1.1×10^{-4}
97.01	約 1.1×10^{-4}
97.03	約 1.1×10^{-4}
.....

地表面への沈着速度の設定について

地表面への放射性物質の沈着は，第 1-4-1 図に示すように乾性沈着と湿性沈着によって発生する。乾性沈着は地上近くの放射性物質が，地面状態等によって決まる沈着割合（沈着速度）に応じて地表面に沈着する現象であり，放射性物質の地表面濃度に沈着速度をかけることで計算される。湿性沈着は降水によって放射性物質が雨水に取り込まれ，地表面に落下・沈着する現象であり，大気中の放射性物質の濃度分布と降水強度及び沈着の割合を示すウォッシュアウト係数によって計算される。



第 1-4-1 図 地表面沈着のイメージ

緊急時対策所の居住性評価において，地表面への沈着速度として，乾性沈着速度 0.3cm/s の 4 倍である 1.2cm/s を用いている。

「発電用軽水型原子炉施設周辺の線量目標値に対する評価指針」（昭和 51 年 9 月 28 日原子力委員会決定，一部改訂 平成 13 年 3 月 29 日）の解説において，葉菜上の放射性よう素の沈着率を考慮するときに，「降水時における沈着率は，

乾燥時の 2～3 倍大きい値となる」と示されている。これを踏まえ、湿性沈着を考慮した沈着速度は、乾性沈着による沈着も含めて乾性沈着速度の 4 倍と設定した。

以下では、湿性沈着を考慮した沈着速度を、乾性沈着速度の 4 倍として設定した妥当性を検討した。

1. 評価手法

湿性沈着を考慮した沈着速度の適用性は、乾性沈着率と湿性沈着率を合計した沈着率の累積出現頻度 97% 値を求め、乾性沈着率の累積出現頻度 97% 値との比を求める。その比と乾性沈着速度 (0.3cm/s, 添付資料 5 参照) の積が 1.2cm/s を超えていないことを確認する。乾性沈着率及び湿性沈着率は以下のように定義される。乾性沈着率及び湿性沈着率は以下のように定義される。

(1) 乾性沈着率

乾性沈着率は、「日本原子力学会標準 原子力発電所の確率論的安全評価に関する実施基準 (レベル 3PSA 編) : 2008」(社団法人 日本原子力学会) (以下「学会標準」という。) 解説 4.7 を参考に評価した。学会標準解説 4.7 では、使用する相対濃度は地表面高さ付近としているが、ここでは内規【解説 5.3】①に従い、地上高さの相対濃度を用いた。

$$(\chi/Q)_D(x,y,z)_i = V_d \cdot \chi/Q(x,y,z)_i \quad \cdots \cdots \textcircled{1}$$

$(\chi/Q)_D(x,y,z)_i$: 時刻 i での乾性沈着率 [$1/m^2$]

$\chi/Q(x,y,z)_i$: 時刻 i での相対濃度 [s/m^3]

V_d : 沈着速度 [m/s] (0.003 NUREG/CR-4551 Vol.2 より)

(2) 湿性沈着率

降雨時には、評価点上空の放射性核種の地表への沈着は、降雨による影響を受ける。湿性沈着率 $(\chi/Q)_w(x,y)_i$ は学会標準[解説 4.11]より以下のように表される。

$$(\chi/Q)_w(x,y)_i = \Lambda \cdot \int_0^\infty \chi/Q(x,y,z)_i dz = \chi/Q(x,y,0)_i \Lambda_i \sqrt{2\pi \Sigma_{zi}} \exp\left[-\frac{h^2}{2\Sigma_{zi}}\right] \quad \dots \dots \dots \textcircled{2}$$

$(\chi/Q)_w(x,y)_i$: 時刻 i での湿性沈着率[1/m²]

$\chi/Q(x,y,0)_i$: 時刻 i での地表面高さでの相対濃度[s/m³]

Λ_i : 時刻 i でのウォッシュアウト係数[1/s]
(= $9.5 \times 10^{-5} \times \text{Pr}_i^{0.8}$ 学会標準より)

P_{Ti} : 時刻 i での降水強度[mm/h]

Σ_{zi} : 時刻 i での建屋影響を考慮した放射性雲の鉛直方向の拡散幅[m]

h : 放出高さ[m]

乾性沈着率と湿性沈着率を合計した沈着率の累積出現頻度 97% 値と、乾性沈着率の累積出現頻度 97% 値の比は以下で定義される。

乾性沈着率と湿性沈着率を合計した沈着率の累積出現頻度 97% 値 (①+②)

乾性沈着率の累積出現頻度 97% 値 (①)

$$= \frac{\left(V_d \cdot \chi/Q(x,y,z)_i + \chi/Q(x,y,0)_i \Lambda_i \sqrt{2\pi \Sigma_{zi}} \exp\left[-\frac{h^2}{2\Sigma_{zi}}\right] \right)_{97\%}}{(V_d \cdot \chi/Q(x,y,z)_i)_{97\%}} \quad \dots \dots \dots \textcircled{3}$$

2. 地表面沈着率の累積出現頻度 97%値の求め方

地表面沈着率の累積出現頻度は、気象指針に記載されている x/Q の累積出現頻度 97%値の求め方^{※1}に基づいて計算した。具体的には以下の手順で計算を行った（第 1-4-2 図参照）。

- (1) 各時刻における気象条件から、式①及び式②を用いて x/Q 、乾性沈着率、湿性沈着率を 1 時間毎に算出する。なお、評価対象方位以外に風が吹いた時刻については、評価対象方位における x/Q がゼロとなるため、地表面沈着率（乾性沈着率＋湿性沈着率）もゼロとなる。

第 1-4-2 図の例は、評価対象方位を S W とした場合であり、 x/Q による乾性沈着率及び降水による湿性沈着率から地表面沈着率を算出する。評価対象方位 S W 以外の方位に風が吹いた時刻については、地表面沈着率はゼロとなる。

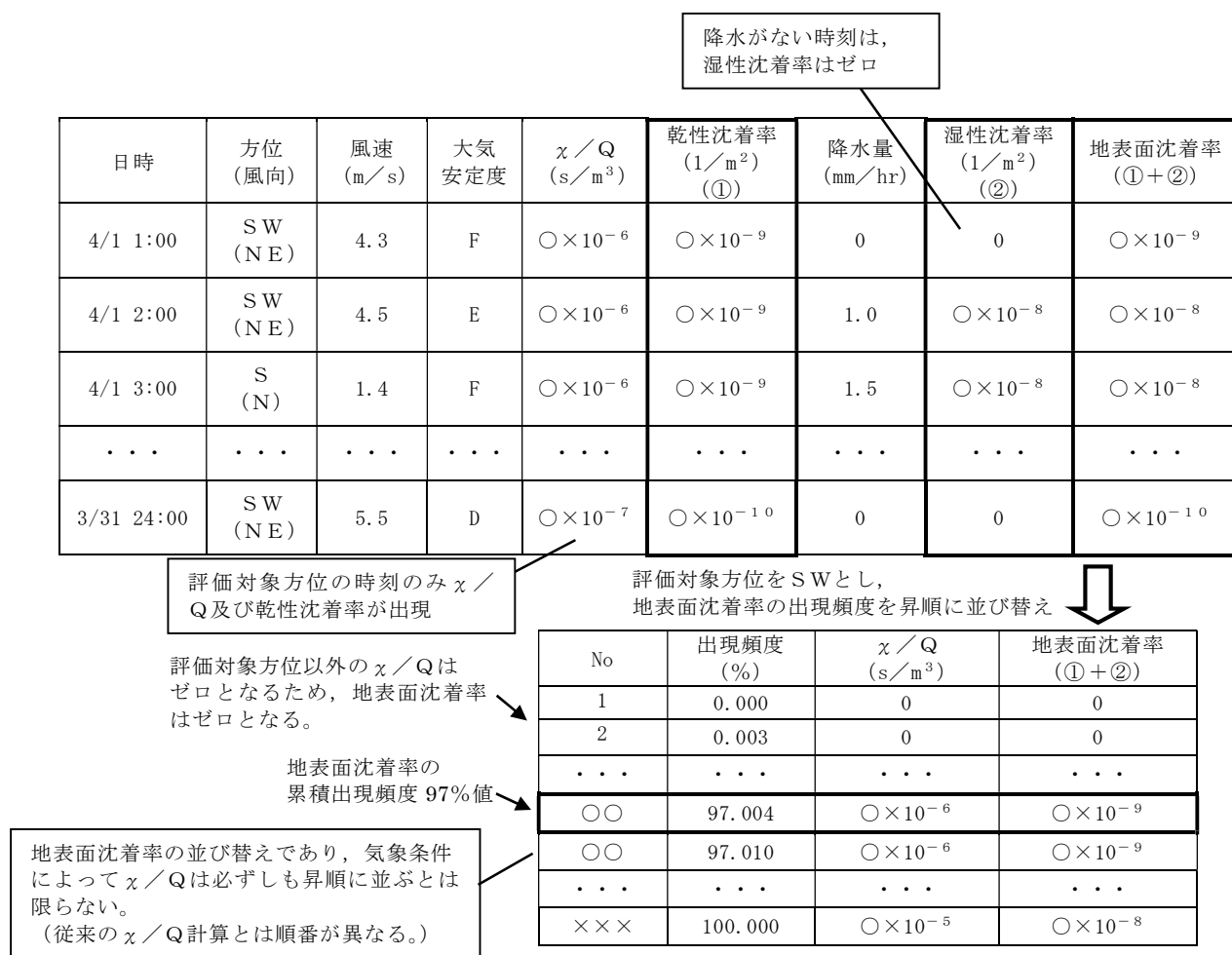
- (2) 上記 (1) で求めた 1 時間毎の地表面沈着率を値の大きさ順に並びかえ、小さい方から数えて累積出現頻度が 97%値を超えたところの沈着率を、地表面沈着率の 97%値とする（地表面沈着率の累積出現頻度であるため、 x/Q の累積出現頻度と異なる）。

※ 1 （気象指針解説抜粋）

VI. 想定事故時等の大気拡散の解析方法

1. 線量計算に用いる相対濃度

- (2) 着目地点の相対濃度は、毎時刻の相対濃度を年間について小さい方から累積した場合、その累積出現頻度が 97%に当たる相対濃度とする。



第 1-4-2 図 地表面沈着率の累積出現頻度 97% 値の求め方

(評価対象方位がSWの場合)

3. 評価結果

第 1-4-1 表に緊急時対策所の評価点についての検討結果を示す。乾性沈着率に放出点と同じ高さの相対濃度を用いたとき、乾性沈着率と湿性沈着率を合計した沈着率の累積出現頻度 97% 値と、乾性沈着率の累積出現頻度 97% 値の比は 1.3 程度となった。

以上より、湿性沈着を考慮した沈着速度を乾性沈着速度の 4 倍と設定することは保守的であるといえる。

第 1-4-1 表 沈着率評価結果

放出点	相対濃度 (s/m^3)	乾性沈着率(①) ($1/\text{m}^2$)	地表面沈着率 (①+②) ($1/\text{m}^2$)	③比 ($((①+②)/①)$)	湿性沈着を考慮 した沈着速度 (cm/s)
原子炉建屋	1.1×10^{-4}	3.2×10^{-7}	4.2×10^{-7}	1.3	0.4

エアロゾルの乾性沈着速度について

緊急時対策所の居住性評価に係る被ばく評価では、地表面への放射性物質の沈着速度を乾性沈着速度の4倍と想定しており、沈着速度の評価に当たっては、乾性沈着速度として 0.3cm/s を用いている。以下に、乾性沈着速度の設定の考え方を示す。

エアロゾルの乾性沈着速度は、NUREG/CR-4551^{*1}に基づき 0.3cm/s と設定した。NUREG/CR-4551 では郊外を対象としており、郊外とは道路、芝生及び木々で構成されるとしている。原子力発電所内も同様の構成であるため、この沈着速度が適用できると考えられる。また、NUREG/CR-4551 では $0.5\mu\text{m}\sim 5\mu\text{m}$ の粒径に対して検討されているが、格納容器内の除去過程で、相対的に粒子径の大きなエアロゾルは格納容器内に十分捕集されるため、粒径の大きなエアロゾルの放出はされにくいと考えられる。

また、W. G. N. Slinn の検討^{*2}によると、草や水、小石といった様々な材質に対する粒径に応じた乾性の沈着速度を整理しており、これによると $0.1\mu\text{m}\sim 5\mu\text{m}$ の粒径では沈着速度は 0.3cm/s 程度（第 1-5-1 図）である。以上のことから、現場作業の線量影響評価におけるエアロゾルの乾性の沈着速度として 0.3cm/s を適用できると判断した。

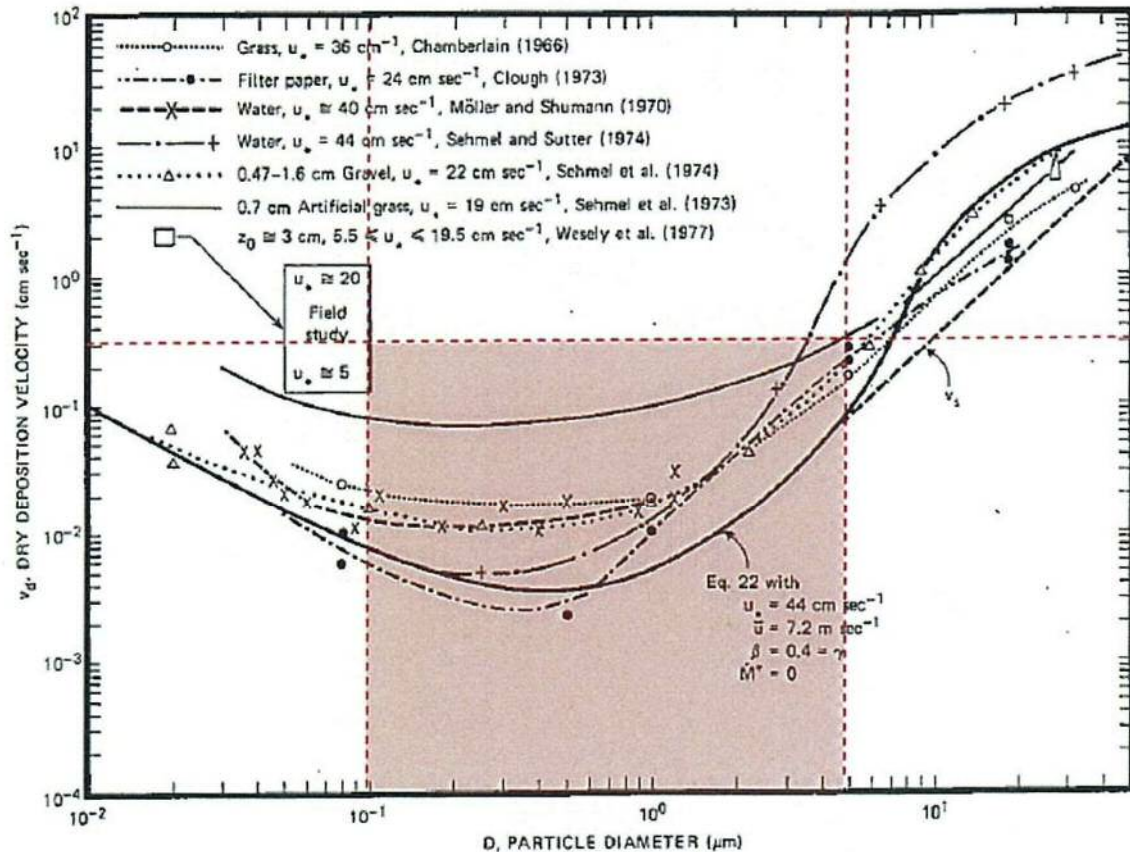


Fig. 4 Dry deposition velocity as a function of particle size. Data were obtained from a number of publications.¹⁹⁻²¹ The theoretical curve appropriate for a smooth surface is shown for comparison. Note that the theoretical curve is strongly dependent on the value for u_* and that Eq. 22 does not contain a parameterization for surface roughness. For a preliminary study of the effect of surface roughness and other factors, see Ref. 5.

第 1-5-1 図 様々な粒径における地表沈着速度 (Nuclear Safety Vol.19^{*2})

- ※1 J.L. Sprung 等 : Evaluation of severe accident risk : quantification of major input parameters, NUREG/CR-4451 Vol.2 Rev.1 Part 7, 1990
- ※2 W.G.N. Slinn : Environmental Effects, Parameterizations for Resuspension and for Wet and Dry Deposition of Particles and Gases for Use in Radiation Dose. Calculations, Nuclear Safety Vol.19 No.2, 1978

参考資料 シビアアクシデント時のエアロゾルの粒径について

シビアアクシデント時に格納容器内で発生する放射性物質を含むエアロゾル粒径分布として「 $0.1\mu\text{m}\sim 5\mu\text{m}$ 」の範囲であることは、粒径分布に関して実施されている研究を基に設定している。

シビアアクシデント時には格納容器内にスプレー等による注水が実施されることから、シビアアクシデント時の粒径分布を想定し、「格納容器内でのエアロゾルの挙動」及び「格納容器内の水の存在の考慮」といった観点で実施された第1-5-1表の②、⑤に示す試験等を調査した。さらに、シビアアクシデント時のエアロゾルの粒径に対する共通的な知見とされている情報を得るために、海外の規制機関（NRC等）や各国の合同で実施されているシビアアクシデント時のエアロゾルの挙動の試験等（第1-5-1表の①、③、④）を調査した。以上の調査結果を第1-5-1表に示す。

この表で整理した試験等は、想定するエアロゾル発生源、挙動範囲（格納容器、原子炉冷却材配管等）、水の存在等に違いがあるが、エアロゾル粒径の範囲に大きな違いはなく、格納容器内環境でのエアロゾル粒径はこれらのエアロゾル粒径と同等な分布範囲を持つものと推定できる。

したがって、過去の種々の調査・研究により示されている範囲をカバーする値として、 $0.1\mu\text{m}\sim 5\mu\text{m}$ のエアロゾルを想定することは妥当である。

第 1-5-1 表 シビアアクシデント時のエアロゾル粒径についての文献調査結果

番号	試験名又は 報告書名等	エアロゾル粒径 (μm)	備 考
①	LACE LA2※ ¹	約0.5～5 (第1-5-2図参照)	シビアアクシデント時の評価に使用されるコードでの格納容器閉じ込め機能喪失を想定した条件とした比較試験
②	NUREG/CR-5901※ ²	0.25～2.5 (参考1-1)	格納容器内に水が存在し、熔融炉心を覆っている場合のスクラビング効果のモデル化を紹介したレポート
③	AECLが実施した試験※ ³	0.1～3.0 (参考1-2)	シビアアクシデント時の炉心損傷を考慮した1次系内のエアロゾル挙動に着目した実験
④	PBF-SFD※ ³	0.29～0.56 (参考1-2)	シビアアクシデント時の炉心損傷を考慮した1次系内のエアロゾル挙動に着目した実験
⑤	PHEBUS-FP※ ³	0.5～0.65 (参考1-2)	シビアアクシデント時のFP挙動の実験 (左記のエアロゾル粒径はPHEBUS FP実験の格納容器内のエアロゾル挙動に着目した実験の結果)

- ※¹ J. H. Wilson and P. C. Arwood, Summary of Pretest Aerosol Code Calculations for LWR Aerosol Containment Experiments (LACE) LA2, ORNL A. L. Wright, J. H. Wilson and P.C. Arwood, PRETEST AEROSOL CODE COMPARISONS FOR LWR AEROSOL CONTAINMENT TESTS LA1 AND LA2
- ※² D. A. Powers and J. L. Sprung, NUREG/CR-5901, A Simplified Model of Aerosol Scrubbing by a Water Pool Overlying Core Debris Interacting With Concrete
- ※³ STATE-OF-THE-ART REPORT ON NUCLEAR AEROSOLS, NEA/CSNI/R (2009)

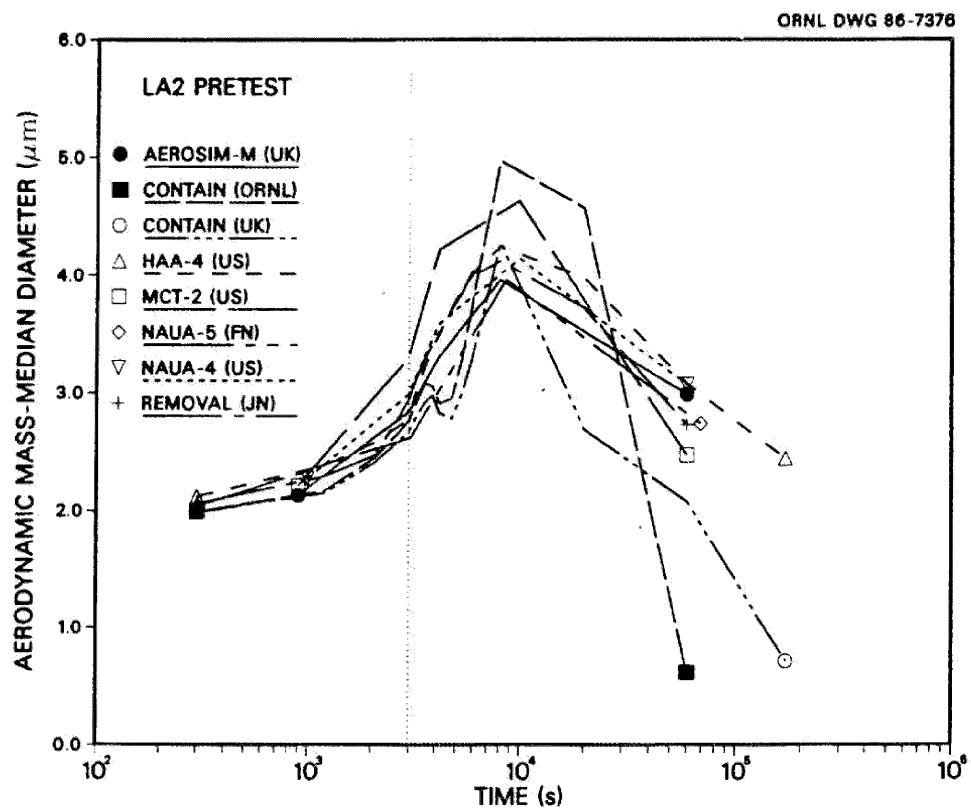


Fig. 11. LA2 pretest calculations — aerodynamic mass median diameter vs time.

第1-5-2図 LACE LA2でのコード比較試験で得られたエアロゾル粒径の時間
変化グラフ

so-called "quench" temperature. At temperatures below this quench temperature the kinetics of gas phase reactions among CO, CO₂, H₂, and H₂O are too slow to maintain chemical equilibrium on useful time scales. In the sharp temperature drop created by the water pool, very hot gases produced by the core debris are suddenly cooled to temperatures such that the gas composition is effectively "frozen" at the equilibrium composition for the "quench" temperature. Experimental evidence suggest that the "quench" temperature is 1300 to 1000 K. The value of the quench temperature was assumed to be uniformly distributed over this temperature range for the calculations done here.

(6) Solute Mass. The mass of solutes in water pools overlying core debris attacking concrete has not been examined carefully in the experiments done to date. It is assumed here that the logarithm of the solute mass is uniformly distributed over the range of $\ln(0.05 \text{ g/kilogram H}_2\text{O}) = -3.00$ to $\ln(100 \text{ g/kilogram H}_2\text{O}) = 4.61$.

(7) Volume Fraction Suspended Solids. The volume fraction of suspended solids in the water pool will increase with time. Depending on the available facilities for replenishing the water, this volume fraction could become quite large. Models available for this study are, however, limited to volume fractions of 0.1. Consequently, the volume fraction of suspended solids is taken to be uniformly distributed over the range of 0 to 0.1.

(8) Density of Suspended Solids. Among the materials that are expected to make up the suspended solids are Ca(OH)₂ ($\rho = 2.2 \text{ g/cm}^3$) or SiO₂ ($\rho = 2.2 \text{ g/cm}^3$) from the concrete and UO₂ ($\rho = 10 \text{ g/cm}^3$) or ZrO₂ ($\rho = 5.9 \text{ g/cm}^3$) from the core debris or any of a variety of aerosol materials. It is assumed here that the material density of the suspended solids is uniformly distributed over the range of 2 to 6 g/cm³. The upper limit is chosen based on the assumption that suspended UO₂ will hydrate, thus reducing its effective density. Otherwise, gas sparging will not keep such a dense material suspended.

(9) Surface Tension of Water. The surface tension of the water can be increased or decreased by dissolved materials. The magnitude of the change is taken here to be $S\sigma(w)$ where S is the weight fraction of dissolved solids. The sign of the change is taken to be minus or plus depending on whether a random variable ϵ is less than 0.5 or greater than or equal to 0.5. Thus, the surface tension of the liquid is:

$$\sigma_1 = \begin{cases} \sigma(w) (1-S) & \text{for } \epsilon < 0.5 \\ \sigma(w) (1+S) & \text{for } \epsilon \geq 0.5 \end{cases}$$

where $\sigma(w)$ is the surface tension of pure water.

(10) Mean Aerosol Particle Size. The mass mean particle size for aerosols produced during melt/concrete interactions is known only for situations in which no water is present. There is reason to believe smaller particles will be produced if a water pool is present. Examination of aerosols produced during melt/concrete interactions shows that the primary particles are about 0.1 μm in diameter. Even with a water pool present, smaller particles would not be expected.

Consequently, the natural logarithm of the mean particle size is taken here to be uniformly distributed over the range from $\ln(0.25 \mu\text{m}) = -1.39$ to $\ln(2.5 \mu\text{m}) = 0.92$.

(11) Geometric Standard Deviation of the Particle Size Distribution. The aerosols produced during core debris-concrete interactions are assumed to have lognormal size distributions. Experimentally determined geometric standard deviations for the distributions in cases with no water present vary between 1.6 and 3.2. An argument can be made that the geometric standard deviation is positively correlated with the mean size of the aerosol. Proof of this correlation is difficult to marshal because of the sparse data base. It can also be argued that smaller geometric standard deviations will be produced in situations with water present. It is unlikely that data will ever be available to demonstrate this contention. The geometric standard deviation of the size distribution is assumed to be uniformly distributed over the range of 1.6 to 3.2. Any correlation of the geometric standard deviation with the mean size of the aerosol is neglected.

(12) Aerosol Material Density. Early in the course of core debris interactions with concrete, UO_2 with a solid density of around 10 g/cm^3 is the predominant aerosol material. As the interaction progresses, oxides of iron, manganese and chromium with densities of about 5.5 g/cm^3 and condensed products of concrete decomposition such as Na_2O , K_2O , Al_2O_3 , SiO_2 , and CaO with densities of 1.3 to 4 g/cm^3 become the dominant aerosol species. Condensation and reaction of water with the species may alter the apparent material densities. Coagglomeration of aerosolized materials also complicates the prediction of the densities of materials that make up the aerosol. As a result the material density of the aerosol is considered uncertain. The material density used in the calculation of aerosol trapping is taken to be an uncertain parameter uniformly distributed over the range of 1.5 to 10.0 g/cm^3 .

Note that the mean aerosol particle size predicted by the VANESA code [6] is correlated with the particle material density to the $-1/3$ power. This correlation of aerosol particle size with particle material density was taken to be too weak and insufficiently supported by experimental evidence to be considered in the uncertainty analyses done here.

(13) Initial Bubble Size. The initial bubble size is calculated from the Davidson-Schular equation:

$$D_b = \epsilon \left(\frac{6}{\pi} \right)^{1/3} \frac{V_s^{0.4}}{g^{0.2}} \text{ cm}$$

where ϵ is assumed to be uniformly distributed over the range of 1 to 1.54. The minimum bubble size is limited by the Fritz formula to be:

$$D_b = 0.0105 \Psi[\sigma_t / g(\rho_l - \rho_g)]^{1/2}$$

where the contact angle is assumed to be uniformly distributed over the range of 20 to 120° . The maximum bubble size is limited by the Taylor instability model to be:

参考1-2 STATE-OF-THE-ART REPORT ON NUCLEAR AEROSOLS,
NEA/CSNI/R(2009)5の抜粋及び試験の概要

9.2.1 Aerosols in the RCS

9.2.1.1 AECL

The experimenters conclude that spherical particles of around 0.1 to 0.3 μm formed (though their composition was not established) then these agglomerated giving rise to a mixture of compact particles between 0.1 and 3.0 μm in size at the point of measurement. The composition of the particles was found to be dominated by Cs, Sn and U: while the Cs and Sn mass contributions remained constant and very similar in mass, U was relatively minor in the first hour at 1860 K evolving to be the main contributor in the third (very approximately: 42 % U, 26 % Sn, 33 % Cs). Neither break down of composition by particle size nor statistical size information was measured.

9.2.1.2 PBF-SFD

Further interesting measurements for purposes here were six isokinetic, sequential, filtered samples located about 13 m from the bundle outlet. These were used to follow the evolution of the aerosol composition and to examine particle size (SEM). Based on these analyses the authors state that particle geometrical-mean diameter varied over the range 0.29-0.56 μm (elimination of the first filter due to it being early with respect to the main transient gives the range 0.32-0.56 μm) while standard deviation fluctuated between 1.6 and 2.06. In the images of filter deposits needle-like forms are seen. Turning to composition, if the first filter sample is eliminated and “below detection limit” is taken as zero, for the structural components and volatile fission products we have in terms of percentages the values given in Table 9.2-1.

9.2.2 Aerosols in the containment

9.2.2.1 PHEBUS FP

The aerosol size distributions were fairly lognormal with an average size (AMMD) in FPT0 of 2.4 μm at the end of the 5-hour bundle-degradation phase growing to 3.5 μm before stabilizing at 3.35 μm ; aerosol size in FPT1 was slightly larger at between 3.5 and 4.0 μm . Geometric-mean diameter (d_{50}) of particles in FPT1 was seen to be between 0.5 and 0.65 μm ; a SEM image of a deposit is shown in Fig. 9.2-2. In both tests the geometric standard deviation of the lognormal distribution was fairly constant at a value of around 2.0. There was clear evidence that aerosol composition varied very little as a function of particle size except for the late settling phase of the FPT1 test: during this period, the smallest particles were found to be cesium-rich. In terms of chemical speciation, X-ray techniques were used on some deposits and there also exist many data on the solubilities of the different elements in numerous deposits giving a clue as to the potential forms of some of the elements. However, post-test oxidation of samples cannot be excluded since storage times were long (months) and the value of speculating on potential speciation on the basis of the available information is debatable. Nevertheless, there is clear evidence that some elements reached higher states of oxidation in the containment when compared to their chemical form in the circuit.

試験名又は報告書名等	試験の概要
AFCLが実施した実験	CANDUのジルカロイ被覆管燃料を使用した，1次系でも核分裂生成物の挙動についての試験
PBF-SFD	米国アイダホ国立工学環境研究所で実施された炉心損傷状態での燃料棒及び炉心のふるまい並びに核分裂生成物及び水素の放出についての試験
PHEBUS FP	フランスカダラッシュ研究所のPHEBUS研究炉で実施された，シビアアクシデント条件下での炉心燃料から1次系を経て格納容器に至るまでの核分裂生成物の挙動を調べる実機燃料を用いた総合試験

グランドシャインの評価方法

グランドシャインの評価は以下の通り実施した。

1. 線源

緊急時対策所居住性評価に係るグランドシャインの評価に適用する線源は、重大事故により大気中に放出された放射性物質が地表面と緊急時対策所の天井上面に均一に沈着した面線源とする。

2. ガンマ線線源強度

ガンマ線線源強度は、核種毎の地表面沈着濃度（7 日間の積算値，沈着速度 1.2cm/s ）から計算コード入力用にガンマ線エネルギーと放出割合を加味したエネルギー群構造（42 群）に換算した値とする。なお，ガンマ線エネルギー群構造は評価済核データライブラリ JENDL-3.3^{*1}から作成した輸送計算用ライブラリ MATXSLIB-J33^{*2}の 42 群とし，各群の上限エネルギーを使用する。換算後のエネルギー群別ガンマ線積算線源強度を第 1-6-1 表に示す。

3. 計算モデル

グランドシャイン評価における緊急時対策所の計算モデルを第 1-6-1 図に示す。緊急時対策所は鉄筋コンクリート製であるが，評価上コンクリートのみとし，以下に示す密度を適用する。建屋上に沈着する放射性物質の範囲は，保守的に 3 階床レベル（EL37m）に設定する。地表面に沈着した放射性物質の線源の高さは，法面や木々に付着する放射性物質からの寄与があることを考慮して，緊急時対策所の天井レベル（EL36m）と同じ高さに設定する。線源範

囲は、緊急時対策所中心より 400m までの範囲とする^{注1}。

上記以外は、直接線・スカイシャイン線評価の計算モデルと同様とする。

注1：400m 以上離れた位置からの線量寄与が全体の 1%以下であることが示されている^{※3}ため、緊急時対策所中心から周囲 400m までをモデル化する。

4. 遮蔽及び評価点

グランドシャインの評価においては、緊急時対策所の外壁及び緊急時対策所の壁による遮蔽効果を考慮する。なお、上記以外の壁等による遮蔽効果には期待しない保守的な遮蔽モデルとなっている。

作業エリアを想定して緊急時対策所内の天井レベル (EL36m) で線量が最大となる点を設定する。

5. 計算コード

計算コードは QAD-CGGP2R^{※4}コードを適用する。

※1：K. Shibata, et al., ” Japanese Evaluated Nuclear Data Library Version 3 Revision-3: JENDL-3.3 ” , J.Nucl.Sci.Technol., 39,1125(2002)

※2：K. Kosako, N. Yamano, T. Fukahori, K. Shibata and A. Hasegawa, “The Libraries FSXLIB and MATXSLIB based on JENDL-3.3 ” , JAERI-Data/Code 2003-011(2003)

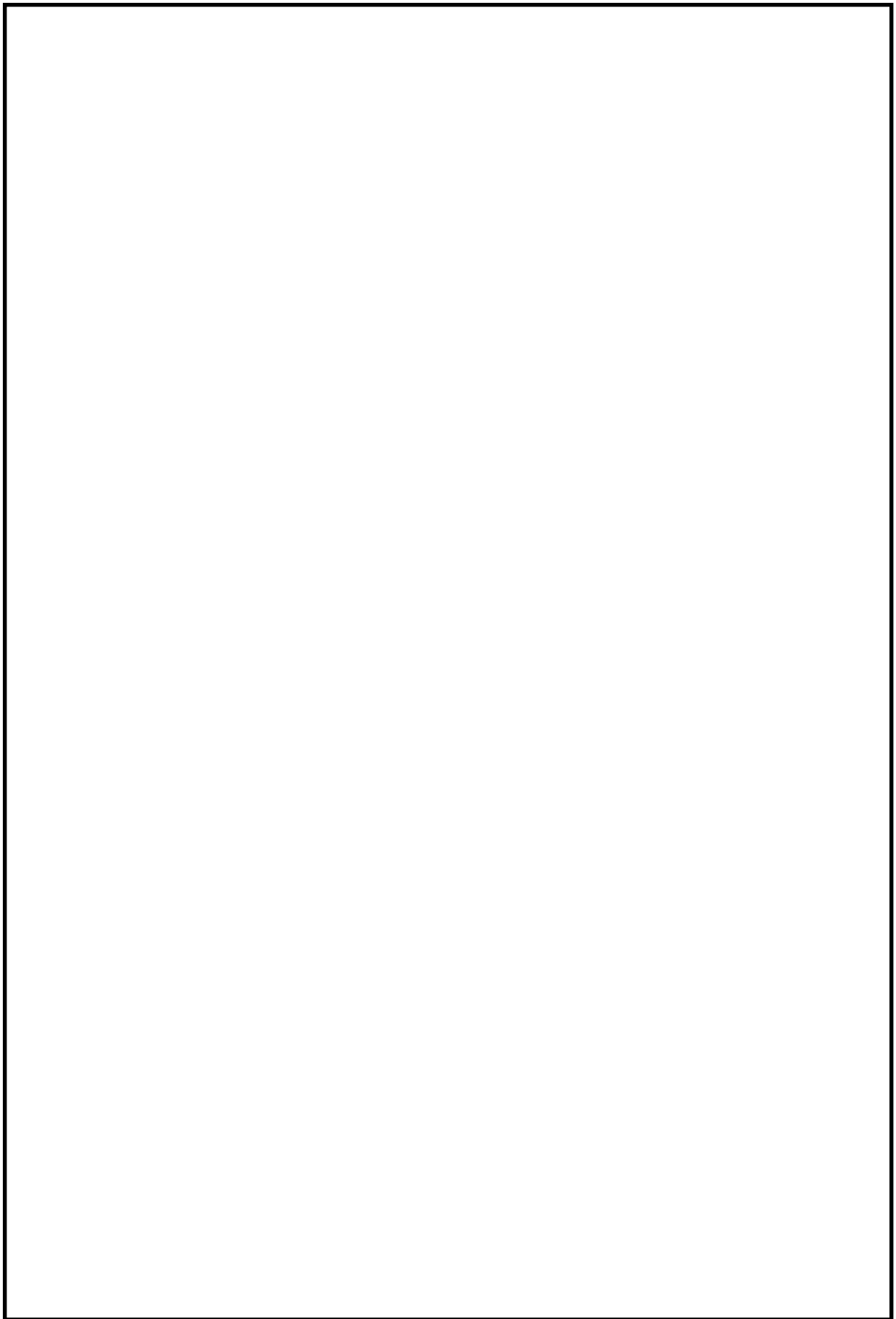
※3：JAEA-Technology 2011-026「汚染土壤の除染領域と線量低減効果の検討」

※4：RIST NEWS No.33 「実効線量評価のための遮蔽計算の現状」2002.3.31,
高度情報科学技術研究機構

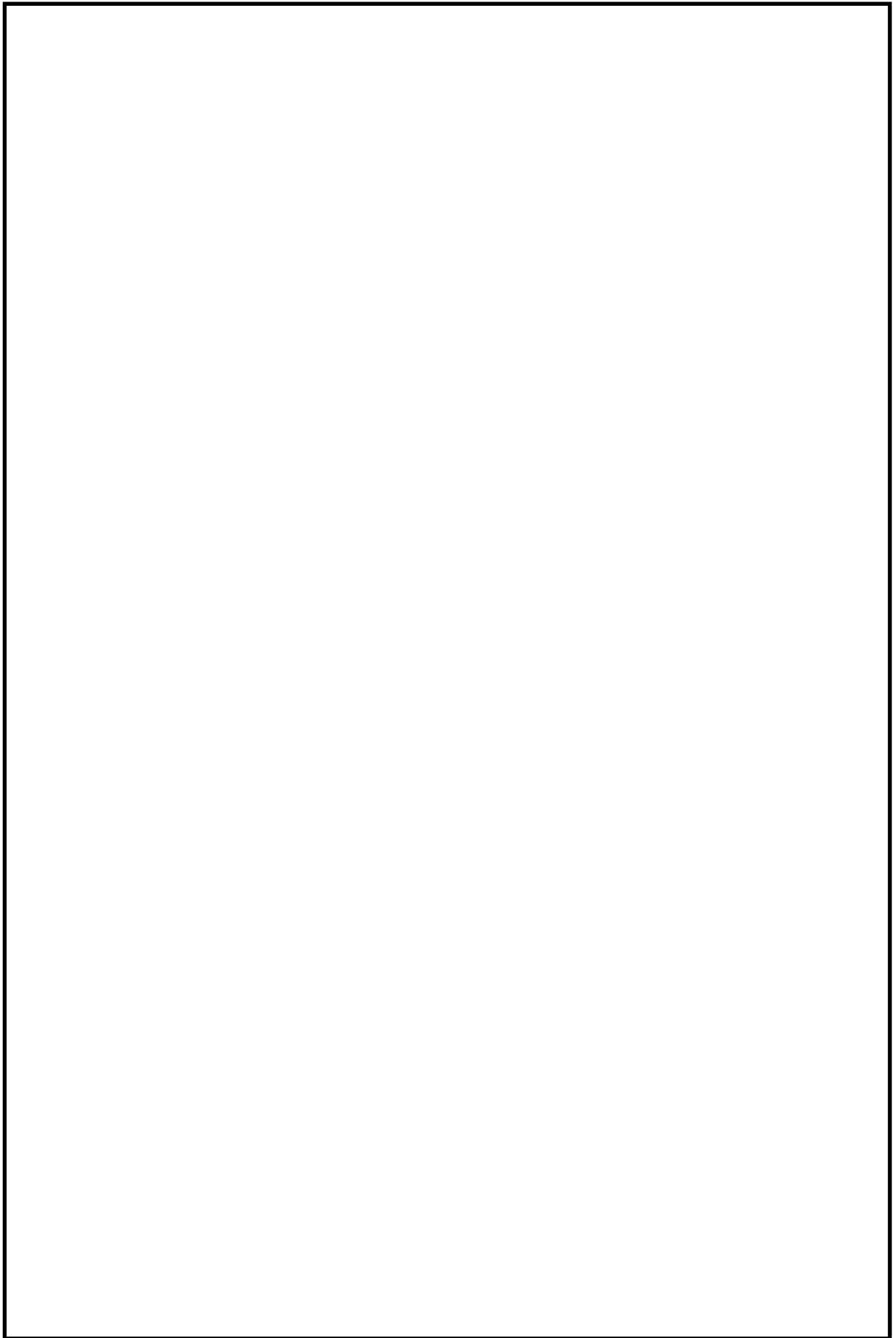
第 1-6-1 表 グランドシャインの評価に用いる
線源強度（7 日積算）※1

エネルギー (MeV)		積算線源強度 (Photons)
下限	上限 (代表エネルギー)	
—	1.00×10^{-2}	1.12×10^{11}
1.00×10^{-2}	2.00×10^{-2}	1.25×10^{11}
2.00×10^{-2}	3.00×10^{-2}	1.68×10^{12}
3.00×10^{-2}	4.50×10^{-2}	3.72×10^{11}
4.50×10^{-2}	6.00×10^{-2}	1.87×10^{11}
6.00×10^{-2}	7.00×10^{-2}	1.24×10^{11}
7.00×10^{-2}	7.50×10^{-2}	2.33×10^{10}
7.50×10^{-2}	1.00×10^{-1}	1.17×10^{11}
1.00×10^{-1}	1.50×10^{-1}	1.09×10^{11}
1.50×10^{-1}	2.00×10^{-1}	8.05×10^{11}
2.00×10^{-1}	3.00×10^{-1}	1.61×10^{12}
3.00×10^{-1}	4.00×10^{-1}	2.46×10^{12}
4.00×10^{-1}	4.50×10^{-1}	1.23×10^{12}
4.50×10^{-1}	5.10×10^{-1}	1.65×10^{12}
5.10×10^{-1}	5.12×10^{-1}	5.50×10^{10}
5.12×10^{-1}	6.00×10^{-1}	2.42×10^{12}
6.00×10^{-1}	7.00×10^{-1}	2.75×10^{12}
7.00×10^{-1}	8.00×10^{-1}	1.20×10^{12}
8.00×10^{-1}	1.00×10^0	2.40×10^{12}
1.00×10^0	1.33×10^0	5.66×10^{11}
1.33×10^0	1.34×10^0	1.71×10^{10}
1.34×10^0	1.50×10^0	2.74×10^{11}
1.50×10^0	1.66×10^0	2.17×10^{10}
1.66×10^0	2.00×10^0	4.60×10^{10}
2.00×10^0	2.50×10^0	4.36×10^{10}
2.50×10^0	3.00×10^0	9.45×10^8
3.00×10^0	3.50×10^0	7.87×10^3
3.50×10^0	4.00×10^0	7.87×10^3
4.00×10^0	4.50×10^0	2.08×10^{-2}
4.50×10^0	5.00×10^0	2.08×10^{-2}
5.00×10^0	5.50×10^0	2.08×10^{-2}
5.50×10^0	6.00×10^0	2.08×10^{-2}
6.00×10^0	6.50×10^0	2.40×10^{-3}
6.50×10^0	7.00×10^0	2.40×10^{-3}
7.00×10^0	7.50×10^0	2.40×10^{-3}
7.50×10^0	8.00×10^0	2.40×10^{-3}
8.00×10^0	1.00×10^1	7.36×10^{-4}
1.00×10^1	1.20×10^1	3.68×10^{-4}
1.20×10^1	1.40×10^1	0.00×00^0
1.40×10^1	2.00×10^1	0.00×00^0
2.00×10^1	3.00×10^1	0.00×00^0
3.00×10^1	5.00×10^1	0.00×00^0

※1 ビルドアップ係数等については、代表エネルギー毎に評価している。



第 1-6-1 図 緊急時対策所グランドシャインの評価モデル (1/2)



第 1-6-1 図 緊急時対策所グランドシャインの評価モデル (2/2)

事象発生時の換気系運転モードについて

重大事故等の発生により、大気中に放射性物質が放出された場合においても、緊急時対策所にとどまる要員の居住性を確保するため、緊急時対策所非常用送風機、緊急時対策所非常用フィルタ装置を緊急時対策所内に設置する。

また、プルーム通過時の緊急時対策所の対策要員への被ばく防止対策として、緊急時対策所用加圧設備空気ポンベによる加圧により緊急時対策所を加圧することにより、緊急時対策所内への放射性物質の流入を防止する。

事象発生時の換気設備の運転モード一覧を第 1-7-1 表に示す。

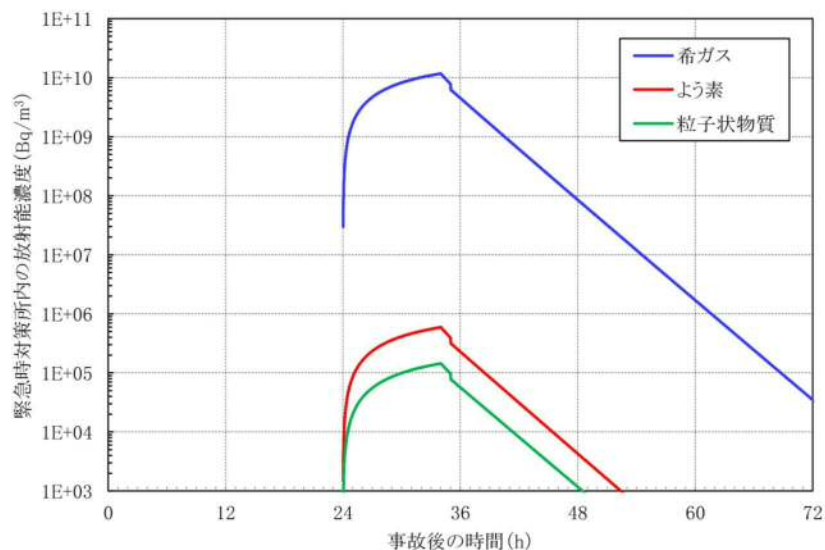
第 1-7-1 表 事象発生後の非常用換気設備運転モード一覧

期間	事象発生～24h	24h～34h (プルーム放出中)	34h～35h	35h 以降
運転 モード※1	②緊急対建屋加圧モード	③災害対策本部加圧モード	④緊急対建屋浄化モード	②緊急対建屋加圧モード
イメージ図 ※2				
備考	<p>【緊急時対策所，浄化エリア】</p> <ul style="list-style-type: none"> ・非常用送風機を起動し，微粒子フィルタ，よう素フィルタで浄化した空気を緊急時対策所内に取り込む非常時運転を実施 ・建屋内は正圧維持 	<p>【緊急時対策所】</p> <ul style="list-style-type: none"> ・緊急時対策所用加圧設備空気ポンプによる加圧運転を実施し，緊急時対策所内への放射性物質の流入を防止する。 <p>【浄化エリア】</p> <ul style="list-style-type: none"> ・非常用換気設備の少量外気取り込みにより放射性物質の流入を低減 ・建屋内は正圧維持 	<p>【緊急時対策所】</p> <ul style="list-style-type: none"> ・緊急時対策所用加圧設備空気ポンプによる加圧運転を継続 <p>【浄化エリア】</p> <ul style="list-style-type: none"> ・非常用換気設備の外気取り込みにより建屋内の希ガス等の放射性物質を排出 ・建屋内は正圧維持 	<p>【緊急時対策所】</p> <ul style="list-style-type: none"> ・緊急時対策所用加圧設備空気ポンプによる加圧運転を停止 <p>【浄化エリア】</p> <ul style="list-style-type: none"> ・非常用換気設備の外気取り込みにより建屋内の放射性物質の排出を継続 ・建屋内は正圧維持

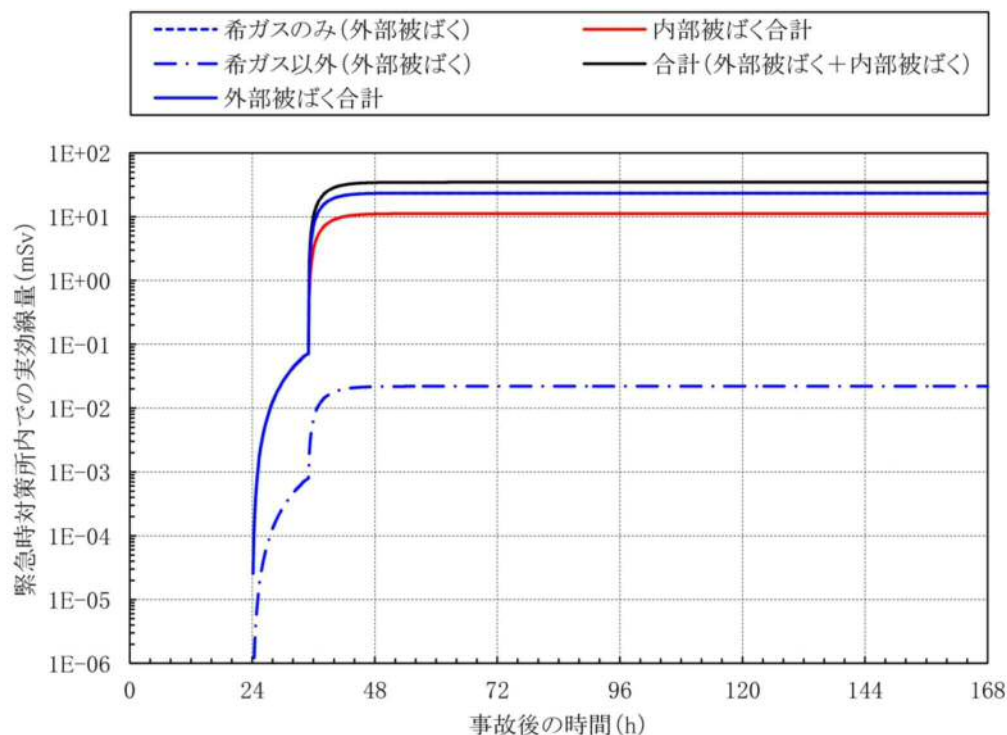
※1 運転モードの詳細は，補足説明資料「61-9 緊急時対策所について（被ばく評価除く）」の 2.4 項（5）に示す。

※2 イメージ図中網掛け部は，線源範囲

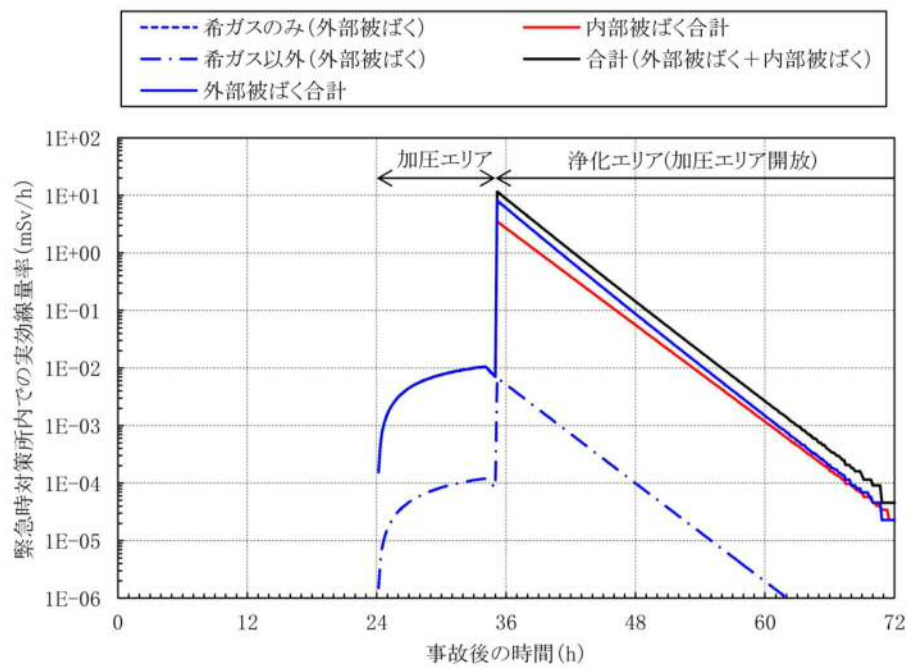
緊急時対策所内へ外気から取り込まれた放射性物質濃度の推移を第 1-7-1 図に示す。また、外気から取り込まれた放射性物質による緊急時対策所内における実効線量及び実効線量率の推移を第 1-7-2 図及び第 1-7-3 図に示す。



第 1-7-1 図 緊急時対策所内（浄化エリア）の放射性物質濃度の推移



第 1-7-2 図 緊急時対策所内での実効線量の推移



第 1-7-3 図 緊急時対策所内での実効線量率の推移

放射性物質の放出継続時間について

放射性物質の大気への放出継続時間は、「実用発電用原子炉に係る重大事故時の制御室及び緊急時対策所の居住性に係る被ばく評価に関する審査ガイド」(以下「審査ガイド」という)に基づき、10 時間と設定し評価している。

一方、格納容器が破損するような条件における放射性物質の大気への放出については、米国における緊急時対応技術マニュアル (NUREG / BR - 0150 Vol. 1, Rev. 4 RTM-96 Response Technical Manual) において、「壊滅的破損」を想定した場合の放出時間を 1 時間としている。

本評価においては、以下の理由から放出継続時間を 10 時間として設定し評価を行っている。

放出継続時間を 1 時間と設定した場合は、放射性物質の全量が 1 時間で放出されることから、10 時間と設定した場合に比べて放射性物質の放出量及び緊急時対策所建屋内に対する線量率が一時的に約 10 倍上昇すると考えられる。しかしながら、緊急時対策所内は浄化エリアに対して 50cm 以上のコンクリート壁で遮蔽されており、緊急時対策所内の線量率は最大でも 0.1mSv/h 以下の上昇であるため、被ばくに与える影響は小さい。また、緊急時対策所は 11 時間以上加圧でき、プルーム通過後に緊急時対策所建屋内は外気取り込みにより建屋内の放射性物質の排出を行うため、緊急時対策所内に流入する放射性物質に対する被ばくは大きく減少することから、放出継続時間は、長時間影響がある 10 時間と設定して評価を行っている。

<p>実用発電用原子炉に係る重大事故時の制御室及び緊急時対策所の 居住性に係る被ばく評価に関する審査ガイド</p>	<p>緊急時対策所の居住性に係る被ばく評価の適合状況</p>
<p>3. 制御室及び緊急時対策所の居住性に係る被ばく評価 (解釈より抜粋) (緊急時対策所)</p> <p>1 e) 緊急時対策所の居住性については、次の要件を満たすものであること。</p> <p>① 想定する放射性物質の放出量等は東京電力株式会社福島第一原子力発電所事故と同等とすること。</p> <p>② プルーム通過時等に特別な防護措置を講じる場合を除き、対策要員は緊急時対策所内でのマスクの着用なしとして評価すること。</p> <p>③ 交代要員体制、安定ヨウ素剤の服用、仮設設備等を考慮してもよい。ただしその場合は、実施のための体制を整備すること。</p> <p>④ 判断基準は、対策要員の実効線量が7日間で100mSvを超えないこと。</p>	<p>1 e)→審査ガイドの趣旨に基づき評価</p> <p>①東京電力株式会社福島第一原子力発電所事故相当の放出を仮定。 放射性物質の放出割合は4.4(1)の通り。</p> <p>②マスク着用はなしとして評価している。</p> <p>③交代要員体制:評価期間中の交代は考慮しない。 安定ヨウ素剤の服用:考慮しない。 仮設設備:加圧用空気ポンペを考慮する。</p> <p>④対策要員の実効線量が7日間で100mSvを超えないことを確認している。</p>

<p>実用発電用原子炉に係る重大事故時の制御室及び緊急時対策所の 居住性に係る被ばく評価に関する審査ガイド</p>	<p>緊急時対策所の居住性に係る被ばく評価の適合状況</p>
<p>4. 居住性に係る被ばく評価の標準評価手法</p> <p>4.1 居住性に係る被ばく評価の手法及び範囲</p> <p>① 居住性に係る被ばく評価にあたっては最適評価手法を適用し、「4.2 居住性に係る被ばく評価の共通解析条件」を適用する。ただし、保守的な仮定及び条件の適用を否定するものではない。</p> <p>② 実験等を基に検証され、適用範囲が適切なモデルを用いる。</p> <p>③ 不確かさが大きいモデルを使用する場合や検証されたモデルの適用範囲を超える場合には、感度解析結果等を基にその影響を適切に考慮する。</p> <p>（１）被ばく経路</p> <p>原子炉制御室／緊急時制御室／緊急時対策所の居住性に係る被ばく評価では、次の被ばく経路による被ばく線量を評価する。図 1 に、原子炉制御室の居住性に係る被ばく経路を、図 2 に、緊急時制御室又は緊急時対策所の居住性に係る被ばく経路をそれぞれ示す。</p> <p>ただし、合理的な理由がある場合は、この経路によらないことができる。</p> <p>① 原子炉建屋内の放射性物質からのガンマ線による原子炉制御室／緊急時制御室／緊急時対策所内での被ばく原子炉建屋（二次格納施設（BWR 型原子炉施設）又は原子炉格納容器及びアニュラス部（PWR 型原子炉施設））内の放射性物質から放射されるガンマ線による原子炉制御室／緊急時制御室／緊急時対策所内での被ばく線量を、次の二つ</p>	<p>4.1 →審査ガイド通り</p> <p>①最適評価手法を適用し、「4.2 居住性に係る被ばく評価の共通解析条件」に基づいて評価している。</p> <p>②実験等に基づいて検証されたコードやこれまでの許認可で使用したモデルに基づいて評価している。</p> <p>4.1（１）→ 審査ガイド通り</p> <p>緊急時対策所居住性に係る被ばく経路は図 2 の通り、①～③の経路に対して評価している。</p> <p>4.1（１）①→審査ガイド通り</p> <p>原子炉建屋内の放射性物質からのスカイシャインガンマ線による緊急時対策所内での外部被ばく線量を評価している。</p> <p>原子炉建屋内の放射性物質からの直接ガンマ線による緊急時対策所内での外部被ばく線量を評価している。</p>

<p>実用発電用原子炉に係る重大事故時の制御室及び緊急時対策所の 居住性に係る被ばく評価に関する審査ガイド</p>	<p>緊急時対策所の居住性に係る被ばく評価の適合状況</p>
<p>の経路を対象に計算する。</p> <p>一 原子炉建屋内の放射性物質からのスカイシャインガンマ線による外部被ばく</p> <p>二 原子炉建屋内の放射性物質からの直接ガンマ線による外部被ばく</p> <p>② 大気中へ放出された放射性物質による原子炉制御室／緊急時制御室／緊急時対策所内での被ばく大気中へ放出された放射性物質から放射されるガンマ線による外部被ばく線量を、次の二つの経路を対象に計算する。</p> <p>一 放射性雲中の放射性物質からのガンマ線による外部被ばく（クラウドシャイン）</p> <p>二 地表面に沈着した放射性物質からのガンマ線による外部被ばく（グラウンドシャイン）</p> <p>③ 外気から取り込まれた放射性物質による原子炉制御室／緊急時制御室／緊急時対策所内での被ばく原子炉制御室／緊急時制御室／緊急時対策所内に取り込まれた放射性物質による被ばく線量を、次の二つの被ばく経路を対象にして計算する。</p> <p>なお、原子炉制御室／緊急時制御室／緊急時対策所内に取り込まれた放射性物質は、室内に沈着せずに浮遊しているものと仮定して評価する。</p> <p>一 原子炉制御室／緊急時制御室／緊急時対策所内へ外気から取り込まれた放射性物質の吸入摂取による内部被ばく</p>	<p>4.1(1)②→審査ガイド通り</p> <p>大気中に放出された放射性物質からのガンマ線による緊急時対策所内での外部被ばくは、事故期間中の大気中への放射性物質の放出量を基に大気拡散効果と緊急時対策所の壁によるガンマ線遮蔽効果を踏まえて対策要員の外部被ばく（クラウドシャイン）を評価している。</p> <p>地表面に沈着した放射性物質からのガンマ線による外部被ばく（グラウンドシャイン）についても考慮して評価している。</p> <p>4.1(1)③→審査ガイド通り</p> <p>緊急時対策所に取り込まれた放射性物質は、緊急時対策所内に沈着せず浮遊しているものとして評価している。</p> <p>事故期間中に大気中に放出された放射性物質の一部は外気から緊急時対策所内に取り込まれる。緊急時対策所内に取り込まれた放射性物質のガンマ線による外部被ばく及び吸入摂取による内部被ばくの和として実効線量を評価している。</p>

<p>実用発電用原子炉に係る重大事故時の制御室及び緊急時対策所の 居住性に係る被ばく評価に関する審査ガイド</p>	<p>緊急時対策所の居住性に係る被ばく評価の適合状況</p>
<p>二 原子炉制御室／緊急時制御室／緊急時対策所内へ外気から取り込まれた放射性物質からのガンマ線による外部被ばく</p> <p>④ 原子炉建屋内の放射性物質からのガンマ線による入退域での被ばく</p> <p>原子炉建屋内の放射性物質から放射されるガンマ線による入退域での被ばく線量を、次の二つの経路を対象に計算する。</p> <p>一 原子炉建屋内の放射性物質からのスカイシャインガンマ線による外部被ばく</p> <p>二 原子炉建屋内の放射性物質からの直接ガンマ線による外部被ばく</p> <p>⑤ 大気中へ放出された放射性物質による入退域での被ばく大気中へ放出された放射性物質による被ばく線量を、次の三つの経路を対象に計算する。</p> <p>一 放射性雲中の放射性物質からのガンマ線による外部被ばく（クラウドシャイン）</p> <p>二 地表面に沈着した放射性物質からのガンマ線による外部被ばく（グラウンドシャイン）</p> <p>三 放射性物質の吸入摂取による内部被ばく</p>	<p>4.1(1)④→評価期間中の対策要員の交代は考慮しない</p> <p>4.1(1)⑤→評価期間中の対策要員の交代は考慮しない</p>

<p>実用発電用原子炉に係る重大事故時の制御室及び緊急時対策所の 居住性に係る被ばく評価に関する審査ガイド</p>	<p>緊急時対策所の居住性に係る被ばく評価の適合状況</p>
<p>(2) 評価の手順</p> <p>原子炉制御室／緊急時制御室／緊急時対策所の居住性に係る被ばく評価の手順を図 3 に示す。</p> <p>a. 原子炉制御室／緊急時制御室／緊急時対策所の居住性に係る被ばく評価に用いるソースタームを設定する。</p> <ul style="list-style-type: none"> 原子炉制御室の居住性に係る被ばく評価では、格納容器破損防止対策の有効性評価（参 2）で想定する格納容器破損モードのうち、原子炉制御室の運転員又は対策要員の被ばくの観点から結果が最も厳しくなる事故収束に成功した事故シーケンス（この場合、格納容器破損防止対策が有効に働くため、格納容器は健全である）のソースターム解析を基に、大気中への放射性物質放出量及び原子炉施設内の放射性物質存在量分布を設定する。 緊急時制御室又は緊急時対策所の居住性に係る被ばく評価では、放射性物質の大気中への放出割合が東京電力株式会社福島第一原子力発電所事故と同等と仮定した事故に対して、放射性物質の大気中への放出割合及び炉心内蔵量から大気中への放射性物質放出量を計算する。 <p>また、放射性物質の原子炉格納容器内への放出割合及び炉心内蔵量から原子炉施設内の放射性物質存在量分布を設定する。</p> <p>b. 原子炉施設敷地内の年間の実気象データを用いて、大気拡散を計算して相対濃度及び相対線量を計算する。</p>	<p>4.1(2)→審査ガイド通り</p> <p>緊急時対策所居住性に係る被ばくは、図 3 の手順に基づいて評価している。ただし、評価期間中の対策要員の交代は考慮しない。</p> <p>4.1(2)a. →審査ガイド通り</p> <p>緊急時対策所居住性に係る被ばく評価では、放射性物質の大気中への放出割合が東京電力株式会社福島第一原子力発電所事故と同等と仮定した事故に対して、放射性物質の大気中への放出割合及び炉心内蔵量から大気中への放射性物質放出量を計算している。</p> <p>また、放射性物質の原子炉格納容器内への放出割合及び炉心内蔵量から原子炉施設内の放射性物質存在量分布を設定している。</p> <p>4.1(2)b. →審査ガイド通り</p> <p>被ばく評価に用いる相対濃度及び相対線量は、大気拡散の評価に</p>

<p>実用発電用原子炉に係る重大事故時の制御室及び緊急時対策所の 居住性に係る被ばく評価に関する審査ガイド</p>	<p>緊急時対策所の居住性に係る被ばく評価の適合状況</p>
<p>c. 原子炉施設内の放射性物質存在量分布から原子炉建屋内の線源強度を計算する。</p> <p>d. 原子炉制御室／緊急時制御室／緊急時対策所内での運転員又は対策要員の被ばく線量を計算する。</p> <ul style="list-style-type: none"> ・上記 c の結果を用いて、原子炉建屋内の放射性物質からのガンマ線（スカイシャインガンマ線、直接ガンマ線）による被ばく線量を計算する。 ・上記 a 及び b の結果を用いて、大気中へ放出された放射性物質及び地表面に沈着した放射性物質のガンマ線による外部被ばく線量を計算する。 ・上記 a 及び b の結果を用いて、原子炉制御室／緊急時制御室／緊急時対策所内に外気から取り込まれた放射性物質による被ばく線量（ガンマ線による外部被ばく及び吸入摂取による内部被ばく）を計算する。 <p>e. 上記 d で計算した線量の合計値が、判断基準を満たしているかどうか</p>	<p>従い実効放出継続時間を基に計算した値を年間について、小さい方から順に並べた累積出現頻度 97%に当たる値を用いている。評価においては、2005 年 4 月 1 日から 2006 年 3 月 31 日の 1 年間における気象データを使用している。</p> <p>4.1(2)c. →審査ガイド通り</p> <p>原子炉施設内の放射性物質存在量分布を考慮し、スカイシャインガンマ線及び直接ガンマ線による外部被ばく線量を評価するために、原子炉建屋内の線源強度を計算している。</p> <p>4.1(2)d. →審査ガイド通り</p> <p>上記 c. の結果を用いて、原子炉建屋内の放射性物質からのガンマ線による外部被ばく線量を計算している。</p> <p>上記 a. 及び b. の結果を用いて、大気中へ放出された放射性物質及び地表面に沈着した放射性物質のガンマ線による外部被ばく線量を計算している。</p> <p>上記 a. 及び b. の結果を用いて、緊急時対策所内に外気から取り込まれた放射性物質による被ばく線量(ガンマ線による外部被ばく線量及び吸入摂取による内部被ばく線量)を計算している。</p> <p>4.1(2)e. →審査ガイド通り</p>

<p>実用発電用原子炉に係る重大事故時の制御室及び緊急時対策所の 居住性に係る被ばく評価に関する審査ガイド</p>	<p>緊急時対策所の居住性に係る被ばく評価の適合状況</p>
<p>うかを確認する。</p> <p>4.2 居住性に係る被ばく評価の共通解析条件</p> <p>(1) 沈着・除去等</p> <p>a. 原子炉制御室／緊急時制御室／緊急時対策所の非常用換気空調設備フィルタ効率</p> <p>ヨウ素類及びエアロゾルのフィルタ効率は、使用条件での設計値を基に設定する。</p> <p>なお、フィルタ効率の設定に際し、ヨウ素類の性状を適切に考慮する。</p> <p>b. 空気流入率</p> <p>既設の場合では、空気流入率は、空気流入率測定試験結果を基に設定する。</p> <p>新設の場合では、空気流入率は、設計値を基に設定する。(なお、原子炉制御室／緊急時制御室／緊急時対策所設置後、設定値の妥当性を空気流入率測定試験によって確認する。)</p> <p>(2) 大気拡散</p> <p>a. 放射性物質の大気拡散</p> <p>・放射性物質の空気中濃度は、放出源高さ及び気象条件に応じて、空間濃度分布が水平方向及び鉛直方向ともに正規分布になると仮定し</p>	<p>上記 d. で計算した線量の合計値が、判断基準(対策要員の実効線量が7日間で100mSvを超えないこと)を満足することを確認している。</p> <p>4.2(1)a. →審査ガイド通り</p> <p>緊急時対策所換気設備のフィルタ除去効率は、設計上期待できる値として、有機よう素及び無機よう素は99.0%, 粒子状物質は99.9%として評価している。</p> <p>4.2(1)b. →審査ガイド通り</p> <p>設計に基づき、空気ポンベによる緊急時対策所内の加圧又は換気設備を用いた外気取入れによる緊急時対策所内の加圧が可能であるため、フィルタを通らない空気の流入はないものとする。</p> <p>4.2(2)a. →審査ガイドの趣旨に基づいて評価</p> <p>放射性物質の空気中濃度は、ガウスブルームモデルを適用して計算している。</p> <p>東海第二発電所内で観測して得られた2005年4月1日から2006</p>

<p>実用発電用原子炉に係る重大事故時の制御室及び緊急時対策所の 居住性に係る被ばく評価に関する審査ガイド</p>	<p>緊急時対策所の居住性に係る被ばく評価の適合状況</p>
<p>たガウスプルームモデルを適用して計算する。</p> <p>なお、三次元拡散シミュレーションモデルを用いてもよい。</p> <ul style="list-style-type: none"> ・風向、風速、大気安定度及び降雨の観測項目を、現地において少なくとも1年間観測して得られた気象資料を大気拡散式に用いる。 ・ガウスプルームモデルを適用して計算する場合には、水平及び垂直方向の拡散パラメータは、風下距離及び大気安定度に応じて、気象指針（参3）における相関式を用いて計算する。 ・原子炉制御室／緊急時制御室／緊急時対策所の居住性評価で特徴的な放出点から近距離の建屋の影響を受ける場合には、建屋による巻き込み現象を考慮した大気拡散による拡散パラメータを用いる。 ・原子炉建屋の建屋後流での巻き込みが生じる場合の条件については、放出点と巻き込みが生じる建屋及び評価点との位置関係について、次に示す条件すべてに該当した場合、放出点から放出された放射性物質は建屋の風下側で巻き込みの影響を受け拡散し、評価点に到達するものとする。 <p>一 放出点の高さが建屋の高さの2.5倍に満たない場合</p> <p>二 放出点と評価点を結んだ直線と平行で放出点を風下とした風向 n について、放出点の位置が風向 n と建屋の投影形状に応じて定まる一定の範囲（図4の領域An）の中にある場合</p> <p>三 評価点が、巻き込みを生じる建屋の風下側にある場合</p> <p>上記の三つの条件のうちの一つでも該当しない場合には、建屋の影響</p>	<p>年3月31日の1年間の気象データを大気拡散計算に用いている。</p> <p>水平方向及び鉛直方向の拡散パラメータは、風下距離及び大気安定度に応じて、気象指針の相関式を用いて計算している。</p> <p>建屋による巻き込みを考慮し、建屋の影響がある場合の拡散パラメータを用いている。</p> <p>一～三の全ての条件に該当するため、建屋巻き込みを考慮して評価している。</p> <p>放出点が原子炉建屋の屋上にあるため、建屋の高さの2.5倍に満たない。</p> <p>放出点の位置は、図4の領域Anの中にある。</p> <p>評価点（緊急時対策所）は、巻き込みを生じる建屋（原子炉建屋）の風下側にある。</p>

<p>実用発電用原子炉に係る重大事故時の制御室及び緊急時対策所の 居住性に係る被ばく評価に関する審査ガイド</p>	<p>緊急時対策所の居住性に係る被ばく評価の適合状況</p>
<p>はないものとして大気拡散評価を行うものとする（参4）。</p> <ul style="list-style-type: none"> 原子炉制御室／緊急時制御室／緊急時対策所の居住性に係る被ばく評価では、建屋の風下後流側での広範囲に及ぶ乱流混合域が顕著であることから、放射性物質濃度を計算する当該着目方位としては、放出源と評価点とを結ぶラインが含まれる1方位のみを対象とするのではなく、図5に示すように、建屋の後流側の拡がりの影響が評価点に及ぶ可能性のある複数の方位を対象とする。 放射性物質の大気拡散の詳細は、「原子力発電所中央制御室の居住性に係る被ばく評価手法について（内規）」（参1）による。 <p>b. 建屋による巻き込みの評価条件</p> <ul style="list-style-type: none"> 巻き込みを生じる代表建屋 <p>1) 原子炉建屋の近辺では、隣接する複数の建屋の風下側で広く巻き込みによる拡散が生じているものとする。</p> <p>2) 巻き込みを生じる建屋として、原子炉格納容器、原子炉建屋、原子炉補助建屋、タービン建屋、コントロール建屋及び燃料取り扱い建屋等、原則として放出源の近隣に存在するすべての建屋が対象となるが、巻き込みの影響が最も大きいと考えられる一つの建屋を代表建屋とすることは、保守的な結果を与える。</p> <ul style="list-style-type: none"> 放射性物質濃度の評価点 <p>1) 原子炉制御室／緊急時制御室／緊急時対策所が属する建屋の代表</p>	<p>建屋による巻き込みを考慮し、図5に示すように、建屋の後流側拡がりの影響が評価点に及ぶ可能性がある複数の方位（評価方位2方位）を対象としている。</p> <p>放射性物質の大気拡散については、「原子力発電所中央制御室の居住性に係る被ばく評価手法について（内規）」に基づいて評価している。</p> <p>4.2(2)b. →審査ガイド通り</p> <p>建屋巻き込みによる拡散を考慮している。</p> <p>原子炉建屋を代表建屋としている。</p> <p>評価期間のうち、放出開始後11時間（事故後24時間から35時間</p>

<p>実用発電用原子炉に係る重大事故時の制御室及び緊急時対策所の 居住性に係る被ばく評価に関する審査ガイド</p>	<p>緊急時対策所の居住性に係る被ばく評価の適合状況</p>
<p>面の選定</p> <p>原子炉制御室／緊急時制御室／緊急時対策所内には、次の i) 又は ii) によって、原子炉制御室／緊急時制御室／緊急時対策所が属する建屋の表面から放射性物質が侵入するとする。</p> <p>i) 事故時に外気取入を行う場合は、主に給気口を介しての外気取入及び室内への直接流入</p> <p>ii) 事故時に外気の入力を遮断する場合は、室内への直接流入</p> <p>2) 建屋による巻き込みの影響が生じる場合、原子炉制御室／緊急時制御室／緊急時対策所が属する建屋の近辺ではほぼ全般にわたり、代表建屋による巻き込みによる拡散の効果が及んでいると考えられる。このため、原子炉制御室／緊急時制御室／緊急時対策所換気空調設備の非常時の運転モードに応じて、次の i) 又は ii) によって、原子炉制御室／緊急時制御室／緊急時対策所が属する建屋の表面の濃度を計算する。</p> <p>i) 評価期間中も給気口から外気を取入れることを前提とする場合は、給気口が設置されている原子炉制御室／緊急時制御室／緊急時対策所が属する建屋の表面とする。</p> <p>ii) 評価期間中は外気を遮断することを前提とする場合は、原子炉制御室／緊急時制御室／緊急時対策所が属する建屋の各表面（屋上面又は側面）のうちの代表面（代表評価面）を選定する。</p>	<p>まで)は加圧用ポンベにより緊急時対策所内を加圧するため、直接流入はないとしている。</p> <p>その後(事故後 35 時間以降)は、緊急時対策所の換気設備により外気を取り入れて緊急時対策所内を加圧するものとしている。</p>

<p>実用発電用原子炉に係る重大事故時の制御室及び緊急時対策所の 居住性に係る被ばく評価に関する審査ガイド</p>	<p>緊急時対策所の居住性に係る被ばく評価の適合状況</p>
<p>3) 代表面における評価点</p> <p>i) 建屋の巻き込みの影響を受ける場合には、原子炉制御室／緊急時制御室／緊急時対策所の属する建屋表面での濃度は風下距離の依存性は小さくほぼ一様と考えられるので、評価点は厳密に定める必要はない。</p> <p>屋上面を代表とする場合、例えば原子炉制御室／緊急時制御室／緊急時対策所の中心点を評価点とするのは妥当である。</p> <p>ii) 代表評価面を、原子炉制御室／緊急時制御室／緊急時対策所が属する建屋の屋上面とすることは適切な選定である。</p> <p>また、原子炉制御室／緊急時制御室／緊急時対策所が屋上面から離れている場合は、原子炉制御室／緊急時制御室／緊急時対策所が属する建屋の側面を代表評価面として、それに対応する高さでの濃度を対で適用することも適切である。</p> <p>iii) 屋上面を代表面とする場合は、評価点として原子炉制御室／緊急時制御室／緊急時対策所の中心点を選定し、対応する風下距離から拡散パラメータを算出してもよい。</p> <p>また $\sigma_y=0$ 及び $\sigma_z=0$ として、σ_{y0}、σ_{z0} の値を適用してもよい。</p> <p>・ 着目方位</p> <p>1) 原子炉制御室／緊急時制御室／緊急時対策所の被ばく評価の計算では、代表建屋の風下後流側での広範囲に及ぶ乱流混合域が顕著であ</p>	<p>緊急時対策所の換気設備の給気口として、原子炉建屋から緊急時対策所までの最近接点における濃度を評価している。</p> <p>緊急時対策所の換気設備の給気口として、原子炉建屋から緊急時対策所までの最近接点とし、その間の水平直線距離に基づき拡散パラメータを算出している。</p> <p>建屋による巻き込みを考慮し、i)～iii)の条件に該当する方位を選定し、建屋の後流側の拡がりの影響が評価点に及ぼす可能性がある複数の方位(評価方位は2方位)を対象としている。</p>

<p>実用発電用原子炉に係る重大事故時の制御室及び緊急時対策所の 居住性に係る被ばく評価に関する審査ガイド</p>	<p>緊急時対策所の居住性に係る被ばく評価の適合状況</p>
<p>ることから、放射性物質濃度を計算する当該着目方位としては、放出源と評価点とを結ぶラインが含まれる1方位のみを対象とするのではなく、図5に示すように、代表建屋の後流側の拡がりの影響が評価点に及ぶ可能性のある複数の方位を対象とする。</p> <p>評価対象とする方位は、放出された放射性物質が建屋の影響を受けて拡散すること及び建屋の影響を受けて拡散された放射性物質が評価点に届くことの両方に該当する方位とする。</p> <p>具体的には、全16方位について以下の三つの条件に該当する方位を選定し、すべての条件に該当する方位を評価対象とする。</p> <p>i) 放出点が評価点の風上にあること</p> <p>ii) 放出点から放出された放射性物質が、建屋の風下側に巻き込まれるような範囲に、評価点が存在すること。この条件に該当する風向の方位m_1の選定には、図6のような方法を用いることができる。図6の対象となる二つの風向の方位の範囲m_{1A}、m_{1B}のうち、放出点が評価点の風上となるどちらか一方の範囲が評価の対象となる。放出点が建屋に接近し、0.5Lの拡散領域(図6のハッチング部分)の内部にある場合は、風向の方位m_1は放出点が評価点の風上となる180°が対象となる。</p> <p>iii) 建屋の風下側で巻き込まれた大気が評価点に到達すること。</p> <p>この条件に該当する風向の方位m_2の選定には、図7に示す方法を用いることができる。評価点が建屋に接近し、0.5Lの拡散領域(図7</p>	<p>建屋による巻き込みを考慮し、「原子力発電所中央制御室の居住性に係る被ばく評価手法について(内規)」に基づいて複数方位を対象として評価している。</p> <p>放出点が評価点の風上にある方位を対象としている。</p> <p>放出点は建屋に近接しているため、風向の方位は放出点が評価点の風上となる180°を対象としている。</p> <p>図7に示す方法により、建屋の後流側の拡がりの影響が評価点に及ぶ可能性のある複数の方位(評価方位は2方位)を評価方位として選定している。</p>

<p>実用発電用原子炉に係る重大事故時の制御室及び緊急時対策所の 居住性に係る被ばく評価に関する審査ガイド</p>	<p>緊急時対策所の居住性に係る被ばく評価の適合状況</p>
<p>のハッチング部分)の内部にある場合は、風向の方位m_2は放出点が評価点の風上となる180°が対象となる。</p> <p>図6及び図7は、断面が円筒形状の建屋を例として示しているが、断面形状が矩形の建屋についても、同じ要領で評価対象の方位を決定することができる。</p> <p>建屋の影響がある場合の評価対象方位選定手順を、図8に示す。</p> <p>2) 具体的には、図9のとおり、原子炉制御室／緊急時制御室／緊急時対策所が属する建屋表面において定めた評価点から、原子炉施設の代表建屋の水平断面を見込む範囲にあるすべての方位を定める。</p> <p>幾何学的に建屋群を見込む範囲に対して、気象評価上の方位とのずれによって、評価すべき方位の数が増加することが考えられるが、この場合、幾何学的な見込み範囲に相当する適切な見込み方位の設定を行ってもよい。</p> <p>・建屋投影面積</p> <p>1) 図10に示すとおり、風向に垂直な代表建屋の投影面積を求め、放射性物質の濃度を求めるために大気拡散式の入力とする。</p> <p>2) 建屋の影響がある場合の多くは複数の風向を対象に計算する必要があるため、風向の方位ごとに垂直な投影面積を求める。ただし、対象となる複数の方位の投影面積の中で、最小面積を、すべての方位の計算の入力として共通に適用することは、合理的であり保守的である。</p>	<p>「・着目方位 1)」の方法により、評価対象の方位を選定している。</p> <p>風向に垂直な原子炉建屋の投影面積を大気拡散式の入力としている。</p> <p>原子炉建屋の最小投影面積を用いている。</p>

<p>実用発電用原子炉に係る重大事故時の制御室及び緊急時対策所の 居住性に係る被ばく評価に関する審査ガイド</p>	<p>緊急時対策所の居住性に係る被ばく評価の適合状況</p>
<p>3) 風下側の地表面から上側の投影面積を求め大気拡散式の入力とする。方位によって風下側の地表面の高さが異なる場合は、方位ごとに地表面高さから上側の面積を求める。また、方位によって、代表建屋とは別の建屋が重なっている場合でも、原則地表面から上側の代表建屋の投影面積を用いる。</p> <p>c. 相対濃度及び相対線量</p> <ul style="list-style-type: none"> ・相対濃度は、短時間放出又は長時間放出に応じて、毎時刻の気象項目と実効的な放出継続時間を基に評価点ごとに計算する。 ・相対線量は、放射性物質の空間濃度分布を算出し、これをガンマ線量計算モデルに適用して評価点ごとに計算する。 ・評価点の相対濃度又は相対線量は、毎時刻の相対濃度又は相対線量を年間について小さい方から累積した場合、その累積出現頻度が 97% に当たる値とする。 ・相対濃度及び相対線量の詳細は、「原子力発電所中央制御室の居住性に係る被ばく評価手法について（内規）」^(参1)による。 <p>d. 地表面への沈着</p> <p>放射性物質の地表面への沈着評価では、地表面への乾性沈着及び降雨による湿性沈着を考慮して地表面沈着濃度を計算する。</p> <p>e. 原子炉制御室／緊急時制御室／緊急時対策所内の放射性物質濃度</p> <ul style="list-style-type: none"> ・原子炉制御室／緊急時制御室／緊急時対策所の建屋の表面空気中から、次の二つの経路で放射性物質が外気から取り込まれることを仮定 	<p>原子炉建屋の地上階部分の投影面積を用いている。</p> <p>4.2(2)c. →審査ガイドの趣旨に基づいて評価</p> <p>相対濃度は、毎時刻の気象項目（風向、風速、大気安定度）及び実効放出継続時間を基に、短時間放出の式を適用し、評価している。</p> <p>相対線量は、放射性物質の空間濃度分布を算出し、これをガンマ線計算モデルに適用し、計算している。</p> <p>年間の気象データに基づく相対濃度及び相対線量を各時刻の風向に応じて、小さい方から累積し、97%に当たる値を用いている。</p> <p>相対濃度及び相対線量の詳細は、「原子力発電所中央制御室の居住性に係る被ばく評価手法について（内規）」に基づいて評価している。</p> <p>4.2(2)d. →審査ガイド通り</p> <p>地表面への乾性沈着及び降雨による湿性沈着を考慮して地表面沈着濃度を計算している。</p> <p>4.2(2)e. →審査ガイドの趣旨に基づいて評価</p> <p>プルーム通過中は空気ポンベによる緊急時対策所内の加圧又は換気設備を用いた空気取り入れによる緊急時対策所内の加圧を実</p>

<p>実用発電用原子炉に係る重大事故時の制御室及び緊急時対策所の 居住性に係る被ばく評価に関する審査ガイド</p>	<p>緊急時対策所の居住性に係る被ばく評価の適合状況</p>
<p>する。</p> <p>一 原子炉制御室／緊急時制御室／緊急時対策所の非常用換気空調設備によって室内に取り入れること（外気取入）</p> <p>二 原子炉制御室／緊急時制御室／緊急時対策所内に直接流入すること（空気流入）</p> <p>・原子炉制御室／緊急時制御室／緊急時対策所内の雰囲気中で放射性物質は、一様混合すると仮定する。</p> <p>なお、原子炉制御室／緊急時制御室／緊急時対策所内に取り込まれた放射性物質は、室内に沈着せずに浮遊していると仮定する。</p> <p>・原子炉制御室／緊急時制御室／緊急時対策所内への外気取入による放射性物質の取り込みについては、非常用換気空調設備の設計及び運転条件に従って計算する。</p> <p>・原子炉制御室／緊急時制御室／緊急時対策所内に取り込まれる放射性物質の空気流入量は、空気流入率及び原子炉制御室／緊急時制御室／緊急時対策所バウンダリ体積（容積）を用いて計算する。</p> <p>（３）線量評価</p> <p>a. 放射性雲中の放射性物質からのガンマ線による原子炉制御室／緊急時制御室／緊急時対策所内での外部被ばく（クラウドシャイン）</p> <p>・放射性雲中の放射性物質からのガンマ線による外部被ばく線量は、空気中時間積分濃度及びクラウドシャインに対する外部被ばく線量換算係数の積で計算する。</p>	<p>施することを前提としているため、一の経路で放射性物質がフィルタを通じて外気から取り込まれると仮定している。</p> <p>緊急時対策所内では放射性物質は一様混合するとし、室内で放射性物質は沈着せず、浮遊していると仮定している。</p> <p>外気取入れによる放射性物質の取り込みについては、緊急時対策所の換気設備の設計及び運転条件に従って計算している。</p> <p>空気ポンベによる緊急時対策所内の加圧又は換気設備を用いた空気取り入れによる緊急時対策所内の加圧を実施することを前提としているため、フィルタを通らない空気流入はないものとする。</p> <p>4.2(3)a. →審査ガイド通り</p> <p>外部被ばく線量については、空気中濃度及びクラウドシャインに対する外部被ばく線量換算係数の積で計算した線量率を合算して計算している。</p> <p>緊急時対策所内の対策要員については建屋による遮蔽効果を考慮している。</p>

<p>実用発電用原子炉に係る重大事故時の制御室及び緊急時対策所の 居住性に係る被ばく評価に関する審査ガイド</p>	<p>緊急時対策所の居住性に係る被ばく評価の適合状況</p>
<p>・原子炉制御室／緊急時制御室／緊急時対策所内にいる運転員又は対策要員に対しては、原子炉制御室／緊急時制御室／緊急時対策所の建屋によって放射線が遮へいされる低減効果を考慮する。</p> <p>b. 地表面に沈着した放射性物質からのガンマ線による原子炉制御室／緊急時制御室／緊急時対策所内での外部被ばく（グランドシャイン）</p> <p>・地表面に沈着した放射性物質からのガンマ線による外部被ばく線量は、地表面沈着濃度及びグランドシャインに対する外部被ばく線量換算係数の積で計算する。</p> <p>・原子炉制御室／緊急時制御室／緊急時対策所内にいる運転員又は対策要員に対しては、原子炉制御室／緊急時制御室／緊急時対策所の建屋によって放射線が遮へいされる低減効果を考慮する。</p> <p>c. 原子炉制御室／緊急時制御室／緊急時対策所内へ外気から取り込まれた放射性物質の吸入摂取による原子炉制御室／緊急時制御室／緊急時対策所内での内部被ばく</p> <p>・原子炉制御室／緊急時制御室／緊急時対策所内へ外気から取り込まれた放射性物質の吸入摂取による内部被ばく線量は、室内の空气中時間積分濃度、呼吸率及び吸入による内部被ばく線量換算係数の積で計算する。</p> <p>・なお、原子炉制御室／緊急時制御室／緊急時対策所内に取り込まれた放射性物質は、室内に沈着せずに浮遊しているものと仮定する。</p>	<p>4.2(3)b. →審査ガイド通り</p> <p>緊急時対策所内の対策要員のグランドシャインによる外部被ばくについては、建屋による遮蔽効果を考慮している。</p> <p>4.2(3)c. →審査ガイド通り</p> <p>緊急時対策所における内部被ばくについては、空气中濃度、呼吸率及び内部被ばく換算係数の積で計算した線量率を合算して計算している。</p> <p>緊急時対策所では室内で放射性物質は沈着せず浮遊しているものと仮定している。</p> <p>マスクは着用しないとして評価している。</p>

<p>実用発電用原子炉に係る重大事故時の制御室及び緊急時対策所の 居住性に係る被ばく評価に関する審査ガイド</p>	<p>緊急時対策所の居住性に係る被ばく評価の適合状況</p>
<p>・原子炉制御室／緊急時制御室／緊急時対策所内でマスク着用を考慮する。その場合は、マスク着用を考慮しない場合の評価結果も提出を求める。</p> <p>d. 原子炉制御室／緊急時制御室／緊急時対策所内へ外気から取り込まれた放射性物質のガンマ線による外部被ばく</p> <p>・原子炉制御室／緊急時制御室／緊急時対策所内へ外気から取り込まれた放射性物質からのガンマ線による外部被ばく線量は、室内の空気中時間積分濃度及びクラウドシャインに対する外部被ばく線量換算係数の積で計算する。</p> <p>・なお、原子炉制御室／緊急時制御室／緊急時対策所内に取り込まれた放射性物質は、c 項の内部被ばく同様、室内に沈着せずに浮遊しているものと仮定する。</p> <p>e. 放射性雲中の放射性物質からのガンマ線による入退域での外部被ばく（クラウドシャイン）</p> <p>・放射性雲中の放射性物質からのガンマ線による外部被ばく線量は、空気中時間積分濃度及びクラウドシャインに対する外部被ばく線量換算係数の積で計算する。</p> <p>f. 地表面に沈着した放射性物質からのガンマ線による入退域での外部被ばく（グランドシャイン）</p> <p>・地表面に沈着した放射性物質からのガンマ線による外部被ばく線量は、地表面沈着濃度及びグランドシャインに対する外部被ばく線量換</p>	<p>4.2(3)d. →審査ガイド通り</p> <p>緊急時対策所内に取り込まれた放射性物質からのガンマ線の外部被ばくについては、空気中濃度及びクラウドシャインに対する外部被ばく線量係数の積で計算した線量率を積算して計算している。</p> <p>緊急時対策所で室内に取り込まれた放射性物質は沈着せず浮遊しているものと仮定している。</p> <p>4.2(3)e. →評価期間中の対策要員の交代は考慮しない</p> <p>4.2(3)f. →評価期間中の対策要員の交代は考慮しない</p>

<p>実用発電用原子炉に係る重大事故時の制御室及び緊急時対策所の 居住性に係る被ばく評価に関する審査ガイド</p>	<p>緊急時対策所の居住性に係る被ばく評価の適合状況</p>
<p>算係数の積で計算する。</p> <p>g. 放射性物質の吸入摂取による入退域での内部被ばく</p> <ul style="list-style-type: none"> 放射性物質の吸入摂取による内部被ばく線量は、入退域での空気中時間積分濃度、呼吸率及び吸入による内部被ばく線量換算係数の積で計算する。 入退域での放射線防護による被ばく低減効果を考慮してもよい。 <p>h. 被ばく線量の重ね合わせ</p> <ul style="list-style-type: none"> 同じ敷地内に複数の原子炉施設が設置されている場合、全原子炉施設について同時に事故が起きたと想定して評価を行うが、各原子炉施設から被ばく経路別に個別に評価を実施して、その結果を合算することは保守的な結果を与える。原子炉施設敷地内の地形や、原子炉施設と評価対象位置の関係等を考慮した、より現実的な被ばく線量の重ね合わせ評価を実施する場合はその妥当性を説明した資料の提出を求める。 	<p>4.2(3)g. →評価期間中の対策要員の交代は考慮しない</p> <p>4.2(3)h. →複数の原子炉施設は設置されていないため考慮しない</p>

<p>実用発電用原子炉に係る重大事故時の制御室及び緊急時対策所の 居住性に係る被ばく評価に関する審査ガイド</p>	<p>緊急時対策所の居住性に係る被ばく評価の適合状況</p>
<p>4.4 緊急時制御室又は緊急時対策所の居住性に係る被ばく評価の主要解析条件等</p> <p>(1) ソースターム</p> <p>a. 大気中への放出割合</p> <p>・事故直前の炉心内蔵量に対する放射性物質の大気中への放出割合は、原子炉格納容器が破損したと考えられる福島第一原子力発電所事故並みを想定する^(参5)。</p> <p>希ガス類：97%</p> <p>ヨウ素類：2.78%</p> <p>(CsI：95%，無機ヨウ素：4.85%，有機ヨウ素：0.15%)</p> <p>(NUREG-1465^(参6)を参考に設定)</p> <p>Cs 類：2.13%</p> <p>Te 類：1.47%</p> <p>Ba 類：0.0264%</p> <p>Ru 類：$7.53 \times 10^{-8}\%$</p> <p>Ce 類：$1.51 \times 10^{-4}\%$</p> <p>La 類：$3.87 \times 10^{-5}\%$</p> <p>(2) 非常用電源</p> <p>緊急時制御室又は緊急時対策所の独自の非常用電源又は代替交流電源からの給電を考慮する。</p> <p>ただし、代替交流電源からの給電を考慮する場合は、給電までに要す</p>	<p>4.4(1)→審査ガイド通り</p> <p>事故直前の炉心内蔵量に対する放射性物質の大気中への放出割合に、原子炉格納容器が破損したと考えられる福島第一原子力発電所事故並みを想定する。なお、放出開始までの24時間の核種の崩壊及び娘核種の生成は考慮する。</p> <p>4.4(2)→審査ガイド通り</p> <p>緊急時対策所の非常用電源の給電は考慮するものの放出開始時間が事象発生後24時間後のため、放出開始までに電源は復旧していると仮定する。</p>

<p>実用発電用原子炉に係る重大事故時の制御室及び緊急時対策所の 居住性に係る被ばく評価に関する審査ガイド</p>	<p>緊急時対策所の居住性に係る被ばく評価の適合状況</p>
<p>る余裕時間を見込むこと。</p> <p>(3) 沈着・除去等</p> <p>a. 緊急時制御室又は緊急時対策所の非常用換気空調設備</p> <p>緊急時制御室又は緊急時対策所の非常用換気空調設備は、上記(2)の非常用電源によって作動すると仮定する。</p> <p>(4) 大気拡散</p> <p>a. 放出開始時刻及び放出継続時間</p> <ul style="list-style-type: none"> 放射性物質の大気中への放出開始時刻は、事故（原子炉スクラム）発生 24 時間後と仮定する^(参5)（福島第一原子力発電所事故で最初に放出した 1 号炉の放出開始時刻を参考に設定）。 放射性物質の大気中への放出継続時間は、保守的な結果となるように 10 時間と仮定する^(参5)（福島第一原子力発電所 2 号炉の放出継続時間を参考に設定） <p>b. 放出源高さ</p> <p>放出源高さは、地上放出を仮定する^(参5)。放出エネルギーは、保守的な結果となるように考慮しないと仮定する^(参5)。</p> <p>(6) 線量評価</p> <p>a. 原子炉建屋内の放射性物質からのガンマ線による緊急時制御室又は緊急時対策所内での外部被ばく</p> <ul style="list-style-type: none"> 福島第一原子力発電所事故並みを想定する。例えば、次のような仮定を行うことができる。 	<p>4.4(3)→審査ガイド通り</p> <p>放射性物質の放出開始までに緊急時対策所の換気設備は復旧している。</p> <p>4.4(4)a.→審査ガイドの趣旨に基づき評価</p> <p>放射性物質の大気中への放出開始時間は、事故発生 24 時間後と仮定する。</p> <p>放射性物質の大気中への放出継続時間は、希ガス類、よう素及びその他の核種とも 10 時間とした。</p> <p>4.4(4)b.→審査ガイド通り</p> <p>放出源高さは、地上放出を仮定する。</p> <p>4.4(5)→審査ガイド通り</p> <p>福島第一原子力発電所事故並みを想定し、NUREG-1465 の炉心内蔵量に対する原子炉格納容器への放出割合を基に原子炉建屋内に放出された放射性物質を設定し、スカイシャインガンマ線及び直接ガンマ線の線源としている。</p> <p>原子炉建屋内の放射性物質は、自由空間体積に均一に分布してい</p>

実用発電用原子炉に係る重大事故時の制御室及び緊急時対策所の 居住性に係る被ばく評価に関する審査ガイド	緊急時対策所の居住性に係る被ばく評価の適合状況																											
NUREG-1465 の炉心内蔵量に対する原子炉格納容器内への放出割合 （被覆管破損放出～晩期圧力容器内放出） ^(参6) を基に原子炉建屋内に 放出された放射性物質を設定する。 <table><tr><td></td><td>PWR</td><td>BWR</td></tr><tr><td>希ガス類：</td><td>100%</td><td>100%</td></tr><tr><td>ヨウ素類：</td><td>66%</td><td>61%</td></tr><tr><td>Cs 類：</td><td>66%</td><td>61%</td></tr><tr><td>Te 類：</td><td>31%</td><td>31%</td></tr><tr><td>Ba 類：</td><td>12%</td><td>12%</td></tr><tr><td>Ru 類：</td><td>0.5%</td><td>0.5%</td></tr><tr><td>Ce 類：</td><td>0.55%</td><td>0.55%</td></tr><tr><td>La 類：</td><td>0.52%</td><td>0.52%</td></tr></table> BWR については、MELCOR 解析結果 ^(参7) から想定して、原子炉格納容 器から原子炉建屋へ移行する際の低減率は0.3 倍と仮定する。 また、希ガス類は、大気中への放出分を考慮してもよい。 電源喪失を想定した雰囲気圧力・温度による静的負荷の格納容器 破損モードのうち、格納容器破損に至る事故シーケンスを選定す る。 選定した事故シーケンスのソースターム解析結果を基に、原子炉建屋 内に放出された放射性物質を設定する。 ・この原子炉建屋内の放射性物質をスカイシャインガンマ線及び直接		PWR	BWR	希ガス類：	100%	100%	ヨウ素類：	66%	61%	Cs 類：	66%	61%	Te 類：	31%	31%	Ba 類：	12%	12%	Ru 類：	0.5%	0.5%	Ce 類：	0.55%	0.55%	La 類：	0.52%	0.52%	るものとして計算している。
	PWR	BWR																										
希ガス類：	100%	100%																										
ヨウ素類：	66%	61%																										
Cs 類：	66%	61%																										
Te 類：	31%	31%																										
Ba 類：	12%	12%																										
Ru 類：	0.5%	0.5%																										
Ce 類：	0.55%	0.55%																										
La 類：	0.52%	0.52%																										

<p>実用発電用原子炉に係る重大事故時の制御室及び緊急時対策所の 居住性に係る被ばく評価に関する審査ガイド</p>	<p>緊急時対策所の居住性に係る被ばく評価の適合状況</p>
<p>ガンマ線の線源とする。</p> <ul style="list-style-type: none"> 原子炉建屋内の放射性物質は、自由空間容積に均一に分布するものとして、事故後 7 日間の積算線源強度を計算する。 原子炉建屋内の放射性物質からのスカイシャインガンマ線及び直接ガンマ線による外部被ばく線量は、積算線源強度、施設の位置、遮へい構造及び地形条件から計算する。 <p>b. 原子炉建屋内の放射性物質からのガンマ線による入退域での外部被ばく</p> <ul style="list-style-type: none"> スカイシャインガンマ線及び直接ガンマ線の線源は、上記 a と同様に設定する。 積算線源強度、原子炉建屋内の放射性物質からのスカイシャインガンマ線及び直接ガンマ線による外部被ばく線量は、上記 a と同様の条件で計算する。 	<p>4. 4(5)b. →評価期間中の対策要員の交代は考慮しない</p>

実用発電用原子炉に係る重大事故時の制御室及び緊急時対策所の
居住性に係る被ばく評価に関する審査ガイド

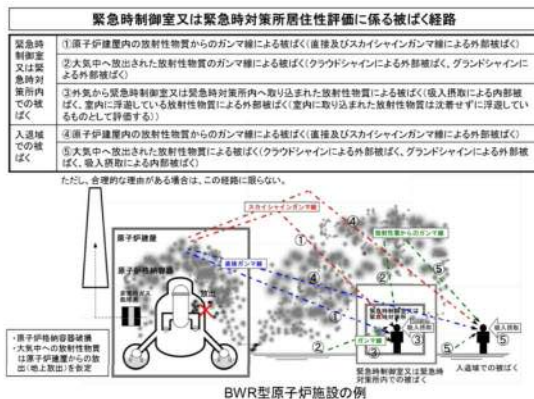


図2 緊急時制御室又は緊急時対策所居住性評価における被ばく経路

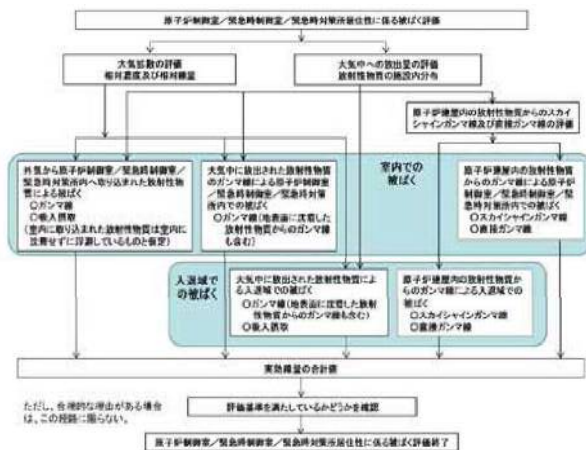
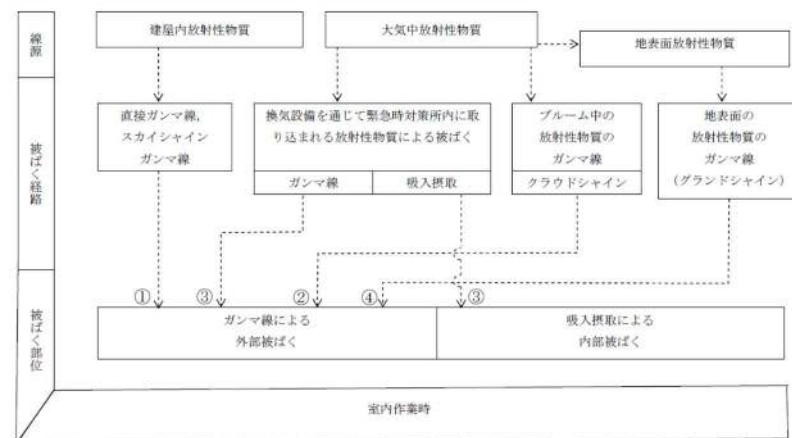


図3 原子炉制御室/緊急時制御室/緊急時対策所の居住性に係る被ばく評価手順

緊急時対策所の居住性に係る被ばく評価の適合状況

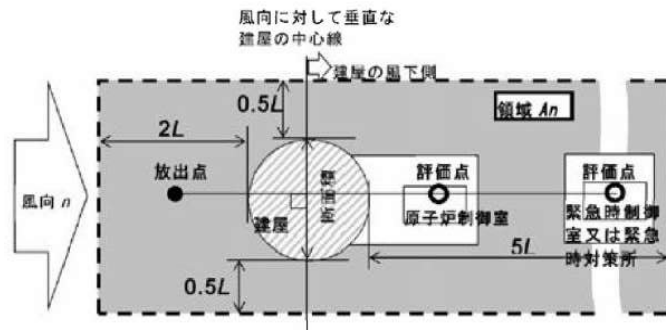
図2, 3→審査ガイドの趣旨に基づき評価

評価期間中の対策要員の交代は考慮しないため、被ばく経路④,
⑤の評価は実施しない。



実用発電用原子炉に係る重大事故時の制御室及び緊急時対策所の
居住性に係る被ばく評価に関する審査ガイド

緊急時対策所の居住性に係る被ばく評価の適合状況



注: L 建屋又は建屋群の風向に垂直な面での高さ又は幅の小さい方

図4 建屋影響を考慮する条件（水平断面での位置関係）

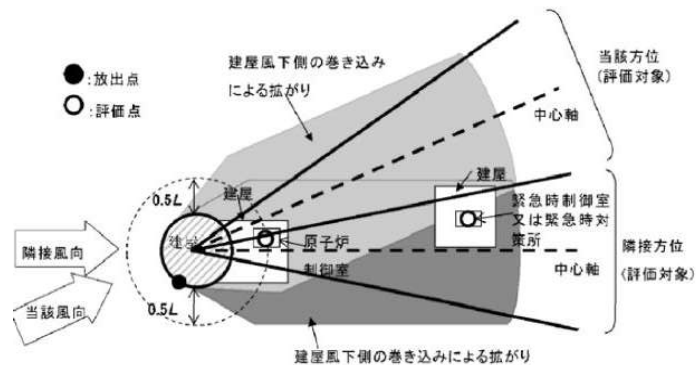
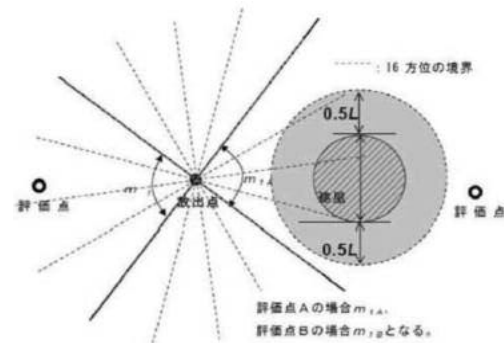


図5 建屋後流での巻き込み影響を受ける場合の考慮すべき方位

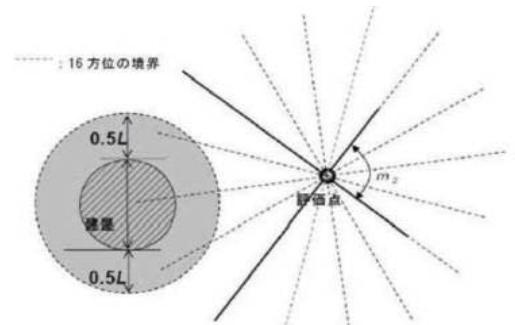
図4, 図5→審査ガイド通り

実用発電用原子炉に係る重大事故時の制御室及び緊急時対策所の
居住性に係る被ばく評価に関する審査ガイド

緊急時対策所の居住性に係る被ばく評価の適合状況



注: Lは、風向に垂直な建物の投影面の高さ又は投影面の幅のうちの小さい方
図6 建物の風下側で放射性物質が巻き込まれる風向の方位 m_1 の選定方法
(水平断面での位置関係)



注: Lは、風向に垂直な建物の投影面の高さ又は投影面の幅のうちの小さい方
図7 建物の風下側で巻き込まれた大気の評価点に到達する
風向の方位 m_2 の選定方法(水平断面での位置関係)

図 6, 7→審査ガイド通り

実用発電用原子炉に係る重大事故時の制御室及び緊急時対策所の
居住性に係る被ばく評価に関する審査ガイド

緊急時対策所の居住性に係る被ばく評価の適合状況

図8→審査ガイド通り

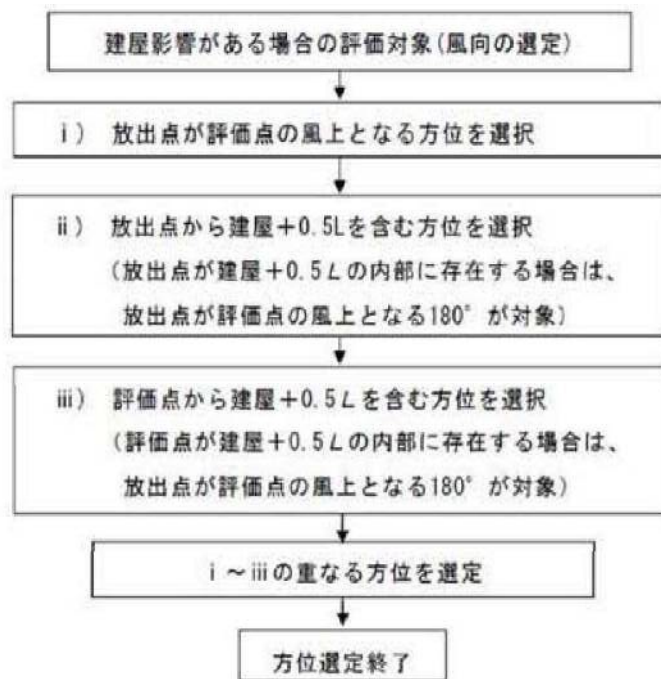


図8 建屋の影響がある場合の評価対象方位選定手順

実用発電用原子炉に係る重大事故時の制御室及び緊急時対策所の
居住性に係る被ばく評価に関する審査ガイド

緊急時対策所の居住性に係る被ばく評価の適合状況

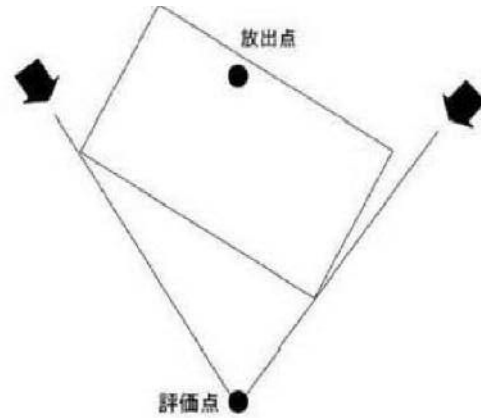


図9 評価対象方位の選定

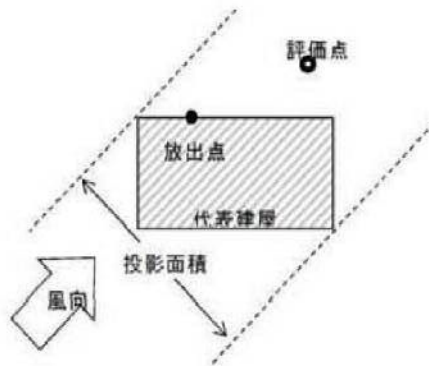
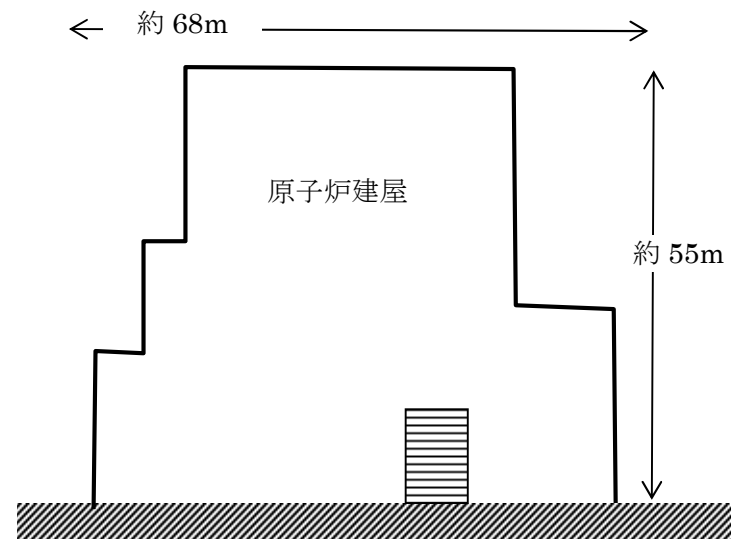


図10 風向に垂直な建屋投影面積の考え方

図9, 10→審査ガイド通り



注)南側から見た投影面積